

Das kalkige Nannoplankton der Dogger-Malm-Grenze im Berner Jura bei Liesberg (Schweiz)

Von Walter GRÜN und Fred ZWEILI*

Mit 41 Abbildungen und 16 Phototafeln

*Schweizer Jura
Dogger - Malm
Nannoplankton
Systematik
Foraminiferen
Ostracoden
Makrofossilien*

INHALT

Zusammenfassung	233
Summary	233
Résumé	234
Einleitung	234
Schichtfolge und Fossilinhalt	236
Nannoflora	240
Systematische Paläontologie	242
Ordnung Podorhabdales ROOD, HAY & BARNARD, 1971	242
Familie Biscutaceae BLACK, 1971	242
Subfamilie Biscutoideae HOFFMANN, 1970	242
Gattung <i>Biscutum</i> BLACK, 1959	242
<i>Biscutum castrorum</i> BLACK, 1959	244
<i>Biscutum dubium</i> (NOËL, 1965) GRÜN, 1974	245
<i>Biscutum ellipticum</i> (GÓRKA, 1957) GRÜN, 1975	245
<i>Biscutum erismatum</i> (WIND & WISE, 1976) GRÜN & ZWEILI, n. comb.	248
Gattung <i>Sollasites</i> BLACK, 1967	248
<i>Sollasites borticus</i> (STRADNER, ADAMIKER & MARESCH, 1966) ČEPEK & HAY, 1969	248
<i>Sollasites lowei</i> (BUKRY, 1969) ROOD, HAY & BARNARD, 1971	250
Subfamilie Discorhabdoideae NOËL, 1965	250
Gattung <i>Discorhabdus</i> NOËL, 1965	250
<i>Discorhabdus ignotus</i> (GÓRKA, 1957) PERCH-NIELSEN, 1968	251
<i>Discorhabdus patulus</i> (DEFLANDRE, 1955) NOËL, 1965	251
Familie Ellipsagelosphaeraceae NOËL 1965	252
Subfamilie Ellipsagelosphaeroideae NOËL, 1965	252
Gattung <i>Ellipsagelosphaera</i> NOËL, 1965	252
<i>Ellipsagelosphaera britannica</i> (STRADNER, 1963) PERCH-NIELSEN, 1968	252
<i>Ellipsagelosphaera fossacincta</i> BLACK, 1971	253
<i>Ellipsagelosphaera gresslyi</i> GRÜN & ZWEILI, n. sp.	255
<i>Ellipsagelosphaera ovata</i> (BUKRY, 1969) BLACK, 1973	255
<i>Ellipsagelosphaera plena</i> GRÜN & ZWEILI, n. sp.	256
<i>Ellipsagelosphaera reinhardtii</i> (ROOD, HAY & BARNARD, 1971) NOËL, 1973	257

* Adressen der Autoren: Dr. Walter GRÜN – Österreichische Mineralölverwaltung AG, Ressort Geologie, Hintere Zollamtsstraße 17, A-1030 Wien, Österreich. Fred ZWEILI – Geologisches Institut der Universität Bern, Sahlstraße 6, CH-3012 Bern, Schweiz.

<i>Ellipsagelosphaera strigosa</i> GRÜN & ZWEILI, n. sp.	257
<i>Ellipsagelosphaera? tubulata</i> GRÜN & ZWEILI, n. sp.	258
Gattung <i>Lotharingius</i> NOËL, 1973	259
<i>Lotharingius crucientralis</i> (MEDD, 1971) GRÜN & ZWEILI, n. comb.	259
<i>Lotharingius sigillatus</i> (STRADNER, 1961) PRINS, 1974	261
Gattung <i>Ansulasphaera</i> GRÜN & ZWEILI, n. gen.	261
<i>Ansulasphaera helvetica</i> GRÜN & ZWEILI, n. sp.	261
Gattung <i>Cyclagelosphaera</i> NOËL, 1965	262
<i>Cyclagelosphaera margerelli</i> NOËL, 1965	262
Familie Podorhabdaceae NOËL, 1965	263
Gattung <i>Podorhabdus</i> NOËL, 1965	263
<i>Podorhabdus grassei</i> NOËL, 1965	264
Gattung <i>Axopodorhabdus</i> WIND & WISE, 1976	265
<i>Axopodorhabdus cylindratus</i> (NOËL, 1965) WIND & WISE, 1976	265
<i>Axopodorhabdus depravatus</i> GRÜN & ZWEILI, n. sp.	266
<i>Axopodorhabdus rhabla</i> (NOËL, 1965) GRÜN & ZWEILI, n. comb.	267
Gattung <i>Hexapodorhabdus</i> NOËL, 1965	267
<i>Hexapodorhabdus cuvillieri</i> NOËL, 1965	267
Gattung <i>Octopodorhabdus</i> NOËL, 1965	268
<i>Otopodorhabdus decussatus</i> (MANIVIT, 1961) ROOD, HAY & BARNARD, 1971	268
<i>Otopodorhabdus oculiminutus</i> GRÜN & ZWEILI, n. sp.	269
Gattung <i>Perissocyclus</i> BLACK, 1971	271
<i>Perissocyclus fletcheri</i> BLACK, 1971	271
<i>Perissocyclus liesbergensis</i> GRÜN & ZWEILI, n. sp.	271
Gattung <i>Ethmorhabdus</i> NOËL, 1965	272
<i>Ethmorhabdus anglicus</i> ROOD, HAY & BARNARD, 1971	272
<i>Ethmorhabdus gallicus</i> NOËL, 1965	272
<i>Ethmorhabdus rimosus</i> GRÜN & ZWEILI, n. sp.	273
Familie Retecapsaceae GRÜN, 1975	273
Subfamilie Retecapoideae BLACK, 1972	273
Gattung <i>Retecapsa</i> BLACK, 1971	273
<i>Retecapsa schizobrachiata</i> (GARTNER, 1968) GRÜN, 1975	273
Gattung <i>Polypodorhabdus</i> NOËL, 1965	275
<i>Polyopodorhabdus escagi</i> NOËL, 1965	275
Ordnung Eiffellithales ROOD, HAY & BARNARD, 1971	275
Familie Stephanolithiaceae BLACK, 1968	275
Gattung <i>Stephanolithion</i> DEFLANDRE, 1939	276
<i>Stephanolithion bijgoti</i> DEFLANDRE, 1939	276
<i>Stephanolithion hexicum</i> ROOD & BARNARD, 1972	277
Gattung <i>Corollithion</i> STRADNER, 1961	278
<i>Corollithion asymmetricum</i> (ROOD, HAY & BARNARD, 1971) GRÜN & ZWEILI, n. comb.	278
<i>Corollithion fragilis</i> (ROOD & BARNARD, 1972) WIND & WISE, 1976	279
<i>Corollithion geometricum</i> (GÓRKA, 1957) MANIVIT, 1971	279
<i>Corollithion radians</i> (NOËL, 1973) GRÜN & ZWEILI, n. comb.	280
<i>Corollithion scutulatum</i> (MEDD, 1971) GRÜN & ZWEILI, n. comb.	281
Gattung <i>Rbombolithion</i> BLACK, 1973	281
<i>Rbombolithion bifurcatum</i> (NOËL, 1973) GRÜN & ZWEILI, n. comb.	282
Gattung <i>Stradnerlithus</i> BLACK, 1971	283
<i>Stradnerlithus comptus</i> BLACK, 1971	283
<i>Stradnerlithus pauciramosus</i> BLACK, 1973	283
Gattung <i>Thurmannolithion</i> GRÜN & ZWEILI, n. gen.	284
<i>Thurmannolithion clatratum</i> GRÜN & ZWEILI, n. sp.	284
Familie Calyculaceae NOËL, 1973	285
Gattung <i>Calyculus</i> NOËL, 1973	286
<i>Calyculus elongatus</i> GRÜN & ZWEILI, n. sp.	286
<i>Calyculus subcircularis</i> GRÜN & ZWEILI, n. sp.	287

<i>Calcyini?</i> sp.	287
Gattung <i>Proculithus</i> MEDD, 1979	288
<i>Proculithus expansus</i> MEDD, 1979	288
Familie Crepidolithaceae BLACK, 1971	289
Gattung <i>Crepidolithus</i> NOËL 1965	289
<i>Crepidolithus crassus</i> (DEFLANDRE, 1955) NOËL, 1965	289
<i>Crepidolithus perforatus</i> (MEDD, 1979) GRÜN & ZWEILI, n. comb.	289
Gattung <i>Parhabdolithus</i> DEFLANDRE, 1952	290
<i>Parhabdolithus liasicus</i> DEFLANDRE, 1952	290
<i>Parhabdolithus marthae</i> DEFLANDRE, 1955	290
<i>Parhabdolithus pseudobelgicus</i> MEDD, 1979	291
<i>Parhabdolithus rhombicus</i> (GRÜN, PRINS & ZWEILI, 1974) GRÜN & ZWEILI, n. comb.	291
Familie Zygotolithaceae NOËL ex BLACK, 1968	291
Gattung <i>Vekshinella</i> LOEBLICH & TAPPAN, 1963	291
<i>Vekshinella dibrachiata</i> GARTNER, 1968	291
<i>Vekshinella magna</i> (MEDD, 1979) GRÜN & ZWEILI, n. comb.	294
<i>Vekshinella quadriarcuata</i> (NOËL, 1965) ROOD, HAY & BARNARD, 1971	294
Gattung <i>Zeugrhabdotus</i> REINHARDT, 1965	295
<i>Zeugrhabdotus erectus</i> (DEFLANDRE, 1955) REINHARDT, 1965	295
<i>Zeugrhabdotus ? fissus</i> GRÜN & ZWEILI, n. sp.	296
Gattung <i>Zygotolithites</i> BLACK, 1972	297
<i>Zygotolithites cheffati</i> (ROOD, HAY & BARNARD, 1973) GRÜN & ZWEILI, n. comb.	297
<i>Zygotolithites cf. ponticus</i> (DEFLANDRE, 1955) BLACK, 1975	297
<i>Zygotolithites salillum</i> (NOËL, 1965) BLACK, 1975	298
Gattung <i>Schizospharella</i> DEFLANDRE & DANGEARD, 1938	298
<i>Schizosphaerella punctulata</i> DEFLANDRE & DANGEARD, 1938	298
Index	299
Danksagungen	303
Literaturverzeichnis	304

Zusammenfassung

Aus einem stratigraphisch gut definierten Callovien-Oxfordien-Profil, SW von Liesberg (Faltenjura, Schweiz), werden 64 Arten von kalkigem Nannoplankton beschrieben und durch Rasterelektronenmikrographien sowie schematische Zeichnungen abgebildet. Zwei neue Gattungen (*Anulasphaera*, *Thurmannolithion*) und 13 neue Arten (*Ellipsagelosphaera gresslyi*, *Ellipsagelosphaera plena*, *Ellipsagelosphaera strigosa*, *Ellipsagelosphaera ? tubulata*, *Anulasphaera helvetica*, *Axopodorhabdus depravatus*, *Octopodorhabdus oculisminutis*, *Perissocyclus liesbergensis*, *Etbmorhabdus rimosus*, *Thurmannolithion clatratum*, *Calculus elongatus*, *Calculus subcircularis*, *Zeugrhabdotus ? fissus*) werden aufgestellt.

Einleitend erfolgt eine lithologische und paläontologische Beschreibung des untersuchten Profils. Die stratigraphischen Reichweiten der 64 Nannofossilarten werden kurz behandelt.

Abstract

64 species of calcareous nannofossils from a stratigraphically well defined Callovian-Oxfordian section southwest of Liesberg (Switzerland) are described and figured by stereoscan micrographs as well as schematic drawings. They include two new genera and thirteen new species. Introductory a lithological and paleontological description of the studied section is given. The stratigraphical ranges of the 64 nannofossil-species are briefly discussed.

Résumé

Dans une coupe stratigraphique bien définie du Callovien-Oxfordien, située au SW de Liesberg (Jura plissé, Suisse), 64 espèces de nannoplancton calcaire sont décrites et représentées par des micrographies du microscope électronique à balayage, ainsi que par des dessins schématiques. Deux nouveaux genres et treize nouvelles espèces sont établis. L'introduction donne une description lithologique et paléontologique de la coupe. L'extension stratigraphique des 64 espèces de nannoplancton est indiquée.

(Traduit par Dr. P. Heitzmann, Bern)

Einleitung

Anlässlich des 9. Europäischen Mikropaläontologischen Kolloquiums in der Schweiz im Jahre 1965 wurden in einer mehrtägigen Serie von Exkursionen zahlreiche Aufschlüsse besucht. Bei diesen Aufschläßen handelt es sich um Stratotypen von Stufen und Formationen, um Typuslokalitäten bestimmter Mikrofossilien und um die Originalstellen von bekannten Mikrofaunen und -floren, die hinsichtlich ihrer Assoziationen und zeitlichen Abfolge charakteristisch sind. Eine Neubeschreibung der meisten zu besuchenden Aufschlüsse und eine Neubearbeitung ihrer Mikrofaunen und -floren wurde zum Zeitpunkt des Kolloquiums vorgelegt. Diese Einzel- und Originalarbeiten sind unter dem Titel „Neuere Daten zur mikropaläontologischen Forschung in der Schweiz“ im Bulletin der Vereinigung Schweizerischer Petrol-Geologen und -Ingenieure publiziert (Hrsg. H. SCHaub & H. LUTERBACHER).

Eine der besuchten Typlokalitäten war eine Tongrube im Berner Jura, knapp südwestlich von Liesberg gelegen (Abb. 1). Sie befindet sich am steil aufgerichteten N-Schenkel der Movelier-Antiklinale, eine der vier W-E streichenden Antiklinalstrukturen im Berner Jura zwischen Basel und Delémont (Delsberg) der Hauptstadt des neuen Kantons Jura.

Bereits aus der ersten Hälfte des vorigen Jahrhunderts liegen bedeutende Arbeiten über die Schichtfolge des Berner und auch Solothurner Jura vor. Hervorzuheben sind hier die stratigraphischen Beschreibungen der jurassischen Schichten durch A. GRESSLY (1838–1841) und etwas später J. B. GREPPIN (1870) und L. ROLLIER (1898). Die Mollusken- und Brachiopodenfaunen des unteren Malm werden von P. DE LORIOL (1889–1901) in mehreren, bis heute aktuellen Monographien publiziert. Aus diesem Jahrhundert seien Arbeiten von W. T. KELLER (1922), A. J. STÄUBLE (1959) und das „Lexique stratigraphique international“ (1960) erwähnt.

Auch auf dem Gebiet der Mikropaläontologie sind im letzten Jahrhundert grundlegende Arbeiten von J. KÜBLER & H. ZWINGLI (1870) und R. HAEUSLER (1890) erschienen. Sie beschreiben die Mikrofaunen des Rauraciens in Argovien-Fazies. Die Foraminiferen des Callovien und Oxfordien von Liesberg wurden aber erst 1938 von W. MOHLER bearbeitet. Eine Überarbeitung der Mikrofaunen aus diesem Bereich führte 1965 H. FISCHER durch. Vom selben Autor erfolgte 1965 auch die Beschreibung und Neubearbeitung der Tongrube Liesberg-Dorf SW Liesberg für das 9. Europäische Mikropaläontologische Kolloquium. Diese Publikation ist die Grundlage für unser einleitendes Kapitel, die lithologische Beschreibung der in der Tongrube aufgeschlossenen Gesteine und ihres paläontologischen Inhalts.

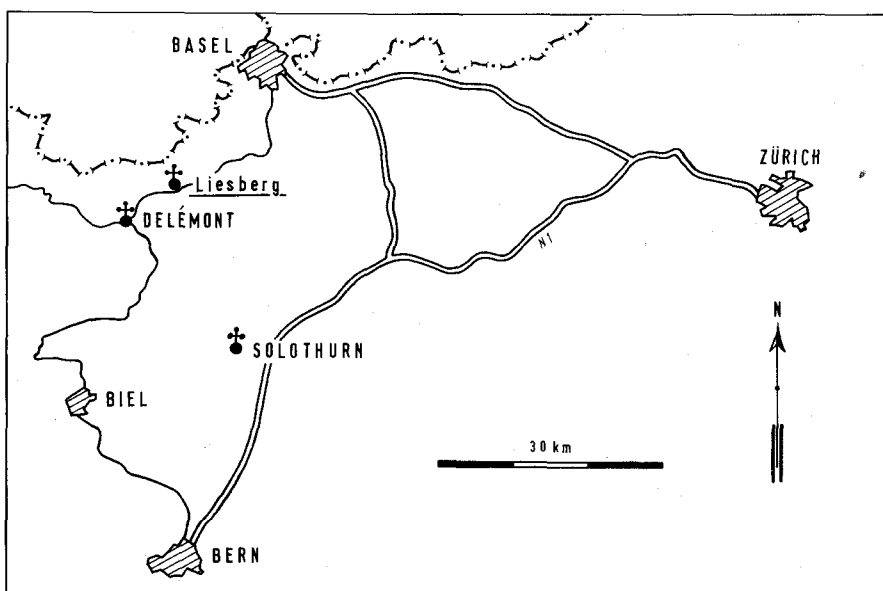
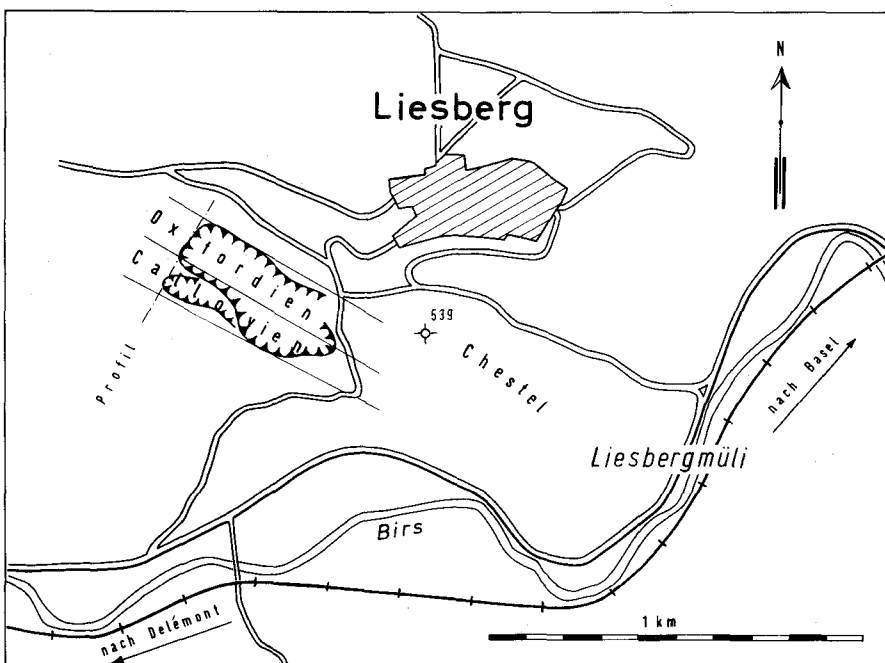


Abb. 1: Lageplan der Tongrube Liesberg-Dorf SW Liesberg, Kanton Bern, Schweiz.

Schichtfolge und Fossilinhalt

(Nach H. FISCHER, 1965, S. 29 ff.)

Callovien

Macrocephalus-Schichten: Braune, leicht späte Kalke und Mergelkalke, die mit dünneren Mergellagen alternieren. Das Gestein ist stark limonithaltig und wird gegen oben knauerig.

Reicher Fossilinhalt (vgl. A. J. STÄUBLE, 1959, S. 79 f.): Echinodermenträümmer, Brachiopoden, Lamellibranchier (Pholadomyen, Pleuromyen, Pectiniden etc.), Gastropoden (Pleurotomarien) und Cephalopoden (Macrocephaliten, Perisphincten); selten Foraminiferen.

Callovien-Tone: Vorwiegend dunkelgraue tonige Mergel mit reichlichen Pyriteinschlüssen. Nur an der Basis Makrofossilien enthaltend (Echinodermenträümmer, Bivalen, Macrocephaliten). Reiche Mikrofauna:

Probe 1 (Untere Callovien-Tone)

Foraminiferen:

Reophax sp.: s

Ammodiscus sp.: h

(?) *Haplophragmium* sp.: s

Haplophragmoides sp.: s

Textularia sp.: ss

Tritaxis conica (PARKER & JONES): s

Lenticulina (*Lenticulina*) *muensteri* (ROEMER): h

Lenticulina (*Lenticulina*) *subalata* (REUSS): ss

Lenticulina (*Lenticulina*) cf. *cultrata* (MONTFORT): s

Lenticulina (*Astaculus*) sp.: ss

Lenticulina (*Planularia*) *tricarinella* (REUSS): ss

Lenticulina (*Planularia*) sp.: ss

Lenticulina (*Saracenaria*) *cornucopiae* (SCHWAGER): ss

Vaginulina sp.: ss

Falsopalmula deslongchampsi (TERQUEM): s

Frondicularia sp.: ss

Lingulina sp.: ss

Rectoglandulina sp.: s

Nodosaria sp.: ss

Dentalina sp. sp.: s

Tristix acutangula (REUSS): ss

Ostracoden (Bestimmung: H. J. OERTLI):

Cyberella sp.

Cyberelloidea sp. 528 BUCK 1954

Polycope sp.

Monoceratina vulsa (JONES & SHERBORN 1888)

Praeschuleridea (?) sp.

Procyberidea (?) sp.

Ostracode 11 LUTZE 1960

Probe 2 (Mittlere Callovien-Tone)

Foraminiferen:

Ammodiscus sp. sp.: h

(?) *Haplophragmium* sp.: ss

Haplophragmides sp.: s
Tritaxis conica (PARKER & JONES): s
 (?) *Ophthalmidium* sp.: ss
Nubeculinella sp.: s
Lenticulina (*Lenticulina*) *muensteri* (ROEMER): s
Lenticulina (*Lenticulina*) cf. *ultrata* (MONTFORT): ss
Lenticulina (*Lenticulina*) *varians* (BORNEMANN): ss
Lenticulina (*Planularia*) *tricarinella* (REUSS): ss
Lenticulina (*Planularia*) sp.: ss
Lenticulina (*Saracenaria*) *cornucopiae* (SCHWAGER): ss
Marginulina glabra D'ORBIGNY: s
Vaginulina sp.: ss
Vaginulina flabelloides (TERQUEM): ss
Lingulina sp.: ss
Dentalina sp. sp.: h
Nodosaria sp.: ss
Lagena sp.: ss
Tristix acutangula (REUSS): ss
Paalzowella cf. *feifeli feifeli* (PAALZOW): ss

Ostracoden (Bestimmungen: H. J. OERTLI):

Cytherella sp.
Cytherelloidea sp. 528 BUCK 1954
Monoceratina vulsa (JONES & SHERBORN 1888)
Paracypris sp.
Macrocypris sp.
Lophocythere cruciata intermedia LUTZE 1960
Procytheridea aff. *gublerae* (BIZON 1958)
Parariscus bathonicus OERTLI 1959
 unbekannte Mikro-Ostracoden

Ophiuren (Bestimmung H. HESS, 1963):

Ophiomusium calloviense HESS
Ophiacantha ? *liesbergensis* HESS
Ophiopinna ? *wolburgi* HESS
Ophiopinna ? *drecta* HESS
Ophiopetra ? cf. *lithographica* HESS

Dalle nacrée: Braune, limonitreiche Echinodermenbreccie in typisch grobspäfig-plattiger Ausbildung. Außer den Echinodermenträmmern vereinzelt Bryozoen, Bivalven und Perisphinctiden. Mikrofauna: vereinzelt Lageniden und Ostracoden.

Athleta-Eisenoolith: Braunrot anwitternde, eisenoolithische Kalke und Mergelkalke. Fossilinhalt (vgl. A. J. STÄUBLE, 1959, S. 81): Echinodermenträmmen, Bivalven (u. a. Pectiniden), Gastropoden (Pleurotomarien) und Cephalopoden (Reineckien, Hecticoceraten, Peltoceraten, Cosmoceraten, Belemniten).

Oxfordien

Renggeri-Tone: Dunkelgraue, fette, tonige Mergel, welche sich durch einen großen Fossilreichtum auszeichnen (vgl. P. DE LORIOL, 1898, 1899): Crinoiden-Fragmente, Brachiopoden (u. a. Aulacothyriden), Lamellibranchier (Nuculiden) und Cephalopoden (Belemniten, Phylloceraten, Hecticoceraten, Oppeliden, Cardioceraten, Quenstedticeraten, Perisphincten, Peltoceraten). Sehr reiche Mikrofauna:

Probe 3 (Untere Renggeri-Tone)

Foraminiferen:

- Proteonina* sp.: s
Reophax horridus (SCHWAGER): s
Reophax cf. sterkii HAEUSLER: ss
Ammodiscus sp. sp.: s
(?) *Haplophragmium* sp. sp.: h
Haplophragmoides sp.: ss
Textularia jurassica GÜMBEL: h
Trochammina cf. depressa LOZO: s
Gaudryina sp.: h
(?) *Valvulina* sp.: s
Ophthalmidium cf. *milioliniformis* (PAALZOW): h
Ophthalmidium sp.: s
Nodobacularia bulbifera PAALZOW: hh
Nubeculinella sp.: s
(?) *Bullopore* sp.: s
Lenticulina (*Lenticulina*) *muensteri* (ROEMER): h
Lenticulina (*Lenticulina*) *quenstedti* (GÜMBEL): hh
Lenticulina (*Astacolus*) sp.: ss
Lenticulina (*Planularia*) *tricarinella* (REUSS): h
Lenticulina (*Planularia*) *lanceolata* (SCHWAGER): s
Lenticulina (*Planularia*) *cordiformis* (TERQUEM): ss
Lenticulina (*Saracenaria*) *cornucopiae* (SCHWAGER): s
Lenticulina (*Vaginulinopsis*) sp.: ss
Marginulina cf. *glabra* D'ORBIGNY: ss
Frondicularia nikitini UHLIG: ss
Dentalina sp. sp.: ss
Nodosaria sp.: ss
Lagena sp.: ss
Epistomina mosquensis UHLIG: hh
Epistomina parastelligera (HOFKER): hh
„*Globigerina*“ cf. *helveto-jurassica* HAEUSLER: h

Ostracoden (Bestimmung: H. J. OERTLI):

- Polycope* sp. 11 OERTLI 1959
Cyberella index OERTLI 1959
Monoceratina stimulea (SCHWAGER 1866)
Monoceratina scrobiculata TRIEBEL & BARTENSTEIN 1938
Pracytheridea gublerae (BIZON 1958)
Cyberura (?) *liesbergensis* OERTLI 1959
Lophocythere cruciata aff. *oxfordiana* LUTZE 1960
unbekannte Mikro-Ostracoden

Probe 4 (Obere Renggeri-Tone)

Foraminiferen:

- Proteonina* sp.: s
Ammodiscus sp. sp.: s
(?) *Haplophragmium* sp.: ss
Textularia jurassica GÜMBEL: ss
Gaudryina sp.: ss
Ophthalmidium sp.: s
Nubeculinella sp.: hh
Nodobacularia bulbifera PAALZOW: ss
Lenticulina (*Lenticulina*) *muensteri* (ROEMER): s
Lenticulina (*Lenticulina*) *quenstedti* (GÜMBEL): h

Lenticulina (*Astacolus*) sp. sp.: s
Lenticulina (*Planularia*) sp.: ss
Lenticulina (*Saracenaria*) sp.: ss
Marginulina cf. *glabra* D'ORBIGNY: ss
Citharina cf. *implicata* (SCHWAGER): s
Frondicularia supracalloviensis WISNIOWSKI: s
Frondicularia cf. *nikitini* UHLIG: ss
Dentalina sp. sp.: s
Nodosaria sp.: ss
Tristix sp.: ss
Paalzowella sp.: ss

Ostracoden (Bestimmung: H. J. OERTLI):

Polyope sp. 11 OERTLI 1959
Cyberella index OERTLI 1959
Monoceratina sp.
Pontocyprilla suprajurassica OERTLI 1959
Lophocythere cruciata oxfordiana LUTZE 1960
Lophocythere cruciata n. ssp.

Terrain à chailles: Wechsellagerung von grauen Mergeln und Kalkknollen-(Chail-
len-)Lagen. Außerordentlicher Fossilreichtum (vgl. P. DE LORIOL, 1896, 1897, 1901): Cri-
noiden (v. a. Millericriniden), Echiniden (Collyriten), Brachiopoden, Gastropoden (Pseudo-
melanien, Pleurotomarien), Lamellibranchier (Pleuromyen, Hormomyen, Pholadomyen, Li-
miden, Pectiniden) und Cephalopoden (Cardioceraten, Perisphincten, Aspidoceraten).
Mäßig reiche Mikrofauna.

(Anmerkung: H. FISCHER folgt bei dieser Beschreibung der französischen Stufenglie-
derung, und wir haben uns in der vorliegenden Arbeit dieser Einteilung angeschlossen. In
der letzten Zeit ist aber die Stratigraphie im Bereich des Schweizer Jura der englischen Stu-
fengliederung angeglichen worden. Es ergeben sich daraus folgende Änderungen:

Französische Stufen		Englische Stufen
	Terrain à chailles	Unteres
Oxfordien	Renggeri-Tone	- P4
	Athleta-Eisenoolith	Oxfordian
	Dalle nacrée	- P3
Callovien	Callovien-Tone	Callovian
	Macrocephalus-Schichten	- P2
		- P1

Die stratigraphische Einstufung der 4 Proben lautet nach der englischen Stufeneinteilung: P1 = unteres Unter-Callovian, P2 = mittleres Unter-Callovian, P3 = oberes Callovian, P4 = unteres Unter-Oxfordian.)

Nannoflora

„Wie der Callovienton enthält auch der Renggeriton in seinen feinsten Fraktionen Nannofossilien: *Coccolithidae* (um 5 µ lange, ovale Körperchen) (?) *Stephanolithion* sp.: abgerundete sechskantige Körperchen mit 6–9 radial angeordneten Fortsätzen (Länge 6–10 µ). Diese Formen sind ähnlich dem in J. PIVETEAU (1952) abgebildeten *Stephanolithion bigoti* DEFLANDRE aus dem Oxfordien.“ Dieser Hinweis von H. FISCHER (1965, S. 34) hat uns veranlaßt, die Nannoflora der Callovien- und Renggeri-Tone elektronenmikroskopisch zu bearbeiten.

Die Entnahmestellen der von uns gesammelten Proben sind mit den Entnahmestellen der vier oben beschriebenen, mikropaläontologischen Proben identisch. Das Gesteinsmaterial wurde in destilliertem Wasser einer kurzen Ultraschall-Behandlung unterzogen und in Suspension auf einem Objektträger aufgebracht. Um störende Aufladungen zu vermeiden, wurden die Präparate vor der üblichen Kohle-Gold-Bedämpfung mit Osmiumsäure (OsO_4) behandelt. Die Aufnahmen erfolgten auf einem Rasterelektronenmikroskop Cambridge Mark IIa (Geologisches Institut, Universität Bern) mit einer 6x6-Kamera. Es wurden Ilford FP4-(22 DIN/125 ASA)-Filme verwendet.

Die vorgefundene Nannoflora ist relativ gut erhalten und erwies sich vor allem in der Probe 3 des unteren Renggeri-Tones mit 57 Arten als überraschend artenreich. Von den insgesamt 59 aus dem Profil bei Liesberg bekannten Arten treten 23 bereits vor dem Callovien, mit Ersteinsätzen vom Hettangien bis Bathonien, auf. Für 8 Arten ist die Probe 1 des unteren Callovien-Tones das stratigraphisch tiefste Vorkommen, während in der individuen- und artenarmen Probe 2 des mittleren Callovien-Tones nur 4 Arten erstmals auftreten. Ein massiver Einsatz von 24 Arten erfolgt in der Probe 3 des unteren Renggeri-Tones, knapp oberhalb der Callovien-Oxford-Grenze. Sicherlich ist dieser markante Einsatz durch den Umstand, daß die unterlagernde Probe 2 relativ fossilarm ist, unverhältnismäßig überbetont. In Probe 4 treten nur Arten auf, die aus den darunter liegenden Proben schon bekannt sind.

Insgesamt 30 Arten haben im Untersuchungsbereich ihr stratigraphisch letztes Auftreten. Es sind dies je eine Art in den Proben 1 und 2 sowie 9 Arten in Probe 3 und 19 Arten in Probe 4. Es ergeben sich somit im Gebiet von Liesberg für das Intervall unteres Callovien – unteres Oxfordien 66 Nannoplankton-Ereignisse („local biostratigraphic events“ nach W. W. HAY, 1972, S. 257 f.). Inwieweit sie auch gültig sind, werden weitere Untersuchungen zeigen müssen.

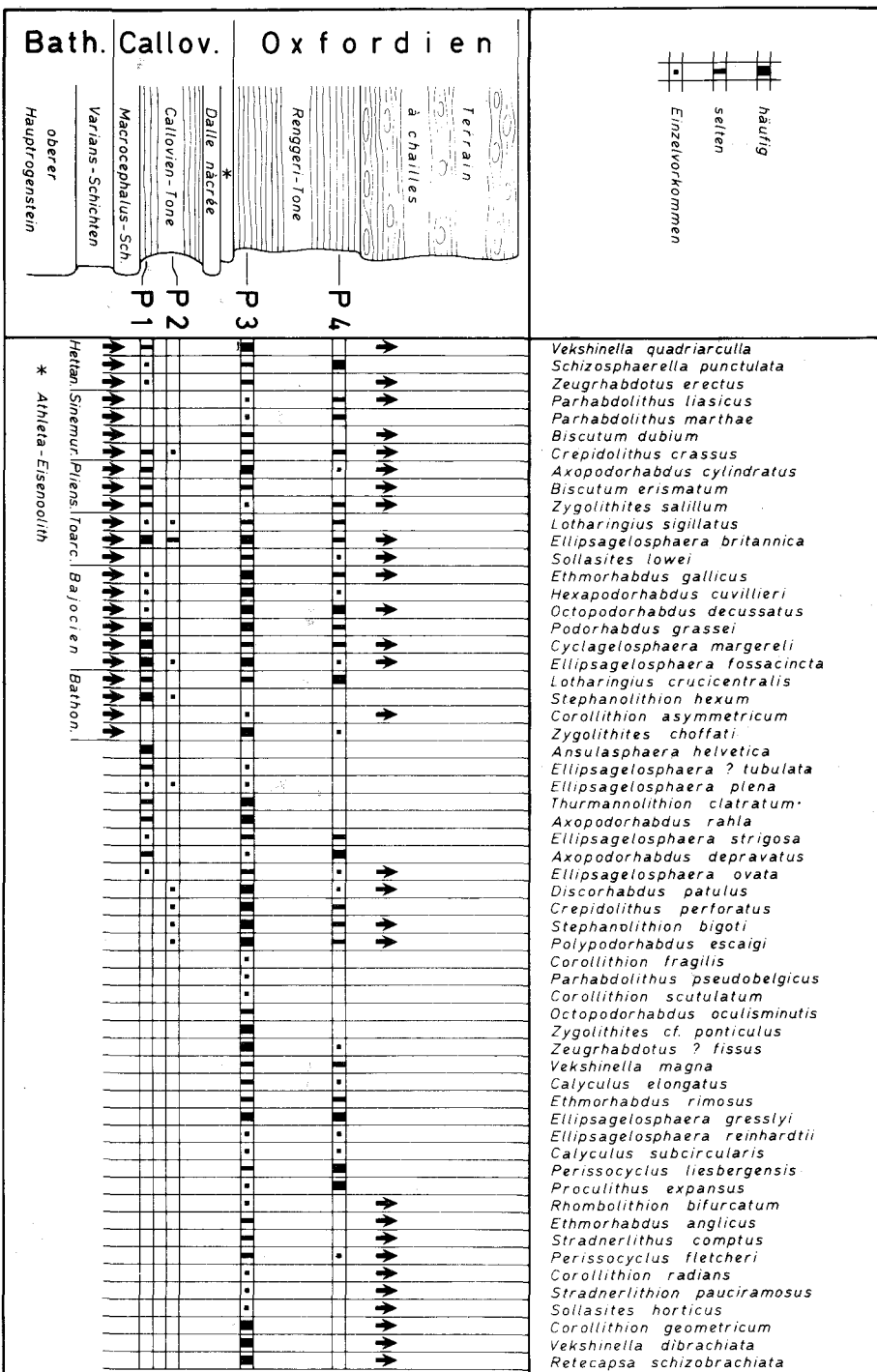


Abb. 2: Stratigraphische Verbreitung der Coccolithophoren im Profil der Tongrube Liesberg-Dorf SW Liesberg.

Systematische Paläontologie

Entsprechend Art. 3 des „Internationalen Code der botanischen Nomenklatur“ sind die Gattungen gewisser Gruppen fossiler Pflanzen, die gewöhnlich aus bruchstückhaften Exemplaren bestehen, deren Zusammenhang nur selten bewiesen werden kann, als Formgattungen Familien nicht zuweisbar. Einige Nannopaläontologen verfahren in diesem Sinne und ordnen ihre Gattungen lediglich alphabetisch, ohne sie Familien zuzuordnen. Im Gegensatz dazu sind wir der Auffassung, daß bereits von vielen Nannoplankton-Arten vollständige Coccospären bekannt sind und somit „die Namen der Arten und folglich die vieler höherer Taxa“ keineswegs „auf bruchstückhafte Exemplare gegründet sind“ (ICBN, 1972, S. 151). Darüber hinaus würden, bei einer Behandlung der Nannoplankton-Gattungen im Sinne von Familien-nicht-zuweisbaren Formgattungen, viele bereits gesicherte Beziehungen von Gattungen verlorengehen oder jedenfalls nicht zum Ausdruck gebracht werden können. Daher verstehen wir unsere Gattungen als Organgattungen und versuchen mit ihrer Zuordnung zu Familien und Taxa höherer Rangstufen verwandtschaftliche Beziehungen anzudeuten.

Die einigen Arten beigefügten schematischen Zeichnungen (Abb. 3–41) sollen die Beschreibungen ergänzen. Hier wurde nicht versucht, ein bestimmtes Exemplar einer Art, sondern möglichst alle uns charakteristisch erscheinenden Merkmale einer Art darzustellen.

Bei der in den Beschreibungen angewandten morphologischen Terminologie haben wir uns nach Möglichkeit an die Empfehlungen von Rom, 1970 (Round Table on Calcareous Nannoplankton) gehalten.

Reich PLANTAE

Abteilung CHRYSOPHYTA

Klasse COCCOLITHOPHYCEAE ROTHMALER, 1951

Ordnung PODORHABDALES ROOD, HAY & BARNARD, 1971

Familie BISCUTACEAE BLACK, 1971

Typus-Gattung: *Biscutum* BLACK, in BLACK & BARNES, 1959, Geol. Mag. 96: S. 325.

1971 *Sollasitaceae* n. fam. – BLACK, S. 411 [syn.]

1973 *Discorhabdaceae* n. fam. – NOËL, S. 116 [syn.]

Subfamilie BISCUTOIDEAE HOFFMANN, 1970

Gattung *Biscutum* BLACK, in BLACK & BARNES, 1959

Typus-Art: *Tremalithus ellipticum* GÓRKA, 1957, Acta Palaeontol. Polon. 2: S. 245, 269; Taf. 1, Fig. 11 = *Biscutum ellipticum* (GÓRKA, 1957) GRÜN, in GRÜN & ALLEMANN, 1975, Eclogae geol. Helv. 68: S. 154, Taf. 1, Fig. 6 [non Taf. 1, Fig. 5, 7].

1965a *Palaeopontosphaera* n. gen. – NOËL, S. 4 [syn.]

1973 *Palaeopontosphaera* NOËL, 1965a, emend. – NOËL, S. 117 [syn.]

Bemerkungen: BLACK definierte 1959 die zur Gattung *Biscutum* gehörenden Formen als imperforate Coccolithen, die mehr als einen Zyklus besitzen, wobei die einzelnen Zyklen sehr eng aneinandergepreßt sind. Diese sehr allgemein gehaltene Definition gibt in der späteren Folge zu unterschiedlichen Deutungen Anlaß. So beschreibt REINHARDT, 1966 (S. 30), in seiner emendierenden Diagnose der Gattung *Biscutum* die äußere Kontur als „circulär“, obwohl die beiden Abbildungen von BLACK, 1959, eindeutig elliptische Formen zeigen und auch der Typus *Biscutum testudinarium* in diesem Sinne beschrieben ist. Auf diesen Widerspruch weist PERCH-NIELSEN 1968 (S. 77) hin. REINHARDT vereint dar-

aufhin 1970 in seiner „Synopsis“ sowohl elliptische als auch „circuläre“ Coccolithen in *Biscutum*, da er dem Coccolithenumriß keine gattungstrennende Bedeutung beimißt. Im Gegensatz dazu hat ein Jahr vorher BUKRY kreisförmige Coccolithen unter dem Gattungsnamen *Bidiscus* (= jüngeres Synonym von *Discorhabdus* NOËL, 1965), von *Biscutum* abgetrennt.

Dieser Einteilung schließt sich auch BLACK, 1972, mit seiner Diagnose für *Biscutum* (S. 26: „Biscutaceae with broadly elliptical or nearly circular shields and bilateral symmetry.“) und *Bidiscus* (S. 24: „Biscutaceae with circular shields and approximately radial symmetry.“) an. In den Bemerkungen (Remarks, S. 27) erfolgt eine weitere Präzisierung auf ausschließlich 2 Scheiben, die zwar in engem Kontakt, aber nicht miteinander verschmolzen sind. Im weiteren wird eine deutliche Vergenz der Elementsuturen („precession of the interradial sutures“) – ohne Angabe der Richtung – hervorgehoben. Das 1959 bei den beiden Arten *B. testudinarium* und *B. castrorum* und 1972 bei vielen anderen Arten festgestellte Übergreifen der distalen Scheibenelemente über die proximalen („...the proximal shield has the appearance of being pushed into the under surface of the distal shield, ...“) scheint eher einem stärkeren overgrowth zuzuschreiben zu sein.

WIND & WISE, in WISE & WIND, 1976, heben in ihren Bemerkungen (S. 297) zur Gattung *Biscutum* ein zusätzliches Charakteristikum hervor: „When viewed from the distal side, the distal rim of specimens so observed is characterized by interelemental sutures modified into a dovetail tongue-and-groove configuration. The counter-clockwise edge of each element forms a short, often wide appendage with rounded corners, which is inserted in a corresponding similarly shaped depression on the clockwise edge of the adjacent shield element.“

Ganz allgemein werden somit Formen mit folgenden Besonderheiten zur Gattung *Biscutum* gestellt: Der äußere Umriß ist elliptisch bis nahezu kreisrund. Der Durchmesser variiert stark. Publiziert wurden Formen von 1,7 µ bis über 10 µ. Je eine monozylische distale und proximale Scheibe sind eng aneinandergepreßt. Die einzelnen Elemente sind entweder gerade oder sie besitzen seitliche schwabenschwanzähnliche Auswüchse, die, gegen den Uhrzeigersinn gerichtet, in entsprechende Vertiefungen des angrenzenden Elementes eindringen. Es ist keine Imbrikation zu erkennen. Die Elementsuturen zeigen eine mehr oder weniger deutliche Präzession im Uhrzeigersinn, wobei diese Präzession an den Ellipsenseiten stärker als an den Ellipsenscheiteln ist. Die Breite der Elemente ist dagegen an den Ellipsenscheiteln größer. Die Anzahl der Elemente ist nur untergeordnet artspezifisch und schwankt innerhalb der Gattung zwischen 14 und 34 je Scheibe. Eminent artspezifisch ist dagegen die Ausbildung des Zentralfeldes. Es ist, abgesehen von einer zentralen Perforation oder einem Schlitz (*B. castrorum* BLACK, 1959), imperforat und wird von Granulae oder Deckplatten verschiedenster Größe und Gestalt ausgefüllt. Die zentrale Perforation kann von einem, aus wenigen Elementen bestehenden, kurzen Zentralfortsatz umrahmt sein. Perforationen außerhalb des Zentrums, wie z. B. die Perforationen am Rande des Zentralfeldes bei *Biscutum martellum* BURNS, 1976 (S. 281, Taf. 1, Fig. 5, 6), sind Korrosionserscheinungen. Andernfalls würden diese Formen auch nicht der Gattung *Biscutum* entsprechen.

Der einzige Unterschied zur Gattung *Palaeopontosphaera* NOËL, 1965, emend. NOËL, 1973, besteht darin, daß *Palaeopontosphaera* auf Formen beschränkt ist, die eine zentrale, von einem Zentralfortsatz umgebene Perforation besitzen. Damit würden für die Gattung *Biscutum* nur völlig imperforate Formen verbleiben. Es stellt sich dann aber die Frage, ob eine Coccospaere, die sich nur aus völlig imperforaten Coccolithen aufbaut, lebensfähig wäre.

Die Präsenz eines kurzen Tubus um eine zentrale Perforation erscheint uns aber keineswegs ausreichend für die Einführung einer neuen Gattung.

Biscutum castrorum BLACK, 1959, sensu PERCH-NIELSEN, 1968

(Abb. 3)

1959 *Biscutum castrorum* n. sp. – BLACK, in BLACK & BARNES, S. 326, Taf. 10, Fig. 2.

1966 *Coccolithus oregus* n. sp. – STOVER (partim), S. 139, Taf. 8, Fig. 4 (?) [non Taf. 1, Fig. 8, 9 = *Biscutum ellipticum* (GÓRKA, 1957) GRÜN, 1975].

1968 *Biscutum castrorum* BLACK, 1959 – PERCH-NIELSEN, S. 79, Fig. 40; Taf. 28, Fig. 1–5.

non 1969 *Biscutum aff. B. castrorum* BLACK, 1959 – PERCH-NIELSEN, S. 57, Taf. 3, Fig. 1 [= (?) *Biscutum multiforme* BUKRY, 1969].

1970 *Biscutum constans* (GÓRKA, 1957) BLACK, 1959 – NOËL (partim), S. 91, Taf. 34, Fig. 1a–1g [non Taf. 33, Fig. 1–10 = *Biscutum ellipticum* (GÓRKA, 1957) GRÜN, 1975].

1972 *Biscutum constans* (GÓRKA, 1957) BLACK, 1959 – ROTH & THIERSTEIN (partim), Taf. 8, Fig. 14 [non Taf. 8, Fig. 13, 15–18 = *Biscutum ellipticum* (GÓRKA, 1957) GRÜN, 1975].

1972 *Biscutum constans* (GÓRKA, 1957) BLACK, 1967 – HOFFMANN (partim), S. 66, Taf. 10, Fig. 4 [non Taf. 6, Fig. 5, 6; Taf. 8, Fig. 6; Taf. 18, Fig. 4–6 = *Biscutum ellipticum* (GÓRKA, 1957) GRÜN, 1975].

1975 *Biscutum ellipticum* (GÓRKA, 1957) n. comb. – GRÜN, in GRÜN & ALLEMANN (partim), S. 154, Taf. 1, Fig. 5 [non Taf. 1, Fig. 6 = *Biscutum ellipticum* (GÓRKA, 1957) GRÜN, 1975; non Taf. 1, Fig. 7 = *Biscutum dubium* (NOËL, 1965) GRÜN, 1974].

1976 *Biscutum constans* (GÓRKA, 1957) BLACK, 1967 – HILL (partim), S. 123, Taf. 1, Fig. 32, 33; Taf. 13, Fig. 2, 4 [non Taf. 1, Fig. 34–37; Taf. 13, Fig. 3 = *Biscutum ellipticum* (GÓRKA, 1957) GRÜN, 1975].

1976 *Biscutum martellum* n. sp. – BURNS, S. 281, Taf. 1, Fig. 5, 6 (?).

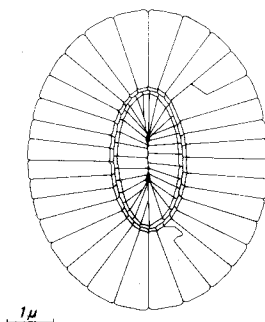


Abb. 3: *Biscutum castrorum* BLACK, 1959, sensu PERCH-NIELSEN, 1968. Schematische Zeichnung der distalen Seite.

Bemerkungen: Eine überwiegend breitelliptische Art der Gattung *Biscutum* mit 22 bis 32 Elementen in jeder der beiden Scheiben. Das Zentrafeld ist distal entweder von unregelmäßigen Granulae bedeckt oder es zeigt proximal Elemente, die, radial angeordnet, einen zur langen Ellipsenachse parallelen Schlitz frei lassen.

Biscutum ellipticum (GÓRKA, 1957) GRÜN, 1975, hat nur 14 bis 22 Elemente in jeder Scheibe und eine zentrale Perforation ohne Zentralfortsatz. Bei *Biscutum dubium* (NOËL, 1965) GRÜN, 1974, ist die zentrale Perforation von einem kurzen Elementring umgeben, und *Biscutum erismatum* (WIND & WISE, 1976) GRÜN & ZWEILI, n. comb. zeigt im Zentrafeld eine von Granulae gebildete, zu den Ellipsenachsen parallele Kreuzstruktur.

Vorkommen: Hauerive – Maastricht.

Coccolithen-Länge: 5,0 μ –9,0 μ ; Coccolithen-Breite: 3,9 μ –7,7 μ .

Zentrafeld-Länge: 2,1 μ –4,3 μ ; Zentrafeld-Breite: 1,8 μ –3,5 μ .

Coccolithen-Länge/Zentrafeld-Länge: 2,0–2,2; Exzentrizität: 1,14–1,30.

- Biscutum dubium* (NOËL, 1965) GRÜN, 1974, emend. GRÜN & ZWEILI
 (Abb. 4; Taf. 1, Fig. 1, 2)
 non 1965a *Palaeopontosphaera dubia* n. sp. – NOËL, S. 4, Textfig. 8 [= *Biscutum erismatum* (WIND & WISE, 1976)
 GRÜN & ZWEILI, n. comb.].
 1965b *Palaeopontosphaera dubia* n. sp. – NOËL (partim), S. 76, Taf. 7, Fig. 1, 3, 5, 7–12 [non Textfig. 8; Taf. 7, Fig. 2,
 4, 13 = *Biscutum erismatum* (WIND & WISE, 1976) GRÜN & ZWEILI, n. comb.].
 1971 *Biscutum gartneri* n. sp. – BLACK, S. 393, Taf. 30, Fig. 2.
 1971 *Palaeopontosphaera dubia* NOËL, 1965 – MEDD (partim), S. 826, Taf. 4, Fig. 5 [non Taf. 4, Fig. 6 = *Discorhabdus
 patulus* (DEFLANDRE, 1955) NOËL, 1965].
 1971 *Palaeopontosphaera dubia* NOËL, 1965 – ROOD, HAY & BARNARD, S. 265, Taf. 4, Fig. 9.
 1972 *Biscutum gartneri* BLACK, 1971 – BLACK, S. 27, Taf. 2, Fig. 1–4.
 1973 *Palaeopontosphaera dubia* NOËL, 1965, emend. – NOËL, S. 117, Taf. 13, Fig. 1–5.
 1973 *Paleopontosphaera dubia* NOËL, 1965 – ROOD, HAY & BARNARD, S. 378, Taf. 3, Fig. 1.
 1974 *Paleopontosphaera dubia* NOËL, 1965 – BARNARD & HAY, Taf. 2, Fig. 2; Taf. 5, Fig. 1.
 1974 *Biscutum dubium* (NOËL, 1965) n. comb. – GRÜN, PRINS & ZWEILI, S. 297, Abb. 14, Fig. 1–3.
 1975 *Biscutum ellipticum* (GÓRKA, 1957) n. comb. – GRÜN, in GRÜN & ALLEMANN (partim), S. 154, Taf. 1, Fig. 7
 [non Taf. 1, Fig. 5 = *Biscutum castrorum* BLACK, 1959; non Taf. 1, Fig. 6 = *Biscutum ellipticum* (GÓRKA, 1957) GRÜN,
 1975, emend. GRÜN & ZWEILI].
 1977 *Biscutum ellipticum* (GÓRKA, 1957) GRÜN & ALLEMANN, 1975 – HAMILTON, Taf. 1, Fig. 7; Taf. 3, Fig. 7 (?).

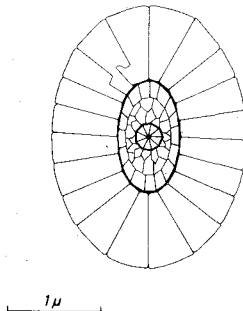


Abb. 4: *Biscutum dubium* (NOËL, 1965) GRÜN, 1974, emend. GRÜN & ZWEILI. Schematische Zeichnung der distalen Seite.

Bemerkungen: Diese elliptischen Formen haben 15 bis 22 Scheibenelemente und sind im wesentlichen kleiner als *B. ellipticum* und *B. castrorum*. Das Zentrafeld ist, von einer zentralen Perforation abgesehen, völlig von Granulae erfüllt. Die Perforation wird von einem kurzen, aus wenigen Elementen aufgebauten Zentralfortsatz umgeben.

Durch den Zentralfortsatz unterscheidet sich *B. dubium* von *B. ellipticum* und *B. castrorum*, während *B. erismatum* eine zusätzliche Kreuzstruktur im Zentrafeld aufweist.

Vorkommen: Sinemurien – Alb.

Coccolithen-Länge: 2,0 μ –4,5 μ ; Coccolithen-Breite: 1,5 μ –3,6 μ .

Zentrafeld-Länge: 0,9 μ –2,3 μ ; Zentrafeld-Breite: 0,5 μ –1,7 μ .

Coccolithen-Länge/Zentrafeld-Länge: 1,8–2,4; Exzentrizität: 1,18–1,40.

- Biscutum ellipticum* (GÓRKA, 1957) GRÜN, 1975, emend. GRÜN & ZWEILI
 (Abb. 5)

non 1956 *Discoaster floridus* n. sp. – SHAMRAI & LAZAREVA, S. 713, Fig. 1 (11).

1957 *Tremalithus ellipticum* n. sp. – GÓRKA, S. 245, 269, Taf. 1, Fig. 11.

1957 *Tremalithus Melaniae* n. sp. – GÓRKA, S. 245, 270, Taf. 1, Fig. 12.

- 1957 *Discolithus constans* n. sp. – GÓRKA, S. 257, 279, Taf. 4, Fig. 7.
- 1957 *Discoaster floridus* n. sp. – GÓRKA, S. 264, 283, Taf. 5, Fig. 11 [illegitimit nach ICBN Art. 64/1].
- 1959 *Biscutum testudinarium* n. sp. – BLACK, in BLACK & BARNES, S. 325, Taf. 10, Fig. 1.
- 1960 *Coccolithus cf. tenuis* KAMPTNER, 1937 – CARATINI, S. 42, Taf. 4, Abb. 71, 72 (?).
- 1964 *Cribrosphaerella tectiforma* n. sp. – REINHARDT, S. 758, Taf. 2, Fig. 4.
- 1965 *Coccolithites polycingulatus* n. sp. – REINHARDT, S. 39, Taf. 3, Fig. 4.
- 1966 *Coccolithites polytingulatus* REINHARDT, 1965 – REINHARDT, S. 19, Taf. 12, Fig. 1.
- non 1966 *Biscutum testudinarium* BLACK, 1959 – REINHARDT, S. 30, Taf. 19, Fig. 1 [= *Discorhabdus ignotus* (GÓRKA, 1957) PERCH-NIELSEN, 1968].
- 1966 *Cribrosphaera* (al. *Cribrosphaerella*) *tectiforma* REINHARDT, 1964 – REINHARDT, S. 30, Taf. 5, Fig. 3; Taf. 12, Fig. 3, 4; Bild 12.
- 1966 *Coccolithus oregus* n. sp. – STOVER (partim), S. 139, Taf. 1, Fig. 8, 9 [non Taf. 8, Fig. 4 = (?) *Biscutum castrorum* BLACK, in BLACK & BARNES, 1959].
- 1967 *Biscutum constans* (GÓRKA, 1957) n. comb. – BLACK, S. 139.
- 1967 *Watznaueria melaniae* (GÓRKA, 1957) n. comb. – REINHARDT & GÓRKA, S. 247.
- non 1968 *Biscutum testudinarium* BLACK, 1959 – STRADNER, ADAMIKER & MARESCH, S. 29, Taf. 11; Taf. 12 [= *Discorhabdus ignotus* (GÓRKA, 1957) PERCH-NIELSEN, 1968].
- 1968 *Biscutum blacki* n. sp. – GARTNER, S. 18, Taf. 1, Fig. 7; Taf. 6, Fig. 2; Taf. 8, Fig. 8–10; Taf. 11, Fig. 8; Taf. 15, Fig. 2; Taf. 16, Fig. 8.
- 1968 *Biscutum constans* (GÓRKA, 1957) BLACK, 1967 – PERCH-NIELSEN, S. 78, Textfig. 39; Taf. 27, Fig. 1–11.
- 1968 *Biscutum asymmetricum* n. sp. – PERCH-NIELSEN, S. 80, Taf. 23, Fig. 2, 3, 13 (?), 14 (?), 15.
- 1968 *Maslovella blackii* n. sp. – PIENAAR (partim), S. 366, Taf. 69, Fig. 5 [non Taf. 69, Fig. 1].
- 1968 *Maslovella pulchra* n. sp. – PIENAAR, S. 366, Taf. 69, Fig. 3.
- 1969 *Biscutum asymmetricum* n. sp. – BUKRY S. 27, Taf. 7, Fig. 10, 11 [illegitimit nach ICBN Art. 64].
- 1969 *Biscutum testudinarium* BLACK, 1959 – BUKRY, S. 28, Taf. 8, Fig. 7–12.
- 1969 *Coccolithus melaniae* (GÓRKA, 1957) n. comb. – LYUL'EVA & LIPNIK, Taf. 3, Fig. 2 [ungültig nach ICBN Art. 33/4].
- 1969 *Biscutum testudinarium* BLACK, 1959 – PIENAAR (partim), S. 85, Taf. 7, Fig. 2, 4, 7 (?) [non Taf. 7, Fig. 6 = (?) *Biscutum castrorum* BLACK, 1959].
- 1969 *Biscutum melaniae* (GÓRKA, 1957) n. comb. – REINHARDT, S. 936, Taf. 1, Fig. 5.
- 1970 *Biscutum kennedyi* nom. nov. – BUKRY, S. 167 [nom. subst. pro *Biscutum asymmetricum* BUKRY, 1969, non PERCH-NIELSEN, 1968].
- 1970 *Biscutum testudinarium* BLACK, 1959 – BLACK, S. 39, Taf. 3, Fig. 3.
- 1970 *Biscutum constans* (GÓRKA, 1957) BLACK, 1959 – NOËL (partim), S. 91, Taf. 33, Fig. 1–10 [non Taf. 34, Fig. 1a–1g = *Biscutum castrorum* BLACK, 1959].
- 1970 *Biscutum constans* (GÓRKA, 1957) BLACK, 1967 – HOFFMANN (partim), S. 861, Taf. 5, Fig. 3 [non Taf. 6, Fig. 6].
- 1970 *Biscutum melaniae* (GÓRKA, 1957) REINHARDT, 1969 – REINHARDT, S. 19, Textfig. 32–34; Taf. 1, Fig. 7, 8.
- 1970 *Discorhabdus testudinarium* (BLACK, 1959) n. comb. – SHUMENKO (partim), S. 72, Taf. 1, Fig. 3 [non Taf. 1, Fig. 4 = *Discorhabdus ignotus* (GÓRKA, 1957) PERCH-NIELSEN, 1968].
- 1970 *Calyptolithus tectiforma* (REINHARDT, 1964) n. comb. – SHUMENKO, S. 74, Taf. 2, Fig. 1.
- 1971 *Biscutum constans* (GÓRKA, 1957), BLACK, 1967 – SHAFIK & STRADNER, S. 81, Taf. 2, Fig. 1–4.
- non 1971 *Biscutum testudinarium* BLACK, 1959 – SHAFIK & STRADNER, S. 81, Taf. 3, Fig. 1, 2; Taf. 4, Fig. 1 [= *Discorhabdus ignotus* (GÓRKA, 1957) PERCH-NIELSEN, 1968].
- 1971 *Biscutum testudinarium* BLACK, 1959 – MANIVIT, S. 113, Taf. 3, Fig. 8–12.
- 1972 *Biscutum constans* (GÓRKA, 1957) BLACK, 1967 – LAUER, in GRÜN et al. (partim), S. 153, Taf. 23, Fig. 7, 8 [non Taf. 23, Fig. 6].
- 1972 *Biscutum constans* (GÓRKA, 1957) BLACK, 1959 – ROTH & THIERSTEIN (partim), Taf. 8, Fig. 13, 15–18 [non Taf. 8, Fig. 14 = *Biscutum castrorum* BLACK, 1959].
- 1972 *Biscutum constans* (GÓRKA, 1957) BLACK, 1967 – BLACK, Textfig. 32.
- 1972 *Biscutum blackii* GARTNER, 1968 – BLACK, S. 27, Taf. 2, Fig. 5, 6 (?), 7, 8.
- 1972 *Biscutum constans* (GÓRKA, 1957) BLACK, 1967 – HOFFMANN (partim), S. 66, Taf. 6, Fig. 5, 6 [non Taf. 10, Fig. 4 = *Biscutum castrorum* BLACK, 1959].
- 1972 *Biscutum blacki* GARTNER, 1968 – FORCHHEIMER, S. 32, Taf. 8, Fig. 2, 4 (?); Taf. 9, Fig. 5; Taf. 8, Fig. 6; Taf. 18, Fig. 4–6.
- 1972 *Biscutum kennedyi* BUKRY, 1969 – FORCHHEIMER, S. 32, Taf. 6, Fig. 3, 5.

- 1973 *Biscutum constans* (GÓRKA, 1957) BLACK, 1967 – THIERSTEIN (partim), S. 41.
- 1973 *Biscutum constans* (GÓRKA, 1957) BLACK, 1967 – PRIEWALDER, S. 15, Taf. 5, Fig. 1–3.
- 1975 *Biscutum ellipticum* (GÓRKA, 1957) n. comb. – GRÜN, in GRÜN & ALLEMANN (partim), S. 154, Taf. 1, Fig. 6 [non Taf. 1, Fig. 5 = *Biscutum castrorum* BLACK, 1959; non Taf. 1, Fig. 7 = *Biscutum dubium* (NOËL, 1965) GRÜN, 1974].
- 1976 *Biscutum constans* (GÓRKA, 1957) BLACK, 1967 – HILL (partim), S. 123, Taf. 1, Fig. 34–37; Taf. 13, Fig. 3 [non Taf. 1, Fig. 32, 33; Taf. 13, Fig. 2, 4 = *Biscutum castrorum* BLACK, 1959].
- 1976 *Biscutum ellipticum* (GÓRKA, 1957) GRÜN & ALLEMANN, 1975 – KEUPP, S. 365, Abb. 12.
- 1976 *Biscutum constans* – BURNS, S. 281, Taf. 1, Fig. 3, 4.
- 1977 *Biscutum constans* (GÓRKA, 1957) BLACK, 1967 – VERBEEK, S. 81, Taf. 4, Fig. 1.
- 1977 *Biscutum ellipticum* (GÓRKA, 1957) GRÜN & ALLEMANN, 1975 – KEUPP (partim), S. 26, Taf. 5, Fig. 1–3 [non Taf. 5, Fig. 4].
- non 1979 *Biscutum ellipticum* (GÓRKA, 1957) GRÜN, 1975 – HAMILTON, S. 11, Taf., Fig. 15 [= *Discorbabdu ignotus* (GÓRKA, 1957) PERCH-NIELSEN, 1968].

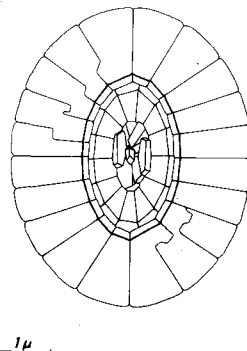


Abb. 5: *Biscutum ellipticum* (GÓRKA, 1957) GRÜN, 1975, emend. GRÜN & ZWEILI. Schematische Zeichnung der distalen Seite.

Bemerkungen: Die meist breitelliptischen Formen haben Durchmesser von 2μ bis über 10μ . Die Anzahl der Elemente in jeder der beiden Scheiben schwankt zwischen 14 und 22. Das von unregelmäßigen Granulae bedeckte Zentrafeld ist relativ klein. Auf der Proximalseite können die Granulae, den Bereich des Zentrafeldes übergreifend, Teile der proximalen Scheibenelemente bedecken. Die zentrale Perforation ist meist verdeckt, ein Zentralfortsatz ist nicht vorhanden.

Im Gegensatz zu *B. ellipticum* besitzt *Biscutum castrorum* BLACK, 1959, 22–32 Elemente in jeder der beiden Scheiben, und die zentrale Perforation ist zu einem Schlitz erweitert. Bei *Biscutum dubium* (NOËL, 1965) GRÜN, 1974, ist die zentrale Perforation von einem kurzen Elementring umgeben, und bei *Biscutum erismatum* (WIND & WISE, 1976) GRÜN & ZWEILI, n. comb. bilden die Granulae im Zentrafeld eine zu den Ellipsenachsen parallele Kreuzstruktur.

Vorkommen: Oberster Jura – oberstes Maastricht.

Coccolithen-Länge: 2μ – $10,5 \mu$; Coccolithen-Breite: $1,3 \mu$ – 8μ .

Zentrafeld-Länge: $1,1 \mu$ – $4,9 \mu$; Zentrafeld-Breite: $0,6 \mu$ – $3,8 \mu$.

Coccolithen-Länge/Zentrafeld-Länge: $2,0$ – $2,8$; Exzentrizität: $1,1$ – $1,3$.

Biscutum erismatum (WIND & WISE, 1976) GRÜN & ZWEILI, n. comb.

(Abb. 6; Taf. 1, Fig. 3, 4)

1965 *Palaeopontosphaera dubia* n. sp. – NOËL, S. 4, Textfig. 8.

1965 *Palaeopontosphaera dubia* n. sp. – NOËL (partim) S. 76, Textfig. 8; Taf. 7, Fig. 2, 4, 13 [non Taf. 7, Fig. 1, 3, 5, 7–12 = *Biscutum dubium* (NOËL, 1965) GRÜN, 1974, emend. GRÜN & ZWEILI].

1969 *Palaeopontosphaera veterna* – PRINS, S. 554, Taf. 2, Fig. 9 [ungültig nach ICBN Art. 32].

non 1973 *Paleopontosphaera veterna* PRINS, 1969 – ROOD, HAY & BARNARD, S. 378, Taf. 3, Fig. 2, 3 [= *Lotharingius sigillatus* (STRADNER, 1961) PRINS, 1974].

1976 *Palaeopontosphaera erismata* n. sp. – WIND & WISE, in WISE & WIND, S. 303, Taf. 78, Fig. 4–6.

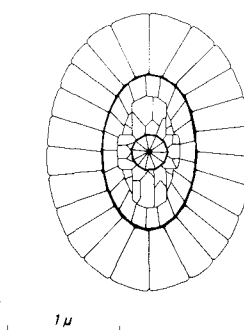


Abb. 6: *Biscutum erismatum* (WIND & WISE, 1976) GRÜN & ZWEILI, n. comb. Schematische Zeichnung der distalen Seite.

Bemerkungen: *B. erismatum* kann nur distal eindeutig von *B. dubium* unterschieden werden. Größe, Elementanzahl in beiden Scheiben (16–25) und Aussehen des proximalen Zentralfeldes sind bei beiden Arten sehr ähnlich. Das distale Zentralfeld ist jedoch größer und besitzt eine aus wenigen Deckplatten gebildete Kreuzstruktur, die parallel zu den Ellipsenachsen verläuft. Eine zentrale Perforation ist meist von einigen wenigen Elementen umgeben, die den Ansatz eines kleinen Zentralfortsatzes darstellen könnten.

Vorkommen: Pliensbachien – Malm.

Coccolithen-Länge: 1,7 μ –4,0 μ ; Coccolithen-Breite: 1,3 μ –3,1 μ .

Zentralfeld-Länge: 0,8 μ –2,5 μ ; Zentralfeld-Breite: 0,5 μ –1,9 μ .

Coccolithen-Länge/Zentralfeld-Länge: 1,5–1,9; Exzentrizität: 1,2–1,4.

Gattung *Sollasites* BLACK, 1967

Type-Art: *Coccolithus horticus* STRADNER, ADAMIKER & MARESCH, in STRADNER & ADAMIKER 1966, Erdöl-Erdgas Zeitschr. 82: S. 337, Textabb. 1, 2, 16V; Taf. 2, Fig. 4 = *Sollasites horticus* (STRADNER, ADAMIKER & MARESCH, 1966) ČEPEK & HAY, 1969, Trans. Gulf Coast Assoc. Geol. Soc. 19: S. 325, Textfig. 2 (8).

***Sollasites horticus* (STRADNER, ADAMIKER & MARESCH, 1966) ČEPEK & HAY, 1969**

(Abb. 7; Taf. 1, Fig. 5)

1966 *Coccolithus horticus* n. sp. – STRADNER, ADAMIKER & MARESCH, in STRADNER & ADAMIKER, S. 337, Taf. 2, Fig. 4; Textabb. 1, 2, 16V.

1966 *Coccolithus horticus* STRADNER, ADAMIKER & MARESCH, 1966 – MARESCH, S. 378, Taf. 1, Fig. 2.

1966 *Tremalithus* sp. – PIENAAR, S. 155, Taf. 1, Fig. 4–6.

1967 *Sollasites barringtonensis* gen. et sp. nov. – BLACK, S. 144, Fig. 4.

1968 *Coccolithus horticus* STRADNER, ADAMIKER & MARESCH, 1966 – STRADNER, ADAMIKER & MARESCH, S. 25, Taf. 3, Fig. 1; Taf. 4, Fig. 1–7; Taf. 5, Fig. 1.

- 1968 *Coccolithus horticus* STRADNER, ADAMIKER & MARESCH, 1966 – GARTNER, S. 18, Taf. 10, Fig. 2; Taf. 25, Fig. 6, 7 (?), 8; Taf. 26, Fig. 1.
- 1968 *Sollasites horticus* (STRADNER, ADAMIKER & MARESCH, 1966) n. comb. – BLACK, Taf. 144, Fig. 1, 2 [un-gültig nach ICBN ART. 33].
- 1969 *Costacentrum horticu*m (STRADNER, ADAMIKER & MARESCH, 1966) n. comb. – BUKRY, S. 44, Taf. 21, Fig. 12; Taf. 22, Fig. 1–3.
- 1969 *Costacentrum horticu*m (STRADNER, ADAMIKER & MARESCH, 1966) BUKRY, 1969 – BUKRY & BRAM-LETTI, Taf. 1, Fig. C.
- 1969 *Sollasites horticus* (STRADNER, ADAMIKER & MARESCH, 1966) n. comb. – ČEPEK & HAY, S. 325, Textfig. 2 (8).
- 1969 *Coccolithus horticus* STRADNER & ADAMIKER, 1966 – PIENAAR (partim), S. 89, Taf. 1, Fig. 9; Taf. 8, Fig. 1 [non Taf. 1, Fig. 6 = *Sollasites falklandensis* FILEWICZ, WIND & WISE, 1976].
- 1971 *Sollasites horticus* (STRADNER) BLACK, 1968 – BLACK, Taf. 45.4, Fig. 40.
- 1971 *Sollasites horticus* (STRADNER, ADAMIKER & MARESCH, 1966) – ROOD, HAY & BARNARD, S. 264, Taf. 3, Fig. 9.
- 1971 *Sollasites horticus* (STRADNER, ADAMIKER & MARESCH, 1966) ČEPEK & HAY, 1969 – MANIVIT, S. 117, Taf. 24, Fig. 1–5.
- 1971 *Sollasites horticus* (STRADNER, ADAMIKER & MARESCH, 1966) n. comb. – REINHARDT, S. 26, Bild 16.
- 1972 *Coccolithus horticus* STRADNER, ADAMIKER & MARESCH, 1966 – HOFFMANN, S. 62, Taf. 17, Bild 4.
- 1973 *Sollasites barringtonensis* BLACK, 1967 – BLACK, S. 64, Taf. 22, Fig. 6–9.
- 1975 *Sollasites horticus* (STRADNER, ADAMIKER & MARESCH, 1966) BLACK, 1968 – GRÜN, in GRÜN & ALLEMANN, S. 189, Textfig. 28; Taf. 7, Fig. 5, 6.
- 1976 *Sollasites horticus* (STRADNER, ADAMIKER & MARESCH, 1966) ČEPEK & HAY, 1969 – HILL, S. 154, Taf. 11, Fig. 24–26, 29; Taf. 15, Fig. 10.
- 1976 *Sollasites horticus* (STRADNER, ADAMIKER & MARESCH, 1966) – WISE & WIND, Taf. 63, Fig. 9; Taf. 64, Fig. 1.
- 1979 *Sollasites horticus* (STRADNER, ADAMIKER & MARESCH, 1966) – MEDD, S. 67, Taf. 9, Fig. 1.

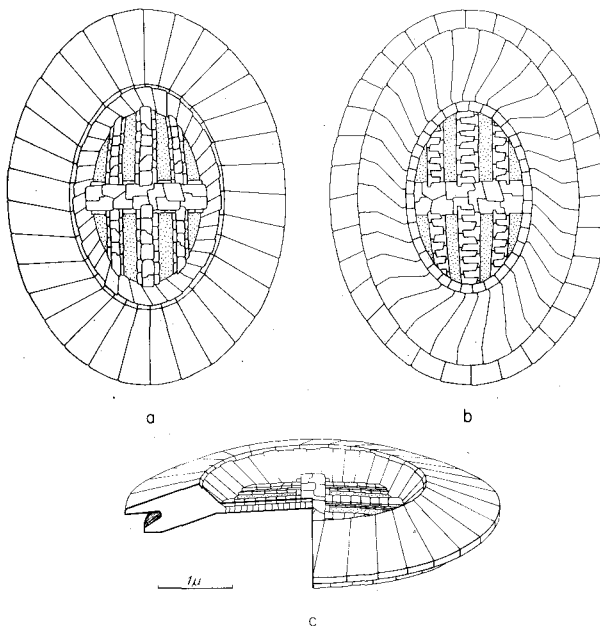


Abb. 7: *Sollasites horticus* (STRADNER, ADAMIKER & MARESCH, 1966) ČEPEK & HAY, 1969. Schematische Zeichnungen. a) Distale Seite, b) proximale Seite, c) Schrägansicht der distalen Seite.

Bemerkungen: Im vorliegenden Material konnte nur ein Exemplar gefunden werden, das sich nur durch die geringere Größe von oberkretazischen Formen unterscheidet.

Vorkommen: Unterster Malm – Campan.

Coccolithen-Länge: 2,7 μ –7,0 μ ; Coccolithen-Breite: 2,0 μ –5,5 μ .

Zentrafeld-Länge: 1,3 μ –4,5 μ ; Zentrafeld-Breite: 0,8 μ –2,3 μ .

Coccolithen-Länge/Zentrafeld-Länge: 1,5–2,2; Exzentrizität: 1,2–1,4.

Sollasites lowei (BUKRY, 1969) ROOD, HAY & BARNARD, 1971

(Abb. 8; Taf. 1, Fig. 6–8)

1969 *Costacentrum lowei* n. sp. – BUKRY, S. 44, Taf. 22, Fig. 5, 6.

1969 *Palaeopontosphaera inconspicua* – PRINS, S. 554, Taf. 2, Fig. 13 [ungültig nach ICBN Art. 32/1].

1971–09–03 *Sollasites lowei* (BUKRY, 1969) n. comb. – ROOD, HAY & BARNARD, S. 264, Taf. 4, Fig. 1.

1971–? *Sollasites lowei* (BUKRY, 1969) n. comb. – REINHARDT, S. 26, Bild 17.

1973 *Sollasites pristinus* n. sp. – NOËL, S. 113, Taf. 10, Fig. 3, 4.

1973 *Sollasites lowei* (BUKRY, 1969) ROOD, HAY & BARNARD, 1971 – ROOD, HAY & BARNARD, S. 380, Taf. 3, Fig. 6.

1974 *Sollasites lowei* (BUKRY, 1969) ROOD, HAY & BARNARD, 1971 – GRÜN, PRINS & ZWEILI, S. 299, Abb. 3; Abb. 18, Fig. 1–3.

1979 *Sollasites lowei* (BUKRY, 1969) ROOD, HAY & BARNARD, 1971 – MEDD (partim), S. 67, Taf. 9, Fig. 2–4 [non Taf. 9, Fig. 5].

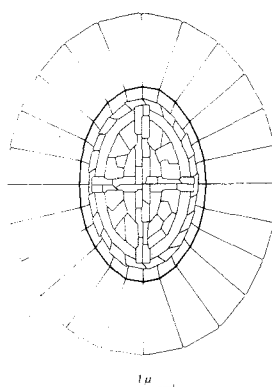


Abb. 8: *Sollasites lowei* (BUKRY, 1969) ROOD, HAY & BARNARD, 1971. Schematische Zeichnung der distalen Seite.

Bemerkungen: Siehe GRÜN, PRINS & ZWEILI, 1974, S. 299.

Vorkommen: U. Toarcien – Campan.

Coccolithen-Länge: 2,6 μ –7,5 μ ; Coccolithen-Breite: 1,8 μ –6,5 μ .

Zentrafeld-Länge: 1,5 μ –3,7 μ ; Zentrafeld-Breite: 0,7 μ –3,0 μ .

Coccolithen-Länge/Zentrafeld-Länge: 1,65–2,10; Exzentrizität: 1,14–1,48.

Subfamilie DISCORHABDOIDEAE NOËL, 1965a

Gattung *Discorhabdus* NOËL, 1965a

Typus-Art: *Rhabdolithus patulus* DEFLANDRE, in DEFLANDRE & FERT, 1955, Ann. Paléont. 40: S. 162, Taf. 15, Fig. 40–45; Textfig. 97, 98 = *Discorhabdus patulus* (DEFLANDRE, 1955) NOËL, 1965a, Cahiers Micropaléont., sér. 1, no. 1 (Arch. Orig. Centre Document, C. N. R. S. 408): S. 10, Textfig. 55–57.

1969 *Bidiscus* n. gen. – BUKRY, S. 26 [syn.]

Discorhabdus ignotus (GÓRKA, 1957) PERCH-NIELSEN, 1968

- 1957 *Tremalithus ignotus* n. sp. – GÓRKA, S. 248, 272; Taf. 2, Fig. 9.
1968 *Discorhabdus ignotus* (GÓRKA, 1957) n. comb. – PERCH-NIELSEN, S. 81, Textfig. 41; Taf. 28, Fig. 6.
1975 *Bidiscus ignotus* (GÓRKA, 1957) HOFFMANN, 1970 – GRÜN, in GRÜN & ALLEMANN, S. 157, Textfig. 4; Taf. 1, Fig. 8–10.
1976 *Bidiscus ignotus* (GÓRKA, 1957) HOFFMANN, 1970 – KEUPP, S. 364, Abb. 13, 14, 15.
1977 *Bidiscus ignotus* (GÓRKA, 1957) HOFFMANN, 1970 – KEUPP, S. 23, Taf. 3, Fig. 1–6.
1977 *Discorhabdus ignotus* (GÓRKA, 1957) PERCH-NIELSEN, 1968 – HAMILTON, S. 586, Taf. 2, Fig. 1–11; Taf. 4, Fig. 10, 11.
1979 *Discorhabdus ignotus* (GÓRKA, 1957) PERCH-NIELSEN, 1968 – HAMILTON, S. 12, Taf. Fig. 9–11.
1979 *Biscutum ellipticum* (GÓRKA, 1957) GRÜN, 1975 – HAMILTON, S. 11, Taf. Fig. 15.

Bemerkungen: Wir schließen uns der Ansicht an, daß *Bidiscus* BUKRY, 1969, ein jüngeres Synonym von *Discorhabdus* NOËL, 1965a, ist und revidieren hiemit die von GRÜN, 1975, erfolgte Zuordnung dieser Art zur Gattung *Bidiscus* BUKRY, 1969.

Das Fehlen des Zentralfortsatzes bei den wenigen uns vorliegenden Formen dürfte auf sekundäre Einflüsse zurückzuführen sein, so daß eine Zuordnung zur Art *Discorhabdus patulus* wahrscheinlicher ist.

Vorkommen: (Oxford ?), oberes Tithon – Campan.

Discorhabdus patulus (DEFLANDRE, 1955) NOËL, 1965a

(Abb. 9; Taf. 1, Fig. 9–11)

- 1955 *Rhabdolithus patulus* n. sp. – DEFLANDRE, in DEFLANDRE & FERT, S. 162, Textfig. 97 (?); 98 (?), Taf. 15, Fig. 40–45.
1965a *Discorhabdus patulus* (DEFLANDRE, 1955) n. comb. – NOËL, S. 10, Textfig. 55–57.
1965b *Discorhabdus patulus* (DEFLANDRE, 1955) n. comb. – NOËL, S. 141, Textfig. 55–57; Taf. 21, Fig. 6–8, 10, 11; Taf. 22, Fig. 1, 2, 7, 9, 10.
1965b *Discorhabdus tubus* n. sp. – NOËL, S. 145, Taf. 21, Fig. 4, 15.
1965b *Discorhabdus corollatus* n. sp. – NOËL, S. 147, Taf. 22, Fig. 6.
1974 *Discorhabdus patulus* (DEFLANDRE, 1955) NOËL, 1965 – BARNARD & HAY, Taf. 3, Fig. 12; Taf. 6, Fig. 11.
1977 *Discorhabdus patulus* (DEFLANDRE, 1955) NOËL, 1965 – HAMILTON, S. 586, Taf. 1, Fig. 12; Taf. 4, Fig. 5 (?).

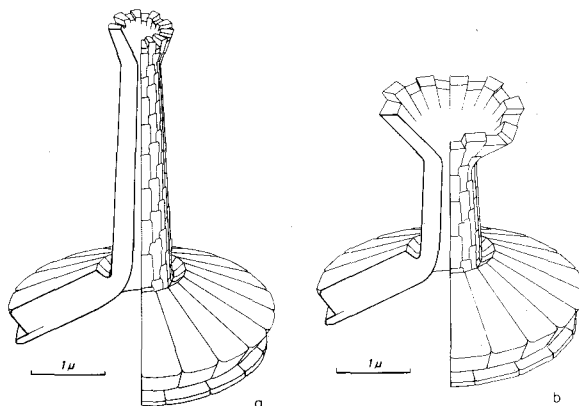


Abb. 9: *Discorhabdus patulus* (DEFLANDRE, 1955) NOËL, 1965. Schematische Zeichnungen. a) Exemplar mit langem Zentralfortsatz. b) Exemplar mit kurzem Zentralfortsatz.

Bemerkungen: Über einer kreisrunden Basis, die aus zwei Scheiben mit jeweils 14 bis 20 geraden, sich nicht überlappenden und radial angeordneten Elementen besteht, erhebt sich ein Zentralfortsatz. Er umschließt einen relativ engen Kanal und kann in der Länge stark variieren. Die Spitze des Zentralfortsatzes erweitert sich trichterförmig.

Die Abgrenzung der vielen von NOËL, 1965b, aufgestellten Arten der Gattung *Discorhabdus* ist im vorliegenden Material genauso problematisch, wie die Abgrenzung dieser Arten zu *Discorhabdus ignotus* (GÓRKA, 1957) PERCH-NIELSEN, 1968, da die Ausbildung oder Anwesenheit des Zentralfortsatzes stark durch den Erhaltungszustand bedingt ist. Die Basis ist bei allen Arten nahezu gleich.

Vorkommen: Callovien (?) – Oxford.

Durchmesser: 3,7 μ –4,9 μ ; Höhe: 2,8 μ –5,5 μ .

Familie ELLIPSAGELOSPHAERACEAE NOËL, 1965a

Typus-Gattung: *Ellipsagelosphaera* NOËL, 1965a, Cahiers Micropaléont., sér. 1, no. 1. (Arch. Orig. Centre Document, C. N. R. S. 408): S. 7.

Subfamilie ELLIPSAGELOSPHAEROIDEAE NOËL, 1965a

Gattung *Ellipsagelosphaera* NOËL, 1965a

Typus-Art: *Coccolithus britannicus* STRADNER, 1963, Proc. 6th WPC. I/4: S. 10, Taf. 1, Fig. 7 = *Ellipsagelosphaera britannica* (STRADNER, 1963) PERCH-NIELSEN, 1968, Biol. Skr. Dan. Vid. Selsk. 16/1: S. 71.

Ellipsagelosphaera britannica (STRADNER, 1963) PERCH-NIELSEN, 1968

(Abb. 10; Taf. 1, Fig. 12; Taf. 2, Fig. 1–3)

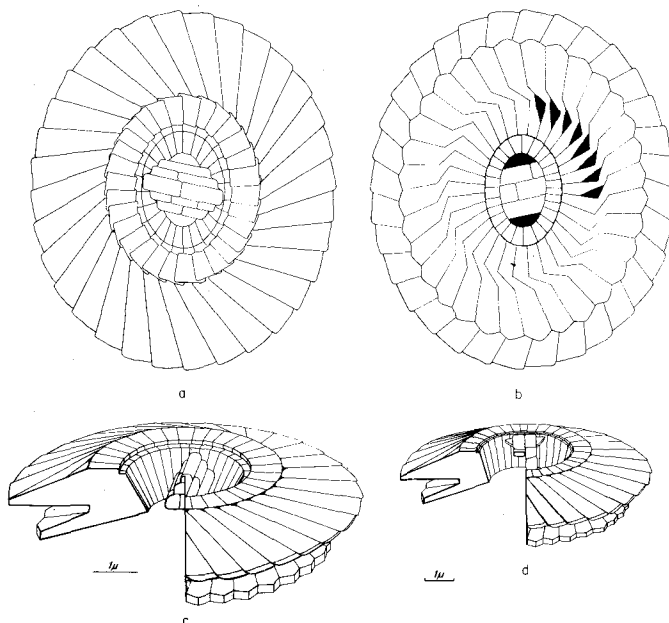


Abb. 10: *Ellipsagelosphaera britannica* (STRADNER, 1963) PERCH-NIELSEN, 1968. Schematische Zeichnungen. a) Distale Seite, b) proximale Seite, c) Schrägansicht der distalen Seite, d) Exemplar mit größerem Zentralfeld. Schrägansicht der distalen Seite.

- 1963 *Coccolithus britannicus* n. sp. – STRADNER, S. 10, Taf. 1, Fig. 7.
- 1965a *Ellipsagelosphaera frequens* n. sp. – NOËL (partim), S. 8, Textfig. 38 [non Textfig. 35–37, 39].
- 1965a *Ellipsagelosphaera lucasi* n. sp. – NOËL, S. 8, Fig. 40, 41.
- 1965b *Ellipsagelosphaera frequens* n. sp. – NOËL (partim), S. 119, Textfig. 38; Taf. 11, Fig. 7; Taf. 12, Fig. 1–7, 9, 10; Taf. 13, Fig. 5, 10 [non Textfig. 35–37, 39, 40]; Taf. 11, Fig. 8–10; Taf. 12, Fig. 8; Taf. 13, Fig. 1–4, 6–9; Taf. 16, Fig. 1–11; Taf. 19, Fig. 1, 4, 5; Taf. 20, Fig. 1, 6–8].
- 1965b *Ellipsagelosphaera lucasi* n. sp. – NOËL (partim), S. 126, Textfig. 41, 42; Taf. 11, Fig. 1–3, 5 [non Taf. 11, Fig. 4, 6].
- 1968 *Ellipsagelosphaera britannica* (STRADNER, 1963) n. comb. – PERCH-NIELSEN, S. 71.
- 1975 *Ellipsagelosphaera britannica* (STRADNER, 1963) PERCH-NIELSEN, 1968 – GRÜN, in GRÜN & ALLEMANN, S. 159, Textfig. 5a–5d; Taf. 1, Fig. 11, 12; Taf. 2, Fig. 1–4.
- 1976 *Watznaueria communis* REINHARDT – WISE & WIND, Taf. 86, Fig. 1, 2, 5; Taf. 88, Fig. 7.
- 1976 *Watznaueria britannica* (STRADNER, 1963) REINHARDT – WISE & WIND, Taf. 86, Fig. 4; Taf. 88, Fig. 8.
- 1976 *Ellipsagelosphaera britannica* (STRADNER, 1963) PERCH-NIELSEN, 1968 – KEUPP, S. 367, Abb. 2, 5.
- 1977 *Ellipsagelosphaera britannica* (STRADNER, 1963) PERCH-NIELSEN, 1968 – KEUPP, S. 34, Taf. 8, Fig. 1–4, 5 (?), 6.
- 1978 *Ellipsagelosphaera britannica* (STRADNER, 1963) – HAMILTON, Taf. 1, Fig. 1, 4.
- 1979 *Ellipsagelosphaera britannica* (STRADNER, 1963) – HAMILTON, S. 12, Taf., Fig. 1, 2.

Bemerkungen: Auch im Bereich der Dogger-Malm-Grenze tritt diese Art in der gleichen Häufigkeit und Variationsbreite auf wie in der Unterkreide (siehe GRÜN & ALLEMANN, 1975).

Vorkommen: Toarcien – Campan.

Coccolithen-Länge: 2,0 μ –12 μ ; Coccolithen-Breite: 1,8 μ –10 μ .

Zentralfeld-Länge: 1,3 μ –7,4 μ ; Zentralfeld-Breite: 0,6 μ –4,2 μ .

Coccolithen-Länge/Zentralfeld-Länge: 1,6–5,5; Exzentrizität: 1,1–1,3.

Ellipsagelosphaera fossacincta BLACK, 1971

(Abb. 11; Taf. 2, Fig. 4, 5)

- 1965 *Ellipsagelosphaera frequens* n. sp. – NOËL (partim), S. 119, Taf. 12, Fig. 8; Taf. 19, Fig. 1 [non Textfig. 35–40; Taf. 11, Fig. 7–10; Taf. 12, Fig. 1–7, 9, 10; Taf. 13, Fig. 1–10; Taf. 16, Fig. 1–11; Taf. 19, Fig. 4, 5; Taf. 20, Fig. 1, 6–8].

1966 *Watznaueria* sp. aff. *W. communis* REINHARDT, 1964 – REINHARDT, S. 19, Taf. 4, Fig. 1.

1966 *Coccolithus britannicus* STRADNER, 1963 – MARESCH (partim), Taf. 2, Fig. 2 [non Taf. 2, Fig. 1, 3].

?1968 *Ellipsagelosphaera frequens* NOËL, 1965 – LEZAUD, S. 16, Taf. 1, Fig. 12.

non 1968 *Coccolithus coronatus* n. sp. – GARTNER, S. 17, Taf. 23, Fig. 26–28.

non 1968 *Coccolithus perforatus* n. sp. – HAQ, S. 23, Textfig. 2; Taf. 6, Fig. 1–3.

1969 *Ellipsagelosphaera* sp. – BARBIERI & MEDOLI (partim), S. 733, Taf. 48, Fig. 6a [non Taf. 48, Fig. 6b–6d].

1971 *Ellipsagelosphaera frequens* NOËL, 1965 – NOCERA (partim), S. 429, Taf. 1, Fig. 4, 5 [non Taf. 1, Fig. 1–3].

1971 *Ellipsagelosphaera coronata* (GARTNER, 1968) n. comb. – BLACK, S. 398, Taf. 30, Fig. 6.

1971 *Ellipsagelosphaera fossacincta* n. sp. – BLACK, S. 399, Taf. 30, Fig. 8.

1972 *Watznaueria barnesae* (BLACK, 1959), BUKRY, 1969 – LAUER, in GRÜN et al. (partim), S. 154, Taf. 26, Fig. 5 [non Taf. 26, Fig. 1–4].

1973 *Ellipsagelosphaera arata* n. sp. – BLACK (partim), S. 69, Taf. 26, Fig. 1, 4 [non Taf. 26, Fig. 2].

1973 *Ellipsagelosphaera coronata* (GARTNER, 1968) BLACK, 1971 – BLACK, S. 70, Taf. 26, Fig. 5, 8, 9, 13.

1975 *Ellipsagelosphaera keftalrempti* n. sp. – GRÜN, in GRÜN & ALLEMANN, S. 161, Textfig. 7; Taf. 2, Fig. 5, 6.

1976 *Watznaueria* sp. – WISE & WIND, Taf. 86, Fig. 6.

1976 *Watznaueria barnesae* (BLACK, 1959) PERCH-NIELSEN, 1968 – HILL (partim), S. 159, Taf. 15, Fig. 21–24 [non Taf. 12, Fig. 16–18].

1977 *Ellipsagelosphaera keftalrempti* GRÜN, 1975 – KEUPP, S. 36, Taf. 9, Fig. 1 (?), 2–4, 5 (?); Taf. 10, Fig. 1–5, 6 (?).

1978 *Ellipsagelosphaera keftalrempti* GRÜN & ALLEMANN, 1975 – HAMILTON, S. 33, Taf. 1, Fig. 2; 5.

1979 *Ellipsagelosphaera keftalrempti* GRÜN & ALLEMANN, 1975 – HAMILTON, S. 12, Taf., Fig. 3, 4.

Bemerkungen: Charakteristisch für diese Art ist die relativ kleine, von einem Tubus umgebene Öffnung im Zentralfeld, die von keinen zusätzlichen Elementen überdeckt wird.

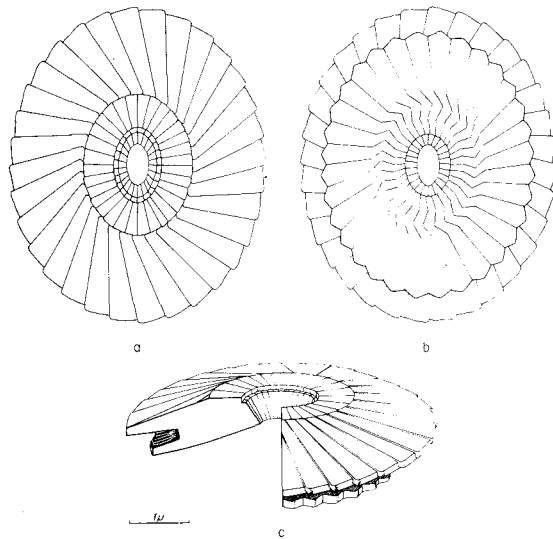


Abb. 11: *Ellipsagelosphaera fossacincta* BLACK, 1971. Schematische Zeichnungen. a) Distale Seite, b) proximale Seite, c) Schrägansicht der distalen Seite.

Dadurch unterscheidet sich diese Art auch von *Ellipsagelosphaera britannica* (STRADNER, 1963) PERCH-NIELSEN, 1968.

Coccolithus coronatus GARTNER, 1968 zeigt diese zentrale Öffnung nicht. Bei Fig. 27 ist die Öffnung sekundär entstanden. *Coccolithus perforatus* HAQ, 1968, vereint verschiedene, aus der Kreide (?) ins Eozän umgelagerte Formen der Gattung *Ellipsagelosphaera* NOËL, 1965, und *Watznaueria* REINHARDT, 1964, deren zentrale Öffnungen zweifellos Korrosionserscheinungen sind.

Die von BLACK, 1971 zur Gattung *Ellipsagelosphaera* gestellte Art *Ellipsagelosphaera coronata* (GARTNER, 1968) n. comb. entspricht in der Abbildung und Diagnose genau der Definition von *Ellipsagelosphaera keftalrempti* GRÜN, 1975, doch ist der Name *Ellipsagelosphaera coronata* (= *Coccolithus coronatus* GARTNER, 1968) für andere Formen vorbehalten.

Demnach ist *Ellipsagelosphaera fossacincta* BLACK, 1971 der erste, für die uns vorliegenden Formen verfügbare Name und somit ist die von GRÜN, 1975 für diese Formen aufgestellte Art *Ellipsagelosphaera keftalrempti* ein jüngeres Synonym von *Ellipsagelosphaera fossacincta* BLACK, 1971.

Unterschiede im Bereich der proximalen Scheibe, wie sie bei *Ellipsagelosphaera arata* BLACK, 1973 auftreten, sind für artliche Abtrennungen unerheblich.

Vorkommen: Mittl. Bajocien – Barrême.

Coccolithen-Länge: 5,0 μ –7,4 μ ; Coccolithen-Breite: 4,3 μ –6,1 μ .

Zentrafeld-Länge: 0,4 μ –1,9 μ ; Zentrafeld-Breite: 0,3 μ –1,8 μ .

Coccolithen-Länge/Zentrafeld-Länge: 3,8–14,0; Exzentrizität: 1,08–1,30.

Ellipsagelosphaera gresslyi GRÜN & ZWEILI, n. sp.
(Abb. 12; Taf. 2, Fig. 6-9)

Namengebung: Nach Amanz GRESSLY, dem Schweizer Jurageologen (1814–1865).

Holotyp: Rasterelektronenmikrographie Nr. 1245/7 (Taf. 2, Fig. 6).

Stratum typicum: Renggeri-Tone, Unteres Oxford.

Locus typicus: Tongrube bei Liesberg-Dorf.

Aufbewahrung: Rasterelektronenmikroskopie, Geologisches Institut, Universität Bern, Schweiz.

Diagnose: Eine neue Art der Gattung *Ellipsagelosphaera* NOËL, 1965, mit folgenden Besonderheiten: Umriß breitelliptisch, Anzahl der Scheibenelemente distal und proximal jeweils 20 bis 25. Das von einem Tubus umgebene Zentrafeld ist klein und primär offen. Die Kranzelemente sind deutlich vergrößert und überragen die Elemente der distalen Scheibe.

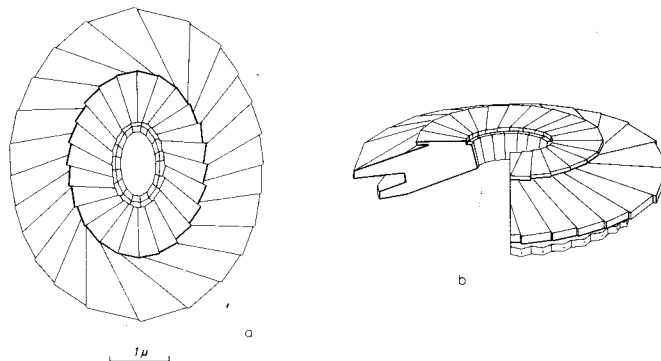


Abb. 12: *Ellipsagelosphaera gresslyi* GRÜN & ZWEILI, n. sp. Schematische Zeichnungen. a) Distale Seite, b) Schrägsicht der distalen Seite.

Bemerkungen: Das Charakteristikum dieser Art – das Überragen der Kranzelemente – könnte auch durch overgrowth bedingt sein. Dagegen spricht aber, daß die Coccoolithen ganzer Coccospären diesen Großwuchs der Kranzelemente zeigen und daß diese Formen erst ab Malm auftreten.

Vorkommen: Unteres Oxford.

Coccoolithen-Länge: 3,6 μ –6,5 μ ; Coccoolithen-Breite: 3,1 μ –5,6 μ .

Zentrafeld-Länge: 0,7 μ –1,6 μ ; Zentrafeld-Breite: 0,4 μ –0,75 μ .

Coccoolithen-Länge/Zentrafeld-Länge: 4,2–5,4; Exzentrizität: 1,13–1,17.

Ellipsagelosphaera ovata (BUKRY, 1969) BLACK, 1973

(Taf. 3, Fig. 2–4)

1969 *Watznaueria ovata* n. sp. – BUKRY (partim), S. 33, Taf. 11, Fig. 11 [non Taf. 11, Fig. 12].

1973 *Ellipsagelosphaera ovata* (BUKRY, 1969) n. comb. – BLACK, S. 71, Taf. 26, Fig. 10–12.

1975 *Ellipsagelosphaera ovata* (BUKRY, 1969) BLACK, 1973 – GRÜN, in GRÜN & ALLEMANN, S. 160, Textfig. 6; Taf. 2, Fig. 7–9.

1976 *Watznaueria ovata* BUKRY, 1969 – HILL, S. 160, Taf. 12, Fig. 19–22.

1976 *Ellipsagelosphaera ovata* (BUKRY, 1969) BLACK, 1973 – KEUPP, S. 370, Abb. 4.

1977 *Ellipsagelosphaera ovata* (BUKRY, 1969) BLACK, 1973 – KEUPP, S. 38, Taf. 11, Fig. 1–3.

Bemerkungen: HILL vereinigt 1976 unter *Watznaueria ovata* alle Formen mit offenem Zentrafeld, unabhängig von der Größe des Zentrafeldes. Im Gegensatz dazu stellen wir nur Formen mit relativ großem Zentrafeld (Coccolithen-Länge/Zentrafeld-Länge: 2,3–3,5) zu *Ellipsagelosphaera ovata*. Formen mit relativ kleinem Zentrafeld (Coccolithen-Länge/Zentrafeld-Länge: 3,8–14,0) zählen wir zu *Ellipsagelosphaera fossacincta* BLACK, 1971.

Vorkommen: Callovien – Santon.

Coccolithen-Länge: 3,5 μ –7,2 μ ; Coccolithen-Breite: 3,0 μ –6,6 μ .

Zentrafeld-Länge: 1,3 μ –3,7 μ ; Zentrafeld-Breite: 1,2 μ –3,0 μ .

Coccolithen-Länge/Zentrafeld-Länge: 2,3–3,5; Exzentrizität: 1,09–1,30.

Ellipsagelosphaera plena GRÜN & ZWEILI, n. sp.

(Abb. 13; Taf. 2, Fig. 10, 11)

Namengebung: Plenus, lat. = voll. Wegen des geschlossenen Zentrafeldes.

Holotyp: Rasterelektronenmikrographie Nr. 912/5 (Taf. 2, Fig. 10).

Stratum typicum: Callovien-Tone, mittleres Callovien.

Locus typicus: Tongrube bei Liesberg-Dorf.

Aufbewahrung: Rasterelektronenmikroskopie, Geologisches Institut, Universität Bern, Schweiz.

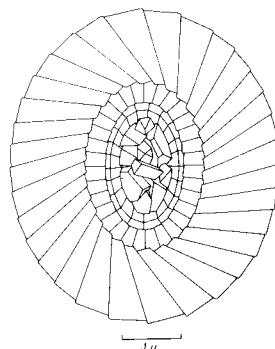


Abb. 13: *Ellipsagelosphaera plena* GRÜN & ZWEILI, n. sp. Schematische Zeichnung der distalen Seite.

Diagnose: Eine neue Art der Gattung *Ellipsagelosphaera* NOËL, 1965, mit folgenden Besonderheiten: Umriß breitelliptisch, Anzahl der Scheibenelemente distal und proximal jeweils 26 bis 30. Das von einem Tubus aus ungef. 20 Elementen eingerahmte Zentrafeld ist relativ groß und wird von kleinen Elementen völlig bedeckt. Die ungef. 28 Elemente des Kranzes sind relativ klein und scheinen in der distalen Scheibe etwas eingesenkt zu sein.

Bemerkungen: Die kleinen Elemente des Zentrafeldes formen keine Brücke quer zur langen Ellipsenachse wie bei *Ellipsagelosphaera britannica* (STRADNER, 1963) PERCH-NIELSEN, 1968. Bei *Ellipsagelosphaera fossacincta* BLACK, 1971, ist das Zentrafeld klein und offen. Von *Ellipsagelosphaera gresslyi* GRÜN & ZWEILI n. sp. unterscheiden sich die vorliegenden Formen durch das größere Zentrafeld und die Ausbildung der Kranzelemente.

Vorkommen: Callovien – unteres Oxford.

Coccolithen-Länge: 4,8 μ –6,2 μ ; Coccolithen-Breite: 4,2 μ –5,5 μ .

Zentrafeld-Länge: 1,5 μ –2,4 μ ; Zentrafeld-Breite: 1,3 μ –2,2 μ .

Coccolithen-Länge/Zentrafeld-Länge: 2,4–3,5; Exzentrizität: 1,13.

Ellipsagelosphaera reinhardtii (ROOD, HAY & BARNARD, 1971) NOËL, 1973

(Abb. 14; Taf. 2, Fig. 12; Taf. 3, Fig. 1)

1965 *Ellipsagelosphaera lucasi* n. sp. – NOËL (partim), S. 126, Taf. 11, Fig. 3, 4, 6 [non Textfig. 41, 42; Taf. 11, Fig. 1, 2, 5 = *Ellipsagelosphaera britannica* (STRADNER, 1963) PERCH-NIELSEN, 1968].

1971 *Watznaueria reinhardtii* n. sp. – ROOD, HAY & BARNARD, S. 269, Taf. 5, Fig. 6.

1973 *Ellipsagelosphaera reinhardtii* (ROOD, HAY & BARNARD, 1971) n. comb. – NOËL, S. 120, Taf. 14, Fig. 8.

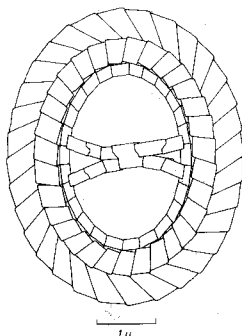


Abb. 14: *Ellipsagelosphaera reinhardtii* (ROOD, HAY & BARNARD, 1971) NOËL, 1973. Schematische Zeichnung der distalen Seite.

Bemerkungen: Das relativ große Zentrafeld wird von einer schlanken Brücke überspannt, deren beide Enden gegabelt sind. Dadurch unterscheidet sich diese Art von den anderen Arten der Gattung *Ellipsagelosphaera* NOËL, 1965.

Vorkommen: Oxford.

Coccolithen-Länge: 4,0 μ –5,1 μ ; Coccolithen-Breite: 3,2 μ –4,2 μ .

Zentrafeld-Länge: 1,7 μ –2,9 μ ; Zentrafeld-Breite: 1,3 μ –2,4 μ .

Coccolithen-Länge/Zentrafeld-Länge: 1,7–2,5; Exzentrizität: 1,13–1,3.

Ellipsagelosphaera strigosa GRÜN & ZWEILI, n. sp.

(Abb. 15; Taf. 3, Fig. 8–11)

1972 *Loxolithus armilla* (BLACK, 1959) NOËL, 1965 – WILCOXON (partim), S. 432, Taf. 2, Fig. 8 [non Taf. 2, Fig. 9].

Namengebung: Strigosus, lat. = mager. Wegen der schlanken Gestalt.

Holotyp: Rasterelektronenmikrographie Nr. 904/6 (Taf. 3, Fig. 8).

Stratum typicum: Renggeri-Tone, unterstes Oxford.

Locus typicus: Tongrube bei Liesberg-Dorf.

Aufbewahrung: Rasterelektronenmikroskopie, Geologisches Institut, Universität Bern, Schweiz.

Diagnose: Die monozyklische distale Scheibe besteht aus 30–32 Elementen. Die gleiche Anzahl sehr kleiner Elemente weist der Kranz auf und auch der Tubus ist aus 28–32 rechteckigen Elementen aufgebaut. Aufbau und Anordnung aller Elemente ist für die Gattung *Ellipsagelosphaera* charakteristisch. Das Zentrafeld ist extrem groß und völlig frei. Proximalansichten liegen keine vor.

Bemerkungen: Durch das extrem große und unbedeckte Zentrafeld unterscheidet sich diese Art von allen anderen Arten der Gattung *Ellipsagelosphaera*.

Vorkommen: Callovien – unteres Oxford.

Coccolithen-Länge: 3,8 μ –5,0 μ ; Coccolithen-Breite: 3,1 μ –4,0 μ .

Zentrafeld-Länge: 2,1 μ –3,1 μ ; Zentrafeld-Breite: 1,6 μ –2,4 μ .

Coccolithen-Länge/Zentrafeld-Länge: 1,61–1,82; Exzentrizität: 1,25–1,35.

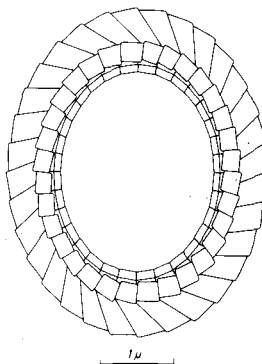


Abb. 15: *Ellipsagelosphaera strigosa* GRÜN & ZWEILI, n. sp. Schematische Zeichnung der distalen Seite.

Ellipsagelosphaera ? tubulata GRÜN & ZWEILI, n. sp.

(Abb. 16; Taf. 3, Fig. 5–7)

Namengebung: Nach dem zylindrischen Umriß.

Holotyp: Rasterelektronenmikrographie Nr. 917/12 (Taf. 3, Fig. 5).

Stratum typicum: Callovien-Tone, mittleres Callovien.

Locus typicus: Tongrube bei Liesberg-Dorf.

Aufbewahrung: Rasterelektronenmikroskopie, Geologisches Institut, Universität Bern, Schweiz.

Diagnose: Von dieser Art liegen nur Distal-Ansichten vor. Sie zeigen eine monozyklische distale Scheibe, deren 34 bis 36 Elemente in proximaler Richtung stark verdickt sind. Ein distaler Kranz besteht aus ebenfalls 34–36 sehr kleinen Elementen, die bei unseren Exemplaren stellenweise ausgebrochen oder korrodiert sind. Das relativ große und unbedeckte Zentrafeld wird von einem Tubus aus 20 bis 28 rechteckigen Elementen umgeben.

Bemerkungen: Die Anordnung aller Elemente entspricht der Familie Ellipsagelosphaeraceae. Da aber die Proximalseite nicht sichtbar ist und die distalen Scheibenelemente ungewöhnlich verdickt sind, erscheint eine Zuordnung zur Gattung *Ellipsagelosphaera* zumindest fraglich.

Vorkommen: Unteres Callovien – unteres Oxford.

Coccolithen-Länge: 4,5 μ –6,8 μ ; Coccolithen-Breite: 3,7 μ –5,7 μ .

Zentrafeld-Länge: 2,1 μ –3,1 μ ; Zentrafeld-Breite: 1,7 μ –2,8 μ .

Coccolithen-Länge/Zentrafeld-Länge: 1,15–1,25; Exzentrizität: 2,0–2,2.

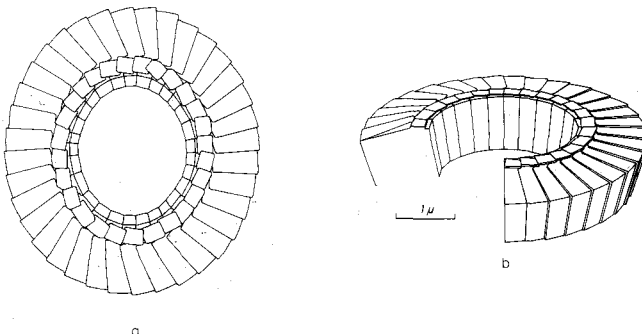


Abb. 16: *Ellipsagelosphaera ? tubulata* GRÜN & ZWEILI, n. sp. Schematische Zeichnungen. a) Distale Seite, b) Schrägansicht der distalen Seite.

Gattung *Lotharingius* NOËL, 1973

Typus-Art: *Lotharingius barozji* NOËL, 1973, Bull. Mus. Hist. nat., 3^e sér., 75: S. 114, Taf. 11, Fig. 1-7.

Lotharingius crucicentralis (MEDD, 1971) GRÜN & ZWEILI, n. comb.

(Abb. 17; Taf. 4, Fig. 3-5)

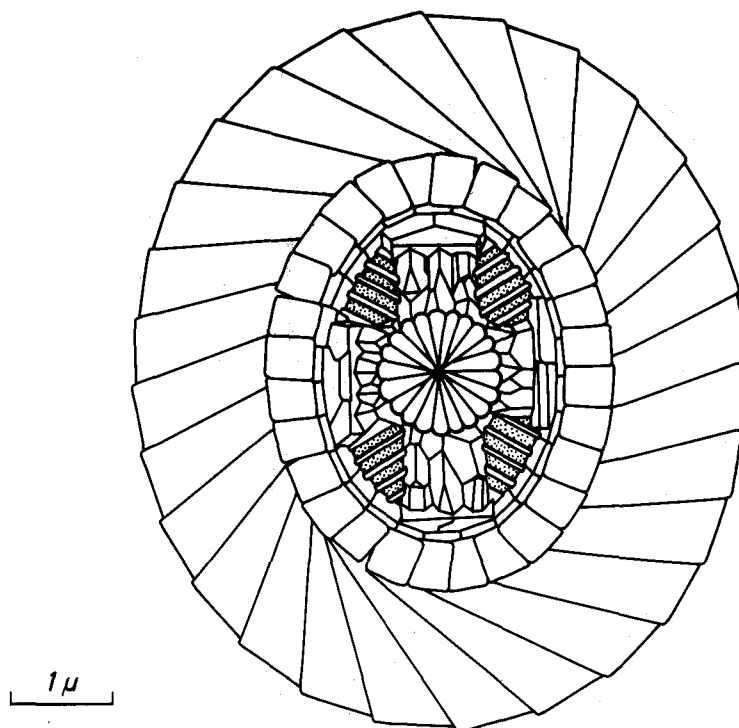


Abb. 17: *Lotharingius crucicentralis* (MEDD, 1971) GRÜN & ZWEILI, n. comb. Schematische Zeichnung der distalen Seite.

1971 *Ellipsagelosphaera crucicentralis* n. sp. – MEDD (partim), S. 829, Taf. 1, Fig. 1 [non Taf. 1, Fig. 2].

1976 *Watznaueria crucicentralis* (MEDD, 1971) n. comb. – THIERSTEIN, Taf. 2, Fig. 8, 9.

? 1979 *Ellipsagelosphaera crucicentralis* MEDD, 1971 – HAMILTON, S. 12, Taf. Fig. 5.

Bemerkungen: Die Anzahl der Elemente in der distalen und proximalen Scheibe sowie die Anzahl der Kranz- und Tubuselemente ist meist gleich und beträgt vorwiegend 28, selten bis 32. Für die Art charakteristisch ist das Zentrafeld. Es wird von einem massiven Balkenkreuz überspannt, das meist parallel zu den Ellipsenachsen verläuft. Die beiden kurzen Balken können aber auch etwas schräg zur kurzen Ellipsenachse liegen, wie das bei Fig. 1 von MEDD deutlich zu sehen ist. Die Enden der 4 Balken sind – Säulenkapitellen gleich – verdickt. Über dem Balkenkreuz erhebt sich ein starker Zentralfortsatz der einen dünnen Zentralkanal umhüllt. Die 4 Segmente zwischen den Balken werden von einem Gitter aus ungef. 20 dünnen Lateralbalken ausgefüllt. Diese Siebplatte fehlt bei den meisten Exemplaren sekundär.

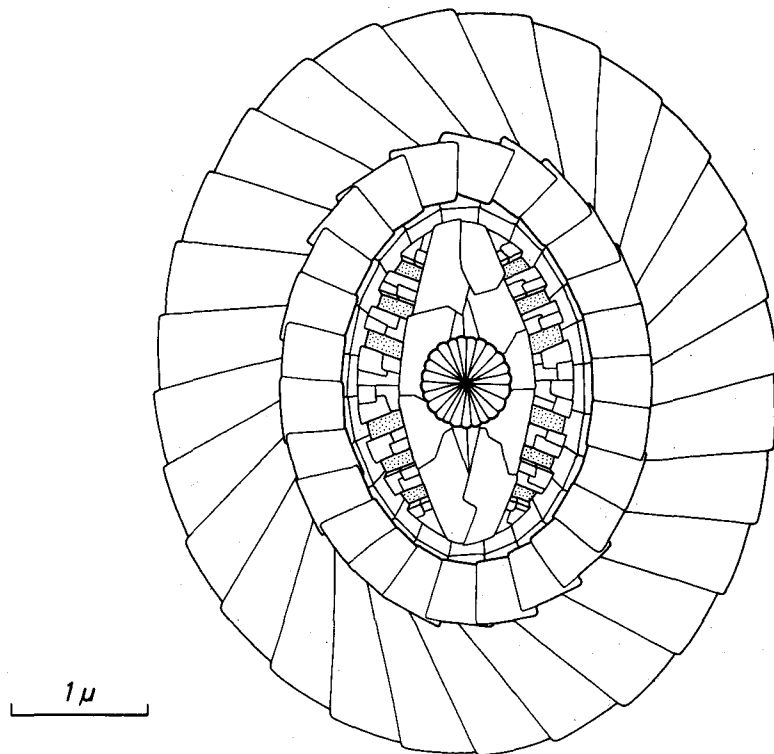


Abb. 18: *Latharingius sigillatus* (STRADNER, 1961) PRINS, 1974. Schematische Zeichnung der distalen Seite.

Lotharingius primitivus (ROOD, HAY & BARNARD, 1973) PRINS, 1974 besitzt kein Achsenkreuz. *Lotharingius barozii* NOËL, 1973 ist wesentlich schlanker im Umriß (Exzentrizität: 1,36–1,52) und weist im Zentrafeld keine Verdickungen der Balkenenden auf. *Lotharingius sigillatus* (STRADNER, 1961) PRINS, 1974 ist durch die bikonvexe Struktur im Zentrafeld charakterisiert.

Vorkommen: Unteres Bathonien – Oxford.

Coccolithen-Länge: 6,6 μ –13,0 μ ; Coccolithen-Breite: 5,7 μ –11,0 μ .

Zentrafeld-Länge: 2,7 μ –5,5 μ ; Zentrafeld-Breite: 1,8 μ –3,7 μ .

Coccolithen-Länge/Zentrafeld-Länge: 2,34–2,44; Exzentrizität: 1,14–1,29.

Lotharingius sigillatus (STRADNER, 1961) PRINS, 1974

(Abb. 18; Taf. 3, Fig. 12; Taf. 4, Fig. 1, 2)

1961 *Discolithus sigillatus* n. sp. – STRADNER, S. 79, Textfig. 14, 15.

1969 *Colvillea crucicentralis* var. *parva* – PRINS, Taf. 3, Fig. 12 [ungültig nach ICBN Art. 32/1].

1973 *Paleopontosphaera veterna* n. sp. – ROOD, HAY & BARNARD, S. 378, Taf. 3, Fig. 2, 3 (?).

1974 *Lotharingius sigillatus* (STRADNER, 1961) n. comb. – PRINS, in GRÜN, PRINS & ZWEILI, S. 304, Abb. 8; Abb. 17, Fig. 3, 4.

Bemerkungen: Im gesamten Profil tritt *Lotharingius sigillatus* nicht selten und in typischer Ausbildung auf (vergl. GRÜN, PRINS & ZWEILI, 1974).

Vorkommen: Toarcien – Oxford.

Coccolithen-Länge: 5,4 μ –7,4 μ ; Coccolithen-Breite: 4,5 μ –5,4 μ

Zentrafeld-Länge: 2,6 μ –4,0 μ ; Zentrafeld-Breite: 1,6 μ –2,5 μ

Coccolithen-Länge/Zentrafeld-Länge: 1,84–2,07; Exzentrizität: 1,20–1,37.

Gattung *Ansulasphaera* GRÜN & ZWEILI, n. gen.

Typus-Art: *Ansulasphaera helvetica* GRÜN & ZWEILI, n. sp.

Diagnose: Eine neue Gattung der Familie Ellipsagelosphaeraceae mit den Besonderheiten der einzigen, bisher bekannten Art dieser Gattung.

Ansulasphaera helvetica GRÜN & ZWEILI, n. sp.

(Abb. 19; Taf. 4, Fig. 6–11)

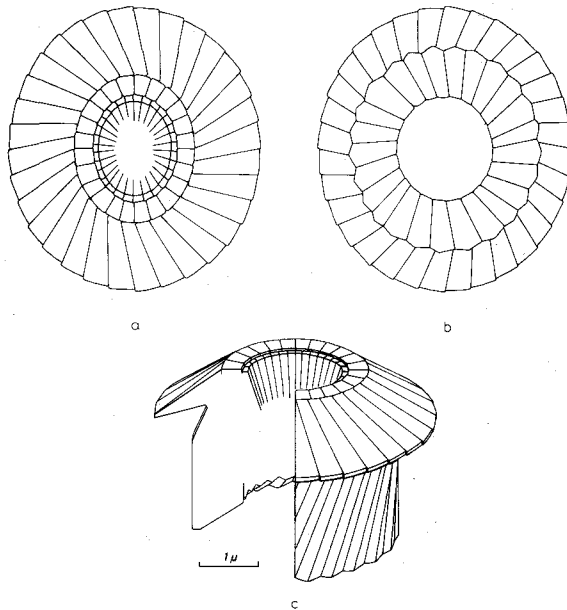


Abb. 19: *Ansulasphaera helvetica* GRÜN & ZWEILI, n. gen., n. sp. Schematische Zeichnungen. a) Distale Seite, b) proximale Seite, c) Schrägansicht der distalen Seite.

Namengebung: Diese Art wurde bisher nur in der Schweiz gefunden.

Holotyp: Rasterelektronenmikrographie Nr. 794/7 (Taf. 4, Fig. 6).

Stratum typicum: Callovien-Tone, mittleres Callovien.

Locus typicus: Tongrube bei Liesberg-Dorf.

Aufbewahrung: Rasterelektronenmikroskopie, Geologisches Institut, Universität Bern, Schweiz.

Diagnose: Die breitelliptischen bis nahezu kreisrunden Coccolithen besitzen eine monozylische distale Scheibe mit 28–32 Elementen. Der innen anschließende Kranz wird aus 24–28 sehr kleinen Elementen aufgebaut, die – durch Korrasion bedingt – häufig fehlen. Das offene Zentraffeld wird von einem Tubus aus 28–32 Elementen umschlossen. Der proximale Teil des Coccolithen ist extrem verlängert und besteht aus einem Kranz von 24–28 langen, schräggestellten Elementen, die eine offene Röhre bilden.

Bemerkungen: Während der distale Teil des Coccolithen durchaus der Gattung *Ellipsagelosphaera* entsprechen würde, stellt der proximale Teil ein völlig fremdes Element sogar für die Familie Ellipsagelosphaeraceae dar. Es erschien uns aber nicht sehr sinnvoll, diese Formen einer eigenen und neuen Familie zuzuordnen.

Vorkommen: Mittleres Callovien.

Coccolithen-Länge: 5,3 μ –5,8 μ ; Coccolithen-Breite: 5,0 μ –5,5 μ .

Durchmesser proximal: 3,0 μ –4,2 μ ; Höhe gesamt: 2,9 μ –3,7 μ .

Exzentrizität (distal): 1,06.

Gattung *Cyclagelosphaera* NOËL, 1965a

Typus-Art: *Cyclagelosphaera margereli* NOËL, 1965a, Cahiers Micropaléont., sér. 1, no. 1. (Arch. Orig. Centre Document., C. N. R. S. 408); S. 8, Fig. 45, 46, 48.

Cyclagelosphaera margereli NOËL, 1965a

(Abb. 20; Taf. 4, Fig. 12; Taf. 5, Fig. 1, 2)

1965 „Eine runde Coccolithenart“ – BLACK, S. 132, Abb. 7.

1965a *Cyclagelosphaera margereli* n. sp. – NOËL, S. 8, Fig. 45, 46, 48.

1965b *Cyclagelosphaera margereli* n. sp. – NOËL (partim), S. 130, Textfig. 44–46; Taf. 17, Fig. 4, 5, 7–9; Taf. 18, Fig. 1, 2; Taf. 20, Fig. 2 [non Taf. 17, Fig. 6; Taf. 20, Fig. 3, 4].

1968 *Cyclagelosphaera margereli*? – LEZAUD, S. 15, Taf. 1 Fig. 23.

1972 *Cyclagelosphaera margereli* NOËL, 1965 – ROTH & THIERSTEIN, Taf. 16, Fig. 19–22.

1972 *Cyclagelosphaera margereli* NOËL, 1965 – BERNIER, BUSSON, ENAY & NOËL, S. 2927, Taf. 1, Fig. 2.

1973 *Cyclagelosphaera margereli* NOËL, 1965 – NOËL, S. 121, Taf. 15, Fig. 1.

?1974 *Cyclagelosphaera margereli* NOËL, 1965 – BARNARD & HAY, Taf. 2, Fig. 10; Taf. 5, Fig. 9.

1975 *Cyclagelosphaera margereli* NOËL, 1965 – GRÜN, in GRÜN & ALEMANN, S. 165, Textfig. 10; Taf. 3, Fig. 1–3.

1976 *Cyclagelosphaera margereli* NOËL, 1965 – HILL, S. 136, Taf. 14, Fig. 3.

1976 *Cyclagelosphaera margereli* NOËL, 1965 – MOSHKOVITZ & EHRLICH, S. 13, Taf. 5, Fig. 1–14.

1976 *Cyclagelosphaera margereli* NOËL, 1965 – KEUPP, S. 366, Abb. 7–9.

1976 *Cyclagelosphaera margereli* NOËL, 1965 – WISE & WIND, Taf. 31, Fig. 1, 2; Taf. 85, Fig. 6; Taf. 87, Fig. 1, 2, 5.

1977 *Cyclagelosphaera margereli* NOËL, 1965 – KEUPP, S. 29, Taf. 6, Fig. 1–8; Taf. 7, Fig. 1–6; Taf. 17, Fig. 6; Taf. 27, Fig. 1–5.

1977 *Cyclagelosphaera margereli* NOËL, 1965 – VERBEEK, S. 82, Taf. 4, Fig. 3.

1978 *Cyclagelosphaera margereli* NOËL, 1965 – HAMILTON, S. 33, Taf. 1, Fig. 14.

Bemerkungen: Wie bei der Gattung *Ellipsagelosphaera* zeigen auch die proximalen Scheibenelemente bei der Gattung *Cyclagelosphaera* den charakteristischen Knick im Uhrzeigersinn. Weiters sind proximal die Elemente des Tubus sichtbar, der das offene, oder von wenigen Elementen bedeckte, aber immer sehr kleine Zentraffeld umschließt.

Vorkommen: Oberstes Toarcien (?), Basis Bajocien – Maastricht. BARNARD & HAY, 1974 bilden auf Taf. 5, Fig. 9 eine *Cyclagelosphaera margereli* aus dem obersten Toarcien (*D. levesquei*-Zone) ab. Dagegen wird das Erstauftreten von *C. margereli* (sic!) in Fig. 2 mit Basis Bathonien und im Text innerhalb der darüber folgenden *Diazomato-lithus lehmani*-Zone angegeben.

Coccolithen-Durchmesser: 4 μ –10 μ ; Zentrafeld-Durchmesser: 0,4 μ –1,4 μ .

Coccolithen-Durchmesser/Zentrafeld-Durchmesser: 7,1–12,1.

Durchmesser der Coccospheare: 8 μ –15 μ .

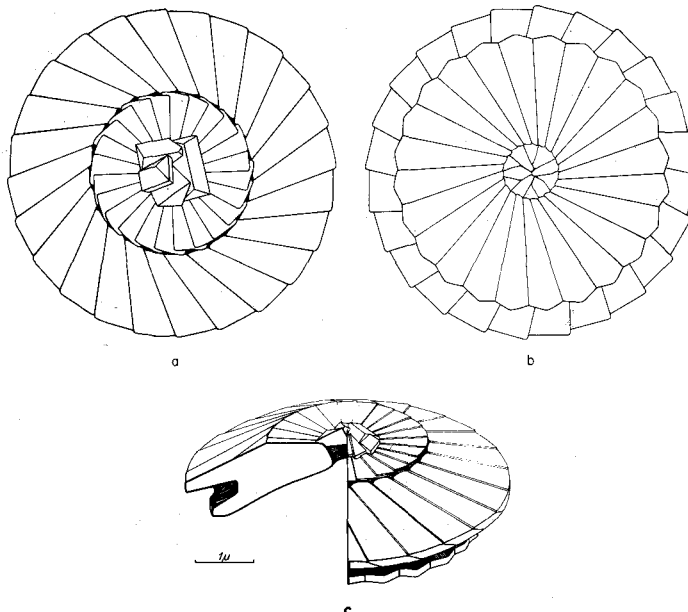


Abb. 20: *Cyclagelosphaera margereli* NOËL, 1965. Schematische Zeichnungen. a) Distale Seite, b) proximale Seite, c) Schrägangsicht der distalen Seite.

Familie PODORHABDACEAE NOËL, 1965b

Typus-Gattung: *Podorhabdus* NOËL, 1965b, Essai de classification des coccolithes fossiles, C. N. R. S.: S. 100.

Gattung *Podorhabdus* NOËL, 1965b, emend. WIND & WISE, 1976

Typus-Art: *Podorhabdus grassei* NOËL, 1965b, Essai de classification des coccolithes fossiles, C. N. R. S.: S. 103, Taf. 9, Fig. 1, 2.

1971 *Hemipodorhabdus* gen. nov. – BLACK, S. 403 [syn.]

Bemerkungen: Von D. NOËL wird 1965, S. 100, *Podorhabdus* als eine Gattung beschrieben, die in ihrem weiten Zentrafeld ein parallel zu den Ellipsenachsen verlaufendes Balkenkreuz aus 4 massiven Pfeilern besitzt. Diese Diagnose wird durch weitere Ausführungen auf den Seiten 101 und 102 dahingehend ergänzt, daß die 4 Balken durch, in ihrem Umriß deutlich abgegrenzte Bögen separiert sind. Die Textfiguren 28, 29 und die Figuren 1–7 auf Tafel 8 untermauern diese Definition durch Elektronenmikrographien und Zeichnungen.

Podorhabdus grassei n. sp., das Basionym der Gattung wird auf Seite 103 ganz im Einklang mit der Gattungsdiagnose beschrieben. Die einzigen Abbildungen der Art sind zwei um 10° gedrehte Elektronenmikrographien des selben Exemplares (Taf. 9, Fig. 1, 2). Zu allem Unglück sind es zwei Seitenansichten, die nicht erkennen lassen, ob diese Form tatsächlich der Diagnose voll entspricht, ob dieses Exemplar tatsächlich die beschriebenen Besonderheiten im Bereich des Zentralfeldes aufweist.

Dieser Umstand ist Anlaß für WIND & WISE (in WISE & WIND, 1976, S. 305) die Gattung *Podorhabdus* NOËL, 1965b, zu emendieren. Ausgehend von der Annahme (eine Annahme, die in einer persönlichen Mitteilung von W. W. HAY an die beiden Autoren geteilt wird), daß die beiden Abbildungen des Basionyms *Podorhabdus grassei* in Wirklichkeit eine Form mit nur zwei gegenüberliegenden Bögen darstellen, engen sie die Gattung *Podorhabdus* auf Formen mit nur 2 gegenüberliegenden Öffnungen im Zentralfeld ein. Die verbleibenden Formen mit 4 parallel zu den Ellipsenachsen liegenden Balken und 4 dazwischen liegenden Öffnungen werden der neuen Gattung *Axopodorhabdus* WIND & WISE, 1976, zugeordnet.

Wir schließen uns dieser Vorgangsweise voll an, da die in unserem Material vorhandenen Formen mit nur 2 gegenüberliegenden Öffnungen den beiden Seitenansichten der Art *P. grassei* von NOËL sehr ähnlich sehen.

Da somit alle Formen mit zwei gegenüber und an den Ellipsenscheiteln liegenden Öffnungen zur emendierten Gattung *Podorhabdus* gehören, muß die Gattung *Hemipodorhabdus* BLACK, 1971, die bisher Arten mit zwei Perforationen vereinte, zur Gattung *Podorhabdus* NOËL, 1965b, synonym gesetzt werden.

Podorhabdus grassei NOËL, 1965b, emend. WIND & WISE, 1976
(Abb. 21; Taf. 5, Fig. 3–8)

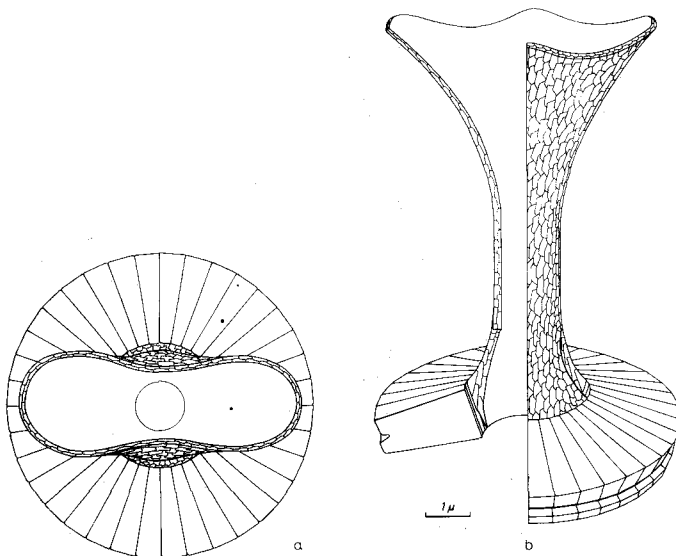


Abb. 21: *Podorhabdus grassei* NOËL, 1965, emend. WIND & WISE, 1976. Schematische Zeichnungen. a) Distale Seite,
b) Schrägansicht der distalen Seite.

- 1965a *Podorhabdus grassei* n. sp. – NOËL, S. 6 [ungültig nach ICBN Art. 38 & 43].
 1965b *Podorhabdus grassei* n. sp. – NOËL, S. 103, Taf. 9, Fig. 1, 2.
 ?1965b *Discorhabdus jungi* n. sp. – NOËL, S. 144, Taf. 22, Fig. 5.
 ?1971 *Discorhabdus jungi* NOËL, 1965 – ROOD, HAY & BARNARD, S. 267, Taf. 4, Fig. 5, 6.
 1973 *Discorhabdus biperforatus* n. sp. – ROOD, HAY & BARNARD, S. 381, Taf. 3, Fig. 7.
 ?1974 *Discorhabdus jungi* NOËL, 1965 – BARNARD & HAY, Taf. 3, Fig. 5; Taf. 6, Fig. 4.
 1976 *Podorhabdus grassei* NOËL, 1965 emend. – WIND & WISE, in WISE & WIND, S. 305, Taf. 79, Fig. 4–6; Taf. 80, Fig. 1–4.

Bemerkungen: Die Basis ist breitelliptisch bis nahezu kreisrund und besitzt distal und proximal je eine monozyklische Scheibe aus meist 36 rechteckigen, radial angeordneten, sich nicht überlappenden Elementen. Über dem offenen Zentraalfeld erhebt sich ein Zentralfortsatz, dessen trompetenförmig erweitertes Ende meist flachgedrückt ist und dadurch, von oben gesehen, einen parallel zur langen Ellipsenachse verlaufenden, biskottenförmigen Umriss zeigt. Der weit geöffnete Zentralfortsatz besitzt an der Basis zwei relativ kleine, an den Ellipsenscheiteln liegende Perforationen.

Vorkommen: Bajocien – Oxford.

Coccolithen-Durchmesser: 4,3 µ–8,0 µ; Coccolithen-Höhe: 6,6 µ–8,2 µ.

Gattung *Axopodorhabdus* WIND & WISE, 1976

Typus-Art: *Podorhabdus cylindratus* NOËL, 1965b, Essai de classification des coccolithes fossiles, C. N. R. S.: S. 103, Textfig. 30; Taf. 9, Fig. 3, 7 = *Axopodorhabdus cylindratus* (NOËL, 1965b) WIND & WISE, in WISE & WIND, 1976, Initial Rep. D. S. D. P. 36: S. 297, Taf. 80, Fig. 5, 6; Taf. 81, Fig. 1–4; Taf. 88, Fig. 5, 6.

Axopodorhabdus cylindratus (NOËL, 1965b) WIND & WISE, 1976

- (Taf. 5, Fig. 9–11)
 1965a *Podorhabdus cylindratus* n. sp. – NOËL, S. 6, Fig. 30 [ungültig nach ICBN Art. 43].
 1965b *Podorhabdus cylindratus* n. sp. – NOËL, S. 103, Textfig. 30; Taf. 9, Fig. 3, 7.
 1968 *Podorhabdus cylindratus* NOËL, 1965 – BLACK, S. 806, Taf. 150, Fig. 1.
 1969 *Podorhabdus cylindratus* NOËL, 1965 – PRINS, Taf. 3, Fig. 7A, 7B.
 1970 *Podorhabdus cylindratus* NOËL, 1965 – REINHARDT, S. 86, Bild 106.
 ?1971 *Podorhabdus cf. cylindratus* NOËL, 1965 – MEDD, S. 828, Taf. 4, Fig. 3.
 1971 *Podorhabdus septentrionalis* n. sp. – BLACK, S. 407, Taf. 32, Fig. 5.
 1971 *Podorhabdus cylindratus* NOËL, 1965 – ROOD, HAY & BARNARD, S. 261, Taf. 3, Fig. 1, 2.
 1972 *Podorhabdus sp. cf. P. septentrionalis* BLACK, 1971 – BLACK, S. 35, Taf. 6, Fig. 1–3.
 1973 *Podorhabdus cylindratus* NOËL, 1965 – NOËL, S. 109, Taf. 6, Fig. 1, 2; Taf. 7, Fig. 1, 2, 3 (?).
 1973 *Podorhabdus cylindratus* NOËL, 1965 – ROOD, HAY & BARNARD, S. 377, Taf. 2, Fig. 6.
 1976 *Axopodorhabdus cylindratus* (NOËL, 1965) n. comb. – WIND & WISE, in WISE & WIND, S. 297, Taf. 80, Fig. 5, 6; Taf. 81, Fig. 1–4; Taf. 88, Fig. 5, 6.

Bemerkungen: Die monozyklische distale Scheibe besteht aus meist 36 rechteckigen, radial angeordneten Elementen. Ein innerer Kranz aus 28–36 Elementen rahmt das große Zentraalfeld ein. Ein parallel zu den Ellipsenachsen verlaufendes Balkenkreuz lässt 4 große Perforationen frei, die bis zu den Kranzelementen reichen. Ein langer, schlanker und hohler Zentralfortsatz erhebt sich über dem Balkenkreuz.

Bei *Axopodorhabdus gracilis* (BLACK, 1972) WIND & WISE, 1976 ist das Balkenkreuz noch schlanker. Es umrahmt die 4 großen Perforationen so, daß sich 4 zusätzliche Perforationen an den Balkenenden ergeben. *Axopodorhabdus dietzmanni* (REINHARDT, 1965) WIND & WISE, 1976 besitzt 4 kleine Perforationen im Zentraalfeld und einen stärker elliptischen Umriss (Exzentrizität: 1,3–1,4). *Axopodorhabdus albianus* (BLACK, 1967) WIND & WISE, 1976, fehlt der Kranz zwischen distaler Scheibe und Zentraalfeld.

Vorkommen: Pliensbachien – Hauerivien.
Coccolithen-Länge: 5,3 μ –8,0 μ ; Coccolithen-Breite: 4,6 μ –6,5 μ .
Exzentrizität: 1,13–1,23.

Axopodorhabdus depravatus GRÜN & ZWEILI, n. sp.
(Abb. 22; Taf. 5, Fig. 12; Taf. 6, Fig. 1–4)

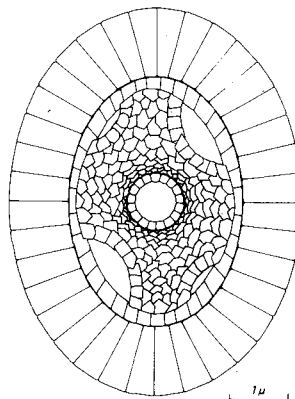


Abb. 22: *Axopodorhabdus depravatus* GRÜN & ZWEILI, n. sp. Schematische Zeichnung der distalen Seite.

Namengebung: Depravatus, lat. = verzerrt. Nach der verzerrten Zentrafeld-Struktur.

Holotyp: Rasterelektronenmikrographie Nr. 1072/8 und 1072/9 (Taf. 6, Fig. 1, 2).

Stratum typicum: Renggeri-Tone, mittleres Oxford.

Locus typicus: Tongrube bei Liesberg-Dorf.

Aufbewahrung: Rasterelektronenmikroskopie, Geologisches Institut, Universität Bern, Schweiz.

Diagnose: 32 bis 36 rechteckige, radial angeordnete Elemente bauen die monozyklische, distale Scheibe auf. Ein zusätzlicher Kranz aus 32 bis 36, in Richtung Zentrum einfallenden Elementen umgibt das Zentrafeld. Ein Pflaster aus kleinen Granulae formt ein undeutliches, parallel zu den Ellipsenachsen verlaufendes Achsenkreuz. Die 4 Perforationen im Zentrafeld zeigen deutlich zwei verschiedene Größen, wobei jeweils die beiden diagonal gegenüberliegenden Perforationen gleich groß sind. Der sicherlich hohle Zentralfortsatz ist immer abgebrochen.

Bemerkungen: Durch die Asymmetrie im Zentrafeld unterscheidet sich diese Art von allen anderen Arten der Gattung *Axopodorhabdus*.

Vorkommen: Callovier – mittleres Oxford.

Coccolithen-Länge: 5,5 μ –7,0 μ ; Coccolithen-Breite: 4,4 μ –5,3 μ .

Zentrafeld-Länge: 3,4 μ –4,5 μ ; Zentrafeld-Breite: 2,5 μ –3,1 μ .

Coccolithen-Länge/Zentrafeld-Länge: 1,50–1,70; Exzentrizität: 1,24–1,33.

Axopodorhabdus rabla (NOËL, 1965b) GRÜN & ZWEILI, n. comb.

(Abb. 23; Taf. 6, Fig. 5-8)

1965b *Podorhabdus rabla* n. sp. – NOËL, S. 105, Taf. 9, Fig. 8.

1971 *Podorhabdus rabla* NOËL, 1965 – MEDD, S. 828, Taf. 2, Fig. 4; Taf. 5, Fig. 2.

1971 *Podorhabdus* (?) *rabla* NOËL, 1965 – ROOD, HAY & BARNARD, S. 260, Taf. 2, Fig. 9.

1974 *Podorhabdus rabla* NOËL, 1965 – BARNARD & HAY, Taf. 3, Fig. 3; Taf. 6, Fig. 2.

1978 *Podorhabdus rabla* NOËL, 1965 – HAMILTON, S. 33, Taf. 1, Fig. 13.

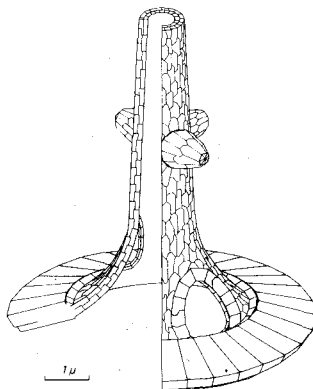


Abb. 23: *Axopodorhabdus rabla* (NOËL, 1965) GRÜN & ZWEILI, n. comb. Schematische Zeichnung der distalen Seite in Schrägansicht.

Bemerkungen: Das Charakteristikum dieser Art sind die 4 seitlichen Auswüchse etwa in der Mitte des langen und hohlen Zentralfortsatzes. Bei Formen, deren Zentralfortsatz abgebrochen ist, erscheint uns eine Unterscheidung von *Axopodorhabdus cylindratus* (NOËL, 1965b) WIND & WISE, 1976, kaum möglich.

Vorkommen: Mittleres Callovien – Oxford.

Größter Durchmesser des Coccolithen: 5,0 μ –7,8 μ ; Höhe des Zentralfortsatzes: über 10 μ .

Gattung *Hexapodorhabdus* NOËL, 1965b

Typus-Art: *Hexapodorhabdus cuvillieri* NOËL, 1965b, Essai de classification des coccolithes fossiles, C. N. R. S.: S. 105, Taf. 9, Fig. 4-6.

***Hexapodorhabdus cuvillieri* NOËL, 1965b**

(Abb. 24; Taf. 6, Fig. 9–12)

1965b *Hexapodorhabdus cuvillieri* n. sp. – NOËL, S. 105, Taf. 9, Fig. 4–6.

1971 *Hexapodorhabdus cuvillieri* NOËL, 1965 – MEDD, S. 828, Taf. 1, Fig. 3, 4 (?).

1971 *Hexapodorhabdus cuvillieri* NOËL, 1965 – ROOD, HAY & BARNARD, S. 261, Taf. 3, Fig. 3.

1973 *Hexapodorhabdus cuvillieri* NOËL, 1965 – ROOD, HAY & BARNARD, S. 378, Taf. 2, Fig. 8.

1974 *Hexapodorhabdus cuvillieri* NOËL, 1965 – BARNARD & HAY, Taf. 2, Fig. 9; Taf. 5, Fig. 8.

1976 *Hexapodorhabdus cuvillieri* NOËL, 1965 – MOSHKOVITZ & EHRLICH, S. 11, Taf. 2, Fig. 14, 15.

1976 *Hexapodorhabdus cuvillieri* NOËL, 1965 – WISE & WIND, Taf. 81, Fig. 5.

1978 *Hexapodorhabdus cuvillieri* NOËL, 1965 – HAMILTON, Taf. 1, Fig. 9.

1979 *Octopodorhabdus decussatus* (MANIVIT, 1961) ROOD, HAY & BARNARD, 1971 – MEDD (partim), S. 64, Taf. 6, Fig. 1 [non Taf. 5, Fig. 5 = *Retecapsa schizobrachiat* (GARTNER, 1968) GRÜN, 1975; non Taf. 5, Fig. 6, 7 = *Octopodorhabdus decussatus* (MANIVIT, 1961) ROOD, HAY & BARNARD, 1971].

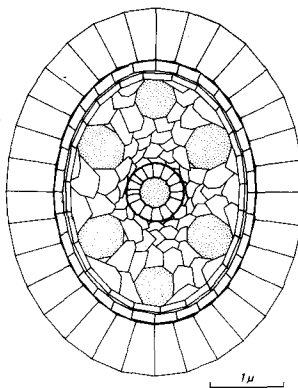


Abb. 24: *Hexapodorhabdus cuvillieri* NOËL, 1965. Schematische Zeichnung der distalen Seite.

Bemerkungen: Die distale Scheibe besteht aus 28 bis 32 rechteckigen, radial angeordneten Elementen. Das Zentrafeld wird von mindestens 2 Zyklen aus zentral einfallenden Elementen umgeben und von einem Pflaster aus kleinen Granulae überdeckt, das sich im Zentrum zu einem hohlen Zentralfortsatz hochwölbt. Am Außenrand des Zentralfeldes befinden sich 6 Perforationen, je eine meist kleinere an den beiden Ellipsenscheiteln. Bei einigen Formen (Taf. 6, Fig. 11, 12) besteht die Tendenz, eine siebente Perforation am Außenrand des Zentralfeldes zu bilden. Wir erweitern die Definition von *Hexapodorhabdus cuvillieri* dahingehend.

Vorkommen: Bajocien – Oxford.

Coccolithen-Länge: 4,7 μ –6,0 μ ; Coccolithen-Breite: 3,5 μ –4,7 μ .

Zentralfeld-Länge: 2,8 μ –4,5 μ ; Zentralfeld-Breite: 2,0 μ –3,2 μ .

Coccolithen-Länge/Zentralfeld-Länge: 1,31–1,70; Exzentrizität: 1,25–1,46.

Gattung *Octopodorhabdus* NOËL, 1965a, sensu ROOD, HAY & BARNARD, 1971

Typus-Art: *Octopodorhabdus praevius* NOËL, 1965a, Cahiers Micropaléont., sér. 1, no. 1. (Arch. Orig. Centre Document., C. N. R. S. 408); S. 6, Textfig. 31.

Bemerkungen: NOËLs sehr eng gefasste Definition der Gattung *Octopodorhabdus* („...huit piliers, situés de part et d'autre des axes de l'embase du coccolithe...“) wurde von ROOD, HAY & BARNARD, 1971, indirekt erweitert: „Coccoliths with a podorhabdoid rim and a stem supported by eight bars.“ Um es noch deutlicher zu machen: Wir zählen alle Arten der Familie Podorhabdaceae mit 8, in einem Zyklus am Außenrand des Zentralfeldes gelegenen Perforationen, unabhängig von ihrer Lage gegenüber den Ellipsenachsen zur Gattung *Octopodorhabdus* NOËL, 1965.

Octopodorhabdus decussatus (MANIVIT, 1961) ROOD, HAY & BARNARD, 1971

(Abb. 25; Taf. 7, Fig. 1–3)

1961 *Discolithus decussatus* n. sp. – MANIVIT, S. 344, Taf. 1, Fig. 7.

1963 *Rhabdolithus decussatus* (MANIVIT, 1961) n. comb. – STRADNER, S. 9, Taf. 5, Fig. 8, 8a [ungültig nach ICBN Art 33/4].

- 1966 *Zygotibus variradiatus* n. sp. — STOVER (partim), S. 148, Taf. 4, Fig. 14; Taf. 9, Fig. 1 [non Taf. 4, Fig. 13, 15].
 1968 *Cretarhabdus decussatus* (MANIVIT, 1961) n. comb. — STRADNER, ADAMIKER & MARESCH (partim), S. 29, Taf. 13, Fig. 2; Taf. 14, Fig. 1, 2, 3 (?), 4, 5, 6 (?) [non Taf. 13, Fig. 1].
 1969 *Podorhabdus reinhardtii* n. sp. — BUKRY, S. 38, Taf. 16, Fig. 7.
 1971 *Octopodorhabdus decussatus* (MANIVIT, 1961) n. comb. — ROOD, HAY & BARNARD, S. 262, Taf. 3, Fig. 4.
 1972 *Otocyclus magnus* n. sp. — BLACK, S. 38, Taf. 8, Fig. 1–5; Taf. 9, Fig. 6–9.
 1973 *Octopodorhabdus decussatus* (MANIVIT, 1961) ROOD, HAY & BARNARD, 1971 — ROOD, HAY & BARNARD, S. 378, Taf. 2, Fig. 9.
 1976 *Otocyclus reinhardtii* (BUKRY, 1969) n. comb. — WIND & WISE, in WISE & WIND, S. 302, Taf. 44, Fig. 1–3; Taf. 57, Fig. 6; Taf. 58, Fig. 1, 2.
 1979 *Octopodorhabdus decussatus* (MANIVIT, 1961) ROOD, HAY & BARNARD, 1971 — MEED (partim), S. 64, Taf. 5, Fig. 6, 7 [non Taf. 5, Fig. 5 = *Retecapsa schizobrachiata* (GARTNER, 1968) GRÜN, 1975; non Taf. 6, Fig. 1 = *Hexapodorhabdus avillieri* NOËL, 1965].

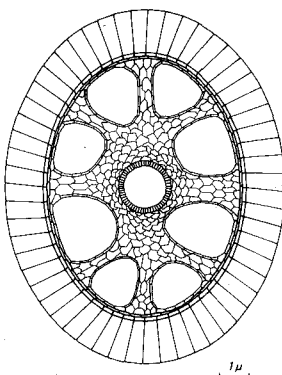


Abb. 25: *Octopodorhabdus decussatus* (MANIVIT, 1961) ROOD, HAY & BARNARD, 1971. Schematische Zeichnung der distalen Seite.

Bemerkungen: Die 8 runden bis elliptischen Perforationen, die von einem parallel zu den Ellipsenachsen verlaufenden Balkenkreuz getrennt werden, sind relativ groß. Die monozylische distale Scheibe besteht aus 48–64 Elementen.

Wie bei *Hexapodorhabdus avillieri* NOËL, 1965, besteht auch bei *Octopodorhabdus decussatus* die Tendenz, die Zahl der Perforationen zu vergrößern. So sind nicht selten Formen mit einer zusätzlichen, neunten Perforation zu beobachten. Durch die Gesamtgröße und die Größe der Perforationen unterscheidet sich diese Art von *Octopodorhabdus oculisminutis* GRÜN & ZWEILI, n. sp.

Vorkommen: Bajocien – Maastricht (im Eozän umgelagert?).

Coccolithen-Länge: 7,0 μ –19,0 μ ; Coccolithen-Breite: 5,0 μ –16,4 μ .

Zentrafeld-Länge: 6,0 μ –15,0 μ ; Zentrafeld-Breite: 4,2 μ –12,4 μ .

Coccolithen-Länge/Zentrafeld-Länge: 1,17–1,53; Exzentrizität: 1,15–1,60.

Octopodorhabdus oculisminutis GRÜN & ZWEILI, n. sp.

(Abb. 26; Taf. 7, Fig. 4–6)

Namengebung: Oculis minutis, lat. = kleinäugig.

Holotyp: Rasterelektronenmikrographie Nr. 823/10 (Taf. 7, Fig. 4).

Stratum typicum: Renggeri-Tone, unterstes Oxford.

Locus typicus: Tongrube bei Liesberg-Dorf, Schweiz.

Aufbewahrung: Rasterelektronenmikroskopie, Geologisches Institut, Universität Bern, Schweiz.

Diagnose: Die distale monozyklische Scheibe besteht aus meist 32 Elementen in einer für die Familie Podorhabdaceae NOËL, 1965, typischen Ausbildung und Anordnung. Das relativ weite Zentrafeld enthält 8 kleine Perforationen, die in einem Zyklus am Außenrand angeordnet sind. Darüber hinausgehende Anomalien in der Anordnung der Perforationen sind für diese Art nicht uncharakteristisch.

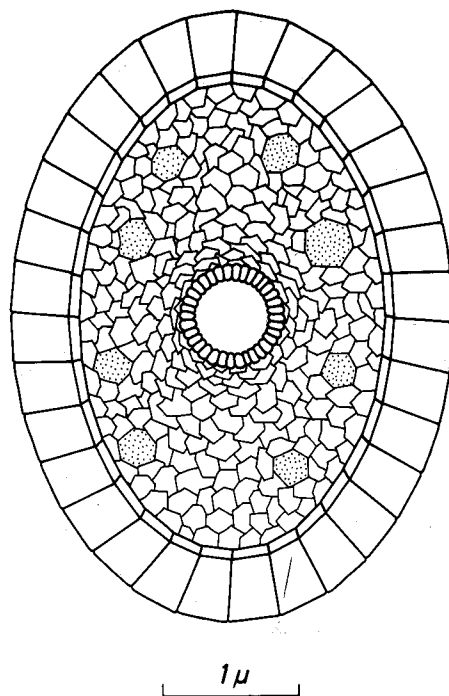


Abb. 26: *Octopodorhabdus oculisminutis* GRÜN & ZWEILL, n. sp. Schematische Zeichnung der distalen Seite.

Bemerkungen: Bei *Octopodorhabdus decussatus* (MANIVIT, 1961) ROOD, HAY & BARNARD, 1971, sind sowohl der Umriss des Coccolithen als auch die Perforationen wesentlich größer.

Vorkommen: Unterstes Oxford.

Coccolithen-Länge: 4,2 μ –4,9 μ ; Coccolithen-Breite: 3,0 μ –3,7 μ .

Zentrafeld-Länge: 3,6 μ –4,0 μ ; Zentrafeld-Breite: 2,3 μ –2,5 μ .

Coccolithen-Länge/Zentrafeld-Länge: 1,23–1,33; Exzentrizität: 1,32–1,45.

Gattung *Perissocyclus* BLACK, 1971

Typus-Art: *Perissocyclus noelae* BLACK, 1971, Proc. Yorkshire Geol. Soc. 38/3: S. 405, Taf. 32, Fig. 6.

Bemerkungen: Nach BLACK, 1971, S. 405, gehören sowohl Formen mit einem wie auch zwei Perforationszyklen im Zentraffeld zu dieser Gattung. Einzige Art mit nur einem Perforationszyklus ist die Typus-Art *P. noelae*, die laut Definition von BLACK 5 bis 9 Perforationen in ihrem Zentraffeld aufweist. In dieser Fassung würde *P. noelae* im Falle von 6 Perforationen zur Gattung *Hexapodorhabdus* NOËL, 1965 und im Falle von 8 Perforationen zur Gattung *Octopodorhabdus* NOËL, 1965, gehören. Es ist daher zu überlegen, ob man die Gattung *Perissocyclus* nicht auf Formen mit ausschließlich zwei Perforationszyklen beschränkt oder ob die Gattungen *Hexapodorhabdus* und *Octopodorhabdus* zugunsten von *Perissocyclus* eingezogen werden sollen.

Die Gattung *Etbmorhabdus* NOËL, 1965, besitzt eine größere Anzahl von hexagonal angeordneten Perforationen im Zentraffeld.

Perissocyclus fletcheri BLACK, 1971

(Taf. 7, Fig. 11, 12)

1971 *Perissocyclus fletcheri* n. sp. — BLACK, S. 406, Taf. 32, Fig. 3.

Bemerkungen: Diese kleinwüchsige Art der Gattung *Perissocyclus* besitzt 26 bis 34 Elemente in jeder der beiden Scheiben. Das Zentraffeld wird von 14 bis 18, in zwei Zyklen angeordneten Perforationen durchbrochen. Ein parallel zu den Ellipsenachsen verlaufendes Balkenkreuz ist nur undeutlich entwickelt.

Perissocyclus liesbergensis GRÜN & ZWEILI, n. sp. und *Perissocyclus fenestratus* (STOVER, 1966) BLACK, 1971, sind größer, besitzen mehr Perforationen im Zentraffeld und mehr Elemente in den beiden Scheiben.

Vorkommen: Oxford – Berrias.

Coccolithen-Länge: 4,2 μ –6,2 μ ; Coccolithen-Breite: 3,5 μ –4,9 μ .

Zentraffeld-Länge: 3,0 μ –4,7 μ ; Zentraffeld-Breite: 2,3 μ –3,4 μ .

Coccolithen-Länge/Zentraffeld-Länge: 1,32–1,40; Exzentrizität: 1,26–1,30.

Perissocyclus liesbergensis GRÜN & ZWEILI, n. sp.

(Abb. 27; Taf. 7, Fig. 7–10)

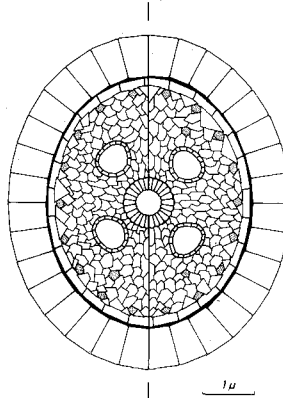


Abb. 27: *Perissocyclus liesbergensis* GRÜN & ZWEILI, n. sp. Schematische Zeichnung der distalen Seite. Die beiden Coccolithen-Hälften zeigen zwei verschiedene Ausbildungen.

Namengebung: Nach dem Fundort Liesberg, Schweiz.

Holotyp: Rasterelektronenmikrographie Nr. 892/12 (Taf. 7, Fig. 7).

Stratum typicum: Renggeri-Tone, unterstes Oxford.

Locus typicus: Tongrube bei Liesberg-Dorf.

Aufbewahrung: Rasterelektronenmikroskopie, Geologisches Institut, Universität Bern, Schweiz.

Diagnose: Die meist breitelliptischen Formen besitzen eine monozyklische distale Scheibe aus 30 bis 36 geraden, radial angeordneten Elementen. Der Rand des relativ großen Zentraffeldes ist von 16 bis 18 kleinen Perforationen durchbrochen. Im Zentrum trägt ein parallel zu den Ellipsenachsen liegendes Balkenkreuz (der Querbalken kann auch etwas schräg liegen) einen hohlen Zentraffortsatz. Zwischen den 4 Balken befinden sich insgesamt 4 größere Perforationen. Weitere 4 kleine Perforationen liegen zwischen den 4 großen und den Perforationen am Außenrand des Zentraffeldes.

Bemerkungen: Bei *Perissocyclus fenestratus* (STOVER, 1966) BLACK, 1971, sind die Perforationen anders angeordnet und nahezu gleich groß. Der innere Zyklus besteht darüber hinaus aus 6 Perforationen. *Perissocyclus fletcheri* BLACK, 1971, ist insgesamt kleiner, besitzt weniger Perforationen im Zentraffeld und weniger Elemente in den beiden Scheiben.

Vorkommen: Unterer Oxford.

Coccolithen-Länge: 6,4 μ -8,4 μ ; Coccolithen-Breite: 4,9 μ -6,5 μ .

Zentraffeld-Länge: 4,8 μ -6,2 μ ; Zentraffeld-Breite: 3,9 μ -4,7 μ .

Coccolithen-Länge/Zentraffeld-Länge: 1,32-1,34; Exzentrizität: 1,20-1,30.

Gattung *Ethmorhabdus* NOËL, 1965a

Typus-Art: *Ethmorhabdus gallicus* NOËL, 1965a, Cahiers Micropaléont., sér. 1, no. 1. (Arch. Orig. Centre Document, C. N. R. S. 408): S. 6, Textfig. 33, 34.

Bemerkungen: Diese Gattung weist eine größere Anzahl von hexagonal angeordneten Perforationen im Zentraffeld auf.

Ethmorhabdus anglicus ROOD, HAY & BARNARD, 1971

(Taf. 8, Fig. 1-3)

1971 *Ethmorhabdus anglicus* n. sp. - ROOD, HAY & BARNARD, S. 263, Taf. 3, Fig. 8.

1973 *Ethmorhabdus anglicus* ROOD, HAY & BARNARD, 1971 - NOËL, S. 111, Taf. 9, Fig. 1-4; Taf. 10, Fig. 2 (?).

1973 *Ethmorhabdus anglicus* ROOD, HAY & BARNARD, 1971 - ROOD, HAY & BARNARD, S. 380.

Bemerkungen: Die distale Scheibe besteht aus meist 32 Elementen. Das Zentraffeld zeigt 22 bis 44 Perforationen. Im Gegensatz dazu besitzt *Ethmorhabdus gallicus* 80 bis 100 Perforationen und *Ethmorhabdus rimosus* GRÜN & ZWEILI, n. sp. 150 bis 200 Perforationen. Vorkommen: Oxford.

Coccolithen-Länge: 5,4 μ -5,7 μ ; Coccolithen-Breite: 3,5 μ -3,8 μ .

Zentraffeld-Länge: 3,7 μ -4,0 μ ; Zentraffeld-Breite: 2,3 μ -2,5 μ .

Coccolithen-Länge/Zentraffeld-Länge: 1,4; Exzentrizität: 1,5.

Ethmorhabdus gallicus NOËL, 1965a

(Taf. 8, Fig. 4,5)

1965a *Ethmorhabdus gallicus* n. sp. - NOËL, S. 6, Textfig. 33, 34.

1965b *Ethmorhabdus gallicus* n. sp. - NOËL, S. 110, Textfig. 33, 34; Taf. 10, Fig. 1, 2, 5.

1968 *Ethmorhabdus gallicus* NOËL, 1965 - BLACK, S. 806, Taf. 150, Fig. 3.

? 1971 *Ethmorhabdus gallicus* NOËL, 1965 - MEED, S. 829, Taf. 2, Fig. 2.

1971 *Ethmorhabdus gallicus* NOËL, 1965 - ROOD, HAY & BARNARD, S. 263, Taf. 3, Fig. 7.

- 1973 *Ethmorhabdus gallicus* NOËL, 1965 – ROOD, HAY & BARNARD, S. 380, Taf. 3, Fig. 5.
 1974 *Ethmorhabdus gallicus* NOËL, 1965 – BARNARD & HAY, Taf. 2, Fig. 6; Taf. 5, Fig. 5.
 1976 *Ethmorhabdus gallicus* NOËL, 1965 – WISE & WIND, Taf. 77, Fig. 5, 6.
 1976 *Ethmorhabdus gallicus* NOËL, 1965 – THIERSTEIN, Taf. 2, Fig. 15–18.
 1978 *Ethmorhabdus gallicus* NOËL, 1965 – HAMILTON, S. 33, Taf. 1, Fig. 8.

Bemerkungen: Die schmale, monozyklische distale Scheibe besteht aus 32 bis 40 Elementen. Gleich viele Elemente bauen den Tubus auf, der das große Zentraffeld einrahmt. 80 bis 100 hexagonal angeordnete Perforationen durchbrechen das Zentraffeld, welches sich zu einem hohlen Zentralfortsatz hochwölbt.

Vorkommen: Bajocien – Oxford.

Coccolithen-Länge: 5,1 µ–7,6 µ; Coccolithen-Breite: 4,0 µ–6,2 µ.

Zentraffeld-Länge: 3,6 µ–5,3 µ; Zentraffeld-Breite: 2,8 µ–3,6 µ.

Coccolithen-Länge/Zentraffeld-Länge: 1,40–1,45; Exzentrizität: 1,22–1,32.

Ethmorhabdus rimosus GRÜN & ZWEILI, n. sp.

(Taf. 8, Fig. 6–9)

Namengebung: Rimosus, lat. = löcherig. Wegen der zahlreichen Perforationen im Zentraffeld.

Holotyp: Rasterelektronenmikrographie Nr. 884/8 (Taf. 8, Fig. 6).

Stratum typicum: Untere Renggeri-Tone, unterstes Oxford.

Locus typicus: Tongrube bei Liesberg-Dorf.

Aufbewahrung: Rasterelektronenmikroskopie, Geologisches Institut, Universität Bern, Schweiz.

Diagnose: Die schmale distale Scheibe besteht aus 40 bis 52 rechteckigen, radial angeordneten Elementen. Die Membran, die das relativ große Zentraffeld überspannt, wird von 150 bis 200 kleinen Perforationen durchbrochen. Der hohle Zentralfortsatz trägt, wie bei *Axopodorbabdus rabla* (NOËL, 1965) GRÜN & ZWEILI, n. comb., 4 seitliche Dornen.

Bemerkungen: Im vorliegenden Material ist diese Form die größte innerhalb der Gattung *Ethmorhabdus*. Auch die Anzahl der Scheibenelemente und der Perforationen im Zentraffeld ist bei dieser Art am größten. Die 4 seitlichen Dornen am Zentralfortsatz sind nur bei 2 Exemplaren sichtbar. Bei den restlichen Exemplaren ist der Zentralfortsatz unterhalb der Verzweigungsstelle abgebrochen. Die Orientierung der 4 Dornen bezüglich der Ellipsenachsen der Scheibe ist nicht eindeutig und dürfte auch nicht artspezifisch sein.

Vorkommen: Unterer Oxford.

Coccolithen-Länge: 8,2 µ–9,2 µ; Coccolithen-Breite: 6,6 µ–7,5 µ.

Zentraffeld-Länge: 7,0 µ–7,6 µ; Zentraffeld-Breite: 5,3 µ–5,8 µ.

Coccolithen-Länge/Zentraffeld-Länge: 1,15–1,25; Exzentrizität: 1,20–1,25.

Familie RETECAPSACEAE GRÜN, 1975

Typus-Gattung: *Retecapsa* BLACK, 1971, Proc. Yorkshire Geol. Soc. 38/3: S. 409.

Subfamilie RETECAPSOIDEAE BLACK, 1972

Gattung *Retecapsa* BLACK, 1971, emend. GRÜN, 1975

Typus-Art: *Retecapsa brightoni* BLACK, 1971, Proc. Yorkshire Geol. Soc. 38/3: S. 409, Taf. 33, Fig. 3.

Retecapsa schizobrachiata (GARTNER, 1968) GRÜN, 1975

(Abb. 28; Taf. 8, Fig. 10–12)

1968 *Vekshinella schizobrachiata* n. sp. – GARTNER, S. 31, Taf. 13, Fig. 10, 11; Taf. 20, Fig. 5.

1969 *Cretarhabdus schizobrachiatus* (GARTNER, 1968) n. comb. – BUKRY, S. 36, Taf. 15, Fig. 4–6.

1971 *Polypodorbabodus schizobrachiatus* (GARTNER, 1968) n. comb. – SHAFIK & STRADNER (partim), S. 87, Taf. 15, Fig. 1, 3 [non Taf. 15, Fig. 2].

1975 *Retecapsa schizobrachiata* (GARTNER, 1968) n. comb. – GRÜN, in GRÜN & ALLEMANN, S. 175, Textfig. 18b.

1978 *Retecapsa schizobrachiata* (GARTNER, 1968) GRÜN, 1975 – TAYLOR, S. 198.

1979 *Octopodorbabodus decussatus* (MANIVIT, 1961) ROOD, HAY & BARNARD, 1971 – MEDD (partim), S. 64, Taf. 5, Fig. 5 [non Taf. 5, Fig. 6, 7 = *Octopodorbabodus decussatus* (MANIVIT, 1961) ROOD, HAY & BARNARD, 1971; non Taf. 6, Fig. 1 = *Hexapodorbabodus cuvilli* NOËL, 1965].

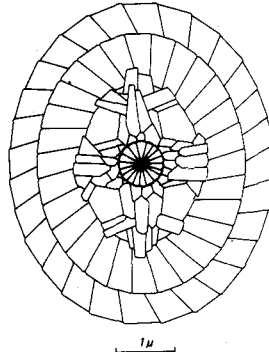


Abb. 28: *Retecapsa schizobrachiata* (GARTNER, 1968) GRÜN, 1975. Schematische Zeichnung der distalen Seite.

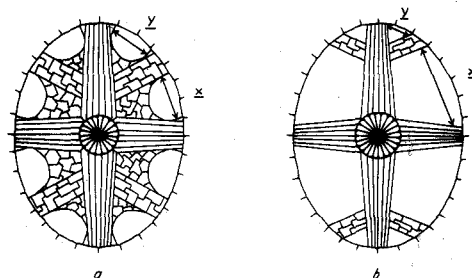


Abb. 29: Schematische Zeichnung der Zentralfelder. a) *Retecapsa angustiforata* BLACK, 1971 x: y < 2. b) *Retecapsa schizobrachiata* (GARTNER, 1968) GRÜN, 1975 x: y > 2.

Bemerkungen: Die bipyklische distale Scheibe besitzt in jedem Zyklus 24 bis 32 gerade, gegen den UZS gerichtete Elemente. Das Charakteristikum dieser Art ist der Größenunterschied zwischen den 4 zentralen Perforationen einerseits und den 4 externen Perforationen andererseits. Dadurch unterscheidet sich diese Art von *Retecapsa angustiforata* BLACK, 1971, die zwar ebenfalls 8, aber annähernd gleich große Perforationen besitzt (siehe Abb. 29).

Vorkommen: Unterstes Oxford – Oberes Maastricht.

Coccolithen-Länge: 4,7 μ –6,7 μ ; Coccolithen-Breite: 4,0 μ –5,6 μ .

Zentralfeld-Länge: 2,5 μ –3,7 μ ; Zentralfeld-Breite: 1,6 μ –2,8 μ .

Coccolithen-Länge/Zentralfeld-Länge: 1,75–1,93; Exzentrizität: 1,17–1,26.

Gattung *Polypodorhabdus* NOËL, 1965a, emend. BLACK, 1972

Typus-Art: *Polypodorhabdus escaigi* NOËL, 1965a, Cahiers Micropaléont., sér. 1, no. 1. (Arch. Orig. Centre Document, C. N. R. S. 408); S. 6, Textfig. 32.

Polypodorhabdus escaigi NOËL, 1965a

(Taf. 9, Fig. 1-12)

1965a *Polypodorhabdus escaigi* n. sp. – NOËL, S. 6, Textfig. 32.

1965b *Polypodorhabdus escaigi* n. sp. – NOËL, S. 109, Textfig. 32; Taf. 10, Fig. 6-8.

1968 *Polypodorhabdus madingleyensis* n. sp. – BLACK, S. 806, Taf. 150, Fig. 2.

non 1969 *Cretarhabdus crenulatus hansmannii* n. ssp. – BUKRY, S. 35, Taf. 14, Fig. 7-9 [= *Retecapsa crenulata* (BRAM-LETTE & MARTINI, 1964) GRÜN, 1975].

1971 *Polypodorhabdus escaigi* NOËL, 1965 – MEDD, S. 828, Taf. 1, Fig. 5.

1971a *Polypodorhabdus madingleyensis* BLACK, 1968 – BLACK, S. 619, Taf. 454, Fig. 37.

1971b *Polypodorhabdus madingleyensis* BLACK, 1968 – BLACK, S. 408, Taf. 32, Fig. 7.

1971b *Polypodorhabdus paucisectus* n. sp. – BLACK, S. 408, Taf. 32, Fig. 8.

1971 *Polypodorhabdus escaigi* NOËL, 1965 – ROOD, HAY & BARNARD, S. 262, Taf. 3, Fig. 5, 6.

1972 *Polypodorhabdus madingleyensis* BLACK, 1968 – BLACK, S. 41, Taf. 10, Fig. 4.

1972 *Polypodorhabdus hansmannii* (BUKRY, 1969) n. comb. – BLACK, S. 42, Textfig. 37; Taf. 10, Fig. 5 (?).

1973 *Polypodorhabdus escaigi* NOËL, 1965 – NOËL, S. 111, Taf. 7, Fig. 4-7.

1974 *Polypodorhabdus escaigi* NOËL, 1965 – BARNARD & HAY, Taf. 3, Fig. 10.

1975 *Polypodorhabdus escaigi* NOËL, 1965 – GRÜN, in GRÜN & ALLEMANN, S. 185.

1975 *Polypodorhabdus madingleyensis* BLACK, 1968 – GRÜN, in GRÜN & ALLEMANN, S. 185.

1976 *Polypodorhabdus escaigi* NOËL, 1965 – WISE & WIND, Taf. 77, Fig. 1-3; Taf. 88, Fig. 3, 4.

1976 *Polypodorhabdus escaigi* NOËL, 1965 – THIERSTEIN, Taf. 2, Fig. 22-25.

1978 *Polypodorhabdus madingleyensis* BLACK, 1968 – HAMILTON, S. 33, Taf. 1, Fig. 12, 15.

1979 *Polypodorhabdus escaigi* NOËL, 1965 – MEDD, S. 65, Taf. 6, Fig. 3.

1979 *Polypodorhabdus madingleyensis* BLACK, 1968 – MEDD, S. 66, Taf. 6, Fig. 4, 5.

1979 *Polypodorhabdus beckii* n. sp. – MEDD, S. 66, Taf. 6, Fig. 6.

Bemerkungen: Ausschließlich auf Grund der unterschiedlichen Anzahl von Lateralbalken im Zentrafeld wurden von BLACK, 1968, 1971b, und von MEDD, 1979, neue Arten der Gattung *Polypodorhabdus* aufgestellt. In dem uns vorliegenden Material finden sich Formen mit 8 bis zu 24 Lateralbalken, ohne daß eine Gruppierung im Sinne der von BLACK und MEDD aufgestellten Arten zu erkennen wäre. Nicht selten ist die Anzahl der Lateralbalken in den 4 Quadranten eines Exemplars verschieden, so daß unter Umständen einzelne Quadranten eines einzigen Exemplars unterschiedlichen Arten zugeordnet werden müßten (Taf. 9, Fig. 7, 10, 11).

Vorkommen: Mittleres Callovien – Alb.

Coccolithen-Länge: 4,3 μ -7,9 μ ; Coccolithen-Breite: 3,5 μ -6,2 μ .

Zentrafeld-Länge: 2,6 μ -4,4 μ ; Zentrafeld-Breite: 1,6 μ -3,2 μ .

Coccolithen-Länge/Zentrafeld-Länge: 1,62-1,90; Exzentrizität: 1,25-1,38.

Ordnung EIFFELLITHALES ROOD, HAY & BARNARD, 1971

Familie STEPHANOLITHIACEAE BLACK, 1968, sensu BLACK, 1973

Typus-Gattung: *Stephanolithion* DEFLANDRE, 1939, C. R. Acad. Sc. (Paris) 208: S. 1331-1333.

Bemerkungen: Im Einklang mit BLACKs Diagnose (1973, S. 92) stellen wir alle Formen mit einer zylindrischen, elliptischen oder polygonalen distalen Randscheibe, deren Elemente keine deutliche Imbriktion zeigen (wie es bei den Familien Crepidolithaceae BLACK, 1971, Zygolithaceae NOËL ex BLACK, 1968, und anderen der Fall ist), Formen deren offenes Zentrafeld von einem Netzwerk radial oder in anderer Weise angeordneter Balken überzogen wird und die eine proximale Scheibe aus flachliegenden Elementen auf-

weisen zur Familie Stephanolithiaceae BLACK, 1968. Ein Zentralfortsatz und laterale Fortsätze können vorhanden sein.

Gattung *Stephanolithion* DEFLANDRE, 1939

Typus-Art: *Stephanolithion bigoti* DEFLANDRE, 1939, C. R. Acad. Sc. (Paris) 208: S. 1332, Textfig. 1–14.

Stephanolithion bigoti DEFLANDRE, 1939

(Abb. 30; Taf. 10, Fig. 1–6)

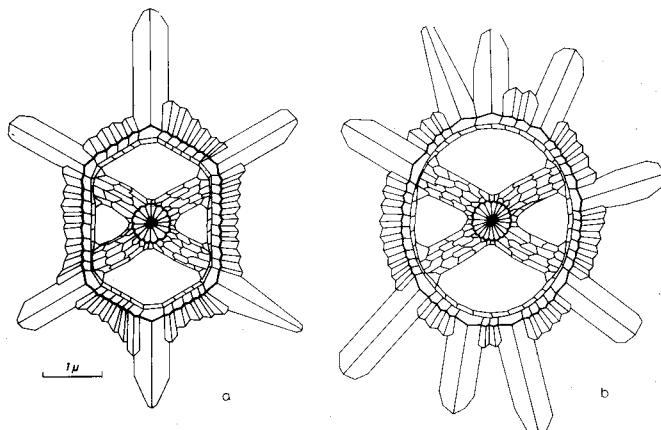


Abb. 30: *Stephanolithion bigoti* DEFLANDRE, 1939. Schematische Zeichnungen der distalen Seite. a) Exemplar mit sechseckigem Umriß und 6 Lateralfortsätzen. b) Exemplar mit elliptischem Umriß und 9 Lateralfortsätzen.

- 1939 *Stephanolithion bigoti* n. sp. – DEFLANDRE, S. 1332, Textfig. 1–14.
- 1952 *Stephanolithion bigoti* DEFLANDRE, 1939 – DEFLANDRE, in GRASSÉ, Fig. 361A–E.
- 1952 *Stephanolithion bigoti* DEFLANDRE, 1939 – DEFLANDRE, in PIVETEAU, Fig. 36–38.
- 1955 *Stephanolithion bigoti* DEFLANDRE, 1939 – DEFLANDRE & FERT, S. 146, Taf. 15, Fig. 1–6.
- 1957 *Stephanolithion bigoti* DEFLANDRE, 1939 – NOËL, S. 316, Taf. 2, Fig. 1, 2.
- 1963 *Stephanolithion bigoti* DEFLANDRE, 1939 – STRADNER, S. 9, Taf. 4, Fig. 2, 2a–2c.
- 1965a *Stephanolithion bigoti* DEFLANDRE, 1939 – NOËL, S. 5, Textfig. 9–14.
- 1965b *Stephanolithion bigoti* DEFLANDRE, 1939 – NOËL, S. 78, Textfig. 9–14; Taf. 5, Fig. 1–4, 5 (?), 6 (?), 7–10.
- 1968 *Stephanolithion bigoti* DEFLANDRE, 1939 – BLACK, S. 807, Taf. 152, Fig. 1.
- 1968 *Stephanolithion bigoti* DEFLANDRE, 1939 – LEZAUD, S. 16, Taf. 1, Fig. 1, 2.
- 1971 *Stephanolithion bigoti* DEFLANDRE, 1939 – MEDD, S. 827, Taf. 2, Fig. 6 (?); Taf. 3, Fig. 5, 6 (?).
- 1971 *Stephanolithion bigoti* DEFLANDRE, 1939 – ROOD, HAY & BARNARD, S. 260, Taf. 2, Fig. 8.
- 1971 *Stephanolithion bigoti* DEFLANDRE, 1939 – REINHARDT, S. 27, Bild 18, 19.
- 1972 *Stephanolithion bigoti* DEFLANDRE, 1939 – ROOD & BARNARD, S. 329, Taf. 1, Fig. 5, 11.
- 1972 *Stephanolithion bigoti* DEFLANDRE, 1939 – WILCOXON, S. 432, Taf. 3, Fig. 2.
- 1973 *Stephanolithion bigoti* DEFLANDRE, 1939 – NOËL, S. 109, Taf. 5, Fig. 1–4.
- 1973 *Stephanolithion bigoti* DEFLANDRE, 1939 – BLACK, S. 92, Textfig. 44.
- 1974 *Stephanolithion bigoti* DEFLANDRE, 1939 – BARNARD & HAY, Taf. 3, Fig. 6; Taf. 6, Fig. 5.
- 1976 *Stephanolithion bigoti* DEFLANDRE, 1939 – MOSHKOVITZ & EHRLICH, S. 9, Taf. 2, Fig. 1, 2, 3 (?), 4 (?), 5, 6, 7 (?), 8 (?).
- 1976 *Stephanolithion bigoti* DEFLANDRE, 1939 – KEUPP, S. 372, Abb. 18 (?), 19 (?), 22.
- 1976 *Stephanolithion bigoti* DEFLANDRE, 1939 – WISE & WIND, Taf. 79, Fig. 1–3.
- 1976 *Stephanolithion bigoti* DEFLANDRE, 1939 – THIERSTEIN, Taf. 2, Fig. 19.

- 1977 *Stephanolithion bigoti* DEFLANDRE, 1939 – KEUPP, S. 52, Taf. 2 (= Taf. 1), Fig. 3 (?); Taf. 17, Fig. 3 (?), 4 (?), 5, 6; Taf. 18, Fig. 1, 2 (?), 3, 4 (?), 5 (?), 6 (?).
- 1978 *Stephanolithion bigoti* DEFLANDRE, 1939 – HAMILTON, S. 33, Taf. 1, Fig. 11.
- 1979 *Stephanolithion bigoti* DEFLANDRE, 1939 *bigoti* ssp. n. – MEDD, S. 50, Taf. 4, Fig. 5.
- ?1979 *Stephanolithion bigoti* DEFLANDRE, 1939 *maximum* ssp. n. – MEDD, S. 51, Taf. 4, Fig. 5, 6.

Bemerkungen: Proximal besteht diese Art aus 32 bis 40 geraden, radial angeordneten Elementen. Die 40 bis 48 Elemente der distalen Scheibe sind senkrecht angeordnet und umrahmen ein großes Zentrafeld. Mindestens 6 bis max. 9 der distalen Elemente sind extrem vergrößert und bilden laterale Fortsätze, die den Cocco lithen weit überragen. Das Zentrafeld wird von einem schräg zu den Ellipsenachsen liegenden Balkenkreuz überbrückt. Ein solider Zentralfortsatz ist zumindest im Ansatz vorhanden.

Unter den vorliegenden Formen lassen sich zwei unterschiedliche Ausbildungen feststellen. Die eine ist nahezu sechseckig im Umriß und besitzt 6 bis max. 7 laterale Fortsätze. Die andere mit elliptischem Umriß zeigt dagegen 8 bis max. 9 laterale Fortsätze. Zwischen diesen beiden Extremformen gibt es alle Übergänge, so daß uns eine Aufspaltung in zwei Arten nicht sinnvoll erschien.

Da die unterschiedliche Anzahl und Anordnung der Balken im Zentrafeld artspezifisch sind, können Seitenansichten und schlecht erhaltene Exemplare nicht mehr eindeutig einer bestimmten Art zugewiesen werden.

Vorkommen: Callovien – Kimmeridge (Tithon?).

Cocco lithen-Länge ohne Lateralfortsätze: 3,2 μ –5,2 μ .

Cocco lithen-Breite ohne Lateralfortsätze: 2,4 μ –3,8 μ .

Zentrafeld-Länge: 2,3 μ –3,6 μ ; Zentrafeld-Breite: 1,8 μ –2,8 μ .

Cocco lithen-Länge/Zentrafeld-Länge: 1,37–1,44.

Exzentrizität: 1,14 (elliptische Form) – 1,38 (hexagonale Form).

Länge der Lateralfortsätze: max. 2,4 μ .

Stephanolithion hexum ROOD & BARNARD, 1972

(Abb. 31; Taf. 10, Fig. 7–9)

1972 *Stephanolithion hexum* n. sp. – ROOD & BARNARD, S. 329, Textfig. 1; Taf. 1, Fig. 3, 4, 9, 10.

1973 *Stephanolithion hexum* ROOD & BARNARD, 1972 – ROOD, HAY & BARNARD, S. 376.

1974 *Stephanolithion hexum* ROOD & BARNARD, 1972 – BARNARD & HAY, Taf. 3, Fig. 1; Taf. 5, Fig. 12.

1976 *Stephanolithion hexum* ROOD & BARNARD, 1972 – MOSHKOVITZ & EHRLICH, S. 10, Taf. 2, Fig. 11.

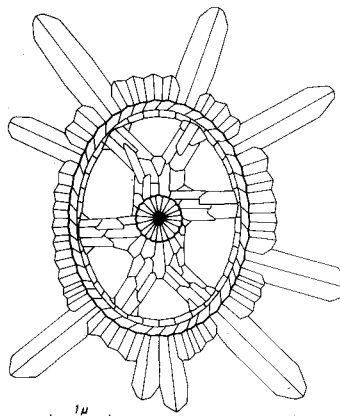


Abb. 31: *Stephanolithion hexum* ROOD & BARNARD, 1972. Schematische Zeichnung der distalen Seite.

Bemerkungen: Im Gegensatz zu *Stephanolithion bigoti* besitzt *Stephanolithion hexum* im Zentralfeld 6 Balken, die von einem kurzen, parallel zur langen Ellipsenachse verlaufenden Hauptbalken ausgehen. Die Anzahl der Lateralfortsätze ist 8 bis 10. Der Umriss ist deutlich elliptisch mit größerer Exzentrizität als bei *Stephanolithion bigoti*. Bei allen Formen ist ein solider Zentralfortsatz zumindest im Ansatz vorhanden.

Vorkommen: Unteres bis mittleres Callovien.

Coccolithen-Länge ohne Lateralfortsätze: 4,2 μ -5,2 μ .

Coccolithen-Breite ohne Lateralfortsätze: 3,2 μ -3,9 μ .

Zentralfeld-Länge: 3,2 μ -4,0 μ ; Zentralfeld-Breite: 2,1 μ -2,9 μ .

Coccolithen-Länge/Zentralfeld-Länge: 1,25-1,35; Exzentrizität: 1,3-1,5.

Länge der Lateralfortsätze: max. 2,0 μ .

Gattung *Corollithion* STRADNER, 1961, sensu BLACK, 1973

Typus-Art: *Corollithion exiguum* STRADNER, 1961, Erdöl-Zeitschr. 77/3: S. 83, Abb. 58-61.

Bemerkungen: Von STRADNER, 1961, wurde die Gattung *Corollithion* entsprechend der damals einzigen Art *Corollithion exiguum* beschrieben. Demnach umfaßte die Gattung „flache, radiäre Kalkkörperchen von sechseckigem Umriss mit sechs in Richtung der Diagonalen gelegenen Durchbrechungen. Der nabenartige Mittelteil, von dem die Speichen ausgehen, trägt einen in Richtung der Hauptachse distal abstehenden kurzen Stiel. Der Rand des Kalkkörperchens ist geneigt, so daß der proximale Durchmesser kleiner ist als der distale“.

Diese Definition wurde von REINHARDT, 1970, wie folgt erweitert: „In Distalansicht eine hexagonale, rhombische bis elliptische oder fast runde Randscheibe aus radial angeordneten, nebeneinanderliegenden Randblättchen, z. T. ein zweiter innerer Elementzyklus, ein Zentralfeld, das von radialen Speichen überspannt wird und z. T. ein Zentralfortsatz.“ Trotz dieser Diagnose stellt REINHARDT auch die Arten *Zyglithus delfensis* STRADNER & ADAMIKER, 1966, und *Zyglithus rhombicus* STRADNER & ADAMIKER, 1966, zu *Corollithion*, obwohl diese beiden Arten keine „radialen Speichen“ im Zentralfeld aufweisen.

Wir schließen uns daher der Diagnose von BLACK, 1973, S. 92, an, der die Gattung *Corollithion* als „coccoliths consisting of a circular, elliptical or polygonal ring with simple radial spokes internally and no external spines“ beschreibt und nur Arten mit radialen Balken in dieser Gattung vereint.

REINHARDTs und BLACKs Diagnosen schließen auch Gattungen wie *Diadorhombus* WORSLEY, 1971, und *Rotelapillus* NOËL, 1973, ein und machen diese überflüssig.

Corollithion asymmetricum (ROOD, HAY & BARNARD, 1971) GRÜN & ZWEILI, n. comb.

(Taf. 11, Fig. 3)

1971 *Diadoxygus asymmetricum* n. sp. – ROOD, HAY & BARNARD, S. 255, Taf. 1, Fig. 7.

1972 *Diadoxygus asymmetricum* ROOD, HAY & BARNARD, 1971 – ROOD & BARNARD, S. 336, Textfig. 2; Taf. 2, Fig. 2, 3.

1974 *Diadoxygus asymmetricum* ROOD, HAY & BARNARD, 1971 – BARNARD & HAY, Taf. 1, Fig. 12; Taf. 5, Fig. 11.

Bemerkungen: Der äußere Umriss ist im wesentlichen elliptisch, aber mit kleinen Unregelmäßigkeiten, die dieser Art sogar einen schwach rhombischen Umriss geben können. Die 8 Balken sind im offenen Zentralfeld nicht radial angeordnet. Mindestens 2 Balken befinden sich außerhalb der radiären Symmetrie und auch die weitere Konfiguration der Balken zeigt schon Anklänge an die um 180 Grad gedrehte Symmetrie der Gattung *Rhom-*

bolithion BLACK, 1973. Auch diese Form ist sehr selten und wurde in unserem Material nur einmal gefunden.

Vorkommen : Unterstes – mittleres Oxford.

Coccolithen-Länge : 3,3 μ –3,5 μ ; Coccolithen-Breite : 2,5 μ –2,7 μ .

Corollithion fragilis (ROOD & BARNARD, 1972) WIND & WISE, 1976

(Taf. 11, Fig. 1)

1972 *Actinozygus fragilis* n. sp. – ROOD & BARNARD, S. 334, Taf. 2, Fig. 9.

1976 *Corollithion fragilis* (ROOD & BARNARD, 1972) n. comb. – WIND & WISE, in WISE & WIND (partim), S. 299, Taf. 60, Fig. 6, 7; Taf. 61, Fig. 2 [non Taf. 60, Fig. 5].

1979 *Actinozygus fragilis* RODD & BARNARD, 1972 – MEDD, S. 43, Taf. 3, Fig. 6.

Bemerkungen : Diese sehr seltene Form ist in Größe und Umriß *Corollithion geometricum* (GÓRKA, 1957) MANIVIT, 1971, sehr ähnlich und unterscheidet sich von dieser Art durch die Anwesenheit von 8 – statt 6 – radialen Balken im Zentrafeld. Auch hier ist ein kurzer, starker Zentralfortsatz zu beobachten.

Vorkommen : Oberstes Callovien (?) – unteres Oxford.

Coccolithen-Länge : 2,8 μ –3,0 μ ; Coccolithen-Breite : 1,8 μ –2,2 μ .

Zentrafeld-Länge : 1,9 μ –2,3 μ ; Zentrafeld-Breite : 1,2 μ –1,4 μ .

Coccolithen-Länge/Zentrafeld-Länge : 1,20–1,40; Exzentrizität : 1,30–1,45.

Corollithion geometricum (GÓRKA, 1957) MANIVIT, 1971

(Abb. 32; Taf. 10, Fig. 11, 12)

1957 *Discolithus geometricus* n. sp. – GÓRKA, S. 259, 279; Taf. 4, Fig. 8.

1967 *Corollithion derosus* n. sp. – LYUL'eva, S. 97, Taf. 4, Fig. 42, 42a.

1968 *Zygotolithus geometricus* (GÓRKA, 1957) n. comb. – STRADNER, in STRADNER, ADAMIKER & MARESCH, S. 40, Taf. 36; Taf. 37, Fig. 1–4.

1969 *Zygotolithus sexiradiatus* n. sp. – PIENAAR, S. 116, Taf. 4, Fig. 9; Taf. 10, Fig. 9.

1969 *Corollithion ellipticum* n. sp. – BUKRY, S. 40, Taf. 18, Fig. 10, 11.

1970 *Corollithion ellipticum* BUKRY, 1969 – REINHARDT, S. 43, Bild 2, Taf. 1, Fig. 1–3.

1970 *Neococcolithus geometricus* (GÓRKA, 1957) n. comb. – HOFFMANN, S. 182, Taf. 2, Fig. 5–6; Taf. 3, Fig. 6; Taf. 5, Fig. 5.

1971 *Ellipsochiastus hexserratus* n. sp. – WORSLEY, S. 1308, Taf. 1, Fig. 24–26.

1971 *Actinozygus geometricus* (GÓRKA, 1957) n. comb. – RODD, HAY & BARNARD, S. 254, Taf. 1, Fig. 6.

1971 *Corollithion geometricum* (GÓRKA, 1957) n. comb. – MANIVIT, S. 109, Taf. 5, Fig. 4, 5.

1971 *Zygotolithus cf. geometricus* (GÓRKA) – MEDD, S. 825, Taf. 1, Fig. 6; Taf. 3, Fig. 3 (?), 4.

1972 *Corollithion ellipticum* BUKRY, 1969 – THIERSTEIN, S. 480, Taf. 7, Fig. 6.

1972 *Corollithion geometricum* (GÓRKA, 1957) n. comb. – HOFFMANN, S. 50, Taf. 7, Fig. 5–8.

1972 *Actinozygus geometricus* (GÓRKA, 1957) RODD, HAY & BARNARD, 1971 – RODD & BARNARD, S. 333, Textfig. 2; Taf. 2, Fig. 8.

1972 *Zygotolithus geometricus* (GÓRKA, 1957) STRADNER, 1968 – WILCOXON, S. 432, Taf. 10, Fig. 5, 6.

1973 *Actinozygus geometricus* (GÓRKA, 1957) RODD, HAY & BARNARD, 1971 – NOËL, S. 102, Fig. 2B; Taf. 3, Fig. 4.

1973 *Corollithion ellipticum* BUKRY, 1969 – BLACK, S. 93, Taf. 30, Fig. 1.

1973 *Corollithion ellipticum* BUKRY, 1969 – THIERSTEIN, S. 43, Taf. 1, Fig. 20.

1974 *Actinozygus geometricus* (GÓRKA, 1957) RODD, HAY & BARNARD, 1971 – BARNARD & HAY, Taf. 3, Fig. 7; Taf. 6, Fig. 6.

1976 *Corollithion geometricum* (GÓRKA, 1957) MANIVIT, 1971 – HILL, S. 130, Taf. 4, Fig. 19, 20; Taf. 13, Fig. 20.

1976 *Corollithion geometricum* (GÓRKA, 1957) MANIVIT, 1971 – WISE & WIND, Taf. 60, Fig. 3, 4 (?).

1976 *Corollithion ellipticum* BUKRY, 1969 – WISE & WIND, Taf. 89, Fig. 9 (?).

1979 *Actinozygus geometricus* (GÓRKA, 1957) RODD, HAY & BARNARD, 1971 – MEDD, S. 42, Taf. 3, Fig. 1, 2, 3 (?).

Bemerkungen: Das Zentraffeld der meist schlankelliptischen Formen wird vom Zentrum aus von 6 radialen Balken überspannt. Dabei bleiben 6 Perforationen frei, von denen die beiden größten an den Ellipsenscheiteln liegen. Das Zentrum trägt einen kurzen, soliden Zentraffortsatz.

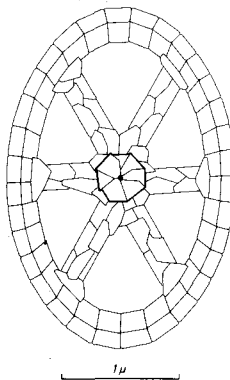


Abb. 32: *Corollithion geometricum* (GÓRKA, 1957) MANIVIT, 1971. Schematische Zeichnung der distalen Seite.

Formen, bei denen der Zentraffortsatz abgebrochen ist, zeigen im Lichtmikroskop ein Bild, wie es von GÓRKA, 1957, in Fig. 8, Taf. 4, schematisch dargestellt wurde.

Vorkommen: Unterstes Oxford – Maastricht.

Coccolithen-Länge: 2,8 μ –3,1 μ ; Coccolithen-Breite: 1,9 μ –2,1 μ .

Zentraffeld-Länge: 1,9 μ –2,4 μ ; Zentraffeld-Breite: 1,2 μ –1,4 μ .

Coccolithen-Länge/Zentraffeld-Länge: 1,20–1,40; Exzentrizität: 1,30–1,45.

Corollithion radians (NOËL, 1973) GRÜN & ZWEILI, n. comb.

(Taf. 11, Fig. 2)

1973–05–30 *Rötelaipillus radians* n. sp. – NOËL, S. 107, Fig. 2E (?), 5; Taf. 4, Fig. 1–3.

?1973–11–15 *Corollithion fractum* n. sp. – BLACK, S. 94, Taf. 29, Fig. 13–15.

1978 *Corollithion rhombicum* (STRADNER & ADAMIKER, 1966) BUKRY, 1969 – NOËL & MELGUEN, Taf. 3, Fig. 2.

Bemerkungen: Die nahezu kreisrunde, aber im Umriß nicht ganz regelmäßige Form weist in ihrem großen und offenen Zentraffeld meist 8 radiale Balken auf. Sie treffen sich im Zentrum, von dem aus sich, zumindest im Ansatz, ein kurzer, starker Zentraffortsatz erhebt. Fig. 2 (unten), Taf. 4 von NOËL zeigt ein Exemplar mit 9 radialen Balken.

Diese Art ist *Cylindralithus laffittei* (NOËL, 1957) BLACK, 1973, sehr ähnlich. Es fehlen aber die lateralen Auswüchse der distalen Elemente und die proximale Scheibe überträgt die distale kaum. Nur ein Exemplar konnte in unserem Material gefunden werden.

Vorkommen: Unterstes Oxford – Kimmeridge.

Größter Durchmesser: 3,0 μ –3,2 μ .

Corollithion scutulatum (MEDD, 1971) GRÜN & ZWEILI, n. comb.

(Abb. 33; Taf. 10, Fig. 10)

1971-05-31 *Zygolithus scutulatus* n. sp. – MEDD, Proc. II. Planktonic Confer., Roma 1970: S. 826, Taf. 3, Fig. 1, 2.
1971-09-03 *Diadorbomus minutus* n. sp. – ROOD, HAY & BARNARD, Eclogae geol. Helv. 64/2: S. 258, Taf. 2,
Fig. 6.

1972 *Diadorbomus minutus* ROOD, HAY & BARNARD, 1971 – ROOD & BARNARD, S. 337, Taf. 2, Fig. 10.

1972 *Corollithion* sp. – WILCOXON, Taf. 12, Fig. 1.

non 1979 *Diadorbomus scutulatus* (MEDD, 1971) n. comb. – MEDD, S. 50. Taf. 4, Fig. 1.

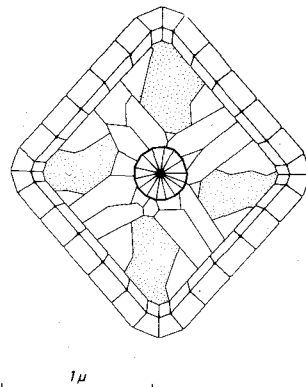


Abb. 33: *Corollithion scutulatum* (MEDD, 1971) GRÜN & ZWEILI, n. comb. Schematische Zeichnung der distalen Seite.

Bemerkungen: Eine sehr kleine, rhombische Form mit 4 radialen Balken im Zentralfeld und einem kurzen, soliden Zentralfortsatz. Die radialen Balken sind nicht parallel zu den Seiten des Rhombus, sondern sind geringfügig im oder gegen den UZS verdreht. Zusätzliche flache Elemente verbinden die Balken mit den Elementen der proximalen Scheibe. Es könnten aber auch die Reste einer Basisplatte sein. In diesem Fall müßte diese Form einer anderen Familie zugeordnet werden, da bei der Familie Stephanolithiaceae das Zentralfeld zwischen den einzelnen Balken offen ist.

Zygolithus scutulatus MEDD, 1971, wurde früher veröffentlicht als *Diadorbomus minutus* ROOD, HAY & BARNARD, 1971. *Diadorbomus scutulatus* (MEDD, 1971) MEDD, 1979 (?), zeigt einen überwiegend elliptischen Umriß.

Vorkommen: Unterstes Oxford.

Coccolithen-Länge: 2,2 μ ; Coccolithen-Breite: 2,0 μ .

Zentrafeld-Länge: 1,3 μ ; Zentrafeld-Breite: 1,2 μ .

Gattung *Rhombolithion* BLACK, 1973

Typus-Art: *Zygolithus rhombicus* STRADNER & ADAMIKER, 1966, Erdöl-Erdgas-Ztschr. 82: S. 339, Abb. 5-7; Taf. 2, Fig. 1 = *Rhombolithion rhombicum* (STRADNER & ADAMIKER, 1966) BLACK, 1973, Palaeontogr. Soc. [Monogr.], 127: S. 97, Taf. 30, Fig. 2-4.

Bemerkungen: Es ist sehr schwierig, ein Ordnungsprinzip für die Formen zu finden, die wir in dieser Arbeit zur Familie Stephanolithiaceae BLACK, 1968, stellen. Die Gattung *Stephanolithion* DEFLANDRE, 1939, ist durch die lateralen Stacheln – verlängerte Elemente der proximalen Scheibe – charakterisiert und ausreichend von anderen Gattungen differenziert.

Es unterscheidet sich auch die Gattung *Cylindralithus* BRAMLETTE & MARTINI, 1964, von anderen Gattungen durch die lateral verlängerte proximale Scheibe und durch den hohen Zylinder des distalen Teiles, dessen Elemente gelegentlich laterale Fortsätze bilden wie bei *Cylindralithus laffittei* (NOËL, 1957) BLACK, 1973. Die verbleibenden Formen zeigen die verschiedensten Umriss und Zentrafeldstrukturen. Systeme, die nur den äußeren Umriß als Ordnungsprinzip anwenden (wie bei *Diadorbomus* WORSLEY, 1971, und *Truncatoscaphus* ROOD, HAY & BARNARD, 1971), müssen scheitern, weil der äußere Umriß bei den vorliegenden Formen sicherlich kein gattungsspezifisches Merkmal darstellt. Da nahezu alle Arten einen kurzen, soliden Zentralfortsatz tragen, steht auch dieses Unterscheidungsmerkmal nicht zur Verfügung, wenn es überhaupt als gattungstrennend zu betrachten ist.

Dagegen sind wir aber der Ansicht, daß den Unterschieden in den Symmetriarten im Bereich des Zentrafeldes große systematische Bedeutung zukommt. Auf diese Weise können 4 weitere Gattungen der Familie Stephanolithiaceae definiert werden. Die Gattung *Corollithion* STRADNER, 1961, sensu BLACK, 1973, ist durch radiär im Zentrafeld angeordnete Balken charakterisiert. Bei der Gattung *Stradnerlithus* BLACK, 1971, sind die Balken spiegelbildlich beiderseits eines parallel zur langen Ellipsenachse verlaufenden Hauptbalkens angeordnet. Die Gattung *Rhombolithion* BLACK, 1973, umfaßt Formen mit einem zentralen Balken, der ebenfalls parallel zur langen Ellipsenachse liegt, aber die Enden der Ellipse nicht erreicht, so daß an jeder der beiden Ellipsenscheiteln eine Perforation frei bleibt. Die Lateralbalken gehen vom Hauptbalken aus und sind, wenn man eine Zentrafeld-Hälfte um 180 Grad dreht, deckungsgleich. Bei der Gattung *Tiburmannolithion* GRÜN & ZWEILI, n. gen. bildet das Balkenkreuz die Symmetriearchsen eines doppelten Symmetriesystems.

Rhombolithion bifurcatum (NOËL, 1973) GRÜN & ZWEILI, n. comb.

(Abb. 34; Taf. 11, Fig. 4)

1973 *Stradnerlithus bifurcatus* n. sp. – NOËL, S. 105, Fig. 3A, 4; Taf. 2, Fig. 7, 8.

1979 *Stradnerlithus bifurcatus* NOËL, 1973 – MEDD, S. 48, Taf. 3, Fig. 4.

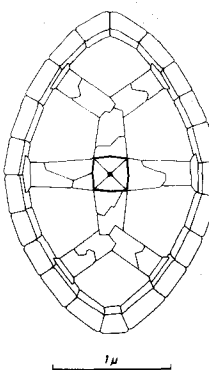


Abb. 34: *Rhombolithion bifurcatum* (NOËL, 1973) GRÜN & ZWEILI, n. comb. Schematische Zeichnung der distalen Seite.

Bemerkungen: Durch die beiden Perforationen an den Ellipsenscheiteln ist die Zugehörigkeit zur Gattung *Rhombolithion* BLACK, 1973, gegeben.

Vorkommen: Unteres Oxford – oberes Kimmeridge.

Coccolithen-Länge: 2,75 μ ; Coccolithen-Breite: 1,75 μ .

Gattung *Stradnerlithus* BLACK, 1971

Typus-Art: *Stradnerlithus comptus* BLACK, 1971, Proc. Yorkshire Geol. Soc. 38/3: S. 415, Taf. 31, Fig. 10.

Bemerkungen: Elliptische bis längliche Formen mit einem Hauptbalken im Zentralfeld, der parallel zur langen Ellipsenachse liegt und an beiden Enden bis zur Randscheibe reicht. Die Lateralbalken gehen vom Hauptbalken aus und sind in den beiden Zentralfeld-Hälften bezüglich des Hauptbalkens symmetrisch angeordnet.

Stradnerlithus comptus BLACK, 1971

(Taf. 11, Fig. 6; Taf. 12, Fig. 1)

1971-07-02 *Stradnerlithus comptus* n. sp. – BLACK, S. 415, Taf. 31, Fig. 10.

1971-09-03 *Diadozygus dorsetense* n. sp. – ROOD, HAY & BARNARD, S. 257, Taf. 2, Fig. 2, 3.

1972 *Diadozygus dorsetense* ROOD, HAY & BARNARD, 1971 – ROOD & BARNARD, S. 336, Taf. 2, Fig. 5.

1973 *Stradnerlithus comptus* BLACK, 1971 – NOËL, S. 105, Fig. 2C; Taf. 3, Fig. 5.

1974 *Diadozygus dorsetense* ROOD, HAY & BARNARD, 1971 – BARNARD & HAY, Taf. 3, Fig. 11; Taf. 6, Fig. 10.

1979 *Stradnerlithus comptus* BLACK, 1971 – MEDD, S. 49, Taf. 3, Fig. 7, 8.

Bemerkungen: Die im Umriß schlankelliptische Art besitzt im Zentralfeld 12 Lateralbalken, die von einem zur langen Ellipsenachse parallelen Hauptbalken ausgehen. Ein kurzer Zentralfortsatz ist im Ansatz vorhanden.

Vorkommen: Unteres Oxford – Kimmeridge.

Coccolithen-Länge: 2,8 µ–3,7 µ; Coccolithen-Breite: 1,7 µ–2,4 µ.

Exzentrizität: 1,50–1,87.

Stradnerlithus pauciramosus BLACK, 1973

(Abb. 35; Taf. 11, Fig. 5)

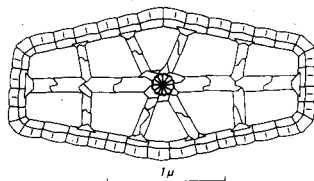


Abb. 35: *Stradnerlithus pauciramosus* BLACK, 1973. Schematische Zeichnung der distalen Seite.

1971 *Stradnerlithus delfensis* (STRADNER & ADAMIKER, 1966) n. comb. – BLACK, S. 415, Taf. 31, Fig. 11.

1971 *Truncatosaphus delfensis* (STRADNER & ADAMIKER, 1966) n. comb. – ROOD, HAY & BARNARD, S. 257, Taf. 2, Fig. 4, 5.

1972 *Truncatosaphus delfensis* (STRADNER & ADAMIKER, 1966) ROOD, HAY & BARNARD, 1971 – ROOD & BARNARD, S. 338, Textfig. 2.

1973 *Stradnerlithus pauciramosus* n. sp. – BLACK, S. 98, Textfig. 47.

1979 *Stradnerlithus pauciramosus* BLACK, 1973 – MEDD, S. 49, Taf. 3, Fig. 9.

Bemerkungen: Die langgestreckte, sub-hexagonale Form besitzt insgesamt 8 Lateralbalken, die von einem Hauptbalken ausgehen. Bei *Stradnerlithus delfensis* (STRADNER & ADAMIKER, 1966) BLACK, 1971, treten an Stelle der einfachen Lateralbalken doppelte auf.

Die von NOËL, 1973 (S. 108, Fig. 2D, 6; Taf. 4, Fig. 4–6) unter dem Namen *Truncatoscapbus delftensis* (STRADNER & ADAMIKER, 1966) ROOD, HAY & BARNARD, 1971, abgebildeten Formen weisen insgesamt 12 einfache Lateralbalken auf. Sie entsprechen damit weder *Stradnerlithus pauciramosus* BLACK, 1973, noch *Stradnerlithus delftensis* (STRADNER & ADAMIKER, 1966) BLACK, 1971, und müßten somit einer eigenen, neuen Art zugewiesen werden (siehe Abb. 36).

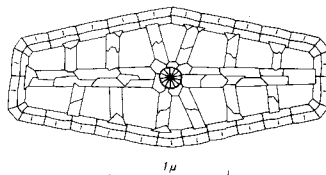


Abb. 36: *Stradnerlithus* sp. [= *Truncatoscapbus delftensis* (STRADNER & ADAMIKER, 1966) ROOD, HAY & BARNARD, 1971, sensu NOËL, 1973, S. 108. Non *Zyglolithus delftensis* STRADNER & ADAMIKER, 1966, S. 388]. Schematische Zeichnung der distalen Seite.

Vorkommen: Unteres Oxford – Hauerivien.

Coccolithen-Länge: 2,6 μ –3,0 μ ; Coccolithen-Breite: 1,3 μ –1,6 μ .

Gattung *Thurmannonolithion* GRÜN & ZWEILI, n. gen.
Typus-Art: *Thurmannonolithion clatratum* GRÜN & ZWEILI, n. sp.

Diagnose: Stephanolithiaeae mit einem parallel zu den Ellipsenachsen liegenden Balkenkreuz im Zentralfeld. Die Quadranten zwischen den 4 Balken sind von Elementen erfüllt, die Perforationen unterschiedlicher Größe und Anordnung freilassen. Ein kurzer, solider Zentralfortsatz erhebt sich über dem Balkenkreuz.

Bemerkungen: Das Balkenkreuz im Zentralfeld bildet zwei um 90 Grad gedrehte Symmetriearchsen. Durch diese doppelte Symmetrie unterscheidet sich diese Gattung von anderen Gattungen mit einfacher Symmetrie wie z. B. *Rhombolithion* BLACK, 1973, und *Stradnerlithus* BLACK, 1971.

Thurmannonolithion clatratum GRÜN & ZWEILI, n. sp.
(Abb. 37; Taf. 11, Fig. 7–12)

Namengebung: Clatratus, lat. = vergittert. Wegen des Gitters in den 4 Quadranten des Zentralfeldes.

Holotyp: Rasterelektronenmikrographie Nr. 909/4 und 5 (Taf. 11, Fig. 7, 8).

Stratum typicum: Renggeri-Tone, unteres Oxford.

Locus typicus: Tongrube bei Liesberg-Dorf.

Aufbewahrung: Rasterelektronenmikroskopie, Geologisches Institut, Universität Bern, Schweiz.

Diagnose: Eine elliptische Form mit relativ großer Exzentrizität. Das Zentralfeld wird von einem parallel zu den Ellipsenachsen liegenden Balkenkreuz überbrückt. Die 4 Quadranten sind von einem Gitter aus senkrecht zueinander verlaufenden, dünnen Lateralbalken ausgefüllt. Ein starker Zentralfortsatz erhebt sich über dem Balkenkreuz.

Vorkommen : Unteres Callovien – unteres Oxford.

Coccolithen-Länge : 3,8 μ –6,7 μ ; Coccolithen-Breite : 2,7 μ –4,3 μ .

Zentralfeld-Länge : 2,8 μ –4,9 μ ; Zentralfeld-Breite : 1,9 μ –3,0 μ .

Coccolithen-Länge/Zentralfeld-Länge : 1,28–1,42; Exzentrizität : 1,38–1,62.

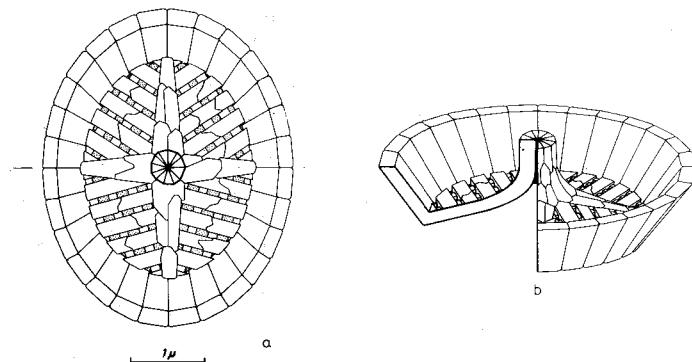


Abb. 37: *Thurmannolithion datratum* GRÜN & ZWEILI, n. gen., n. sp. Schematische Zeichnungen. a) Distale Seite, b) Schrägangsicht der distalen Seite.

Familie CALYCULACEAE NOËL, 1973

Typus-Gattung: *Calculus* NOËL, 1973, Bull. Mus. Nat. Hist. nat., 3^e sér., 75: S. 115.

Bemerkungen : Diese Familie umfaßt Formen, die bis jetzt selten beschrieben wurden. Die wenigen abgebildeten Exemplare (NOËL, 1973; GRÜN, PRINS & ZWEILI, 1974; MEDD, 1979) lassen aber erkennen, daß es sich hier um eine sehr formenreiche Gruppe handeln dürfte. Das gemeinsame Merkmal aller bisher bekannten Arten (*Calculus cribrum* NOËL, 1973; *Calculus pugnatum* GRÜN & ZWEILI, 1974; *Proculithus expansus* MEDD, 1979; *Proculithus charlotteii* MEDD, 1979; *Proculithus fistulatus* MEDD, 1979) ist vor allem die äußere Gestalt, die als „Hut mit Krempe“ recht gut umschrieben werden kann. Die distale Randscheibe ist monozyklisch, die einzelnen Elemente sind L-förmig, ohne Überlappung nebeneinander angeordnet und stehen senkrecht bis leicht schräg. Die proximale Scheibe ist monozyklisch oder polzyklisch ausgebildet. Die Anzahl der proximalen Scheiben-Zyklen betrachten wir als gattungsspezifisch. Auch die meist rechteckigen Elemente der proximalen Scheibe sind ohne Überlappung radial angeordnet. Zwischen den Elementen des proximalen Zyklus sind die Elemente der Siebplatte eingebunden. Die Siebplatte, ein Charakteristikum der Familie Calculaceae, ist sehr unterschiedlich ausgebildet. Ein Zentralfortsatz wurde bisher nur bei einem Exemplar der Art *Calculus cribrum* NOËL, 1973, (Taf. 12, Fig. 3) abgebildet.

Nach den bisher berichteten Vorkommen, scheint es sich nicht nur um eine seltene Familie zu handeln, sie dürfte auch auf den borealen Jura beschränkt sein.

1974 waren wir (GRÜN, PRINS & ZWEILI, S. 309) der Ansicht, daß die Einführung einer eigenen Familie Calculaceae auf der Basis von nur 2 Arten nicht nötig sei und haben diese Familie als jüngeres Synonym der Familie Goniolithaceae DEFLANDRE, 1957, betrachtet. Mittlerweise sind wir von der Notwendigkeit überzeugt, eine eigene Familie für die beiden folgenden Gattungen aufzustellen.

Gattung *Calculus* NOËL, 1973, emend. GRÜN & ZWEILI
Typus-Art: *Calculus cribrum* NOËL, 1973, Bull. Mus. Nat. Hist. nat., 3^e sér., 75: S. 116, Taf. 12, Fig. 1–5.

Bemerkungen: Die beiden einzigen bisher bekannten Gattungen der Familie Calyculae unterscheiden sich durch die Anzahl der Zyklen der proximalen Scheibe. Die proximale Scheibe der Gattung *Calculus* ist monozyklisch.

Calculus elongatus GRÜN & ZWEILI, n. sp.
(Abb. 38; Taf. 12, Fig. 5–7)

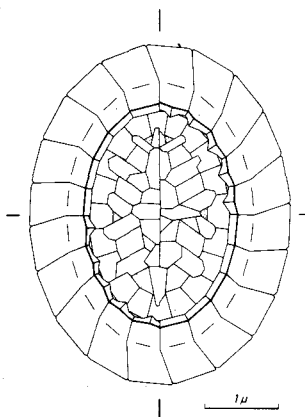


Abb. 38: *Calculus elongatus* GRÜN & ZWEILI, n. sp. Schematische Zeichnung der proximalen Seite. In den vier Quadranten sind verschiedene Ausbildungen im Proximalbereich dargestellt.

Namengebung: Wegen des länglichen Umrisses.

Holotyp: Rasterelektronenmikrographie Nr. 902/11 (Taf. 12, Fig. 5).

Stratum typicum: Untere Renggeri-Tone, unterstes Oxford.

Locus typicus: Tongrube bei Liesberg-Dorf.

Aufbewahrung: Rasterelektronenmikroskopie, Geologisches Institut, Universität Bern, Schweiz.

Diagnose: Eine im Umriß elliptische Form mit einer monozyklischen distalen Scheibe aus 18 bis 22 Elementen. Die monozyklische proximale Scheibe besitzt ebenfalls 18 bis 22 rechteckige, radial angeordnete Elemente. Die Siebplatte besteht aus einem parallel zur langen Ellipsenachse liegenden Hauptbalken und 8 davon ausgehenden Lateralbalken.

Bemerkungen: Durch die Struktur der Siebplatte unterscheidet sich *Calculus elongatus* GRÜN & ZWEILI, n. sp. von allen anderen bisher bekannten Arten der Gattung *Calculus* NOËL, 1973.

Vorkommen: Unterer Oxford.

Coccolithen-Länge: 4,0 μ–5,2 μ; Coccolithen-Breite: 3,1 μ–4,0 μ.

Exzentrizität: 1,28–1,35.

Calculus subcircularis GRÜN & ZWEILI, n. sp.
(Abb. 39; Taf. 12, Fig. 2-4)

Namengebung: Wegen des nahezu kreisrunden Umrisses.

Holotyp: Rasterelektronenmikrographie Nr. 902/1 und 2 (Taf. 12, Fig. 2, 3).

Stratum typicum: Untere Renggeri-Tone, unterstes Oxford.

Locus typicus: Tongrube bei Liesberg-Dorf.

Aufbewahrung: Rasterelektronenmikroskopie, Geologisches Institut, Universität Bern, Schweiz.

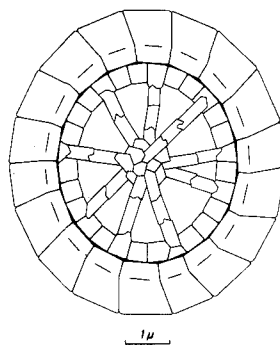


Abb. 39: *Calculus subcircularis* GRÜN & ZWEILI, n. sp. Schematische Zeichnung der proximalen Seite.

Diagnose: Die im Umriß breitelliptischen, bis nahezu kreisrunden Exemplare führen in ihrer monozyklischen distalen Scheibe ungef. 18 Elemente. Die monozyklische proximale Scheibe besteht aus ungef. 28 flachen, rechteckigen und radial angeordneten Elementen. In die proximale Scheibe sind 8 bis 10 radiale Balken eingebunden, die die proximale Siebplatte bilden.

Bemerkungen: Vor allem durch die Elementanordnung im Bereich der Siebplatte unterscheiden sich die bisher bekannten Arten der Gattung *Calculus*. Die Siebplatte von *Calculus cribrum* NOËL, 1973, ist mit dem Zentralfeld von *Polypodorbabdu escaigi* NOËL, 1965, vergleichbar. *Calculus pugnatum* GRÜN & ZWEILI, 1974, besitzt eine Siebplatte, die dem Zentralfeld von *Sollasites lowei* (BUKRY, 1969) ROOD, HAY & BARNARD, 1971, sehr ähnlich ist. Die radialen Balken, die die Siebplatte bei *Calculus subcircularis* GRÜN & ZWEILI, n. sp. bilden, erinnern an *Cylindralithus laffittei* (NOËL, 1957) BLACK, 1973. Mit diesen Vergleichen sollen allerdings keine verwandtschaftlichen Beziehungen angedeutet werden.

Vorkommen: Unteres Oxford.

Coccolithen-Länge: 6,7 μ -7,7 μ ; Coccolithen-Breite: 5,8 μ -6,7 μ .

Coccolithen-Höhe: 1,70 μ -1,85 μ ; Exzentrizität: 1,12-1,18.

Calculus ? sp.
(Taf. 12, Fig. 8)

Bemerkungen: Dieses Einzelexemplar besitzt eine distale Scheibe, deren Elemente lateral weit vorstehen. Die proximale Scheibe ist relativ klein und monozyklisch (?). Die Struktur der Siebplatte ist nicht zu erkennen.

Vorkommen: Unteres Oxford.

Durchmesser distal: 8,2 μ ; Durchmesser proximal: 3,0 μ .

Gattung *Proculithbus* MEDD, 1979

Typus-Art: *Proculithbus fistulatus* MEDD, 1979 (ex PRINS, 1969, nom. nud.), Eclogae geol. Helv. 72/1: S. 54, Textfig. 3; Taf. 10, Fig. 8, 9.

Bemerkungen: Die beiden einzigen bisher bekannten Gattungen der Familie Calyculaceae NOËL, 1973, unterscheiden sich durch die Anzahl der Zyklen der proximalen Scheibe. Die proximale Scheibe der Gattung *Proculithbus* MEDD, 1979, besteht aus 2 Zyklen.

Proculithbus expansus MEDD, 1979

(Abb. 40; Taf. 12, Fig. 9–12; Taf. 13, Fig. 1, 2).

1979 *Proculithbus expansus* n. sp. – MEDD, S. 56, Taf. 11, Fig. 1, 5, 6.

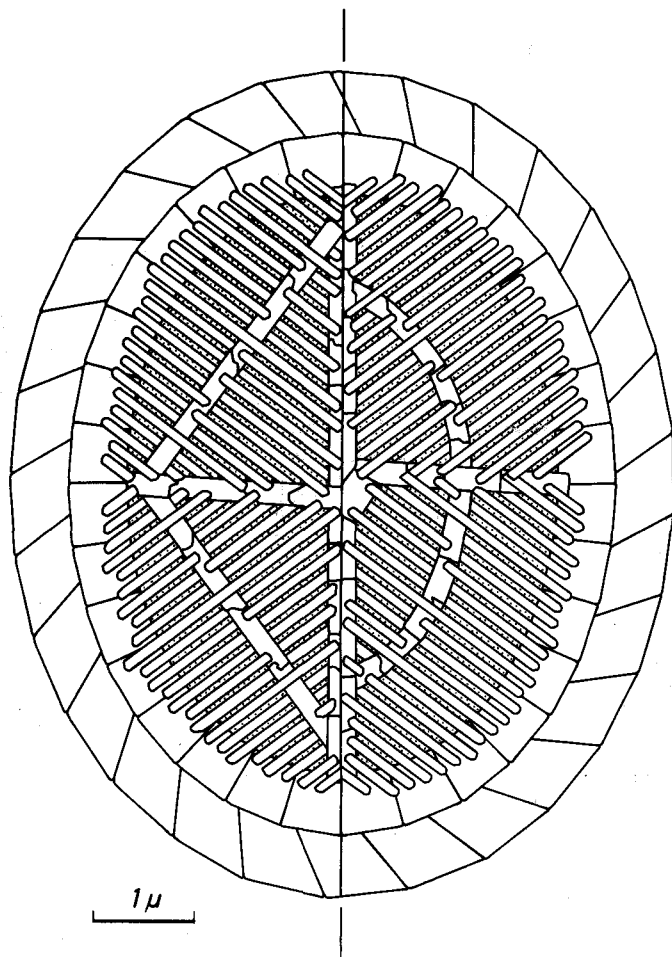


Abb. 40: *Proculithbus expansus* MEDD, 1979. Schematische Zeichnung der proximalen Seite. In den beiden Hälften sind verschiedene Ausbildungen im Proximalbereich dargestellt.

Bemerkungen: Diese Art ist durch die filigrane Struktur der Siebplatte charakterisiert, wobei geringe Variationen in der Elementanordnung möglich sind. Die Anzahl der Elemente in den einzelnen Zyklen beträgt 28 bis 36.

Vorkommen: Unteres Oxford.

Coccolithen-Länge : 7,1 μ -8,9 μ ; Coccolithen-Breite : 5,5 μ -7,0 μ .

Zentrafeld-Länge : 4,4 μ -5,6 μ ; Zentrafeld-Breite : 3,5 μ -4,1 μ .

Coccolithen-Länge/Zentrafeld-Länge : 1,54-1,62; Exzentrizität : 1,25-1,30.

Familie CREPIDOLITHACEAE BLACK, 1971

Typus-Gattung: *Crepidolithus* NOËL, 1965a, Cahiers Micropaléont., sér. 1, no. 1. (Arch. Orig. Centre Document, C. N. R. S. 408); S. 5.

Gattung *Crepidolithus* NOËL, 1965a

Typus-Art: *Discolithus crassus* DEFLANDRE, in DEFLANDRE & FERT, 1955, Ann. Paléontol. 40: S. 144, Textfig. 49; Taf. 15, Fig. 12, 13 = *Crepidolithus crassus* (DEFLANDRE, 1955) NOËL, 1965a, Cahiers Micropaléont., sér. 1, no. 1. (Arch. Orig. Centre Document, C. N. R. S. 408); S. 5, Textfig. 17-21.

Crepidolithus crassus (DEFLANDRE, 1955) NOËL, 1965a

(Taf. 13, Fig. 3-5)

1955 *Discolithus crassus* n. sp. - DEFLANDRE, in DEFLANDRE & FERT, S. 144, Textfig. 49; Taf. 15, Fig. 12, 13.

1961 *Discolithus crassus* DEFLANDRE, 1955 - STRADNER, S. 79, Fig. 16-18.

1963 *Discolithus crassus* DEFLANDRE, 1955 - STRADNER, S. 7, Taf. 2, Fig. 14.

1965a *Crepidolithus crassus* (DEFLANDRE, 1955) n. comb. - NOËL, S. 5, Fig. 19-21.

1965b *Crepidolithus crassus* (DEFLANDRE, 1955) n. comb. - NOËL, S. 85, Textfig. 17-21; Taf. 2, Fig. 3-7; Taf. 3, Fig. 1-5.

1968 *Crepidolithus crassus* (DEFLANDRE, 1955) NOËL, 1965 - LEZAUD, S. 15, Taf. 1, Fig. 17.

1969 *Crepidolithus crassus* (DEFLANDRE, 1955) NOËL, 1965 - PRINS, S. 551, Taf. 1, Fig. 5A-5C.

1970 *Crepidolithus crassus* (DEFLANDRE, 1955) NOËL, 1965 - REINHARDT, S. 45, Bilder 6, 7, 8.

non 1971 *Crepidolithus crassus* (DEFLANDRE, 1955) NOËL, 1965 - ROOD, HAY & BARNARD, S. 259, Taf. 2, Fig. 7.

1974 *Crepidolithus crassus* (DEFLANDRE, 1955) NOËL, 1965 - GRÜN, PRINS & ZWEILI, S. 310, Abb. 20, Fig. 1-3.

non 1974 *Crepidolithus crassus* (DEFLANDRE, 1955) NOËL, 1965 - BARNARD & HAY, Taf. 1, Fig. 11; Taf. 4, Fig. 11.

1976 *Crepidolithus crassus* (DEFLANDRE, 1955) NOËL, 1965 - MOSHKOVITZ & EHRLICH, S. 51, Taf. 1, Fig. 1-6.

1977 *Crepidolithus crassus* (DEFLANDRE, 1955) NOËL, 1965 - HAMILTON, S. 586, Taf. 3, Fig. 11.

? 1979 *Crepidolithus crassus* (DEFLANDRE, 1955) NOËL, 1965 - MEDD, S. 54, Taf. 1, Fig. 7, 8.

Bemerkungen: Die proximale Membran ist, bedingt durch den Erhaltungszustand, im vorliegenden Material bei keinem Exemplar zu sehen. Wie auch schon im Lias epsilon (GRÜN, PRINS & ZWEILI, 1974, S. 310) treten an der Dogger-Malm-Grenze eng- und weitlumige Formen gleich häufig auf.

Exemplare mit einem wesentlich weiteren, proximal von einer perforierten Membran verschlossenem Zentrafeld zählen wir zu *Crepidolithus perforatus* (MEDD, 1979) GRÜN & ZWEILI, n. comb.

Vorkommen: Oberes Sinemurien - oberes Kimmeridgien.

Länge : 6 μ -13 μ ; Breite : 3,5 μ -9 μ ; Höhe : 3,5 μ -6 μ .

Crepidolithus perforatus (MEDD, 1979) GRÜN & ZWEILI, n. comb.

(Taf. 13, Fig. 6-9)

1971 *Crepidolithus crassus* (DEFLANDRE, 1955) NOËL, 1965 - ROOD, HAY & BARNARD, S. 259, Taf. 2, Fig. 7.

1974 *Crepidolithus crassus* (DEFLANDRE, 1955) NOËL, 1965 - BARNARD & HAY, Taf. 1, Fig. 11; Taf. 4, Fig. 11.

1979 *Millbrookia perforata* n. sp. - MEDD, S. 57, Taf. 11, Fig. 2, 3, 4 (?).

Bemerkungen: *Millbrookia perforata*, die Typus-Art der Gattung *Millbrookia* MEDD, 1979 zeigt keine wesentlichen Unterschiede zur Gattung *Crepidolithus* NOËL, 1965. Anderseits weist *Millbrookia virgata* MEDD, 1979 (S. 57, Taf. 11, Fig. 7, 8), große Ähnlichkeiten zu *Corollithion silvaradion* FILEWICZ, WIND & WISE, in WISE & WIND (S. 310, Taf. 62, Fig. 2–6; Taf. 63, Fig. 5, 6) auf. Die Einführung der Gattung *Millbrookia* erscheint uns daher nicht sehr zwingend.

Vorkommen: Oberes Callovien – oberes Oxford.

Coccolithen-Länge: 4,5 µ–6,4 µ; Coccolithen-Breite: 2,8 µ–4,8 µ.

Exzentrizität: 1,25–1,65.

Gattung *Parhabdolithus* DEFLANDRE, 1952

Typus-Art: *Parhabdolithus liasicus* DEFLANDRE, in GRASSÉ, 1952, Traité de Zoologie I/1: S. 460, Fig. 362 J–M.

Parhabdolithus liasicus DEFLANDRE, 1952

(Taf. 13, Fig. 10)

1952 *Parhabdolithus liasicus* n. sp. – DEFLANDRE, in GRASSÉ, S. 460, 466, Fig. 362 J–M.

1955 *Parhabdolithus liasicus* DEFLANDRE, 1952 – DEFLANDRE & FERT, S. 162, Textfig. 104–108; Taf. 15, Fig. 28–31.

1957 *Parhabdolithus liasicus* DEFLANDRE, 1952 – NOËL, S. 326, Taf. 4, Fig. 30.

? 1963 *Parhabdolithus liasicus* DEFLANDRE, 1952 – STRADNER, S. 8, Taf. 2, Fig. 13, 13a, b.

1965b *Parhabdolithus liasicus* DEFLANDRE, 1952 – NOËL, S. 92, Textfig. 22a–e; Taf. 3, Fig. 7; Taf. 4, Fig. 3, 4, 7.

1969 *Parhabdolithus liasicus* DEFLANDRE, 1952 – PRINS, Taf. 2, Fig. 4A, B.

1969 *Parhabdolithus longispinus* – PRINS, Taf. 2, Fig. 5 [ungültig nach ICBN Art. 32/1].

1973 *Parhabdolithus liasicus* DEFLANDRE, 1952 – ROOD, HAY & BARNARD, S. 372, Taf. 2, Fig. 1.

1974 *Parhabdolithus liasicus* DEFLANDRE, 1952 – BARNARD & HAY, Taf. 1, Fig. 9; Taf. 4, Fig. 9.

1977 *Parhabdolithus liasicus* DEFLANDRE, 1952 – HAMILTON, S. 587, Taf. 4, Fig. 7, 8.

1979 *Parhabdolithus liasicus* DEFLANDRE, 1952 – MEDD, S. 44.

1979 *Parhabdolithus marthae* DEFLANDRE, 1955 – MEDD, S. 44, Taf. 1, Fig. 10.

Bemerkungen: Es ist kaum möglich, eine Grenze zwischen *Parhabdolithus liasicus* und *Parhabdolithus marthae* DEFLANDRE, 1955, zu ziehen. *Parhabdolithus liasicus* ist durch einen langen, dünnen Zentralfortsatz charakterisiert. *Parhabdolithus marthae* durch einen kurzen und dicken Zentralfortsatz. Zwischen diesen beiden Formen gibt es alle Übergänge und darüber hinaus noch zahlreiche Variationen im Bereich der Basis, vor allem, was den Zwischenraum zwischen Zentralfortsatz und distaler Scheibe betrifft. Wir sind der Ansicht, daß die Einführung neuer Arten in diesem Fall keine Lösung bringt, solange keine eindeutigen, artunterscheidenden Merkmale vorliegen. Aus diesem Grunde behalten wir nur die beiden von DEFLANDRE 1952 und 1955 aufgestellten Arten *Parhabdolithus liasicus* und *Parhabdolithus marthae* bei.

Vorkommen: Mittlerer Lias (*bucklandi*-Zone) – oberer Lias (*margaritatus*-Zone) – unteres Oxford (Renggeri-Tone) – unteres Kimmeridge (*mutabilis*-Zone). Im Dogger und Malm möglicherweise umgelagert.

Gesamthöhe: max. 15 µ; Basis-Länge: 3,5 µ–5,8 µ; Basis-Breite: 3,0 µ–5,0 µ.

Parhabdolithus marthae DEFLANDRE, 1955

(Taf. 13, Fig. 11, 12)

1955 *Parhabdolithus marthae* n. sp. – DEFLANDRE, in DEFLANDRE & FERT (partim), S. 163, Textfig. 101, 102; Taf. 15, Fig. 22, 23 [non Textfig. 103].

? 1965b *Parhabdolithus marthae* DEFLANDRE, 1955 – NOËL, S. 93, Textfig. 23a–e; Taf. 3, Fig. 6; Taf. 4, Fig. 6.

1965b *Parhabdolithus robustus* n. sp. – NOËL, S. 95, Textfig. 24; Taf. 4, Fig. 1, 2.

1973 *Parhabdolithus marthae* DEFLANDRE, 1955 – ROOD, HAY & BARNARD, S. 373, Taf. 2, Fig. 2.

1974 *Parhabdolithus marthae* DEFLANDRE, 1955 – BARNARD & HAY, Taf. 1, Fig. 12; Taf. 4, Fig. 12

1977 *Parabdolithus marthae* DEFLANDRE, 1955 – HAMILTON, S. 587, Taf. 1, Fig. 10; Taf. 4, Fig. 6.
non 1979 *Parabdolithus marthae* DEFLANDRE, 1955 – MEDD, S. 44, Taf. 1, Fig. 10 [= *Parabdolithus liasicus* DEF-
FLANDRE, 1952].

Bemerkungen: Siehe Bemerkungen zu *Parabdolithus liasicus* DEFLANDRE, 1952.

Vorkommen: Sinemurien – Oxford.

Basis-Länge: 3,8 μ –6,0 μ ; Basis-Breite: 3,0 μ –5,0 μ .

Gesamthöhe: 5,3 μ –10 μ .

Parabdolithus pseudobelgicus MEDD, 1979

(Taf. 14, Fig. 1)

1979 *Parabdolithus pseudobelgicus* n. sp. – MEDD, S. 44, Taf. 9, Fig. 6, 7 (?), 8.

Bemerkungen: In unserem Material konnte nur ein einziges Exemplar dieser Art gefunden werden. Wir glauben nicht an eine sekundäre Entstehung der seitlichen Knöpfe am Zentralfortsatz.

Vorkommen: Oxford.

Basis-Durchmesser: 5,9 μ ; Länge des Zentralfortsatzes: 9,2 μ .

Parabdolithus rhombicus (GRÜN, PRINS & ZWEILI, 1974) GRÜN & ZWEILI, n. comb.

(Taf. 14, Fig. 2–4)

1974 *Tubirhabdus*? *rhombicus* n. sp. – GRÜN, PRINS & ZWEILI, S. 309, Abb. 20, Fig. 4–6.

Bemerkungen: Auch an der Dogger-Malm-Grenze treten schlankelliptische Formen mit proximal sichtbaren, rhombischen Vertiefungen auf. Sie gleichen den Formen aus dem Lias epsilon von Holzmaden. In beiden Fällen sind die distalen Seiten nicht sichtbar, so daß eine Gattungszuordnung problematisch ist. Da ein eventuell vorhandener Zentralfortsatz, auf Grund der starken proximalen Eintiefung, eher schlank und solide zu sein scheint, dürfte eine Zuordnung zur Gattung *Parabdolithus* eher wahrscheinlich sein.

Vorkommen: Lias epsilon – unteres Oxford.

Coccolithen-Länge: 2,0 μ –3,2 μ ; Coccolithen-Breite: 1,3 μ –2,0 μ .

Exzentrizität: 1,48–1,62.

Familie ZYGOLITHACEAE NOËL ex BLACK, 1968

Typus-Gattung: *Zyglolithus* KAMPTNER ex MATTHES, 1956, Einführung in die Mikropaläontologie: S. 223 (= *Zyglolithus* KAMPTNER, 1949, Anz. Österr. Akad. Wiss., Math.-Naturwiss. Kl. 86 [4]: S. 78 [ungültig nach ICBN Art. 41]).

Gattung *Vekshinella* LOEBLICH & TAPPAN, 1963

Typus-Art: *Ephippium acutiferrus* VEKSHINA, 1959, Trudy Sibir. Nauch. – Issled. Inst. Geol. Geofiz. i Min. Syr'ya [SNIIGGIMS] 2: S. 69, Taf. 1, Fig. 4; Taf. 2, Fig. 7a, b = *Vekshinella acutiferra* (VEKSHINA, 1959) LOEBLICH & TAPPAN, 1963, Proc. Biol. Soc. Wash. 76: S. 194.

Vekshinella dibrachiata GARTNER, 1968

(Abb. 41; Taf. 14, Fig. 12; Taf. 15, Fig. 1–5)

1952 *Discolithus crux* n. sp. – DEFLANDRE & FERT, Fig. 8 [ungültig nach ICBN Art. 32/1].

non 1955 *Discolithus crux* DEFLANDRE & FERT, 1952 – DEFLANDRE & FERT, S. 143, Textfig. 55; Taf. 14, Fig. 4.

? 1957 *Discolithus mielicensis* n. sp. – GÓRKA, S. 250, 273; Taf. 2, Fig. 14.

? 1957 *Discolithus bochotnicae* n. sp. – GÓRKA, S. 250, 273; Taf. 2, Fig. 15.

non 1959 *Ephippium acutiferrus* n. sp. – VEKSHINA, S. 69, Taf. 1, Fig. 4; Taf. 2, Fig. 7 [ungültig nach ICBN Art. 64].

non 1961 *Discolithus crux* DEFLANDRE & FERT, 1952 – MANIVIT, S. 345, Taf. 1, Fig. 9.

non 1961 *Zyglolithus crux* (DEFLANDRE & FERT, 1952) n. comb. – BRAMLETTE & SULLIVAN, S. 149, Taf. 6, Fig. 8–10.

- ? 1962 *Zygolithus crux* (DEFLANDRE & FERT, 1955) BRAMLETTE & SULLIVAN, 1961 – BOUCHÉ, S. 82, Taf. 1, Fig. 3.
- non 1963 *Cyathosphaera crux* (DEFLANDRE & FERT, 1955) n. comb. – HAY & TOWE, S. 507, Taf. 2, Fig. 1.
- ? 1963 *Zygolithus crux* (DEFLANDRE & FERT, 1952) BRAMLETTE & SULLIVAN, 1961 – STRADNER, Taf. 4, Fig. 6, 7.
- non 1963 *Staurolithites laffitteri* n. sp. – CARATINI, S. 25, Taf. 2, Fig. 32, 33.
- ? 1963 *Discolithus bochoticus* GÓRKA, 1957 – VISHNEVSKII & MENYAILENKO, S. 50, Taf. 2, Fig. 14.
- ? 1964 *Discolithus bochotnicae* GÓRKA, 1957 – BALDI-BEKE, S. 135, Taf. 1, Fig. 7.
- ? 1964 *Zygolithus* cf. Z. *crux* (DEFLANDRE & FERT, 1952) BRAMLETTE & SULLIVAN, 1961 – BRAMLETTE & MARTINI, S. 304, Taf. 4, Fig. 19, 20.
- non 1965 *Zygolithus crux* (DEFLANDRE, 1952) BRAMLETTE & SULLIVAN, 1961 – LEVIN, S. 267, Taf. 41, Fig. 7.
- non 1965 *Zygolithus crux* (DEFLANDRE & FERT, 1952) BRAMLETTE & SULLIVAN, 1961 – SULLIVAN, S. 38, Taf. 6, Fig. 6.
- ? 1965 *Zygolithus crux* (DEFLANDRE & FERT, 1952) – MANIVIT, S. 191, Taf. 2, Fig. 13.
- non 1965 *Staurolithites bochotnicae* (GÓRKA, 1957) n. comb. – REINHARDT, S. 39, Taf. 3, Fig. 3.
- 1966 *Staurolithites bochotnicae* (GÓRKA, 1957) REINHARDT, 1965 – REINHARDT (partim), S. 33, Bild 22 (?), Taf. 19, Fig. 4; Taf. 22, Fig. 8 (?) [non Taf. 15, Fig. 1; Taf. 23, Fig. 18].
- ? 1966 *Zygolithus crux* (DEFLANDRE & FERT, 1952) BRAMLETTE & SULLIVAN, 1961 – STOVER, S. 147, Taf. 3, Fig. 17, 18, 22A.
- 1966 *Zygolithus crux* (DEFLANDRE & FERT, 1952) BRAMLETTE & SULLIVAN, 1961 – STRADNER & ADAMIKER, S. 340, Taf. 3, Fig. 3, 4.
- non 1967 *Zygolithus crux* (DEFLANDRE & FERT, 1952) BRAMLETTE & SULLIVAN, 1961 – LEVIN & JOERGER, S. 169, Taf. 2, Fig. 22.
- ? 1967 *Zygolithus crux* (DEFLANDRE & FERT, 1952) BRAMLETTE & SULLIVAN, 1961 – MOSHKOVITZ, S. 152, Taf. 1, Fig. 1.
- non 1967 *Zygolithus crux* DEFLANDRE in DEFLANDRE & FERT, 1954 – REINHARDT & GÓRKA, S. 250, Taf. 32, Fig. 13; Taf. 33, Fig. 3.
- non 1967 *Eiffellithus bochotnicae* (GÓRKA, 1957) n. comb. – REINHARDT & GÓRKA, S. 251, Taf. 31, Fig. 17; Taf. 32, Fig. 7, 10; Taf. 33, Fig. 4.
- 1968 *Zygolithus crux* (DEFLANDRE & FERT, 1955) BRAMLETTE & SULLIVAN, 1961 – STRADNER, ADAMIKER & MARESCH (partim), S. 36, Taf. 28; Taf. 29; Taf. 30, Fig. 2 (?) – 7 (?) [non Taf. 30, Fig. 1].
- 1968 *Vekshinella ara* n. sp. – GARTNER (partim), S. 29, Taf. 3, Fig. 15 [non Taf. 2, Fig. 24 = Holotyp].
- 1968 *Vekshinella dibrachiata* n. sp. – GARTNER (partim), S. 30, Taf. 5, Fig. 23, 24; Taf. 7, Fig. 8 (?); Taf. 9, Fig. 15; Taf. 22, Fig. 8 (?) [non Taf. 19, Fig. 8].
- non 1968 *Vekshinella elliptica* n. sp. – GARTNER, S. 30, Taf. 17, Fig. 5; Taf. 25, Fig. 26, 27; Taf. 26, Fig. 7.
- 1968 *Vekshinella imbricata* n. sp. – GARTNER (partim), S. 30, Taf. 9, Fig. 17; Taf. 13, Fig. 8, 9 (?) [non Taf. 9, Fig. 16 = Holotyp].
- non 1968 *Staurolithites mielnicensis* (GÓRKA, 1957) n. comb. – PERCH-NIELSEN, S. 26, Fig. 4; Taf. 2, Fig. 3–5.
- ? 1968 *Staurolithites* sp. – BLACK, S. 805, Taf. 148, Fig. 7.
- 1969 *Vagalapilla imbricata imbricata* (GARTNER, 1968) n. comb. – BUKRY, S. 57, Taf. 33, Fig. 1 (?), 2.
- non 1969 *Zygolithus crux* (DEFLANDRE & FERT, 1955) BRAMLETTE & SULLIVAN, 1961 – BARBIERI & MEDOLI, S. 737, Taf. 50, Fig. 3a–d.
- ? 1970 *Zygolithus* ? *crux* (DEFLANDRE & FERT) – LAUER, in FAUPL et al., Taf. 2, Fig. 13.
- 1970 *Zygostephanos crux* (DEFLANDRE & FERT, 1955) n. comb. – HOFFMANN (partim) S. 166, Abb. 3/1a, b; Taf. 1, Fig. 3; Taf. 10, Fig. 6 (?) [non Taf. 1, Fig. 1, 2; Taf. 4, Fig. 3, 5; Taf. 9, Fig. 5].
- 1971 *Vekshinella crux* (DEFLANDRE & FERT, 1952) n. comb. – SHAFIK & STRADNER (partim), S. 89, Taf. 39, Fig. 4 [non Taf. 39, Fig. 1–3].
- non 1971 *Staurolithites* sp. – BLACK, Taf. 45.3, Fig. 33.
- 1971 *Staurolithites rectus* n. sp. – BLACK, S. 419, Taf. 34, Fig. 6.
- 1971 *Vekshinella stradneri* n. sp. – ROOD, HAY & BARNARD, S. 249, Taf. 1, Fig. 2.
- 1971 *Staurolithites bochotnicae* (GÓRKA, 1957) REINHARDT, 1965 – MANIVIT, S. 82, Taf. 27, Fig. 1–5, 12 (?), 13 (?).
- 1971 *Staurolithites crux* (DEFLANDRE & FERT, 1955) CARATINI, 1963 – MANIVIT, S. 82, Taf. 18, Fig. 15, 16; Taf. 27, Fig. 6–8, 10, 11, 14.
- 1972 *Staurolithites crux* (DEFLANDRE & FERT, 1955) CARATINI, 1963 – THIERSTEIN, S. 475, Taf. 6, Fig. 13, 14 (?).
- 1972 *Zygostephanos crux* (DEFLANDRE & FERT, 1952) HOFFMANN, 1970 – HOFFMANN, S. 21.

- 1973 *Staurorhabdus quadriarcullus* (NOËL, 1965) n. comb. – NOËL (partim), S. 101, Taf. 1, Fig. 5, 6; Taf. 2, Fig. 2 (?), 3, 5 [non Taf. 2, Fig. 1, 4 = *Vekshinella quadriarculla* (NOËL, 1965) ROOD, HAY & BARNARD, 1971].
 non 1973 *Vekshinella crux* (DEFLANDRE & FERT, 1952) SHAFIK & STRADNER, 1971 – PRIEWALDER, S. 26, Taf. 20, Fig. 1–6.
 non 1973 *Vekshinella stradneri* ROOD, HAY & BARNARD, 1971 – ROOD, HAY & BARNARD, S. 368, Taf. 1, Fig. 4.
 1973 *Cyathosphaera crux* (DEFLANDRE & FERT, 1955) HAY & TOWE, 1962 – KAPELOS, S. 105, Taf. 28, Fig. 5.
 1974 *Vekshinella stradneri* ROOD, HAY & BARNARD, 1971 – BARNARD & HAY (partim), Taf. 3, Fig. 9 [non Taf. 6, Fig. 8].
 1976 *Staurorhabdus quadriarcullus* (NOËL, 1965) NOËL, 1972 – KEUPP, S. 371, Abb. 6.
 1976 *Vagalapilla elliptica* (GARTNER, 1968) BUKRY, 1969 – HILL, S. 157, Taf. 12, Fig. 3 (?)–6 (?); Taf. 15, Fig. 16–19.
 non 1976 *Vekshinella* sp. aff. *V. stradneri* ROOD, HAY & BARNARD, 1971 – WISE & WIND, Taf. 83, Fig. 5.
 non 1976 *Vekshinella stradneri* ROOD, HAY & BARNARD, 1971 – WISE & WIND, Taf. 83, Fig. 6; Taf. 84, Fig. 1, 3, 5, 6.
 1977 *Staurorhabdus quadriarcullus* (NOËL, 1965) NOËL, 1972 – KEUPP, S. 48, Taf. 1 [= Taf. 2], Fig. 2 (?); Taf. 15, Fig. 1 (?), 2, 3, 4 (?), 5, 6 (?).
 1979 *Zeugrhabdotus salillum* (NOËL, 1965) ROOD, HAY & BARNARD, 1971 – MEDD, S. 46, Taf. 9, Fig. 12.

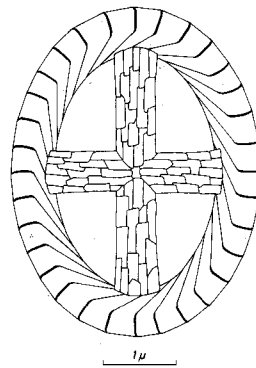


Abb. 41: *Vekshinella dibrachiata* GARTNER, 1968. Schematische Zeichnung der distalen Seite.

Bemerkungen: Charakteristikum dieser Art sind die relativ kurzen, radial angeordneten Elementsuturen, die durch die geringe Wandstärke auf der distalen Seite bedingt sind. Das Balkenkreuz ist aus zahlreichen länglichen Elementen aufgebaut. Die einzelnen Balken zeigen proximal eine enge, aber deutliche Längsfurche. Die kurzen Balken können im Zentrum leicht versetzt sein – ein Merkmal, das aber auch bei anderen Arten dieser Gattung auftreten kann. Formen, die eine bogenförmige Verbindung vom kurzen zum langen Balken zeigen, wurden nicht in diese Art aufgenommen, sondern zu *Vekshinella quadriarculla* (NOËL, 1965) ROOD, HAY & BARNARD, 1971, verwiesen. Ein deutlicher Zen-tralfortsatz ist nicht zu erkennen. Über dem Balkenkreuz erhebt sich bestenfalls ein kurzer solider Knopf. Bei den meisten Exemplaren ist aber auch der abgebrochen. Die einzelnen, plattenförmigen Elemente der Randscheibe zeigen ein, gegen den UZS gerichtetes Einfallen. Elektronenmikrographien, die ein Einfallen im UZS zeigen (z. B. *V. stradneri* ROOD, HAY & BARNARD, 1971, Taf. 1, Fig. 2) dürften seitenverkehrt kopiert worden sein. Jedenfalls ist die zweifellos gleiche Abbildung bei BARNARD & HAY, 1974, Taf. 3, Fig. 9, so kopiert, daß die Elemente der Randscheibe wieder gegen den UZS einfallen.

Da nur relativ vage morphologische Kriterien diese Art charakterisieren, ist eine Zuordnung ausschließlich bei Vorlage guter Elektronenmikrographien möglich. Daraus resultiert sicherlich die große Konfusion um die Abgrenzung der einzelnen sehr ähnlichen Arten, die insgesamt eine Reichweite vom mittleren Lias bis ins Eozän hätten.

Discolithus crux DEFLANDRE & FERT, 1952, wurde ohne Beschreibung abgebildet und ist daher ungültig nach ICBN Art. 32/1. 1955 wurde diese Art von DEFLANDRE & FERT gültig beschrieben. Die beiden Abbildungen können aber mit unseren Formen nicht verglichen werden. Fig. 4, Taf. 14, zeigt keine morphologischen Details, bei Textfig. 55 sind die Elementsuturen der Randscheibe durchgehend radial angeordnet.

Die Abbildungen der beiden von GÓRKA, 1957, aufgestellten Arten zeigen nicht genügend Details, um über eine Zuordnung unserer Formen entscheiden zu können.

Vekshinella ara GARTNER, 1968, weist große Ähnlichkeiten zu unseren Exemplaren auf. Das gilt vor allem für die Fig. 15, Taf. 3. Dagegen unterscheidet sich der Holotyp (Taf. 2, Fig. 24) wesentlich durch die schräg zur langen Ellipsenachse verlaufenden Längsbalken.

Der Aufbau des Zentraffeldes, wie er vor allem in den beiden Elektronenmikrographien Fig. 26, 27 auf Taf. 25 deutlich zu sehen ist, spricht gegen eine Zugehörigkeit zu der von GARTNER, 1968, aufgestellten Art *Vekshinella elliptica*. Die Bögen zwischen den 4 Balken sprechen eher für eine Verwandtschaft mit *Vekshinella quadriarcilla* (NOËL, 1965) ROOD, HAY & BARNARD, 1971.

Auch bei *Vekshinella imbricata* GARTNER, 1968, ist es gerade der Holotyp (Fig. 16, Taf. 9), der sich durch die durchgehend radialen Suturen in der Randscheibe und die Struktur des Balkenkreuzes von unseren Formen unterscheidet. Fig. 17, Taf. 9, zeigt hingegen alle Merkmale, wie sie auch für unser Material charakteristisch sind.

Vorkommen: Oxford – Maastricht (Eozän?).

Coccolithen-Länge: 2,8 μ–6,4 μ; Coccolithen-Breite: 2,0 μ–5,0 μ.

Zentraffeld-Länge: 2,1 μ–4,4 μ; Zentraffeld-Breite: 1,5 μ–3,0 μ.

Coccolithen-Länge/Zentraffeld-Länge: 1,30–1,48; Exzentrizität: 1,28–1,42.

Vekshinella magna (MEDD, 1979) GRÜN & ZWEILI, n. comb.

(Taf. 14, Fig. 5, 6)

1979 *Staurorhabdus magnus* n. sp. – MEDD, S. 35, Taf. 10, Fig. 6, 7 (?), 10.

Bemerkungen: Diese Art unterscheidet sich durch ihre Größe und durch die hochgezogene distale Scheibe von *Vekshinella quadriarcilla* (NOËL, 1965) ROOD, HAY & BARNARD, 1971.

Vorkommen: Oxford.

Länge: 4,3 μ–5,3 μ; Breite: 3,2 μ–4,0 μ; Höhe: 1,3 μ–1,8 μ.

Exzentrizität: 1,32–1,41.

Vekshinella quadriarcilla (NOËL, 1965) ROOD, HAY & BARNARD, 1971

(Taf. 14, Fig. 7–11)

1965a *Discolithus quadriarcillus* n. sp. – NOËL, S. 4, Textfig. 7.

1965b *Discolithus quadriarcillus* n. sp. – NOËL, S. 74, Textfig. 7; Taf. 1, Fig. 14, 15; Taf. 2, Fig. 1 (?), 2.

1971 *Discolithus quadriarcillus* NOËL, 1965 – MEDD, S. 826, Taf. 2, Fig. 1.

1971 *Vekshinella quadriarcilla* (NOËL, 1965) n. comb. – ROOD, HAY & BARNARD, S. 250, Taf. 1, Fig. 1.

1972 *Staurolithites quadriarcillus* (NOËL, 1965) n. comb. – WILCOXON, S. 432, Taf. 3, Fig. 3, 4.

1973 *Staurorhabdus quadriarcillus* (NOËL, 1965) n. comb. – NOËL (partim), S. 101, Taf. 2, Fig. 1, 4 [non Taf. 1, Fig. 5, 6]; Taf. 2, Fig. 2, 3, 5 = *Vekshinella dibrachiata* GARTNER, 1968].

non 1973 *Vekshinella quadriarcilla* (NOËL, 1965) ROOD, HAY & BARNARD, 1971 – ROOD, HAY & BARNARD, S. 369, Taf. 1, Fig. 5.

- 1974 *Vekshinella quadriarculla* (NOËL, 1965) ROOD, HAY & BARNARD, 1971 – BARNARD & HAY (partim), Taf. 4, Fig. 3 [non Taf. 1, Fig. 3 = (?) *Vekshinella magna* (MEDD, 1979) GRÜN & ZWEILI, n. comb.]
 1974 *Staurorhabdus quadriarcullus* (NOËL, 1965) NOËL, 1973 – GRÜN, PRINS & ZWEILI, S. 307, Abb. 19, Fig. 6.
 1976 *Vekshinella quadriarculla* (NOËL, 1965) ROOD, HAY & BARNARD, 1971 – WIND & WISE, in WISE & WIND, S. 307, Taf. 83, Fig. 3, 4; Taf. 84, Fig. 2, 4.
 non 1976 *Staurorhabdus quadriarcullus* (NOËL, 1965) NOËL, 1973 – KEUPP, S. 371, Abb. 6.
 non 1977 *Staurorhabdus quadriarcullus* (NOËL, 1965) NOËL, 1973 – KEUPP, S. 48, Taf. 1 [= Taf. 2], Fig. 2; Taf. 15, Fig. 1–6.
 1977 *Vekshinella quadriarculla* (NOËL, 1965) ROOD, HAY & BARNARD, 1971 – HAMILTON, S. 587, Taf. 3, Fig. 6.
 ? 1979 *Staurorhabdus quadriarcullus* (NOËL, 1965) NOËL, 1973 – HAMILTON, S. 12, Taf. Fig. 19.
 1979 *Staurorhabdus quadriarcullus* (NOËL, 1965) NOËL, 1973 – MEDD, S. 36, Taf. 1, Fig. 5 (?); Taf. 2, Fig. 4.

Bemerkungen: Das Charakteristikum dieser Art sind die 4 namengebenden Bögen in den 4 Quadranten zwischen den Armen des, zu den Ellipsenachsen parallelen Balkenkreuzes. Diese Bögen sind vor allem proximal deutlich sichtbar. Der Zentralfortsatz über dem Balkenkreuz ist hohl.

Vorkommen: Unterer Lias (*planorbis*-Zone) – oberstes Kimmeridge.

Coccolithen-Länge: 3,5 µ–4,3 µ; Coccolithen-Breite: 2,4 µ–2,8 µ.

Zentrafeld-Länge: 2,5 µ–2,9 µ; Zentrafeld-Breite: 1,5 µ–1,7 µ.

Coccolithen-Länge/Zentrafeld-Länge: 1,40–1,48; Exzentrizität: 1,46–1,58.

Gattung *Zeugrhabdotus* REINHARDT, 1965, emend. BLACK, 1973

Typus-Art: *Zygolithus erectus* DEFLANDRE, in DEFLANDRE & FERT, 1955, Ann. Paléontol. 40: S. 150, Textfig. 60–62; Taf. 15, Fig. 14–17 = *Zeugrhabdotus erectus* (DEFLANDRE, 1955) REINHARDT, 1965, Monatsber. Deutsch. Akad. Wiss. Berlin 7: S. 37.

Bemerkungen: Im Einklang mit BLACK, 1972 und 1973, ordnen wir Zygolithaceae mit einem einfachen Querbalken über dem Zentrafeld zwei verschiedenen Gattungen zu. Formen mit einer basalen Membran („minutely-perforated floor“) stellen wir zur Gattung *Zeugrhabdotus* REINHARDT, 1965, emend. BLACK, 1973, während wir Formen mit offenem Zentrafeld unter der Gattung *Zygolithites* BLACK, 1972, vereinen.

Zeugrhabdotus erectus (DEFLANDRE, 1955) REINHARDT, 1965

(Taf. 15, Fig. 6–8)

1955 *Zygolithus erectus* n. sp. – DEFLANDRE, in DEFLANDRE & FERT (partim), S. 150, Textfig. 60, 61; Taf. 15, Fig. 14–17 [non Textfig. 62].

? 1962 *Zygolithus erectus* DEFLANDRE, 1955 – BOUCHÉ, S. 82, Taf. 1, Fig. 2.

? 1963 *Zygolithus fibulus* (LECAL-SCHLAUDER, 1951) GÓRKA, 1957 – STRADNER, Taf. 4, Fig. 5.

? 1965a *Zygolithus bussoni* NOËL, 1957 – NOËL, S. 3, Textfig. 1a–c.

non 1965a *Zygolithus erectus* DEFLANDRE, 1955 – NOËL, S. 3, Textfig. 2.

? 1965b *Zygolithus bussoni* NOËL, 1957 – NOËL, S. 59, Textfig. 1; Taf. 1, Fig. 1, 2.

non 1965b *Zygolithus erectus* DEFLANDRE, 1955 – NOËL, S. 62, Textfig. 2; Taf. 1, Fig. 3, 4.

1965 *Zygolithus erectus* DEFLANDRE, 1955 – MANIVIT, S. 191, Taf. 2, Fig. 12.

1965 *Zeugrhabdotus erectus* (DEFLANDRE, 1955) n. comb. – REINHARDT, S. 37.

1966 *Zygolithus erectus* DEFLANDRE, 1955 – REINHARDT, S. 40, Taf. 15, Fig. 3.

1966 *Zygolithus erectus* DEFLANDRE, 1955 – STOVER, S. 147, Taf. 3, Fig. 19, 20.

1966 *Zygolithus ponticulus* (DEFLANDRE-STOVER) 1966 – MARESCH, S. 383, Taf. 3, Fig. 1.

1966 *Zygolithus erectus* DEFLANDRE, 1955 – STRADNER, ADAMIKER & MARESCH (partim), S. 34, Taf. 26, Fig. 1, 2 (?) [non Taf. 25].

1971 *Zeugrhabdotus erectus* (DEFLANDRE, 1955) REINHARDT, 1965 – ROOD, HAY & BARNARD, S. 252, Taf. 1, Fig. 3.

1973 *Zeugrhabdotus erectus* (DEFLANDRE, 1955) REINHARDT, 1965 – ROOD, HAY & BARNARD, S. 369, Taf. 1, Fig. 6.

- 1974 *Zeugrhabdotus erectus* (DEFLANDRE, 1955) REINHARDT, 1965 – BARNARD & HAY, Taf. 1, Fig. 10; Taf. 4, Fig. 10.
- 1976 *Zeugrhabdotus noeli* ROOD, 1971 – WIND & WISE, in WISE & WIND (partim), S. 308, Taf. 82, Fig. 1–4, 6 [non Taf. 83, Fig. 1; Taf. 89, Fig. 12].
- 1976 *Zeugrhabdotus erectus* (DEFLANDRE, 1955) REINHARDT, 1965 – WIND & WISE, in WISE & WIND, S. 308, Taf. 81, Fig. 6; Taf. 83, Fig. 2.
- 1978 *Zygotolithus erectus* (DEFLANDRE, 1955) LEZAUD, 1968 – TAYLOR, S. 200, Taf. 6, Fig. 15.
- 1979 *Zeugrhabdotus bussoni* (NOËL, 1956) n. comb. – MEDD (partim), S. 45, Taf. 2, Fig. 8 [non Taf. 2, Fig. 7].
- 1979 *Zeugrhabdotus erectus* (DEFLANDRE, 1955) REINHARDT, 1965 – MEDD (partim), S. 46, Taf. 9, Fig. 10 (?); Taf. 10, Fig. 1–3 [non Taf. 2, Fig. 7, 8].

Bemerkungen: Die basale Membran ist bei allen unseren Formen ausgebrochen. Die anderen Merkmale sprechen aber eindeutig für eine Zugehörigkeit zu *Z. erectus*.

Vorkommen: Oberes Hettangien – Oberkreide (bis Eozän umgelagert?).

Coccolithen-Länge: 3,2 μ –4,9 μ ; Coccolithen-Breite: 2,3 μ –3,3 μ .

Zentrafeld-Länge: 2,5 μ –3,8 μ ; Zentrafeld-Breite: 1,8 μ –2,6 μ .

Coccolithen-Länge/Zentrafeld-Länge: 1,26–1,36; Exzentrizität: 1,31–1,54.

Zeugrhabdotus ?fissus GRÜN & ZWEILI, n. sp.

(Taf. 15, Fig. 9–12)

non 1955 *Zygotolithus diprogrammus* n. sp. – DEFLANDRE, in DEFLANDRE & FERT, S. 148, Textfig. 57; Taf. 8, Fig. 7.

1965b *Zygotolithus diprogrammus* DEFLANDRE, 1955 – NOËL, S. 64, Taf. 1, Fig. 5, 6.

? 1966 *Glaukolithus cf. diprogrammus* (DEFLANDRE, 1955) REINHARDT, 1964 – REINHARDT, S. 41, Taf. 15, Fig. 6; Taf. 23, Fig. 25–28.

1972 *Glaukolithus diprogrammus* (DEFLANDRE, 1955) REINHARDT, 1964 – WILCOXON (partim), S. 432, Taf. 2, Fig. 2 [non Taf. 2, Fig. 1].

Namengebung: Fissus, lat. = gespalten. Wegen der Spaltung des Querbalkens.

Holotyp: Rasterelektronenmikrographie Nr. 839/12 (Taf. 15, Fig. 9).

Stratum typicum: Renggeri-Tone, unteres Oxford.

Locus typicus: Tongrube bei Liesberg-Dorf.

Aufbewahrung: Rasterelektronenmikroskopie, Geologisches Institut, Universität Bern, Schweiz.

Diagnose: Die Wand der schlankelliptischen Randscheibe ist relativ schmal. Der Querbalken – parallel zur kurzen Ellipsenachse gelegen – ist der Länge nach gespalten. Die beiden Teile wölben sich in Richtung der Ellipsenscheitel und bilden dadurch eine linsenförmige Perforation im Zentrum des Coccolithen.

Bemerkungen: Die Zugehörigkeit zur Gattung *Zeugrhabdotus* REINHARDT, 1965, emend. BLACK, 1973, ist problematisch. Nach REINHARDT „überspannt ein Quersteg“ das Zentrafeld und nach BLACK sind es „Zygotolithaceae with a single transverse bridge“, die zu dieser Gattung zu zählen sind. Bei unseren Formen sind es aber genaugenommen zwei Querbalken, die das Zentrafeld überspannen. Für eine Zuordnung zur Gattung *Tranolithus* STOVER, 1966, fehlt die Sutur in der Längsachse des Coccolithen. Darüber hinaus sprechen einige Elementreste am proximalen Außenrand für die Anwesenheit einer proximalen Membran – ein Charakteristikum der Gattung *Zeugrhabdotus*. *Zygotolithus diprogrammus* DEFLANDRE, 1955, besitzt ebenfalls zwei getrennte, aber durchgehend parallele Querbalken.

Vorkommen: Oxford.

Coccolithen-Länge: 2,9 μ –3,5 μ ; Coccolithen-Breite: 1,8 μ –2,1 μ .

Zentrafeld-Länge: 1,9 μ –2,6 μ ; Zentrafeld-Breite: 0,9 μ –1,3 μ .

Coccolithen-Länge/Zentrafeld-Länge: 1,35–1,53; Exzentrizität: 1,61–1,80.

Gattung *Zygolithites* BLACK, 1972

Typus-Art: *Zygolithites parallelus* BLACK, 1972, Paleontogr. Soc. [Monogr.], 126/1, (Publ. Nr. 534): S. 21, Textfig. 27.

Bemerkungen: BLACK erwog in seinem Manuskript zum 3. Teil der Monographie „Lower Cretaceous Coccoliths. I. Gault Clay“ 3 neue Gattungen der Familie Zyglithaceae NOËL, 1965, aufzustellen, die als gemeinsames Merkmal eine einfache Brücke („simple bridge“) und ein offenes Zentrafeld besitzen. Sie unterscheiden sich nach BLACK's Vorstellung durch die Beschaffenheit des Zentralfortsatzes – kein Zentralfortsatz, solider Zentralfortsatz, hohler Zentralfortsatz. Nur die Formen ohne Zentralfortsatz konnten gültig unter dem Gattungsnamen *Zygolithites* beschrieben werden.

Wir vereinen unabhängig von der Anwesenheit und Ausbildung des Zentralfortsatzes alle Formen mit einer einfachen Brücke, ohne basale Membran im Zentrafeld unter der Gattung *Zygolithites* und stellen sie der Gattung *Zeugrhabdotus* REINHARDT, 1965, emend. BLACK, 1973, gegenüber, deren Vertreter ebenfalls einen einfachen Querbalken parallel zur kurzen Ellipsenachse aufweisen, aber eine basale, perforierte Membran besitzen.

Zygolithites choffati (ROOD, HAY & BARNARD, 1973) GRÜN & ZWEILI, n. comb.

(Taf. 16, Fig. 1-3)

1972 *Glaukolithus diprogrammus* (DEFLANDRE, 1955) REINHARDT, 1964 – WILCOXON (partim), S. 432, Taf. 2, Fig. 2 [non Taf. 2, Fig. 1].

1973 *Zeugrhabdotus choffati* n. sp. – ROOD, HAY & BARNARD, S. 369, Taf. 1, Fig. 7.

1976 ?*Zeugrhabdotus choffati* ROOD, HAY & BARNARD, 1973 – WIND & WISE, in WISE & WIND, S. 308, Taf. 82, Fig. 5.

Bemerkungen: Über der Mitte des parallel zur kurzen Ellipsenachse liegenden Querbalken erhebt sich ein kurzer Zentralfortsatz mit einem sehr weiten Zentralkanal. Die Formen aus dem Oxford besitzen eine größere Exzentrizität, als die aus dem Bathonien.

Vorkommen: Bathonien – Oxford.

Coccolithen-Länge: 2,4 µ–4,2 µ; Coccolithen-Breite: 1,8 µ–2,6 µ.

Zentrafeld-Länge: 1,6 µ–3,2 µ; Zentrafeld-Breite: 0,9 µ–1,4 µ.

Coccolithen-Länge/Zentrafeld-Länge: 1,31–1,63; Exzentrizität: 1,33–1,63.

Zygolithites cf. ponticus (DEFLANDRE, 1955) BLACK, 1975

(Taf. 16, Fig. 4, 5)

1955 *Discolithus ponticus* n. sp. – DEFLANDRE, in DEFLANDRE & FERT (partim), S. 144, Textfig. 32; (?) Taf. 13, Fig. 18 (?), 19 (?), [non Textfig. 54].

? 1965 *Zygolithus ponticus* (DEFLANDRE, 1955) n. comb. – MANIVIT, S. 191, Taf. 2, Fig. 1.

non 1966 *Zygodiscus ponticus* (DEFLANDRE, 1955) n. comb. – REINHARDT, S. 40, Taf. 10, Fig. 3 [= *Speetonia colligata* BLACK, 1971].

non 1966 *Zygolithus ponticus* (DEFLANDRE-STOVER) 1966 – MARESCH, S. 383, Taf. 3, Fig. 1 [= *Zeugrhabdotus erectus* (DEFLANDRE, 1955) REINHARDT, 1965].

1975 *Zygolithus ponticus* (DEFLANDRE, 1955) n. comb. – BLACK, S. 120.

Bemerkungen: Die aus der Kreide beschriebenen Formen zeigen große Ähnlichkeit zu den uns aus dem Berner Jura vorliegenden Coccolithen. Gemeinsames Merkmal ist der lateral gegabelte Querbalken ohne erkennbaren Zentralfortsatz, wobei der Holotyp von *Discolithus ponticus* (Fig. 18, 19, Taf. 13) etwas stärker gegabelte Balkenenden zeigt. Gegen eine eindeutige Zuordnung zu *Zygolithites ponticus* (DEFLANDRE, 1955) BLACK, 1975, spricht weiters die unterschiedliche stratigraphische Verbreitung, sowie geringfügige Unterschiede im äußeren Umriß.

Vorkommen: Unterer Oxford.

Coccolithen-Länge: 4,1 μ -4,4 μ ; Coccolithen-Breite: 2,8 μ -3,1 μ .

Zentrafeld-Länge: 3,0 μ -3,2 μ ; Zentrafeld-Breite: 1,4 μ -1,6 μ .

Coccolithen-Länge/Zentrafeld-Länge: 1,32-1,39; Exzentrizität: 1,42-1,46.

Zygo lithites salillum (NOËL, 1965a) BLACK, 1975

(Taf. 16, Fig. 6-9)

1965a *Disolithus salillum* n. sp. - NOËL, S. 4, Textfig. 5, 6.

1965b *Disolithus salillum* n. sp. - NOËL, S. 72, Textfig. 5, 6; Taf. 1, Fig. 8-10, 11 (?), 12 (?).

1966 *Zygo lithites diprogrammus* DEFLANDRE, 1955 - MARESH, S. 383, Taf. 3, Fig. 2.

? 1971 *Zeugrhabdotus salillum* (NOËL, 1965) n. comb. - ROOD, HAY & BARNARD, S. 253, Taf. 1, Fig. 5.

1976 *Zeugrhabdotus noeli* ROOD, 1971 - WIND & WISE, in WISE & WIND (partim), S. 308, Taf. 83, Fig. 1; Taf. 89, Fig. 12 (?) [non Taf. 82, Fig. 1-4, 6 = *Zeugrhabdotus erectus* (DEFLANDRE, 1955) REINHARDT, 1965].

1977 *Zeugrhabdotus salillum* (NOËL, 1965) ROOD, HAY & BARNARD, 1971 - KEUPP, S. 50, Taf. 16, Fig. 1 (?), 2 (?), 3-5, 6 (?).

1979 *Actinogygus crux* (DEFLANDRE & FERT, 1952) - MEDD (partim), S. 42, Taf. 9, Fig. 11 [non Taf. 2, Fig. 3].

non 1979 *Zeugrhabdotus salillum* (NOËL, 1965) ROOD, HAY & BARNARD, 1971 - MEDD, S. 46, Taf. 9, Fig. 12 [= *Vekshinella dibrachiata* GARTNER, 1968].

Bemerkungen: Der Querbalken über dem Zentrafeld ist relativ breit und besteht aus mehreren Elementtreihen. Proximal ist eine Längssutur zu erkennen. Der solide Zentrafortsatz ist bei unseren Exemplaren immer abgebrochen.

Vorkommen: Pliensbach (?) - Oxford (bis Turon umgelagert?).

Coccolithen-Länge: 4,3 μ -5,0 μ ; Coccolithen-Breite: 3,0 μ -3,4 μ .

Zentrafeld-Länge: 2,6 μ -3,6 μ ; Zentrafeld-Breite: 1,3 μ -1,8 μ .

Coccolithen-Länge/Zentrafeld-Länge: 1,38-1,65; Exzentrizität: 1,43-1,50.

Gattung incertae sedis

Gattung *Schizosphaerella* DEFLANDRE & DANGEARD, 1938

Typus-Art: *Schizosphaerella punctulata* DEFLANDRE & DANGEARD, 1938, C. R. Acad. Sc. (Paris) 207: S. 1116, Fig. 1-6.

Schizosphaerella punctulata DEFLANDRE & DANGEARD, 1938

(Taf. 16, Fig. 10-12)

1938 *Schizosphaerella punctulata* n. sp. - DEFLANDRE & DANGEARD, S. 1116, Fig. 1-6.

1961 *Nannopatina grandaea* n. sp. - STRADNER, S. 78, Fig. 1-10.

1963 *Schizosphaerella punctulata* DEFLANDRE & DANGEARD, 1938 - STRADNER, Taf. 3, Fig. 1, 1a.

1965b *Schizosphaerella punctulata* DEFLANDRE & DANGEARD, 1938 - NOËL, S. 170, Taf. 27, Fig. 6-8.

1968 *Schizosphaerella punctulata* DEFLANDRE & DANGEARD, 1938 - LEZAUD, S. 17, Taf. 1, Fig. 10, 11.

1971 *Schizosphaerella punctulata* DEFLANDRE & DANGEARD, 1938 - MEDD, S. 830, Taf. 2, Fig. 5.

1971 *Schizosphaerella punctulata* DEFLANDRE & DANGEARD, 1938 - BLACK, S. 325, Taf. 3, Fig. a, b, c.

1973 *Schizosphaerella punctulata* DEFLANDRE & DANGEARD, 1938 - NOËL, S. 121, Taf. 15, Fig. 2-4.

1974 *Schizosphaerella punctulata* DEFLANDRE & DANGEARD, 1938 - AUBRY & DEPECHE, S. 3-13, Taf. 1, Fig. 1-13; Taf. 2, Fig. 1-13; Taf. 3, Fig. 1-14; Taf. 4, Fig. 1-12; Taf. 5, Fig. 1-12; Taf. 6, Fig. 1-12.

1974 *Schizosphaerella punctulata* DEFLANDRE & DANGEARD, 1938 - GRÜN, PRINS & ZWEILI, S. 314, Abb. 22, Fig. 4-6.

1976 *Schizosphaerella punctulata* DEFLANDRE & DANGEARD, 1938 - THIERSTEIN, Taf. 2, Fig. 3.

1976 *Schizosphaerella punctulata* DEFLANDRE & DANGEARD, 1938 - MOSHKOVITZ & EHRLICH, S. 54, Taf. 1, Fig. 7-15.

1977 *Schizosphaerella punctulata* DEFLANDRE & DANGEARD, 1938 - HAMILTON, S. 587, Taf. 1, Fig. 1-3; Taf. 3, Fig. 1, 2.

1979 *Schizosphaerella punctulata* DEFLANDRE & DANGEARD, 1938 - HAMILTON, S. 12, Taf. Fig. 20.

? 1979 *Schizosphaerella punctulata* DEFLANDRE & DANGEARD, 1938 - MEDD, S. 75, Taf. 7, Fig. 12.

1979 *Schizosphaerella punctulata* DEFLANDRE & DANGEARD, 1938 - MOSHKOVITZ, S. 458, Taf. 1, Fig. 1-10.

Bemerkungen: Die „Schizosphaeren“ wurden von AUBRY & DEPECHE, 1974, hinsichtlich Morphologie und Ultrastruktur umfassend untersucht. Ungeklärt bleibt aber die systematische Stellung von *Schizosphaeraella*. Ebenso bleibt die Frage offen, ob die morphologische Vielfalt die Aufstellung weiterer Arten rechtfertigt. Unterschiede in den Reichweiten einzelner morphologischer Typen scheinen jedenfalls zu bestehen.

Vorkommen: Mittleres Hettangien (*planorbis*-Zone) – unteres Oxford.

Größter Durchmesser: 13 µ–36 µ.

Index

[Verworfene Namen sind zwischen eckigen Klammern gesetzt]

?Namen, deren Zuordnung fraglich ist, sind zwischen Fragezeichen gesetzt?

[<i>Actinozygus fragilis</i>]	S. 279	<i>Biscutum ellipticum</i>	S. 245
[<i>Actinozygus geometricus</i>]	S. 279	<i>Biscutum erismatum</i>	S. 248
<i>acutiferra</i> (<i>Vekshinella</i>)	S. 291	[<i>Biscutum gartneri</i>]	S. 245
[<i>acutiferrus</i> (<i>Ephippium</i>)]	S. 291	[<i>Biscutum kennedyi</i>]	S. 246
<i>albianus</i> (<i>Axopodorhabdus</i>)	S. 265	[<i>Biscutum martellum</i>]	S. 244
<i>anglicus</i> (<i>Etbmorhabdus</i>)	S. 272	[<i>Biscutum melaniae</i>]	S. 246
<i>angustiforata</i> (<i>Retecapsa</i>)	S. 274	[<i>Biscutum testudinarium</i>]	S. 246
<i>Ansulasphaera</i>	S. 261	[<i>blacki</i> (<i>Biscutum</i>)]	S. 246
<i>Ansulasphaera helvetica</i>	S. 261	[<i>blackii</i> (<i>Maslovella</i>)]	S. 246
<i>ara</i> (<i>Vekshinella</i>)	S. 292	[<i>bochotnicae</i> (<i>Discolithus</i>)]	S. 291
[<i>arata</i> (<i>Ellipsagelosphaera</i>)]	S. 253	[<i>bochotnicae</i> (<i>Eiffellithus</i>)]	S. 292
<i>armilla</i> (<i>Loxolithus</i>)	S. 257	[<i>bochotnicae</i> (<i>Staurolithites</i>)]	S. 292
[<i>asymmetricum</i> (<i>Biscutum</i>)]	S. 246	<i>brightoni</i> (<i>Retecapsa</i>)	S. 273
<i>asymmetricum</i> (<i>Corollithion</i>)	S. 278	<i>britannica</i> (<i>Ellipsagelosphaera</i>)	S. 252
[<i>asymmetricum</i> (<i>Diadozygus</i>)]	S. 278	[<i>britannica</i> (<i>Watznaueria</i>)]	S. 253
<i>Axopodorhabdus</i>	S. 265	[<i>britannicus</i> (<i>Coccolithus</i>)]	S. 253
<i>Axopodorhabdus albianus</i>	S. 265	[<i>bussoni</i> (<i>Zeugrhabdotus</i>)]	S. 296
<i>Axopodorhabdus cylindratus</i>	S. 265	[<i>bussoni</i> (<i>Zygotolithus</i>)]	S. 295
<i>Axopodorhabdus depravatus</i>	S. 266	<i>Calyculaceae</i>	S. 285
<i>Axopodorhabdus dietzmanii</i>	S. 265	<i>Calyculus</i>	S. 286
<i>Axopodorhabdus gracilis</i>	S. 265	<i>Calyculus cribrum</i>	S. 285
<i>Axopodorhabdus rabla</i>	S. 267	<i>Calyculus elongatus</i>	S. 286
[<i>barnesae</i> (<i>Watznaueria</i>)]	S. 253	<i>Calyculus pugnatum</i>	S. 285
<i>barozii</i> (<i>Lotharingius</i>)	S. 259	<i>Calyculus subcircularis</i>	S. 287
[<i>barringtonensis</i> (<i>Sollasites</i>)]	S. 248	[<i>Calyptrolithus tectiforma</i>]	S. 246
[<i>beckii</i> (<i>Polypodorhabdus</i>)]	S. 275	<i>castrorum</i> (<i>Biscutum</i>)	S. 244, 246
[<i>Bidiscus</i>]	S. 250	[<i>choffati</i> (<i>Zeugrhabdotus</i>)]	S. 297
[<i>Bidiscus ignotus</i>]	S. 251	<i>choffati</i> (<i>Zygotolithites</i>)	S. 297
<i>bifurcatum</i> (<i>Rhombolithion</i>)	S. 282	<i>clatratum</i> (<i>Thurmannolithion</i>)	S. 284
[<i>bifurcatus</i> (<i>Stradnerlithus</i>)]	S. 282	[<i>Coccolithus polycingulatus</i>]	S. 246
<i>bigoti</i> (<i>Stephanolithion</i>)	S. 276	[<i>Coccolithus britannicus</i>]	S. 253
[<i>biperforatus</i> (<i>Discorhabdus</i>)]	S. 265	[<i>Coccolithus coronatus</i>]	S. 253
<i>Biscutaceae</i>	S. 242	[<i>Coccolithus horticulus</i>]	S. 248
<i>Biscutoideae</i>	S. 242	[<i>Coccolithus melaniae</i>]	S. 246
<i>Biscutum</i>	S. 242	[<i>Coccolithus oregus</i>]	S. 244, 246
[<i>Biscutum asymmetricum</i>]	S. 246	[<i>Coccolithus perforatus</i>]	S. 253
[<i>Biscutum blacki</i>]	S. 246	[<i>Colvillea crucicentralis parva</i>]	S. 261
<i>Biscutum castrorum</i>	S. 244, 246	[<i>communis</i> (<i>Watznaueria</i>)]	S. 253
[<i>Biscutum constans</i>]	S. 244, 246	<i>comptus</i> (<i>Stradnerlithus</i>)	S. 283
<i>Biscutum dubium</i>	S. 245	[<i>constans</i> (<i>Biscutum</i>)]	S. 244, 246

[<i>constans</i> (<i>Discolithus</i>)]	S. 246	[<i>Diadozygus asymmetricus</i>]	S. 278
[<i>corollatus</i> (<i>Discorhabdus</i>)]	S. 251	[<i>Diadozygus dorsetense</i>]	S. 283
<i>Corollithion</i>	S. 278	<i>dibrachiata</i> (<i>Vekshinella</i>)	S. 291
<i>Corollithion assymmetricum</i>	S. 278	<i>dietzmannii</i> (<i>Axopodorhabdus</i>)	S. 265
[<i>Corollithion derostrum</i>]	S. 279	[<i>diplogrammus</i> (<i>Glaukolithus</i>)]	S. 296
[<i>Corollithion ellipticum</i>]	S. 279	[<i>diplogrammus</i> (<i>Zyglithus</i>)]	S. 296
<i>Corollithion exiguum</i>	S. 278	<i>Discaster floridus</i>	S. 245
? <i>Corollithion fractum?</i>	S. 280	[<i>Discolithus bochotnicae</i>]	S. 291
<i>Corollithion fragilis</i>	S. 279	[<i>Discolithus constans</i>]	S. 246
<i>Corollithion geometricum</i>	S. 279	[<i>Discolithus crassus</i>]	S. 289
<i>Corollithion radians</i>	S. 280	[<i>Discolithus crux</i>]	S. 291
<i>Corollithion scutulatum</i>	S. 281	[<i>Discolithus decussatus</i>]	S. 268
[<i>coronata</i> (<i>Ellipsagelosphaera</i>)]	S. 253	[<i>Discolithus geometricus</i>]	S. 279
[<i>coronatus</i> (<i>Coccolithus</i>)]	S. 253	[<i>Discolithus mielnicensis</i>]	S. 291
[<i>Costacentrum horticium</i>]	S. 249	[<i>Discolithus quadriarcullus</i>]	S. 294
[<i>Costacentrum lowei</i>]	S. 250	[<i>Discolithus salillum</i>]	S. 298
<i>crassus</i> (<i>Crepidolithus</i>)	S. 289	[<i>Discolithus sigillatus</i>]	S. 261
[<i>crassus</i> (<i>Discolithus</i>)]	S. 289	[<i>Discorhabdaceae</i>]	S. 242
<i>crenulata</i> (<i>Reticapta</i>)	S. 275	<i>Discorhabdoideae</i>	S. 250
[<i>crenulatus hansmannii</i> (<i>Cretarhabdus</i>)]	S. 275	<i>Discorhabdus</i>	S. 250
<i>Crepidolithaceae</i>	S. 289	[<i>Discorhabdus biperforatus</i>]	S. 265
<i>Crepidolithus</i>	S. 289	[<i>Discorhabdus corollatus</i>]	S. 251
<i>Crepidolithus crassus</i>	S. 289	<i>Discorhabdus ignotus</i>	S. 251
<i>Crepidolithus perforatus</i>	S. 289	? <i>Discorhabdus jungi?</i>	S. 265
[<i>Cretarhabdus crenulatus hansmannii</i>]	S. 275	<i>Discorhabdus patulus</i>	S. 251
[<i>Cretarhabdus decussatus</i>]	S. 269	[<i>Discorhabdus testudinarium</i>]	S. 246
[<i>Cretarhabdus schizobrachiatus</i>]	S. 273	[<i>Discorhabdus tubus</i>]	S. 251
[<i>Cribrosphaera tectiforma</i>]	S. 246	[<i>dorsetense</i> (<i>Diadozygus</i>)]	S. 283
[<i>Cribrosphaerella tectiforma</i>]	S. 246	[<i>dubia</i> (<i>Palaeontosphaera</i>)]	S. 245, 248
<i>cribrum</i> (<i>Calculus</i>)	S. 285	<i>dubium</i> (<i>Biscutum</i>)	S. 245
[<i>crucicentralis</i> (<i>Ellipsagelosphaera</i>)]	S. 260	<i>Eiffellithales</i>	S. 275
<i>cruicentralis</i> (<i>Lotharingius</i>)	S. 259	[<i>Eiffellithus bochotnicae</i>]	S. 292
[<i>crucicentralis parva</i> (<i>Colvillea</i>)]	S. 261	<i>Ellipsagelosphaera</i>	S. 252
[<i>crucicentralis</i> (<i>Watznaueria</i>)]	S. 260	[<i>Ellipsagelosphaera arata</i>]	S. 253
[<i>crux</i> (<i>Cyathosphaera</i>)]	S. 292	<i>Ellipsagelosphaera britannica</i>	S. 252
[<i>crux</i> (<i>Discolithus</i>)]	S. 291	<i>Ellipsagelosphaeraceae</i>	S. 252
[<i>crux</i> (<i>Staurolithites</i>)]	S. 292	[<i>Ellipsagelosphaera coronata</i>]	S. 253
<i>crux</i> (<i>Vekshinella</i>)	S. 292	[<i>Ellipsagelosphaera crucicentralis</i>]	S. 260
[<i>crux</i> (<i>Zyglithus</i>)]	S. 291	<i>Ellipsagelosphaera fossacincta</i>	S. 253
[<i>crux</i> (<i>Zygostephanos</i>)]	S. 292	[<i>Ellipsagelosphaera frequens</i>]	S. 253
<i>cuvillieri</i> (<i>Haxopodorhabdus</i>)	S. 267	<i>Ellipsagelosphaera gresslyi</i>	S. 255
[<i>Cyathosphaera crux</i>]	S. 292	[<i>Ellipsagelosphaera keftalrempti</i>]	S. 253
<i>Cyclagelosphaera</i>	S. 262	[<i>Ellipsagelosphaera lucasi</i>]	S. 253, 257
<i>Cyclagelosphaera margereli</i>	S. 262	<i>Ellipsagelosphaera ovata</i>	S. 255
<i>cylindratus</i> (<i>Axopodorhabdus</i>)	S. 265	<i>Ellipsagelosphaera plena</i>	S. 256
[<i>cylindratus</i> (<i>Podorbabdu</i> s)]	S. 265	<i>Ellipsagelosphaera reinhardtii</i>	S. 257
[<i>decussatus</i> (<i>Cretarhabdus</i>)]	S. 269	<i>Ellipsagelosphaera strigosa</i>	S. 257
[<i>decussatus</i> (<i>Discolithus</i>)]	S. 268	<i>Ellipsagelosphaera? tubulata</i>	S. 258
<i>decussatus</i> (<i>Octopodorhabdus</i>)	S. 268	<i>Ellipsagelosphaeroideae</i>	S. 252
[<i>decussatus</i> (<i>Rhabdolithus</i>)]	S. 268	[<i>Ellipsoschiastus hexserratus</i>]	S. 279
<i>delftensis</i> (<i>Stradnerliithus</i>)	S. 283	[<i>elliptica</i> (<i>Vagalapilla</i>)]	S. 293
[<i>delftensis</i> (<i>Truncatoscaphus</i>)]	S. 283	<i>elliptica</i> (<i>Vekshinella</i>)	S. 292
<i>depravatus</i> (<i>Axopodorhabdus</i>)	S. 266	<i>ellipticum</i> (<i>Biscutum</i>)	S. 245
[<i>derosum</i> (<i>Corollithion</i>)]	S. 279	[<i>ellipticum</i> (<i>Corollithion</i>)]	S. 279
[<i>Diadorbomitus</i>]	S. 278	[<i>ellipticum</i> (<i>Tremalithus</i>)]	S. 245
[<i>Diadorbomitus minutus</i>]	S. 281	<i>elongatus</i> (<i>Calculus</i>)	S. 286

[<i>Ephippium acutiferrus</i>]	S. 291	<i>liasicus</i> (<i>Parhabdolithus</i>)	S. 290
<i>erectus</i> (<i>Zeugrhabdotus</i>)	S. 295	<i>liesbergensis</i> (<i>Perissocyclus</i>)	S. 271
[<i>erectus</i> (<i>Zygodiscus</i>)]	S. 295	[<i>longispinus</i> (<i>Parhabdolithus</i>)]	S. 290
[<i>erectus</i> (<i>Zyglithion</i>)]	S. 295	<i>Lotharingius</i>	S. 259
[<i>erismata</i> (<i>Palaepontosphaera</i>)]	S. 248	<i>Lotharingius barozii</i>	S. 259
<i>erismatum</i> (<i>Biscutum</i>)	S. 248	<i>Lotharingius crucicentralis</i>	S. 259
<i>escaigi</i> (<i>Polypodorhabdus</i>)	S. 275	<i>Lotharingius primitivus</i>	S. 260
<i>Ethmorhabdus</i>	S. 272	<i>Lotharringius sigillatus</i>	S. 261
<i>Ethmorhabdus anglicus</i>	S. 272	[<i>lowei</i> (<i>Costacentrum</i>)]	S. 250
<i>Ethmorhabdus gallicus</i>	S. 272	<i>lowei</i> (<i>Sollasites</i>)	S. 250
<i>Ethmorhabdus rimosus</i>	S. 273	<i>Loxolithus armilla</i>	S. 257
<i>exiguum</i> (<i>Corallithion</i>)	S. 278	[<i>lucasi</i> (<i>Ellipsagelosphaera</i>)]	S. 253, 257
<i>expansus</i> (<i>Proculithus</i>)	S. 288	[<i>madingleyensis</i> (<i>Polypodorhabdus</i>)]	S. 275
<i>falklandensis</i> (<i>Sollasites</i>)	S. 249	<i>magna</i> (<i>Vekshinella</i>)	S. 294
<i>fenestratus</i> (<i>Perissocyclus</i>)	S. 272	[<i>magnus</i> (<i>Otoctocyclus</i>)]	S. 269
[<i>fibulus</i> (<i>Zyglithion</i>)]	S. 295	[<i>magnus</i> (<i>Staurorhabdus</i>)]	S. 294
<i>fissus</i> (<i>Zeugrhabdotus?</i>)	S. 296	<i>margereli</i> (<i>Cyclagelosphaera</i>)	S. 262
<i>fistulatus</i> (<i>Proculithus</i>)	S. 288	[<i>mariellum</i> (<i>Biscutum</i>)]	S. 244
<i>fletcheri</i> (<i>Perissocyclus</i>)	S. 271	<i>marthae</i> (<i>Parhabdolithus</i>)	S. 290
<i>floridus</i> (<i>Discoaster</i>)	S. 245	[<i>Maslovella blackii</i>]	S. 246
<i>fossacincta</i> (<i>Ellipsagelosphaera</i>)	S. 253	[<i>Maslovella pulchra</i>]	S. 246
[<i>fractum</i> (<i>Corallithion</i>)?]	S. 280	[<i>melaniae</i> (<i>Biscutum</i>)]	S. 246
[<i>fragilis</i> (<i>Actinozygus</i>)]	S. 279	[<i>melaniae</i> (<i>Coccolithus</i>)]	S. 246
<i>fragilis</i> (<i>Corallithion</i>)	S. 279	[<i>melaniae</i> (<i>Tremalithus</i>)]	S. 245
[<i>frequens</i> (<i>Ellipsagelosphaera</i>)]	S. 253	[<i>melaniae</i> (<i>Watznaueria</i>)]	S. 246
<i>gallicus</i> (<i>Ethmorhabdus</i>)	S. 272	[<i>mielnicensis</i> (<i>Discolithus</i>)]	S. 291
[<i>gartneri</i> (<i>Biscutum</i>)]	S. 245	[<i>mielnicensis</i> (<i>Staurolithites</i>)]	S. 292
<i>geometricum</i> (<i>Corallithion</i>)	S. 279	[<i>Millbrookia</i>]	S. 290
[<i>geometricus</i> (<i>Actinozygus</i>)]	S. 279	[<i>Millbrookia perforata</i>]	S. 289
[<i>geometricus</i> (<i>Discolithus</i>)]	S. 279	[<i>minutus</i> (<i>Diadorbomus</i>)]	S. 281
[<i>geometricus</i> (<i>Neococcolithus</i>)]	S. 279	[<i>Neococcolithus geometricus</i>]	S. 279
[<i>geometricus</i> (<i>Zyglithion</i>)]	S. 279	<i>noelae</i> (<i>Perissocyclus</i>)	S. 271
[<i>Glaukolithus diplogrammus</i>]	S. 296	[<i>Octocyclus magnus</i>]	S. 269
<i>gracilis</i> (<i>Axopodorhabdus</i>)	S. 265	[<i>Octocyclus reinhardtii</i>]	S. 269
<i>grassei</i> (<i>Podorhabdus</i>)	S. 264	<i>Octopodorhabdus</i>	S. 268
<i>gressyi</i> (<i>Ellipsagelosphaera</i>)	S. 255	<i>Octopodorhabdus decussatus</i>	S. 268
[<i>bansmanni</i> (<i>Cretrarhabdus crenulatus</i>)]	S. 275	<i>Octopodorhabdus oculisminutis</i>	S. 269
[<i>bansmanni</i> (<i>Polypodorhabdus</i>)]	S. 275	<i>Octopodorhabdus praevius</i>	S. 268
<i>helvetica</i> (<i>Anusulasphaera</i>)	S. 261	<i>oculisminutis</i> (<i>Otopodorhabdus</i>)	S. 269
[<i>Hemipodorhabdus</i>]	S. 263	[<i>oregus</i> (<i>Coccolithus</i>)]	S. 244, 246
<i>Hexapodorhabdus</i>	S. 267	<i>ovata</i> (<i>Ellipsagelosphaera</i>)	S. 255
<i>Hexapodorhabdus cuvilliieri</i>	S. 267	[<i>ovata</i> (<i>Watznaueria</i>)]	S. 255
[<i>hexserratus</i> (<i>Ellipsocochastus</i>)]	S. 279	[<i>Palaeopontosphaera</i>]	S. 242
<i>hexum</i> (<i>Stephanolithion</i>)	S. 277	[<i>Palaeopontosphaera dubia</i>]	S. 245, 248
[<i>borticum</i> (<i>Costacentrum</i>)]	S. 249	[<i>Palaeopontosphaera erismata</i>]	S. 248
[<i>borticus</i> (<i>Coccolithus</i>)]	S. 248	[<i>Palaeopontosphaera veterna</i>]	S. 248, 261
<i>borticus</i> (<i>Sollasites</i>)	S. 248	<i>parallelus</i> (<i>Zyglithites</i>)	S. 297
[<i>ignotus</i> (<i>Bidiscus</i>)]	S. 261	<i>Parhabdolithus</i>	S. 290
<i>ignotus</i> (<i>Discorhabdus</i>)	S. 251	<i>Parhabdolithus liasicus</i>	S. 290
[<i>ignotus</i> (<i>Tremalithus</i>)]	S. 251	[<i>Parhabdolithus longispinus</i>]	S. 290
[<i>imbricata imbricata</i> (<i>Vagalapilla</i>)]	S. 292	<i>Parhabdolithus marthae</i>	S. 290
<i>imbricata</i> (<i>Vekshinella</i>)	S. 292	<i>Parhabdolithus pseudobelgicus</i>	S. 291
[<i>jungi</i> (<i>Discorhabdus</i>)?]	S. 265	<i>Parhabdolithus rhombicus</i>	S. 291
[<i>keftalrempti</i> (<i>Ellipsagelosphaera</i>)]	S. 253	[<i>Parhabdolithus robustus</i>]	S. 290
[<i>kennedyi</i> (<i>Biscutum</i>)]	S. 246	[<i>parva</i> (<i>Colvillea crucicentralis</i>)]	S. 261
[<i>laffittei</i> (<i>Staurolithites</i>)]	S. 292	<i>patulus</i> (<i>Discorhabdus</i>)	S. 251

[<i>patulus</i> (<i>Rhabdolithus</i>)]	S. 251	<i>Retecapsa crenulata</i>	S. 275
<i>pauciramosus</i> (<i>Stradnerlithus</i>)	S. 283	<i>Retecapsa schizobrachiata</i>	S. 273
[<i>paucisectus</i> (<i>Polyporhabdus</i>)]	S. 275	<i>Retecapoideae</i>	S. 273
[<i>perforata</i> (<i>Millbrookia</i>)]	S. 289	[<i>Rhabdolithus decussatus</i>]	S. 268
[<i>perforatus</i> (<i>Coccolithus</i>)]	S. 253	[<i>Rhabdolithus patulus</i>]	S. 251
<i>perforatus</i> (<i>Crepidolithus</i>)	S. 289	<i>rhombicum</i> (<i>Rhombolithion</i>)	S. 281
<i>Perisocycles</i>	S. 271	<i>rhombicus</i> (<i>Parhabdolithus</i>)	S. 291
<i>Perisocycles fenestratus</i>	S. 272	[<i>rhombicus</i> (<i>Tubirhabdus?</i>)]	S. 291
<i>Perisocycles fletcheri</i>	S. 271	<i>Rhombolithion</i>	S. 281
<i>Perisocycles liesbergensis</i>	S. 271	<i>Rhombolithion bifurcatum</i>	S. 282
<i>Perisocycles noelae</i>	S. 271	<i>Rhombolithion rhombicum</i>	S. 281
<i>plena</i> (<i>Ellipsagelosphaera</i>)	S. 256	<i>rimosus</i> (<i>Ethmorhabdus</i>)	S. 273
<i>Podorhabdaceae</i>	S. 263	[<i>robustus</i> (<i>Parhabdolithus</i>)]	S. 290
<i>Podorhabdales</i>	S. 242	[<i>Rotelapillus</i>]	S. 278
<i>Podorhabdus</i>	S. 263	[<i>Rotelapillus radians</i>]	S. 280
[<i>Podorhabdus cylindratus</i>]	S. 265	[<i>salillum</i> (<i>Discolithus</i>)]	S. 298
<i>Podorhabdus grassei</i>	S. 264	[<i>salillum</i> (<i>Zeugrhabdotus</i>)]	S. 293
[<i>Podorhabdus rahla</i>]	S. 267	<i>salillum</i> (<i>Zyglithites</i>)	S. 298
[<i>Podorhabdus reinhardtii</i>]	S. 269	<i>schizobrachiata</i> (<i>Retecapsa</i>)	S. 273
[<i>Podorhabdus septentrionalis</i>]	S. 265	[<i>schizobrachiata</i> (<i>Vekshinella</i>)]	S. 273
[<i>polycingulatus</i> (<i>Coccolithes</i>)]	S. 246	[<i>schizobrachiata</i> (<i>Cretarhabdus</i>)]	S. 273
<i>Polyoporhabdus</i>	S. 275	[<i>schizobrachiatus</i> (<i>Polyoporhabdus</i>)]	S. 274
[<i>Polyoporhabdus beckii</i>]	S. 275	<i>Schizosphaerella</i>	S. 298
<i>Polyoporhabdus escaiagi</i>	S. 275	<i>Schizosphaerella punctulata</i>	S. 298
[<i>Polyoporhabdus hansmanni</i>]	S. 275	<i>scutulatum</i> (<i>Corollithion</i>)	S. 281
[<i>Polyoporhabdus madingleyensis</i>]	S. 275	[<i>scutulatus</i> (<i>Zyglithus</i>)]	S. 281
[<i>Polyoporhabdus paucisectus</i>]	S. 275	[<i>septentrionalis</i> (<i>Podorhabdus</i>)]	S. 265
[<i>Polyoporhabdus schizobrachiatus</i>]	S. 274	[<i>sexiradiatus</i> (<i>Zyglithus</i>)]	S. 279
[<i>ponticulus</i> (<i>Zyglithus</i>)]	S. 295	[<i>sigillatus</i> (<i>Discolithus</i>)]	S. 261
<i>praevisus</i> (<i>Octopodorhabdus</i>)	S. 268	<i>sigillatus</i> (<i>Lotharingius</i>)	S. 261
<i>primitivus</i> (<i>Lotharingius</i>)	S. 260	[<i>Sollasitaceae</i>]	S. 242
[<i>pristinus</i> (<i>Sollasites</i>)]	S. 250	<i>Sollasites</i>	S. 248
<i>Proculithus</i>	S. 288	[<i>Sollasites barringtonensis</i>]	S. 248
<i>Proculithus expansus</i>	S. 288	<i>Sollasites falklandensis</i>	S. 249
<i>Proculithus fistulatus</i>	S. 288	<i>Sollasites horticus</i>	S. 248
<i>pseudobelgicus</i> (<i>Parhabdolithus</i>)	S. 291	<i>Sollasites lowei</i>	S. 250
<i>pugnatum</i> (<i>Calyculus</i>)	S. 285	[<i>Sollasites pristinus</i>]	S. 250
[<i>pulchra</i> (<i>Maslovella</i>)]	S. 246	[<i>Staurolithites bochotnicae</i>]	S. 292
<i>punctulata</i> (<i>Schizosphaerella</i>)	S. 298	[<i>Staurolithites crux</i>]	S. 292
<i>quadriarcilla</i> (<i>Vekshinella</i>)	S. 294	[<i>Staurolithites laffittei</i>]	S. 292
[<i>quadriarcullus</i> (<i>Discolithus</i>)]	S. 294	[<i>Staurolithites mielnicensis</i>]	S. 292
[<i>quadriarcullus</i> (<i>Staurolithites</i>)]	S. 294	[<i>Staurolithites quadriarcullus</i>]	S. 294
[<i>quadriarcullus</i> (<i>Staurorhabdus</i>)]	S. 294	[<i>Staurolithites rectus</i>]	S. 292
<i>radians</i> (<i>Corollithion</i>)	S. 280	[<i>Staurorhabdus magnus</i>]	S. 294
[<i>radians</i> (<i>Rotelapillus</i>)]	S. 280	[<i>Staurorhabdus quadriarculus</i>]	S. 294
<i>rabla</i> (<i>Axopodorhabdus</i>)	S. 267	<i>Stephanolithiaeae</i>	S. 275
[<i>rabla</i> (<i>Podorhabdus</i>)]	S. 267	<i>Stephanolithion</i>	S. 276
[<i>rectus</i> (<i>Staurolithites</i>)]	S. 292	<i>Stephanolithion bigoti</i>	S. 276
<i>reinhardtii</i> (<i>Ellipsagelosphaera</i>)	S. 257	<i>Stephanolithion hexum</i>	S. 277
[<i>reinhardtii</i> (<i>Octocycles</i>)]	S. 269	[<i>stradneri</i> (<i>Vekshinella</i>)]	S. 292
[<i>reinhardtii</i> (<i>Podorhabdus</i>)]	S. 269	<i>Stradnerlithus</i>	S. 283
[<i>reinhardtii</i> (<i>Watznaueria</i>)]	S. 257	[<i>Stradnerlithus bifurcatus</i>]	S. 282
<i>Retecapsa</i>	S. 273	<i>Stradnerlithus comptus</i>	S. 283
<i>Retecapsa angustiforata</i>	S. 274	<i>Stradnerlithus delftensis</i>	S. 283
<i>Retecapsa brightoni</i>	S. 273	<i>Stradnerlithus pauciramosus</i>	S. 283
<i>Retecapsaceae</i>	S. 273	<i>strigosa</i> (<i>Ellipsagelosphaera</i>)	S. 257

<i>subcircularis</i> (<i>Calculus</i>)	S. 287	[<i>Watznaueria barnesae</i>]	S. 253
[<i>tectiforma</i> (<i>Calyptrolithus</i>)]	S. 246	[<i>Watznaueria britannica</i>]	S. 253
[<i>tectiforma</i> (<i>Cribrosphera</i>)]	S. 246	[<i>Watznaueria communis</i>]	S. 253
[<i>tectiforma</i> (<i>Cribrospherella</i>)]	S. 246	[<i>Watznaueria crucicentralis</i>]	S. 260
[<i>testudinarium</i> (<i>Biscutum</i>)]	S. 246	[<i>Watznaueria melanieae</i>]	S. 246
[<i>testudinarium</i> (<i>Discorhabdus</i>)]	S. 246	[<i>Watznaueria ovata</i>]	S. 255
<i>Thurmannonlitbion</i>	S. 284	[<i>Watznaueria reinhardtii</i>]	S. 257
<i>Thurmannonlitbion clatratum</i>	S. 284	<i>Zeugrhabdotus</i>	S. 295
[<i>Tremalithus ellipticum</i>]	S. 245	[<i>Zeugrhabdotus bussoni</i>]	S. 296
[<i>Tremalithus ignotus</i>]	S. 251	[<i>Zeugrhabdotus choffati</i>]	S. 297
[<i>Tremalithus melanieae</i>]	S. 245	<i>Zeugrhabdotus erectus</i>	S. 295
[<i>Truncatoscaphus delfensis</i>]	S. 283	<i>Zeugrhabdotus? fissus</i>	S. 296
[<i>Tubirhabdus? rhombicus</i>]	S. 291	[<i>Zeugrhabdotus salillum</i>]	S. 293
<i>tubulata</i> (<i>Ellipsagelosphaera?</i>)	S. 258	[<i>Zygodiscus erectus</i>]	S. 295
[<i>tubus</i> (<i>Discorhabdus</i>)]	S. 251	<i>Zygolithaceae</i>	S. 291
[<i>Vagalapilla elliptica</i>]	S. 293	<i>Zygolithites</i>	S. 297
[<i>Vagalapilla imbricata imbricata</i>]	S. 292	<i>Zygolithites choffati</i>	S. 297
[<i>variradiatus</i> (<i>Zygolithus</i>)]	S. 269	<i>Zygolithites parallelus</i>	S. 297
<i>Vekshinella</i>	S. 291	<i>Zygolithites salillum</i>	S. 298
<i>Vekshinella acutiferra</i>	S. 291	<i>Zyglithus</i>	S. 291
<i>Vekshinella ara</i>	S. 292	[<i>Zyglithus bussoni</i>]	S. 295
<i>Vekshinella crux</i>	S. 292	[<i>Zyglithus crux</i>]	S. 291
<i>Vekshinella dibrachiata</i>	S. 291	[<i>Zyglithus diplogrammus</i>]	S. 296
<i>Vekshinella elliptica</i>	S. 292	[<i>Zyglithus erectus</i>]	S. 295
<i>Vekshinella imbricata</i>	S. 292	[<i>Zyglithus fibulus</i>]	S. 295
<i>Vekshinella magna</i>	S. 294	[<i>Zyglithus geometricus</i>]	S. 279
<i>Vekshinella quadriarcula</i>	S. 294	[<i>Zyglithus ponticus</i>]	S. 295
[<i>Vekshinella schizobrachiate</i>]	S. 273	[<i>Zyolithus scutulatus</i>]	S. 281
[<i>Vekshinella stradneri</i>]	S. 292	[<i>Zyglithus sexiradiatus</i>]	S. 279
[<i>veterna</i> (<i>Palaeopontosphaera</i>)]	S. 248, 261	[<i>Zyglithus variradiatus</i>]	S. 269
		[<i>Zygestophanos crux</i>]	S. 292

Danksagungen

Herr Prof. Dr. F. Allemann (Geologisches Institut der Universität Bern) ermöglichte diese Arbeit, indem er uns die Einrichtungen des Labors für Rasterelektronenmikroskopie zur Verfügung stellte.

Herr Dr. H. Stradner (Geologische Bundesanstalt, Wien) war uns ein steter Ratgeber, der uns in zahlreichen Diskussionen wertvolle Anregungen gab.

Auf Befürwortung durch Herrn Dipl.-Ing. H. SPÖRKER und Herrn Prof. Dr. A. KRÖLL (ÖMV AG) wurde ein Teil der Separata-Kosten vom Fachverband der Erdölindustrie Österreichs übernommen.

Herr G. Bures (ÖMV AG) besorgte mit größter Sorgfalt die Reinzeichnung der meisten Abbildungen.

Die Autoren danken besonders ihren Familien, daß sie mit so viel Geduld die Fertigstellung dieser überwiegend in der Freizeit entstandenen Publikation abgewartet haben.

Literaturverzeichnis

- AUBRY, M.-P. & DEPECHE, F.: Recherches sur les schizosphères. I – Les schizosphères de Villers-sur-Mer. Variation morphologique, ultrastructure et modifications diagénétiques. – Cah. Micropaléont., 1974/1, S. 3–15, Paris 1974.
- BALDI-BEKE, M.: Alsó-Kréta képződményeink Coccolithophorida faunája (Unterkretazische Coccolithophoriden-Fauna aus Ungarn). – Magyar áll. földt. Intéz. évi Jel, 1962, S. 131–144, Budapest 1964.
- BARBIERI, F. & MEDIOLI, F.: Calcareous nannoplankton from the Upper Cretaceous of Southern Saskatchewan (Canada). – Riv. Ital. Paleont., 75/4, S. 725–758, Mailand 1969.
- BARNARD, T. & HAY, W. W.: On Jurassic Coccoliths: A tentative zonation of the Jurassic of Southern England and North France. – Eclogae geol. Helv., 67/3, S. 563–585, Basel 1974.
- BERNIER, P., BUSSON, G., ENAY, R. & NOËL, D.: Les calcaires bitumineux d'Armailles, formation laminée du Kimméridgien de la région de Belley (Ain), et leurs conditions de dépôt. – C. R. Acad. Sci. (Paris), 274, S. 2925–2928, Paris 1972.
- BLACK, M.: Coccolithen. – Endeavour, 24/93, S. 131–137, London 1965.
- BLACK, M.: New names for some coccolith taxa. – Proc. geol. Soc. London, 1640, S. 139–145, London 1967.
- BLACK, M.: Taxonomic problems in the study of coccoliths. – Paleontology, 11/5, S. 793–813, London 1968.
- BLACK, M.: Derived coccoliths in the Bridlington Crag. – Proc. Yorkshire geol. Soc., 38/1, S. 37–45, Hull 1970.
- BLACK, M.: The systematics of coccoliths in relation to the palaeontological record. In FUNNELL, B. M. & RIEDEL, W. R. (Hrsg.): The Micropalaeontology of Oceans, S. 611–624, University Press, Cambridge 1971a.
- BLACK, M.: Coccoliths of the Speeton Clay and Sutterby Marl. – Proc. Yorkshire geol. Soc., 38/3, S. 381–424, Hull 1971b.
- BLACK, M.: British Lower Cretaceous Coccoliths. I. Gault Clay. – Palaeontogr. Soc. [Monogr.], 126, Publ. Nr. 534, 48 Seiten, London 1972.
- BLACK, M.: British Lower Cretaceous Coccoliths. I. Gault Clay. – Palaeontogr. Soc. [Monogr.], 127, Publ. Nr. 537, S. 49–112, London 1973.
- BLACK, M.: British Lower Cretaceous Coccoliths. I. Gault Clay. – Palaeontogr. Soc. [Monogr.], 129, Publ. Nr. 543, S. 113–142, London 1975.
- BLACK, M. & BARNES, B.: The structure of coccoliths from the English Chalk. – Geol. Mag., 96/5, S. 321–328, Hertford 1959.
- BOUCHÉ, P. M.: Nannofossiles calcaires du Lutétien du bassin de Paris. – Rev. Micropaléont., 5/2, S. 75–103, Paris 1962.
- BRAMLETTE, M. N. & MARTINI, E.: The great change in calcareous nannoplankton fossils between the Maestrichtian and Danian. – Micropaleontology, 10/3, S. 291–322, New York 1964.
- BRAMLETTE, M. N. & SULLIVAN, F. R.: Coccolithophorids and related nannoplankton of the early Tertiary in California. – Micropaleontology, 7/2, S. 129–188, New York 1961.
- BUKRY, D.: Upper Cretaceous coccoliths from Texas and Europe. – Univ. Kansas paleont. Contr., Art. 51 (Protista 2), 79 Seiten, Lawrence 1969.
- BUKRY, D.: *Biscutum kennedyi* nom. nov. pro *Biscutum asymmetricum* BUKRY, 1969, non PERCH-NIELSEN, 1969 (Plantae, Coccolithophyceae). – J. Paleont., 44/1, S. 167, Menasha 1970.
- BUKRY, D. & BRAMLETTE, M. N.: Coccolith age determinations Leg 1, Deep sea drilling project. In EWING, M. et al.: Init. Rep. Deep Sea Drill. Proj., 1, S. 369–387, U. S. Government Printing Office, Washington 1969.
- BURNS, D. A.: Nannofossils from the Lower and Upper Cretaceous chalk deposits, Nettleton Lincolnshire, England. – Rev. espagn. Micropaleont., 8/2, S. 279–300, Madrid 1976.
- CARATINI, C.: Contribution à l'étude des coccolithes du Cénomanien supérieur et du Turonien de la région de Rouen. – Thèse Fac. Sci. Univ. d'Algér, Publ. Lab. géol. appl. Univ. Algér, 1960/12, S. 5–61, Paris 1963.
- ČEPEK, P. & HAY, W. W.: Calcareous nannoplankton and biostratigraphic subdivision of the Upper Cretaceous. – Trans. Gulf Coast Assoc. geol. Soc., 19, S. 323–336, 1969.
- DEFLANDRE, G.: Les stéphanolithes, représentants d'un type nouveau de coccolithes du Jurassique supérieur. – C. R. Acad. Sci. (Paris), 208, S. 1331–1333, Paris 1939.
- DEFLANDRE, G.: Classe des Coccolithophoridés (Coccolithophoridae LOHMANN, 1902). In GRASSÉ, P. P.: Traité de zoologie. Anatomie, systématique, biologie. 1/1: Phylogénie. Protozoaires: généralités. Flagellés. – Paris: Masson 1952, XII + 1071 Seiten, 830 Abb.
- DEFLANDRE, G.: Classe des Coccolithophoridés. In PIVETEAU, J.: Traité de paléontologie. – Paris: Masson 1952, 1, 782 Seiten.

- DEFLANDRE, G. & DANGEARD, L.: *Schizosphaerella*, un nouveau microfossile méconnu du Jurassique moyen et supérieur. – C. R. Acad. Sci. (Paris), 207, S. 1115–1117, Paris 1938.
- DEFLANDRE, G. & FERT, C.: Sur la structure fine de quelques coccolithes fossiles observés au microscope électronique; Signification morphogénétique et application à la systématique. – C. R. Acad. Sci. (Paris), 234, S. 2100–2102, Paris 1952.
- DEFLANDRE, G. & FERT, C.: Observations sur les Coccolithophoridés actuels et fossiles en microscopie ordinaire et électronique. – Ann. Paléont., 40 (1954), S. 115–176, Paris 1955.
- FARINACCI, A.: Round Table on Calcareous Nannoplankton. Roma, September 23–28, 1970. In A. FARINACCI (Hrsg): Proceedings of the II. Planktonic Conference Roma 1970, Edizioni Tecnoscienza, 2, S. 1343–1360, Rom 1971.
- FAUPL, P., GRÜN, W., LAUER, G., MAURER, R., PAPP, A., SCHNABEL, W. & STURM, M.: Zur Typisierung der Sieveringer Schichten im Flysch des Wienerwaldes. – Jahrb. Geol. B.-A., 113, S. 73–158, Wien, 1970.
- FISCHER, H.: Geologie des Gebietes zwischen Blauen und Pfirter Jura (SW Basel). Mit einem mikropaläontologischen und einem paläogeographischen Beitrag. – Beitr. geol. Karte Schweiz, N. F., 122, XX + 106 Seiten, Bern 1965.
- FISCHER, H.: Oberer Dogger und unterer Malm des Berner Jura: Tongruben von Liesberg. In H. SCHAUB & H. LUTERBACHER (Hrsg): Neuere Daten zur mikropaläontologischen Forschung in der Schweiz zum 9. Europäischen Mikropaläontologischen Kolloquium (Schweiz, 1965). – Bull. Ver. schweiz. Petroleum-Geol. u. -Ing., 31, Nr. 81, S. 25–36, Basel 1965.
- FORCHHEIMER, S.: Scanning Electron Microscope Studies of Cretaceous Coccoliths from the Köpingsberg Bore-hole No 1, SE Sweden. – Sveriges geol. Unders., Ser. C, Nr. 668, A. 65, Nr. 14, 141 Seiten, Stockholm 1972.
- GARTNER, S. Jr.: Coccoliths and related calcareous nannofossils from Upper Cretaceous deposits of Texas and Arkansas. – Univ. Kansas paleont. Contr., Art. 1 (Protista), 56 Seiten, Lawrence 1968.
- GÓRKA, H.: Coccolithophoridae z górnego mastrychu Polski środkowej. (Les Coccolithophoridés du Maestrichtien supérieur de Pologne.) – Acta paleont. pol., 2/1, S. 235–284, Warszawa 1957.
- GREPPIN, J. B.: Description géologique du Jura Bernois et de quelques districts adjacents. – Matér. Carte géol. Suisse, 8, XX + 357 Seiten, Bern 1870.
- GRESSLY, A.: Observations géologiques sur le Jura soleurois. – N. Denkschr. schweiz. Ges. Natw., 2, 112 Seiten, Neuenburg 1838.
- GRESSLY, A.: Observations géologiques sur le Jura soleurois. – N. Denkschr. schweiz. Ges. Natw., 4, S. 113–241, Neuenburg 1840.
- GRESSLY, A.: Observations géologiques sur le Jura soleurois. – N. Denkschr. schweiz. Ges. Natw., 5, S. 245–349, Neuenburg 1841.
- GRÜN, W. & ALLEMANN, F.: The Lower Cretaceous of Caravaca (Spain). Berriasian Calcareous Nannoplankton of the Miravetes Section (Subbetic Zone, Prov. of Murcia). – Eclogae geol. Helv., 68/1, S. 147–211, Basel 1975.
- GRÜN, W., KITTNER, G., LAUER, G., PAPP, A. & SCHNABEL, W.: Studien in der Unterkreide des Wienerwaldes. – Jahrb. Geol. B.-A., 115, S. 103–186, Wien 1972.
- GRÜN, W., PRINS, B. & ZWEILLI, F.: Coccolithophoriden aus dem Lias epsilon von Holzmaden (Deutschland). – N. Jb. Geol. Paläont. [Abh.], 147/3, S. 294–328, Stuttgart 1974.
- HAEUSLER, R.: Monographie der Foraminiferen-Fauna der schweizerischen Transversarius-Zone. – Abh. schweiz. paläont. Ges., 17, 134 Seiten, Zürich 1890.
- HAMILTON, G.: Early Jurassic calcareous nannofossils from Portugal and their biostratigraphical use. – Eclogae geol. Helv., 70/2, S. 575–597, Basel 1977.
- HAMILTON, G.: Calcareous nannofossils from the Upper Callovian and Lower Oxfordian (Jurassic) of Staffin Bay, Isle of Skye, Scotland. – Proc. Yorkshire geol. Soc., 42/1, S. 29–39, Hull 1978.
- HAMILTON, G.: Lower and Middle Jurassic calcareous nannofossils from Portugal. – Eclogae geol. Helv., 72/1, S. 1–17, Basel 1979.
- HAQ, U. Z. B.: Studies on upper Eocene calcareous nannoplankton from NW Germany. – Stockholm Contr. Geol., 18/2, S. 13–74, Stockholm 1968.
- HAY, W. W.: Probabilistic Stratigraphy. – Eclogae geol. Helv., 65/2, S. 255–266, Basel 1972.
- HAY, W. W. & TOWE, K. M.: Electronmicroscopic examination of some coccoliths from Donzacq (France). – Eclogae geol. Helv., 55/2, S. 497–517, Basel 1963.
- HESS, H.: Mikropaläontologische Untersuchungen an Ophiuren. III. Die Ophiuren aus dem Callovien-Ton von Liesberg (Berner Jura). – Eclogae geol. Helv., 56/2, S. 1141–1164, Basel 1963.
- HILL, M. E. III.: Lower Cretaceous calcareous nannofossils from Texas and Oklahoma. – Palaeontographica Abt. B, 156/4–6, S. 103–179, Stuttgart 1976.

- HOFFMANN, N.: Coccothineen aus der weißen Schreibkreide (Unter-Maastricht) von Jasmund auf Rügen. – Geologie, 19/7, S. 846–879, Berlin (Ost) 1970a.
- HOFFMANN, N.: Taxonomische Untersuchungen an Coccothineen aus der Kreide Norddeutschlands anhand elektronenmikroskopischer Aufnahmen. – Hercynia, N. F., 7/2, S. 163–198, Leipzig 1970b.
- HOFFMANN, N.: Coccoithinen aus der Kreide und dem Paläogen des nördlichen Mitteleuropas. – Geologie [Beih.], H. 73, 121 Seiten, Berlin (Ost) 1972.
- Internationaler Code der botanischen Nomenklatur: siehe STAFLEU, F. A. et al.
- KAMPTNER, E.: Fossile Coccothineen-Skelettreste aus dem Molukken-Archipel. – Anz. Akad. Wiss. Wien, math.-naturw. Kl., 86/4, S. 77–80, Wien 1949.
- KAPELLOS, C. C.: Biostratigraphie des Gurnigelflysches mit besonderer Berücksichtigung der Nummuliten und des Nannoplanktons, unter Einbeziehung des paläogenen Nannoplanktons der Krim (UdSSR). – Schweiz. paläont. Abh., 96, 128 Seiten, Basel 1973.
- KELLER, W. T.: Geologische Beschreibung des Kettenjura zwischen Delsbergerbecken und Oberrheinischer Tiefebene. – Eclogae geol. Helv., 17/1, S. 1–78, Basel 1922.
- KEUPP, H.: Kalkiges Nannoplankton aus den Solnhofener Schichten (Unter Tithon, Südliche Frankenalb). – N. Jb. Geol. Paläont. [Mh.], 1976/6, S. 361–381, Stuttgart 1976.
- KEUPP, H.: Ultrafazies und Genese der Solnhofener Plattenkalke (Oberer Malm, Südliche Frankenalb). – Abh. naturhist. Ges. Nürnberg, 37, S. 1–128, Nürnberg 1977.
- KÜBLER, J. & ZWINGLI, H.: Die Foraminiferen des schweiz. Jura. – Winterthur: Steiner'sche Buchhandlung 1870.
- LEVIN, H. L.: Coccothoporidae and related microfossils from the Yazoo formation (Eocene) of Mississippi. – J. Paleont., 39/2, S. 265–272, Menasha 1965.
- LEVIN, H. L. & JOERGER, A. P.: Calcareous nannoplankton from the Tertiary of Alabama. – Micropaleontology, 13/2, S. 163–182, New York 1967.
- Lexique stratigraphique international (1960): Vol. I, Europe; Fasc. 7, Suisse; Fasc. 7a, Juragebirge und Rheintalgraben; siehe WAIBEL, A. & BURRI, F.
- LEZAUD, L.: Nannofossiles calcaires du Jurassique supérieur de la Baie de Seine. – Bull. Soc. géol. Normandie et Amis Muséum Havre, 57 (1967), S. 15–20, Coutances 1968.
- LOEBLICH, A. R. Jr. & TAPPAN, H.: Type fixation and validation of certain calcareous nannoplankton genera. – Proc. biol. Soc. Washington, 76, S. 191–196, Washington 1963.
- LORIOL, P. DE: Etudes sur les mollusques des couches coralligènes inférieures du Jura bernois (1–4). – Mém. Soc. paléont. suisse, 16, S. 1–79; ibid., 17, S. 81–174; ibid., 18, S. 176–258; ibid., 19, S. 262–419, Genf 1889–1892.
- LORIOL, P. DE: Etude sur les mollusques du Rauracien inférieur du Jura bernois. – Mém. Soc. paléont. suisse, 21, S. 1–129, Genf 1894.
- LORIOL, P. DE: Etude sur les mollusques et brachiopodes de l'Oxfordien supérieur et moyen du Jura bernois. – Mém. Soc. paléont. suisse, 23, S. 1–77; ibid. 24, S. 78–158, Genf 1896, 1897.
- LORIOL, P. DE: Etude sur les mollusques et brachiopodes de l'Oxfordien inférieur ou Zone à *Ammonites Renggeri* du Jura bernois. – Mém. Soc. paléont. suisse, 25, S. 1–115; ibid., 26, S. 119–220, Genf 1898, 1899.
- LYUL'EVA, S. A.: Kokolitoforidi turons'kikh vidkladiv Dniprovs'ko-Donets'koi sapadini. (Coccothophoridae in the Turonian strata of the Dnieper-Don Basins) – Geol. Z. (Kiew), 27/6, S. 91–98, Kiew 1967.
- LYUL'EVA, S. A. & LIPNIK, E. S.: Sopostawlenie graniz senomana dneprowsko-doneckoi wpadiny po kompleksam iswestkowych nannofossilii i foraminifer. (The comparison of boundaries of the Cenomanian of the Dnieper-Don depression by the complexes of the calcareous nannofossils and foraminifers.) – Paleont. Sb. (L'vov), 1969/6, S. 75–80, L'vov (Lemberg) 1969.
- MANIVIT, H.: Contribution à l'étude des cocolithes de l'Éocène. – Publ. Serv. Carte géol. Algér, n. sér., 25, Trav. Collab. 1958 (1959), S. 331–382, Algier 1961.
- MANIVIT, H.: Nannofossiles calcaires de l'Albo-Aptien. – Rev. Micropaléont., 8/3, S. 189–201, Paris 1965.
- MANIVIT, H.: Nannofossiles calcaires du Crétacé Français (Aptien – Maestrichtien). Essai de Biozonation appuyée sur les Stratotypes. Thèse Doctorate d'État, Fac. Sci. d'Orsay. – M. Hayet, Inst. géol., Fac. Sci. d'Orsay und Louis Jean à Gap 1971, 187 Seiten.
- MARESCH, O.: Die Erforschung von Nannofossilien mittels des Elektronenmikroskopes in der Erdölindustrie. – Erdöl-Erdgas-Z., 82/9, S. 377–384, Wien – Hamburg 1966.
- MATTHES, H. W.: Einführung in die Mikropaläontologie. – Leipzig: Hirzel 1956, VIII + 348 Seiten.
- MEDD, A. W.: Some middle and upper Jurassic Coccothophoridae from England and France. In A. FARINACCI (Hrsg.): Proceedings of the II. Planktonic Conference Roma 1970. Edizioni Tecnoscienza, 2, S. 821–845, Leiden 1971.

- MEDD, A. W.: The Upper Jurassic coccoliths from the Haddenham and Gamlingay boreholes (Cambridgeshire, England). – *Eclogae geol. Helv.*, 72/1, S. 19–109, Basel 1979.
- MOHLER, W.: Mikropaläontologische Untersuchungen in der nordschweizerischen Juraformation. – *Abh. schweiz. paläont. Ges.*, 60, S. 1–53, Basel 1938.
- MOSHKOVITZ, S.: First Report on the Occurrence of Nannoplankton in Upper Cretaceous-Paleocene Sediments of Israel. – *Jahrb. Geol. B.-A.*, 110, S. 135–168, Wien 1967.
- MOSHKOVITZ, S.: On the distribution of *Schizosphaerella punctulata* DEFLANDRE & DANGEARD and *Schizosphaerella astraea* n. sp. in the Liassic section of Stowell Park Borehole (Gloucestershire) and in some other Jurassic localities in England. – *Eclogae geol. Helv.*, 72/2, S. 455–465, Basel 1979.
- MOSHKOVITZ, S. & EHRLICH, A.: Distribution of middle and upper Jurassic calcareous nannofossils in the north-eastern Negev, Israel and in Gebel Maghara, Northern Sinai. – *Bull. geol. Surv. Israel*, 69, S. 1–47, Jerusalem 1976a.
- MOSHKOVITZ, S. & EHRLICH, A.: *Schizosphaerella punctulata* DEFLANDRE & DANGEARD and *Crepidolithus crassus* (DEFLANDRE) NOËL, Upper Liassic calcareous nannofossils from Israel and Northern Sinai. – *Israel J. Earth Sci.*, 25, S. 51–57, 1976b.
- NOCERA, S.: Primo contributo alla conoscenza del nannoplancton calcareo del Giurassico superiore del Gargano. – *Mem. Soc. Nat. Napoli*, suppl. al *Boll.*, 78, (1969), S. 427–431, Neapel 1971.
- NOËL, D.: Coccolithes des terrains jurassiques de l'Algérie. – *Publ. Šerv. Carte géol. Algér.*, sér. 2, 8 (1956), S. 303–345, Algier 1957.
- NOËL, D.: Étude de coccolithes du Jurassique et du Crétacé inférieur. – *Publ. Serv. Carte géol. Algér.*, sér. 2, 20 (1958), S. 155–196, Algier 1959.
- NOËL, D.: Note préliminaire sur des coccolithes jurassiques. – *Cah. Micropaléont.*, sér. I, no. 1, S. 1–12, Paris 1965a.
- NOËL, D.: Sur les coccolithes du Jurassique européen et d'Afrique du Nord. Essai de classification des coccolithes fossiles. – Paris: Centre Nat. Rech. Sci. 1965b, 209 Seiten.
- NOËL, D.: Coccolithes Crétacés la craie Campanienne du Bassin de Paris. – Paris: Centre Nat. Rech. Sci. 1970, 129 Seiten.
- NOËL, D.: Nannofossiles calcaires de sédiments jurassiques finement laminés. – *Bull. Mus. natl. Hist. nat. Paris*, sér. 3, no. 75 (1972), *Science de la Terre* 14, S. 95–156, Paris 1973.
- NOËL, D. & MELGUEN, M.: Nannofacies of Cape Basin and Walvis Ridge sediments, Lower Cretaceous to Pliocene (Leg 40). In BOLLI, H. M., RYAN, W. B. F. et al.: *Init. Rep. Deep Sea Drill. Proj.*, 40, S. 487–524, U. S. Government Printing Office, Washington 1978.
- OERTLI, H. J.: Malm-Östracoden aus dem schweizerischen Juragebirge. – *Denkschr. schweiz. natf. Ges.*, 83/1, S. 1–44, Zürich 1959.
- PERCH-NIELSEN, K.: Der Feinbau und die Klassifikation der Coccolithen aus dem Maastrichtien von Dänemark. – K. Danske Videnskabernes Selskab, Biol. Skrifter 16/1, 96 Seiten, Kopenhagen 1968.
- PERCH-NIELSEN, K.: Die Coccolithen einiger Dänischer Maastrichtien- und Danienlokalitäten. – *Bull. geol. Soc. Denmark*, 19/1, S. 51–68, Kopenhagen 1969.
- PJENAAR, R. N.: Microfossils from the Cretaceous System of Zululand studied with the aid of the electron microscope. – S. Afr. J. Sci., 62/5, S. 147–157, Johannesburg 1966.
- PJENAAR, R. N.: Upper Cretaceous Coccolithophorids from Zululand, South Africa. – *Palaeontology*, 11/3, S. 361–367, London 1968.
- PJENAAR, R. N.: Upper Cretaceous calcareous nannoplankton from Zululand, South Africa. – *Paleontologia Africana*, 12, S. 75–149, Johannesburg 1969.
- PRIEWALDER, H.: Die Coccolithophoridenflora des Locus typicus von *Pseudotextularia elegans* (Rzehak), Reingrubberhöhe, Niederösterreich (Maastricht). – *Jahrb. Geol. B.-A.*, 116, S. 3–34, Wien 1973.
- PRINS, B.: Evolution and stratigraphy of Coccolithinids from the Lower and Middle Lias. In BRÖNNIMANN, P. & RENZ, H. H. (Hrsg.): *Proceedings of the First International Conference Planktonic Microfossils* Geneva 1967, 2, S. 547–558. – Leiden: E. J. Brill 1969.
- REINHARDT, P.: Einige Kalkflagellaten-Gattungen (Coccolithophoriden, Coccolithineen) aus dem Mesozoikum Deutschlands. – *Mber. dtsch. Akad. Wiss. Berlin*, 6/10, S. 749–759, Berlin (Ost) 1964.
- REINHARDT, P.: Neue Familien für fossile Kalkflagellaten (Coccolithophoriden, Coccolithineen). – *Mber. dtsch. Akad. Wiss. Berlin*, 7, S. 30–40, Berlin (Ost) 1965.
- REINHARDT, P.: Zur Taxionomie und Biostratigraphie des fossilen Nannoplanktons aus dem Malm, der Kreide und dem Alttertiär Mitteleuropas. – *Freiburger Forschh. C 196 Paläontologie*, S. 5–109, Leipzig 1966.

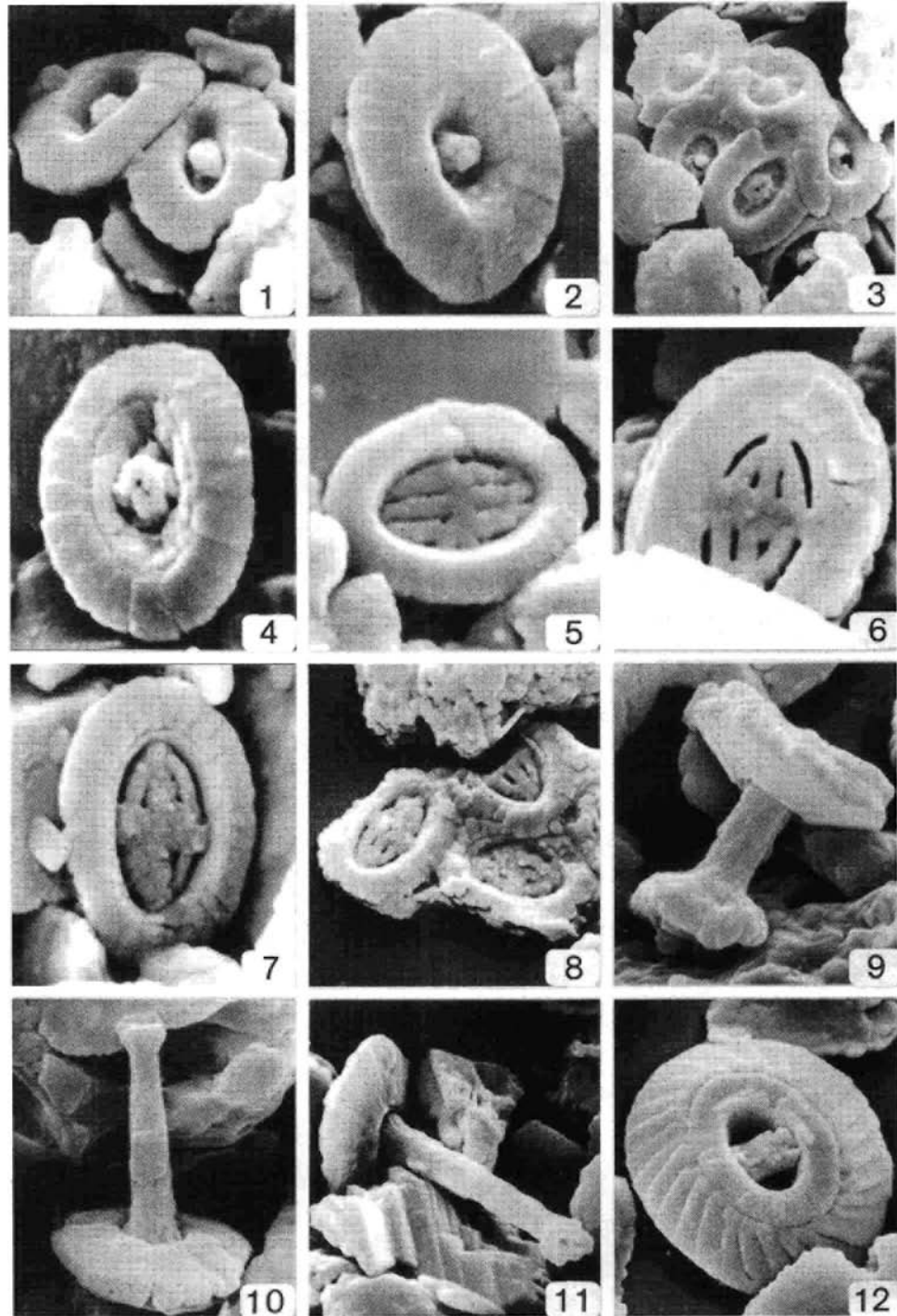
- REINHARDT, P.: Neue Coccoolithen-Arten aus der Kreide. – Mber. dtsch. Akad. Wiss. Berlin, 11, S. 932–938, Berlin (Ost) 1969.
- REINHARDT, P.: Synopsis der Gattungen und Arten der mesozoischen Coccoolithen und anderer kalkiger Nanno-fossilien, Teil I. – Freiberger Forschh., C 260 Paläontologie, S. 5–33, Leipzig 1970a.
- REINHARDT, P.: Synopsis der Gattungen und Arten der mesozoischen Coccoolithen und anderer kalkiger Nanno-fossilien. Teil II. – Freiberger Forschh., C 265 Paläontologie, S. 41–111, Leipzig 1970b.
- REINHARDT, P.: Synopsis der Gattungen und Arten der mesozoischen Coccoolithen und anderer kalkiger Nanno-fossilien, Teil III. – Freiberger Forschh., C 267 Paläontologie, S. 19–41, Leipzig 1971.
- REINHARDT, P. & GÓRKA, H.: Revision of some Upper Cretaceous Coccoliths from Poland and Germany. – N. Jb. Geol. Paläont. [Abh.], 129/3, S. 240–256, Stuttgart 1967.
- ROLLIER, L.: Deuxième supplément à la description géologique de la partie jurassienne de la feuille VII (de la carte géol. de la Suisse au 1 : 100.000). – Matér. Carte géol. Suisse, n. sér., 8, XVI + 206 Seiten, Bern 1898.
- ROOD, A. P. & BARNARD, T.: On Jurassic Coccoliths: *Stephanolithion*, *Diadozygus* and Related Genera. – Eclogae geol. Helv., 65/2, S. 327–342, Basel 1972.
- ROOD, A. P., HAY, W. W. & BARNARD, T.: Electron Microscope Studies of Oxford Clay Coccoliths. – Eclogae geol. Helv., 64/2, S. 245–272, Basel 1971.
- ROOD, A. P., HAY, W. W. & BARNARD, T.: Electron Microscope Studies of Lower and Middle Jurassic Coccoliths. – Eclogae geol. Helv., 66/2, S. 365–382, Basel 1973.
- ROTH, P. H. & THIERSTEIN, H.: Calcareous Nannoplankton: Leg 14 of the Deep Sea Drilling Project. In HAYES, D. E., PIMM, A. C. et al.: Init. Rep. Deep Sea Drill. Proj., 14, S. 421–485. – Washington: U. S. Government Printing Office 1972.
- ROTHMALER, W.: Die Abteilungen und Klassen der Pflanzen. – Repert. Sp. Nov., 54, S. 256–266, 1951.
- SHAFIK, S. & STRADNER, H.: Nannofossils from the Eastern Desert, Egypt with reference to Maastrichtian Nannofofossils from the USSR. – Jahrb. Geol. B.-A., Sonderb. 17, S. 69–104, Wien 1971.
- SHAMRAI, I. A. & LAZAREVA, E. P.: Paleogenovye Cocco lithophoridai i ich stratigraficeskoe znachenie (Cocco lithophoridai and their stratigraphic importance). – Dokl. Akad. Nauk. SSSR, 108/4, S. 711–714, Moskau 1956.
- SHUMENKO, S. I.: Elektronnomikroskopitscheskoe issutshenie turonskikh kokkolitoforid wostoka USSR i oblasti kurskoi magnitnoi anomalii. (Electronmicroscopic study of Turonian Coccolithophorids of the east Ukraine and the Kursk magnetic anomaly) – Paleont. Sb. (L'vov), 7/1, S. 71–76, L'vov (Lemberg) 1970.
- STAFLEU, F. A., BONNER, C. E. B., McVAUGH, R., MEIKLE, R. D., ROLLINS, R. C., ROSS, R., SCHOFF, J. M., SCHULZE, G. M., VILMORIN, R. DE & VOSS, E. G.: Internationaler Code der botanischen Nomenklatur, ange nommen vom elften Internationalen Botanischen Kongreß Seattle, August 1969. – Utrecht: A. Oosthoek's Uitgeversmaatschappij N. V. 1972, 426 Seiten.
- STÄUBLE, A. J.: Zur Stratigraphie des Callovien im zentralen Schweizer Jura. – Eclogae geol. Helv., 52/1, S. 57–176, Basel 1959.
- STOVER, L. E.: Cretaceous coccoliths and associated nannofossils from France and the Netherlands. – Micropaleontology, 12/2, S. 133–167, New York 1966.
- STRADNER, H.: Vorkommen von Nannofossilien im Mesozoikum und Alttertiär. – Erdöl-Z., 77/3, S. 77–88, Wien – Hamburg 1961.
- STRADNER, H.: New contributions to Mesozoic stratigraphy by means of nannofossils. – Proc. Sixth World Petrol. Congr. (Frankfurt am Main 1963), sect. 1, paper 4 (preprint), 16 Seiten, Frankfurt am Main 1963.
- STRADNER, H. & ADAMIKER, D.: Nannofossilien aus Bohrkernen und ihre elektronenmikroskopische Bearbeitung. – Erdöl-Erdgas-Z., 82/8, S. 330–341, Wien – Hamburg 1966.
- STRADNER, H., ADAMIKER, D. & MARESCH, O.: Electron Microscope Studies on Albian Calcareous Nanno plankton from the Delft 2 and Leidschendam 1 Deepwells, Holland. – Verh. k. nederl. Akad. Wetensch., Afd. Natuurk. (I), 24/4, 107 Seiten, Amsterdam 1968.
- SULLIVAN, F. R.: Lower Tertiary nannoplankton from the California Coast Ranges. II. Eocene. – Univ. Calif. Publ. geol. Sci., 53, S. 1–75, Berkeley – Los Angeles 1965.
- TAYLOR, R. J.: The distribution of calcareous nannofossils in the Speeton Clay (Lower Cretaceous) of Yorkshire. – Proc. Yorkshire geol. Soc., 42/2, S. 195–209, Hull 1978.
- THIERSTEIN, H. R.: Tentative Lower Cretaceous Calcarenous Nannoplankton Zonation. – Eclogae geol. Helv., 64/3 (1971), S. 459–488, Basel 1972.
- THIERSTEIN, H. R.: Lower Cretaceous Calcarenous Nannoplankton Biostratigraphy. – Abh. Geol. B.-A., 29, S. 1–52, Wien 1973.
- THIERSTEIN, H. R.: Mesozoic calcareous nannoplankton biostratigraphy of marine sediments. – Marine Micropaleont., 1, S. 325–362, Amsterdam 1976.

- VEKSHINA, V. N.: Kokkolitoforidy maastrichtskich otloschenii Zapadno-Sibirskoi nizmenosti. (Coccolithophoridae of the Maastrichtian deposits of the west Siberian lowland.) – Trudy sibirs. naučn.-issled. Inst. Geol. Geofiz. miner. Syrja (SNIIGGIMS), 2, S. 56–81, 1959.
- VERBEEK, J. W.: Calcareous nannoplankton biostratigraphy of Middle and Upper Cretaceous deposits in Tunisia, southern Spain and France. – Utrecht Micropaleont. Bull., 16, 157 Seiten, Utrecht 1977.
- VISHNEVSKII, A. V. & MENYAILENKO, P. A.: Kokkolitoforidy nischnemelowych (Aptskich) glin bachtschisaraiskogo raiona. (Coccolithophorids from the Lower Cretaceous [Aptian] clay of the Bakhchisaraisky region.) – Izv. Vyssh. Uchebn. Zaved. Geol. i Razved. SSSR, 6/11, S. 47–53, Moskau 1963.
- WAIBEL, A. & BURRI, F.: Lexique stratigraphique international (1960): Vol. I, Europe; Fasc. 7, Suisse; Fasc. 7a, Juragebirge und Rheintalgraben. – 20. Congr. géol. intern. Mexico 1956, S. 1–314, Paris 1960.
- WILCOXON, J. A.: Upper Jurassic – Lower Cretaceous calcareous nannoplankton from the western North Atlantic Basin. In HOLLISTER, C. D., EWING, J. I. et al.: Init. Rep. Deep Sea Drill. Proj., 11, S. 427–457. – Washington: U.S. Government Printing Office 1972.
- WISE, S. W. & WIND, F. H.: Mesozoic and Cenozoic calcareous nannofossils recovered by DSDP Leg 36 drilling on the Falkland Plateau, southwest Atlantic sector of the southern ocean. In BARKER, P. F., DALZIEL, I. W. D. et al.: Init. Rep. Deep Sea Drill. Proj., 36, S. 269–491. – Washington: U.S. Government Printing Office 1976.
- WORSLEY, T. R.: Calcareous nannofossil zonation of Upper Jurassic and Lower Cretaceous sediments from the Western Atlantic. In A. FARINACCI (Hrsg.): Proceedings of the II. Planktonic Conference Roma 1970, 2, S. 1301–1321. – Rom: Edizioni Tecnoscienza 1971.

Manuskript bei der Schriftleitung eingelangt am 13. 12. 1979

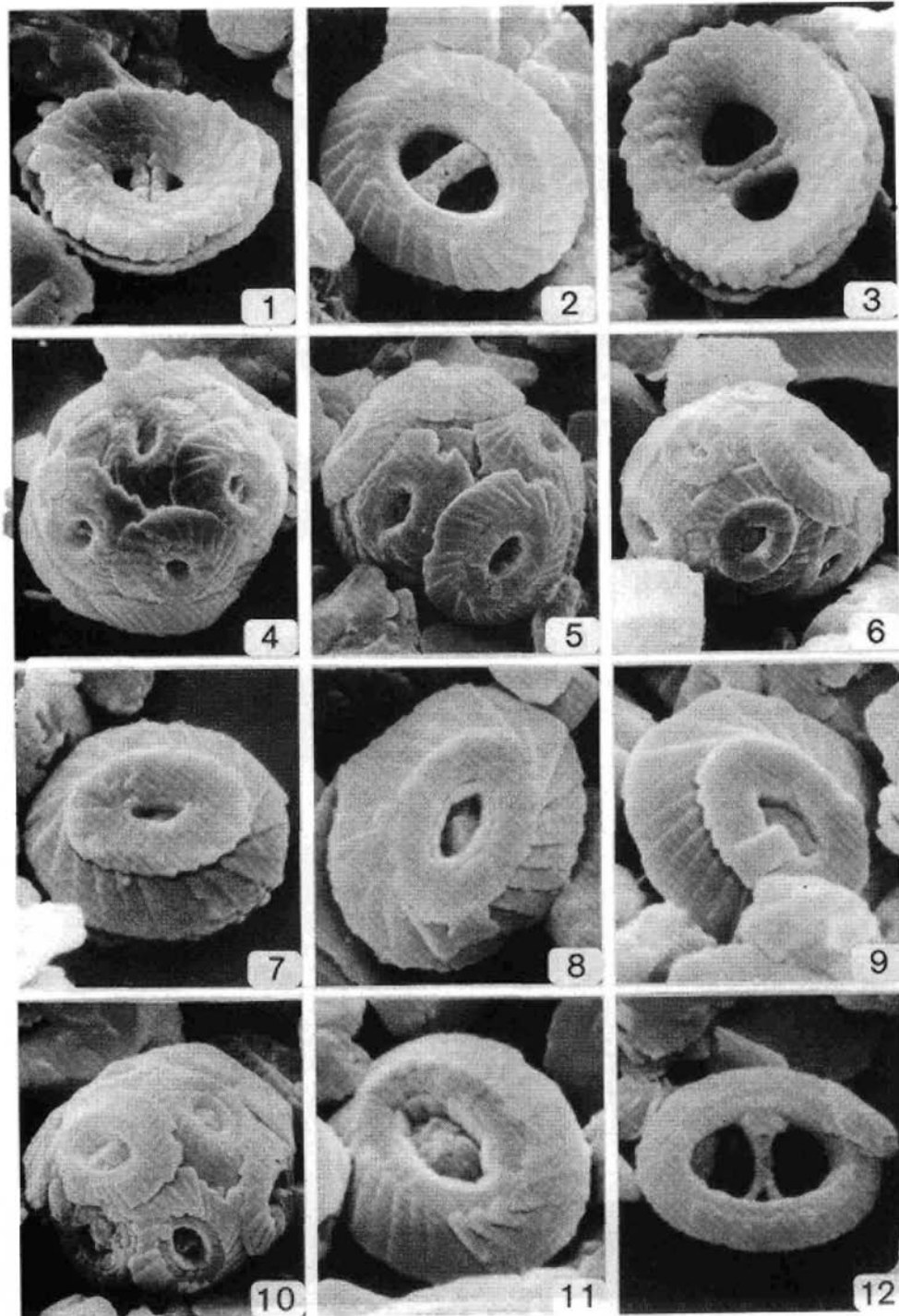
TAFEL 1

- Fig. 1, 2 *Biscutum dubium* (NOËL, 1965) GRÜN, 1974, emend. GRÜN & ZWEILI S. 245
1: Teil einer Coccosphäre, Distalansicht
Oxford, untere Renggeri-Tone (P 3)
Rasterelektronenmikrographie Nr. 890/6; 10.000x
2: Distale Seite
Oxford, untere Renggeri-Tone (P 3)
Rasterelektronenmikrographie Nr. 787/3; 12.500x
- Fig. 3, 4 *Biscutum erismatum* (WIND & WISE, 1976) GRÜN & ZWEILI, n. comb. S. 248
3: Teil einer Coccosphäre, Distalansicht
Oxford, untere Renggeri-Tone (P 3)
Rasterelektronenmikrographie Nr. 885/12; 6000x
4: Distale Seite
Callovien, untere Callovien-Tone (P 1)
Rasterelektronenmikrographie Nr. 850/4; 12.500x
- Fig. 5 *Sollasites horticus* (STRADNER, ADAMIKER & MARESCH, 1966) ČEPEK & HAY, 1969 S. 248
Distale Seite
Oxford, untere Renggeri-Tone (P 3)
Rasterelektronenmikrographie Nr. 885/8; 11.500x
- Fig. 6–8 *Sollasites lowei* (BUKRY, 1969) ROOD, HAY & BARNARD, 1971 S. 250
6: Proximale Seite
Oxford, untere Renggeri-Tone (P 3)
Rasterelektronenmikrographie Nr. 908/3; 13.000x
7: Distale Seite
Oxford, untere Renggeri-Tone (P 3)
Rasterelektronenmikrographie Nr. 891/12; 10.000x
8: Teil einer Coccosphäre, Distalansicht
Oxford, obere Renggeri-Tone (P 4)
Rasterelektronenmikrographie Nr. 1188/2; 7000x
- Fig. 9–11 *Discorhabdus patulus* (DEFLANDRE, 1955) NOËL, 1965 S. 251
9: Lateralansicht
Oxford, untere Renggeri-Tone (P 3)
Rasterelektronenmikrographie Nr. 786/8; 9500x
10: Schrägansicht der distalen Seite
Oxford, untere Renggeri-Tone (P 3)
Rasterelektronenmikrographie Nr. 786/9; 8000x
11: Schrägansicht der distalen Seite
Oxford, untere Renggeri-Tone (P 3)
Rasterelektronenmikrographie Nr. 1073/5; 7000x
- Fig. 12 *Ellipsagelosphaera britannica* (STRADNER, 1963) PERCH-NIELSEN, 1968 S. 252
12: Distale Seite
Callovien, mittlere Callovien-Tone (P 2)
Rasterelektronenmikrographie Nr. 793/1; 7000x



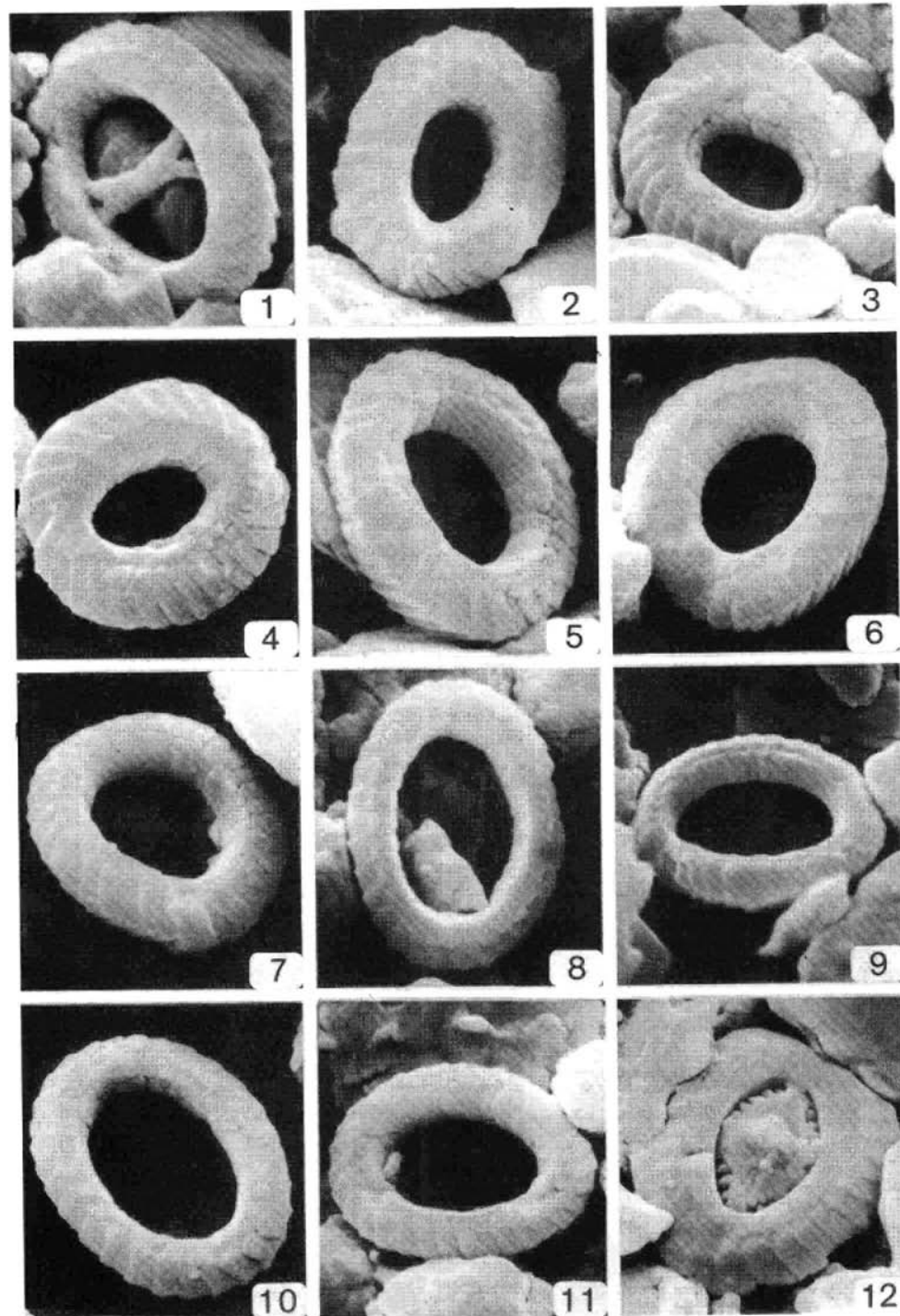
TAFEL 2

- Fig. 1-3 *Ellipsagelosphaera britannica* (STRADNER, 1963) PERCH-NIELSEN, 1968 S. 252
1: Schrägansicht der proximalen Seite
Callovien, mittlere Callovien-Tone (P 2)
Rasterelektronenmikrographie Nr. 793/2; 6500x
2: Distale Seite
Callovien, untere Callovien-Tone (P 1)
Rasterelektronenmikrographie Nr. 849/9; 7000x
3: Proximale Seite
Callovien, untere Callovien-Tone (P 1)
Rasterelektronenmikrographie Nr. 913/4; 8500x
- Fig. 4, 5 *Ellipsagelosphaera fossacincta* BLACK, 1971 S. 253
4: Coccosphäre
Callovien, untere Callovien-Tone (P 1)
Rasterelektronenmikrographie Nr. 923/3; 3500x
5: Coccosphäre
Callovien, untere Callovien-Tone (P 1)
Rasterelektronenmikrographie Nr. 849/11; 4000x
- Fig. 6-9 *Ellipsagelosphaera gresslyi* GRÜN & ZWEILI, n. sp. S. 255
6: Coccosphäre
Oxford, obere Renggeri-Tone (P 4)
Holotypus: Rasterlektronenmikrographie Nr. 1245/7; 4000x
7: Distale Seite
Oxford, obere Renggeri-Tone (P 4)
Rasterlektronenmikrographie Nr. 1246/11; 8500x
8: Distale Seite
Oxford, obere Renggeri-Tone (P 4)
Rasterlektronenmikrographie Nr. 934/5; 9500x
9: Distale Seite
Oxford, untere Renggeri-Tone (P 3)
Rasterlektronenmikrographie Nr. 885/5; 8500x
- Fig. 10, 11 *Ellipsagelosphaera plena* GRÜN & ZWEILI, n. sp. S. 256
10: Coccosphäre
Callovien, untere Callovien-Tone (P 1)
Holotypus: Rasterlektronenmikrographie Nr. 912/5; 4500x
11: Distale Seite
Callovien, mittlere Callovien-Tone (P 2)
Rasterlektronenmikrographie Nr. 872/12; 9000x
- Fig. 12 *Ellipsagelosphaera reinhardtii* (ROOD, HAY & BARNARD, 1971) NOËL, 1973 S. 257
12: Distale Seite
Oxford, obere Renggeri-Tone (P 4)
Rasterlektronenmikrographie Nr. 1279/1; 8500x



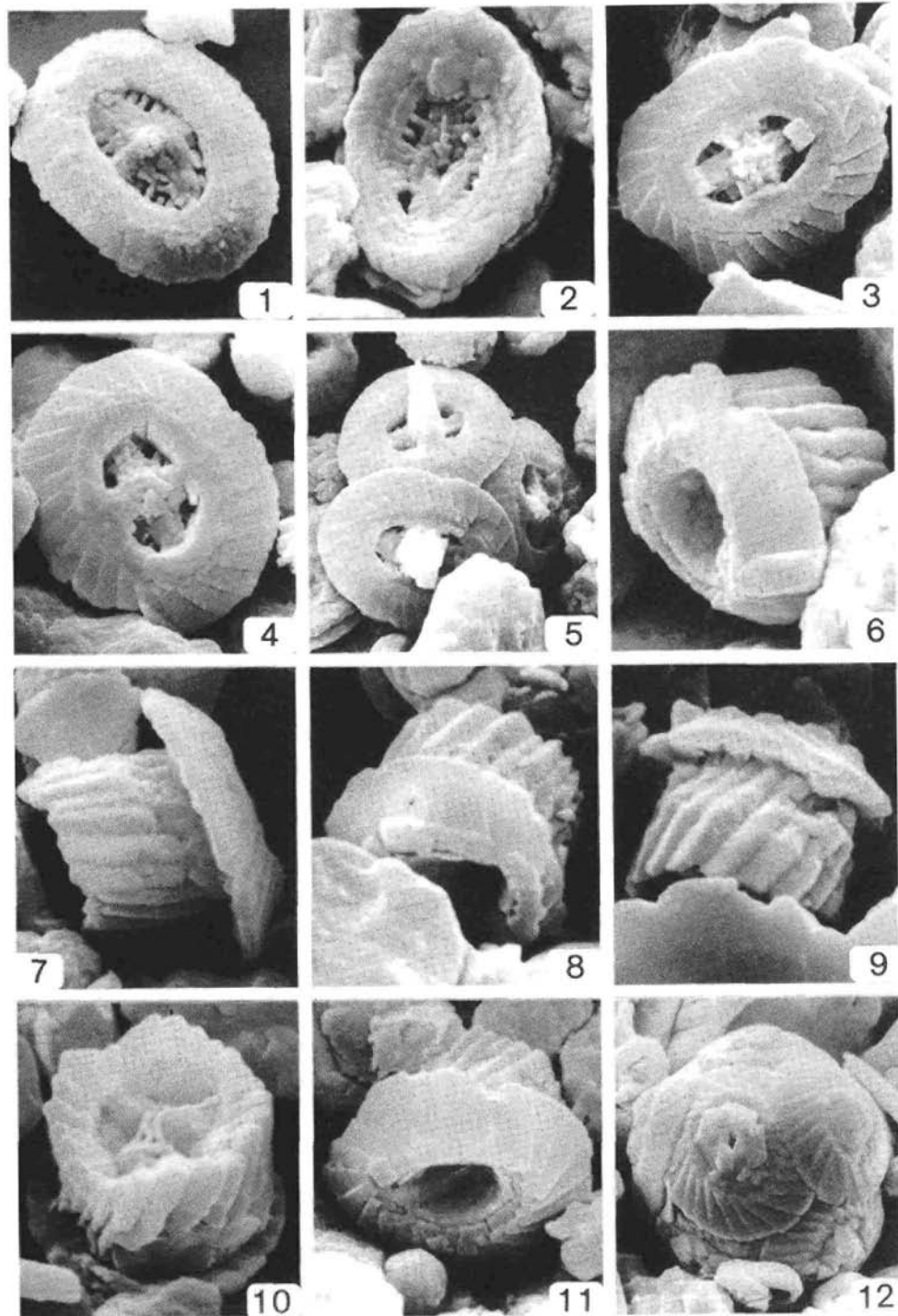
TAFEL 3

- Fig. 1 *Ellipsagelosphaera reinhardtii* (ROOD, HAY & BARNARD, 1971) NOËL, 1973 S. 257
 1: Distale Seite
 Oxford, untere Renggeri-Tone (P 3)
 Rasterelektronenmikrographie Nr. 905/4; 11.000x
- Fig. 2-4 *Ellipsagelosphaera ovata* (BUKRY, 1969) BLACK, 1973 S. 255
 2: Distale Seite
 Oxford, obere Renggeri-Tone (P 4)
 Rasterelektronenmikrographie Nr. 1279/7; 10.000x
 3: Distale Seite
 Oxford, untere Renggeri-Tone (P 3)
 Rasterelektronenmikrographie Nr. 898/12; 8500x
 4: Distale Seite
 Callovien, untere Callovien-Tone (P 1)
 Rasterelektronenmikrographie Nr. 1270/1; 9000x
- Fig. 5-7 *Ellipsagelosphaera ? tubulata* GRÜN & ZWEILI, n. sp. S. 258
 5: Schrägansicht der distalen Seite
 Callovien, untere Callovien-Tone (P 1)
 Holotypus: Rasterelektronenmikrographie Nr. 917/12; 9500x
 6: Schrägansicht der distalen Seite
 Oxford, untere Renggeri-Tone (P 3)
 Rasterelektronenmikrographie Nr. 1069/1; 7000x
 7: Schrägansicht der distalen Seite
 Callovien, untere Callovien-Tone (P 1)
 Rasterelektronenmikrographie Nr. 1270/3; 9000x
- Fig. 8-11 *Ellipsagelosphaera strigosa* GRÜN & ZWEILI, n. sp. S. 257
 8: Distale Seite
 Oxford, untere Renggeri-Tone (P 3)
 Holotypus: Rasterelektronenmikrographie Nr. 904/6; 9500x
 9: Schrägansicht der distalen Seite
 Oxford, obere Renggeri-Tone (P 4)
 Rasterelektronenmikrographie Nr. 934/12; 9000x
 10: Distale Seite
 Oxford, obere Renggeri-Tone (P 4)
 Rasterelektronenmikrographie Nr. 1253/12; 12.000x
 11: Distale Seite
 Oxford, untere Renggeri-Tone (P 3)
 Rasterelektronenmikrographie Nr. 910/12; 8000x
- Fig. 12 *Lotharingius sigillatus* (STRADNER, 1961) PRINS, 1974 S. 261
 12: Distale Seite
 Oxford, untere Renggeri-Tone (P 3)
 Rasterelektronenmikrographie Nr. 905/8; 7500x



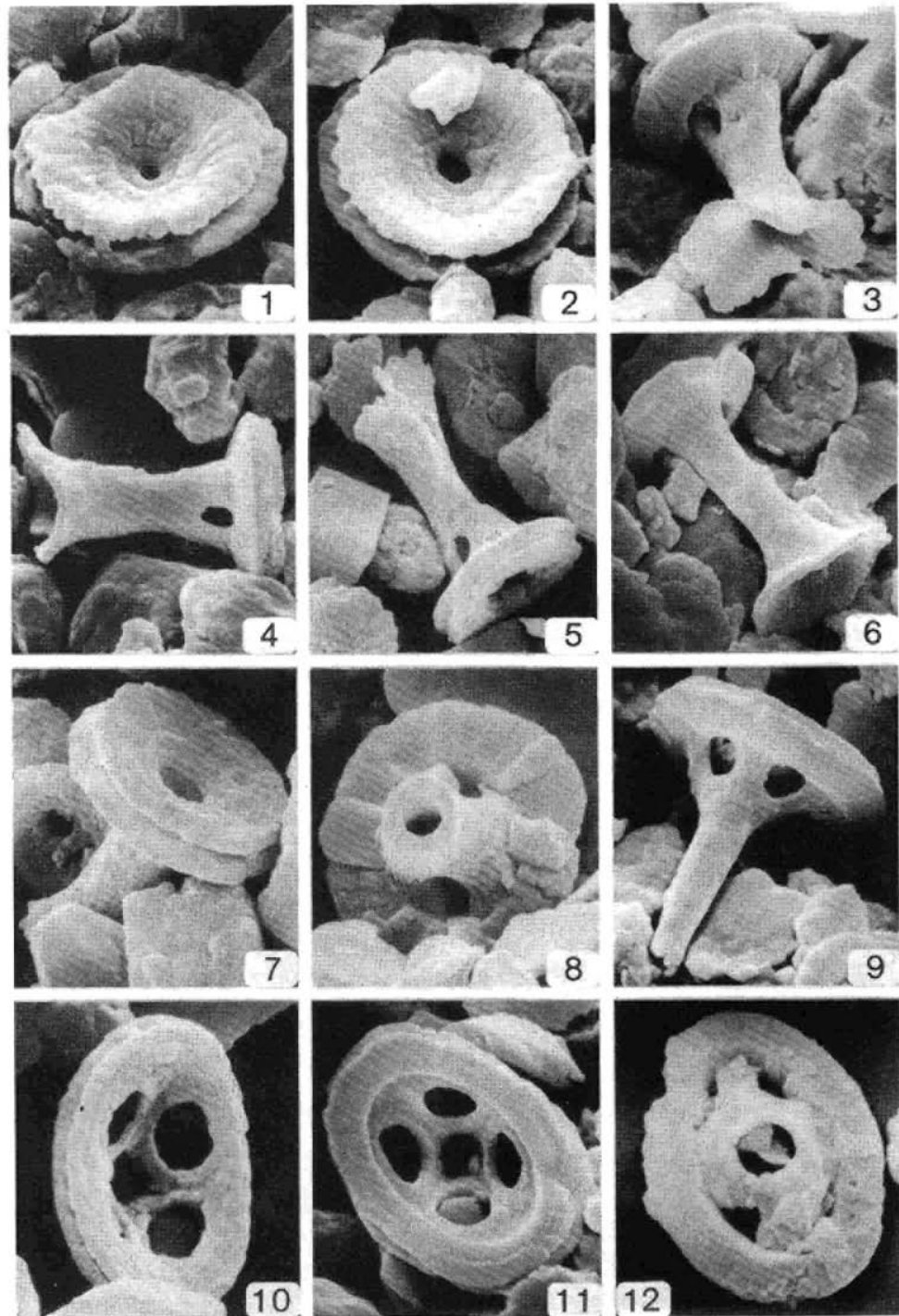
TAFEL 4

- Fig. 1, 2 *Lotharingius sigillatus* (STRADNER, 1961) PRINS, 1974 S. 261
1: Distale Seite
Oxford, obere Renggeri-Tone (P 4)
Rasterelektronenmikrographie Nr. 1188/1; 6000x
2: Proximale Seite
Callovien, mittlere Callovien-Tone (P 2)
Rasterelektronenmikrographie Nr. 872/5; 6500x
- Fig. 3–5 *Lotharingius crucicentralis* (MEDD, 1971) GRÜN & ZWEILI, n. comb. S. 259
3: Distale Seite
Oxford, obere Renggeri-Tone (P 4)
Rasterelektronenmikrographie Nr. 934/6; 5500x
4: Distale Seite
Oxford, obere Renggeri-Tone (P 4)
Rasterelektronenmikrographie Nr. 927/12; 6000x
5: Teil einer Coccosphäre, Distalansicht
Oxford, obere Renggeri-Tone (P 4)
Rasterelektronenmikrographie Nr. 1247/1; 4000x
- Fig. 6–11 *Ansulaspheara helvetica* GRÜN & ZWEILI, n. gen., n. sp. S. 261
6: Schrägansicht der distalen Seite
Callovien, untere Callovien-Tone (P 1)
Holotypus: Rasterlektronenmikrographie Nr. 794/7; 9500x
7: Lateralansicht
Callovien, untere Callovien-Tone (P 1)
Rasterlektronenmikrographie Nr. 912/8; 9000x
8: Schrägansicht der distalen Seite
Callovien, untere Callovien-Tone (P 1)
Rasterlektronenmikrographie Nr. 912/2; 10.000x
9: Lateralansicht
Callovien, untere Callovien-Tone (P 1)
Rasterlektronenmikrographie Nr. 918/2; 11.000x
10: Schrägansicht der proximalen Seite
Callovien, untere Callovien-Tone (P 1)
Rasterlektronenmikrographie Nr. 919/6; 9000x
11: Schrägansicht der distalen Seite
Callovien, untere Callovien-Tone (P 1)
Rasterlektronenmikrographie Nr. 919/4; 7500x
- Fig. 12 *Cyclagelosphaera margereli* NOËL, 1965 S. 262
12: Coccosphäre
Oxford, untere Renggeri-Tone (P 3)
Rasterlektronenmikrographie Nr. 888/5; 4500x



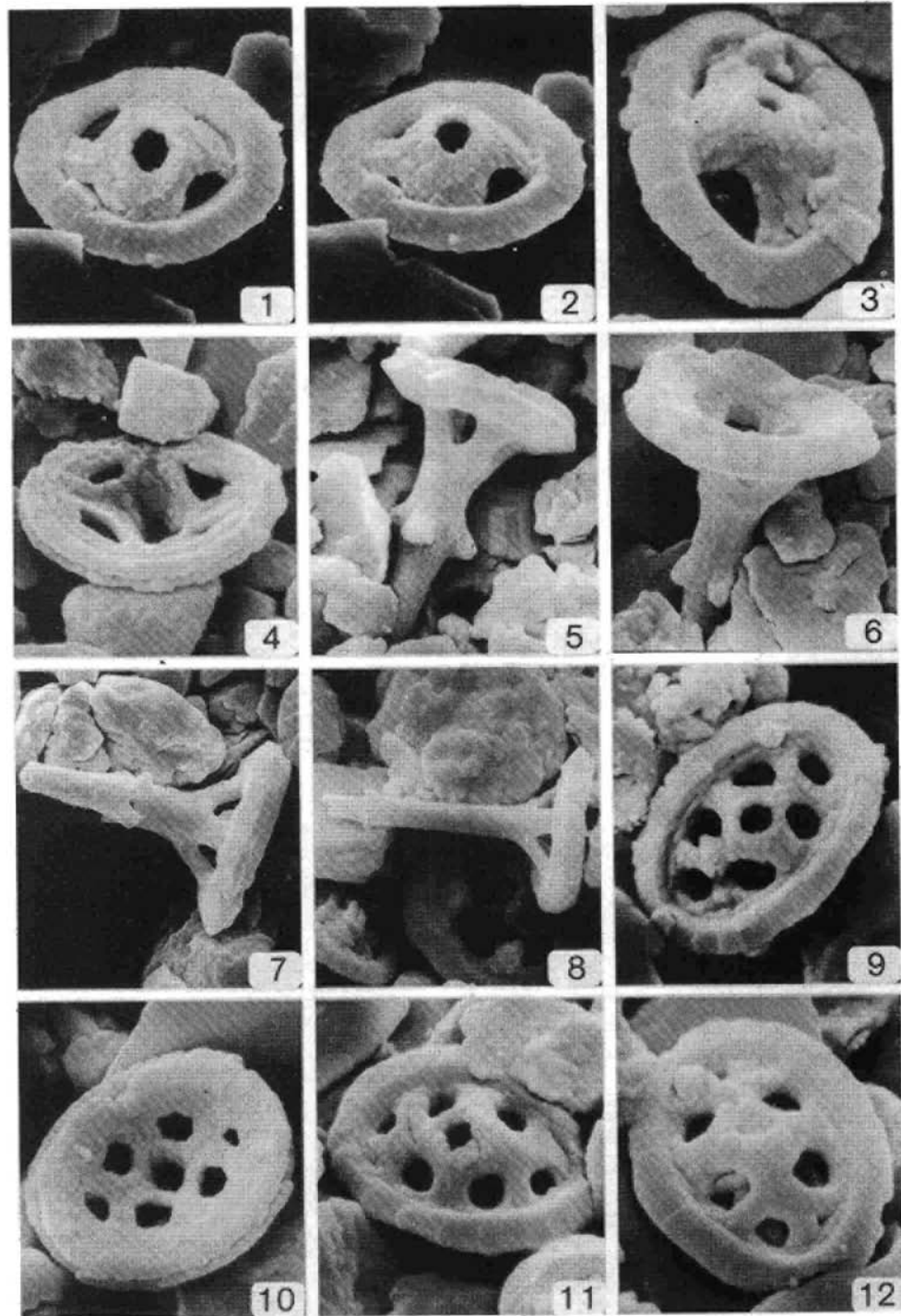
TAFEL 5

- Fig. 1, 2 *Cyclagelosphaera margereli* NOËL, 1965 S. 262
 1: Schrägansicht der proximalen Seite
 Callovien, untere Callovien-Tone (P 1)
 Rasterelektronenmikrographie Nr. 862/8; 4500x
 2: Proximale Seite
 Callovien, untere Callovien-Tone (P 1)
 Rasterelektronenmikrographie Nr. 911/2; 5000x
- Fig. 3–8 *Podorhabdus grassei* NOËL, 1965, emend. WIND & WISE, 1976 S. 264
 3: Schrägansicht der distalen Seite
 Oxford, untere Renggeri-Tone (P 3)
 Rasterelektronenmikrographie Nr. 840/11; 6000x
 4: Lateralansicht
 Oxford, obere Renggeri-Tone (P 4)
 Rasterelektronenmikrographie Nr. 927/7; 5500x
 5: Lateralansicht
 Oxford, untere Renggeri-Tone (P 3)
 Rasterelektronenmikrographie Nr. 841/1; 5000x
 6: Schrägansicht der distalen Seite
 Oxford, untere Renggeri-Tone (P 3)
 Rasterelektronenmikrographie Nr. 764/11; 5000x
 7: Schrägansicht der proximalen Seite
 Oxford, obere Renggeri-Tone (P 4)
 Rasterelektronenmikrographie Nr. 796/2; 7000x
 8: Distale Seite
 Oxford, untere Renggeri-Tone (P 3)
 Rasterelektronenmikrographie Nr. 978/9; 8000x
- Fig. 9–11 *Axopodorhabdus cylindratus* (NOËL, 1965) WIND & WISE, 1976 S. 265
 9: Schrägansicht der distalen Seite
 Oxford, untere Renggeri-Tone (P 3)
 Rasterelektronenmikrographie Nr. 904/4; 5500x
 10: Schrägansicht der proximalen Seite
 Callovien, untere Callovien-Tone (P 1)
 Rasterelektronenmikrographie Nr. 849/1; 8500x
 11: Proximale Seite
 Oxford, untere Renggeri-Tone (P 3)
 Rasterelektronenmikrographie Nr. 901/6; 6000x
- Fig. 12 *Axopodorhabdus depravatus* GRÜN & ZWEILI, n. sp. S. 266
 12: Distale Seite
 Oxford, obere Renggeri-Tone (P 4)
 Rasterelektronenmikrographie Nr. 1187/6; 7000x



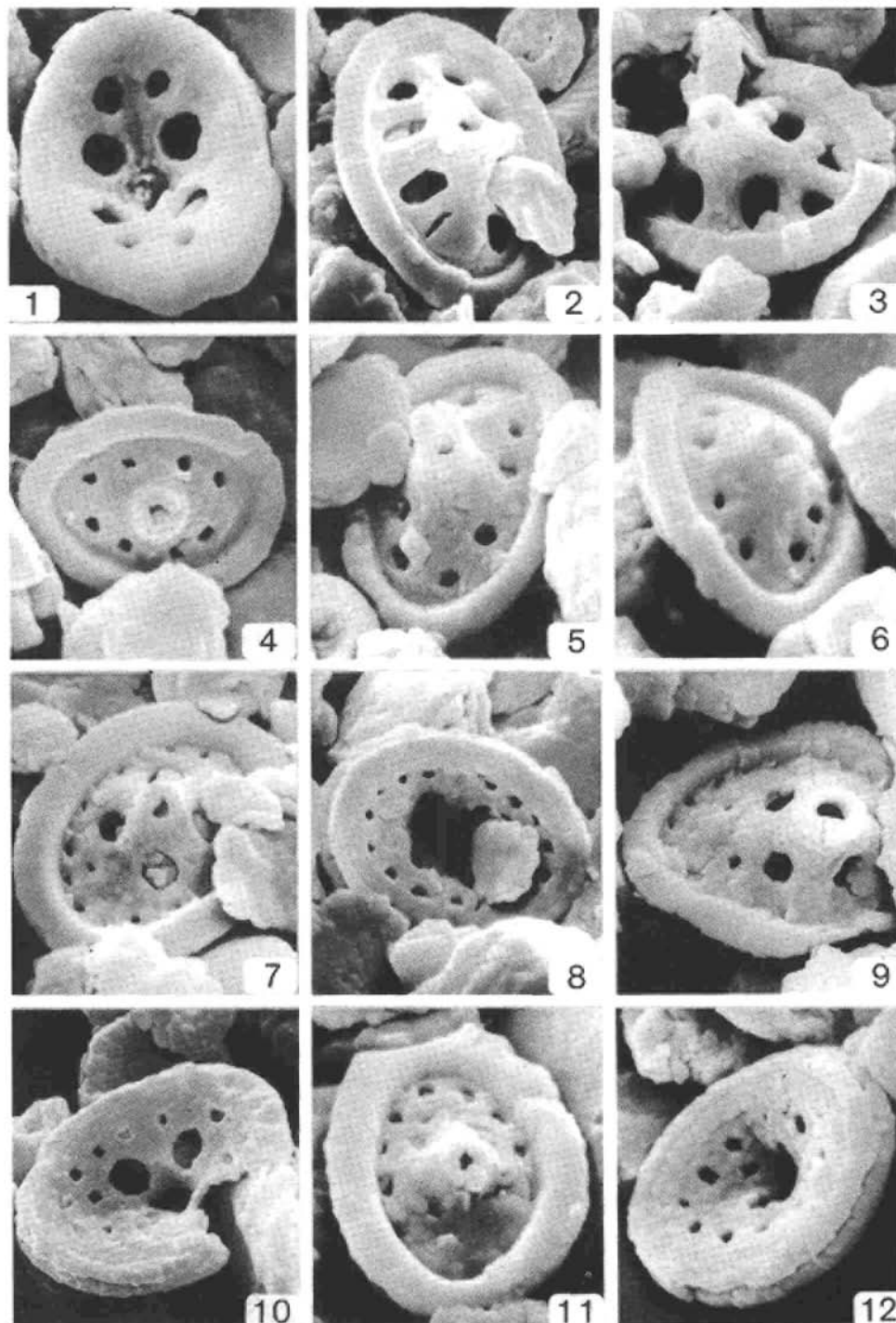
TAFEL 6

- Fig. 1–4 *Axopodorhabdus depravatus* GRÜN & ZWEILI, n. sp. S. 266
1: Distale Seite
Oxford, obere Renggeri-Tone (P 4)
Holotypus: Rasterelektronenmikrographie Nr. 1072/8; 6500x
2: Schrägansicht der distalen Seite
Dasselbe Exemplar wie Fig. 1
Holotypus: Rasterelektronenmikrographie Nr. 1072/9; 6500x
3: Schrägansicht der distalen Seite
Oxford, obere Renggeri-Tone (P 4)
Rasterelektronenmikrographie Nr. 1246/9; 7000x
4: Schrägansicht der proximalen Seite
Callovien, untere Callovien-Tone (P 1)
Rasterelektronenmikrographie Nr. 849/6; 7000x
- Fig. 5–8 *Axopodorhabdus rahla* (NOËL, 1965) GRÜN & ZWEILI, n. comb. S. 267
5: Lateralansicht
Oxford, untere Renggeri-Tone (P 3)
Rasterelektronenmikrographie Nr. 905/6; 4500x
6: Schrägansicht der proximalen Seite
Oxford, untere Renggeri-Tone (P 3)
Rasterelektronenmikrographie Nr. 787/7; 5500x
7: Lateralansicht
Oxford, untere Renggeri-Tone (P 3)
Rasterelektronenmikrographie Nr. 979/1; 4000x
8: Lateralansicht
Oxford, untere Renggeri-Tone (P 3)
Rasterelektronenmikrographie Nr. 905/7; 4000x
- Fig. 9–12 *Hexapodorhabdus cuvillieri* NOËL, 1965 S. 267
9: Distale Seite
Oxford, obere Renggeri-Tone (P 4)
Rasterelektronenmikrographie Nr. 1187/9; 8500x
10: Proximale Seite
Callovien, untere Callovien-Tone (P 1)
Rasterelektronenmikrographie Nr. 794/6; 9000x
11: Distale Seite
Oxford, untere Renggeri-Tone (P 3)
Rasterelektronenmikrographie Nr. 897/6; 7500x
12: Distale Seite
Oxford, untere Renggeri-Tone (P 3)
Rasterelektronenmikrographie Nr. 904/3; 8500x



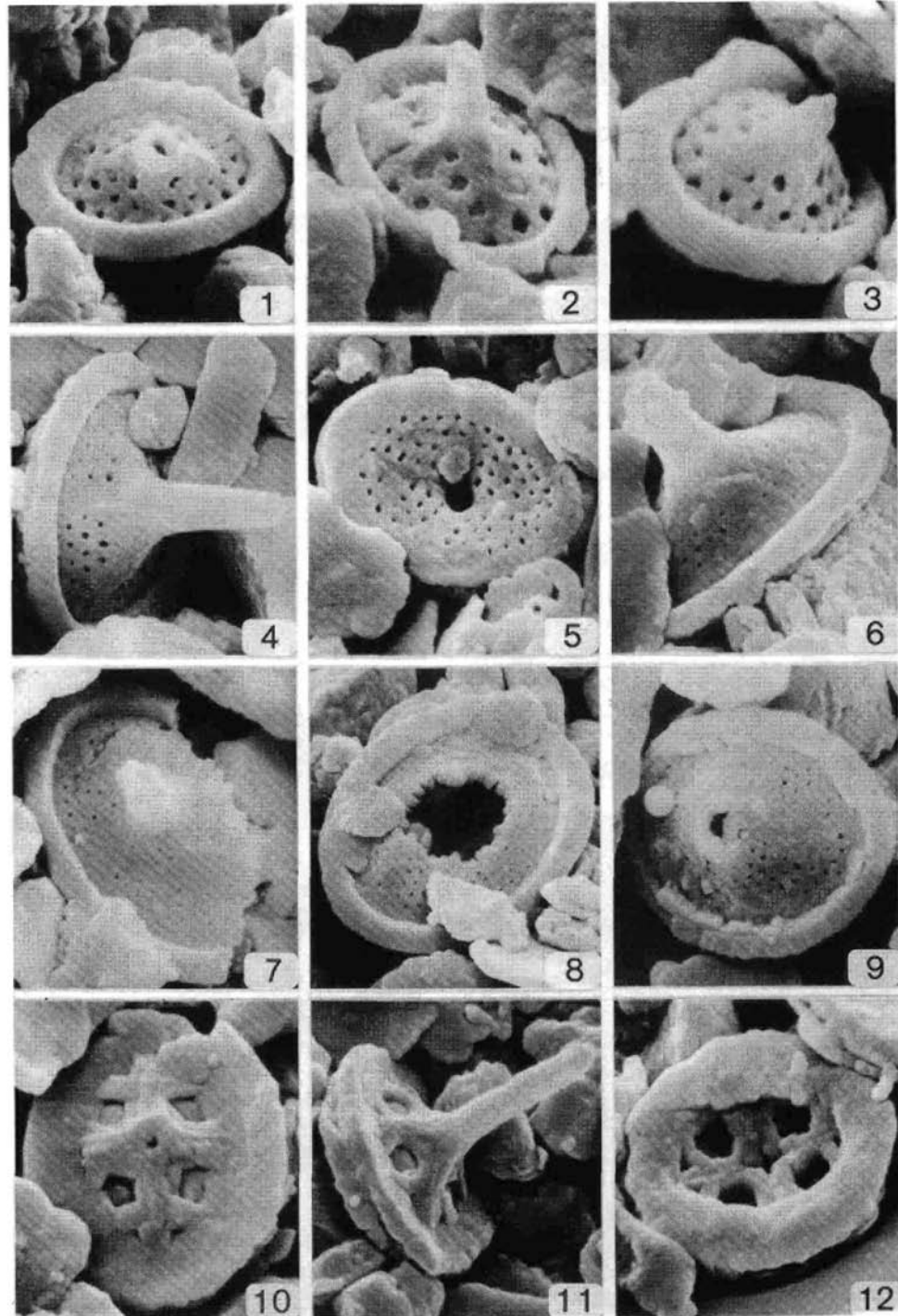
TAFEL 7

- Fig. 1-3 *Octopodorhabdus decussatus* (MANIVIT, 1961) ROOD, HAY & BARNARD, 1971 S. 268
- 1: Schrägansicht der proximalen Seite
Oxford, untere Renggeri-Tone (P 3)
Rasterelektronenmikrographie Nr. 1073/4; 7500x
- 2: Distale Seite
Oxford, untere Renggeri-Tone (P 3)
Rasterelektronenmikrographie Nr. 884/10; 5500x
- 3: Distale Seite
Oxford, untere Renggeri-Tone (P 3)
Rasterelektronenmikrographie Nr. 904/11; 7000x
- Fig. 4-6 *Octopodorhabdus oculisminutis* GRÜN & ZWEILI, n. sp S. 269
- 4: Distale Seite
Oxford, untere Renggeri-Tone (P 3)
Holotypus: Rasterelektronenmikrographie Nr. 823/10; 8500x
- 5: Distale Seite
Oxford, untere Renggeri-Tone (P 3)
Rasterelektronenmikrographie Nr. 991/4; 10.000x
- 6: Schrägansicht der distalen Seite
Oxford, untere Renggeri-Tone (P 3)
Rasterelektronenmikrographie Nr. 1147/9; 11.000x
- Fig. 7-10 *Perissocyclus liesbergensis* GRÜN & ZWEILI, n. sp S. 271
- 7: Distale Seite
Oxford, untere Renggeri-Tone (P 3)
Holotypus: Rasterelektronenmikrographie Nr. 892/12; 6000x
- 8: Proximale Seite
Oxford, untere Renggeri-Tone (P 3)
Rasterelektronenmikrographie Nr. 909/3; 6000x
- 9: Schrägansicht der distalen Seite
Oxford, obere Renggeri-Tone (P 4)
Rasterelektronenmikrographie Nr. 1253/11; 7000x
- 10: Schrägansicht der proximalen Seite
Oxford, obere Renggeri-Tone (P 4)
Rasterelektronenmikrographie Nr. 1279/3; 6500x
- Fig. 11, 12 *Perissocyclus fletcheri* BLACK, 1971 S. 271
- 11: Distale Seite
Oxford, untere Renggeri-Tone (P 3)
Rasterelektronenmikrographie Nr. 889/6; 11.000x
- 12: Schrägansicht der proximalen Seite
Oxford, obere Renggeri-Tone (P 4)
Rasterelektronenmikrographie Nr. 933/1; 9000x



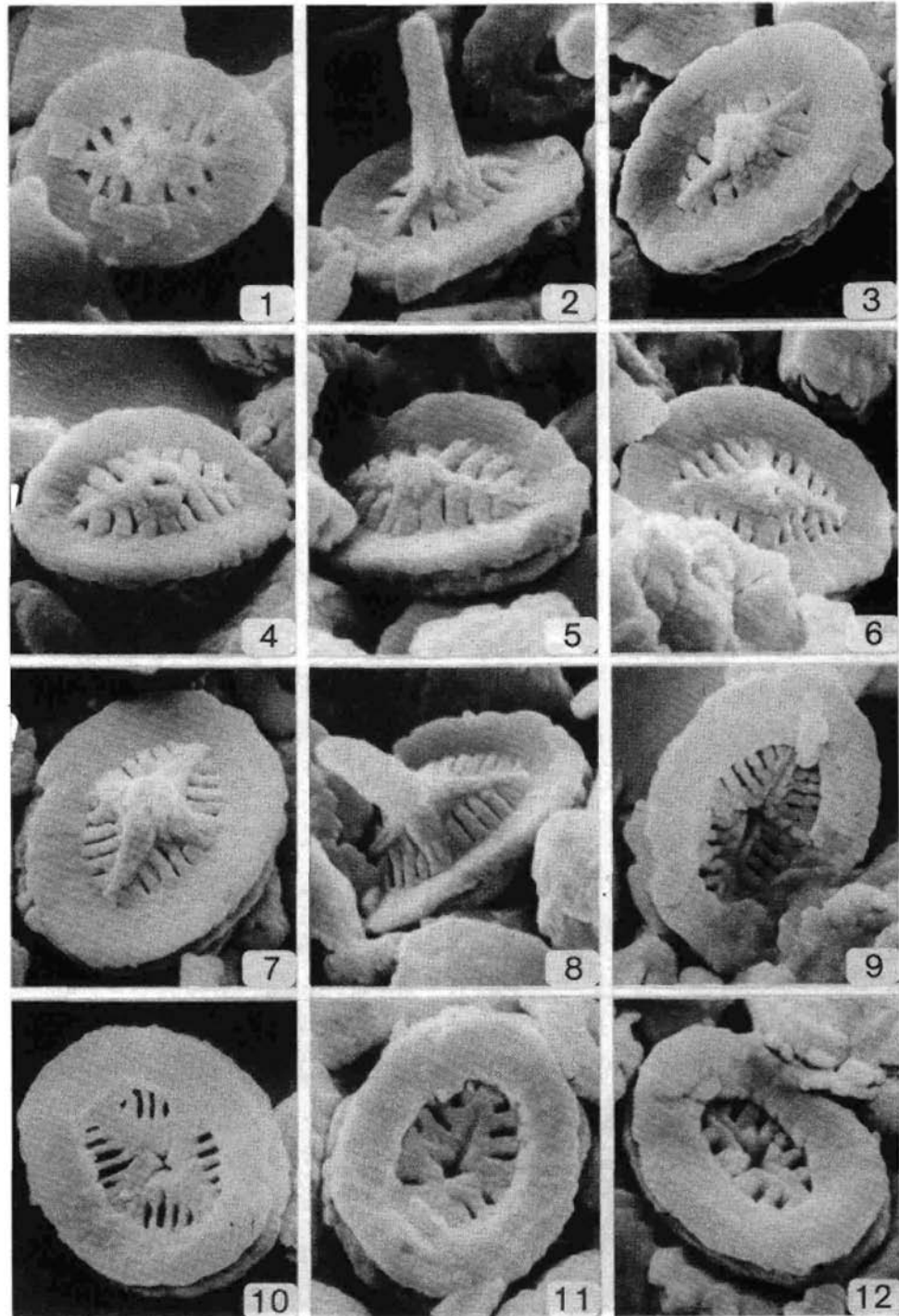
TAFEL 8

- Fig. 1–3 *Ethmorrhabdus anglicus* ROOD, HAY & BARNARD, 1971 S. 272
1: Distale Seite
Oxford, untere Renggeri-Tone (P 3)
Rasterelektronenmikrographie Nr. 884/9; 7500x
2: Schrägansicht der distalen Seite
Oxford, untere Renggeri-Tone (P 3)
Rasterelektronenmikrographie Nr. 888/1; 9500x
3: Schrägansicht der distalen Seite
Oxford, untere Renggeri-Tone (P 3)
Rasterelektronenmikrographie Nr. 1147/11; 11.000x
- Fig. 4, 5 *Ethmorrhabdus gallicus* NOËL, 1965 S. 272
4: Schrägansicht der distalen Seite
Oxford, untere Renggeri-Tone (P 3)
Rasterelektronenmikrographie Nr. 907/4; 6000x
5: Proximale Seite
Oxford, untere Renggeri-Tone (P 3)
Rasterelektronenmikrographie Nr. 887/7; 5500x
- Fig. 6–9 *Ethmorrhabdus rimosus* GRÜN & ZWEILI, n. sp. S. 273
6: Schrägansicht der distalen Seite
Oxford, untere Renggeri-Tone (P 3)
Holotypus : Rasterelektronenmikrographie Nr. 884/8; 5500x
7: Distale Seite
Oxford, untere Renggeri-Tone (P 3)
Rasterelektronenmikrographie Nr. 885/1; 6000x
8: Distale Seite
Oxford, untere Renggeri-Tone (P 3)
Rasterelektronenmikrographie Nr. 905/3; 4500x
9: Schrägansicht der distalen Seite
Oxford, obere Renggeri-Tone (P 4)
Rasterelektronenmikrographie Nr. 1245/8; 5500x
- Fig. 10–12 *Retecapsa schizobrachiata* (GARTNER, 1968) GRÜN, 1975 S. 273
10: Distale Seite
Oxford, untere Renggeri-Tone (P 3)
Rasterelektronenmikrographie Nr. 908/4; 9500x
11: Schrägansicht der distalen Seite
Oxford, untere Renggeri-Tone (P 3)
Rasterelektronenmikrographie Nr. 905/10; 8500x
12: Proximale Seite
Oxford, untere Renggeri-Tone (P 3)
Rasterelektronenmikrographie Nr. 978/6; 9000x



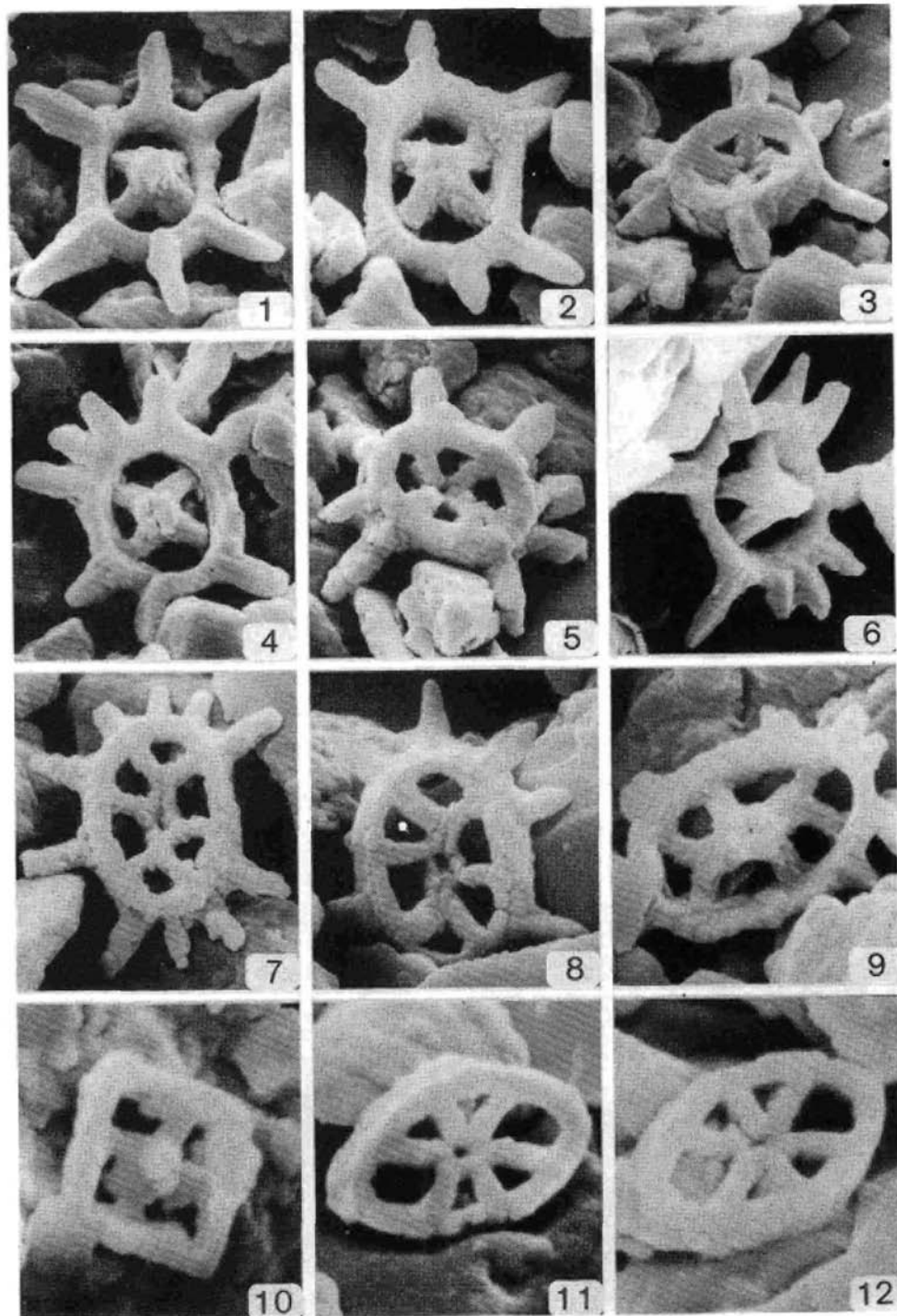
TAFEL 9

- Fig. 1-12 *Polypodorhabdus escaigi* NOËL, 1965 S. 275
- 1: Distale Seite
Oxford, obere Renggeri-Tone (P 4)
Rasterelektronenmikrographie Nr. 1279/4; 8500x
- 2: Schrägansicht der distalen Seite
Oxford, untere Renggeri-Tone (P 3)
Rasterelektronenmikrographie Nr. 893/3; 8500x
- 3: Schrägansicht der distalen Seite
Oxford, untere Renggeri-Tone (P 3)
Rasterelektronenmikrographie Nr. 977/7; 8500x
- 4: Schrägansicht der distalen Seite
Oxford, untere Renggeri-Tone (P 3)
Rasterelektronenmikrographie Nr. 977/10; 10.000x
- 5: Schrägansicht der distalen Seite
Oxford, untere Renggeri-Tone (P 3)
Rasterelektronenmikrographie Nr. 890/5; 9000x
- 6: Schrägansicht der distalen Seite
Oxford, untere Renggeri-Tone (P 3)
Rasterelektronenmikrographie Nr. 887/12; 7500x
- 7: Schrägansicht der distalen Seite
Oxford, untere Renggeri-Tone (P 3)
Rasterelektronenmikrographie Nr. 898/11; 7000x
- 8: Schrägansicht der distalen Seite
Oxford, untere Renggeri-Tone (P 3)
Rasterelektronenmikrographie Nr. 842/2; 8500x
- 9: Proximale Seite
Oxford, untere Renggeri-Tone (P 3)
Rasterelektronenmikrographie Nr. 977/9; 9500x
- 10: Schrägansicht der proximalen Seite
Oxford, untere Renggeri-Tone (P 3)
Rasterelektronenmikrographie Nr. 1073/3; 6000x
- 11: Schrägansicht der proximalen Seite
Oxford, untere Renggeri-Tone (P 3)
Rasterelektronenmikrographie Nr. 978/8; 9500x
- 12: Proximale Seite
Oxford, untere Renggeri-Tone (P 3)
Rasterelektronenmikrographie Nr. 978/10; 9500x



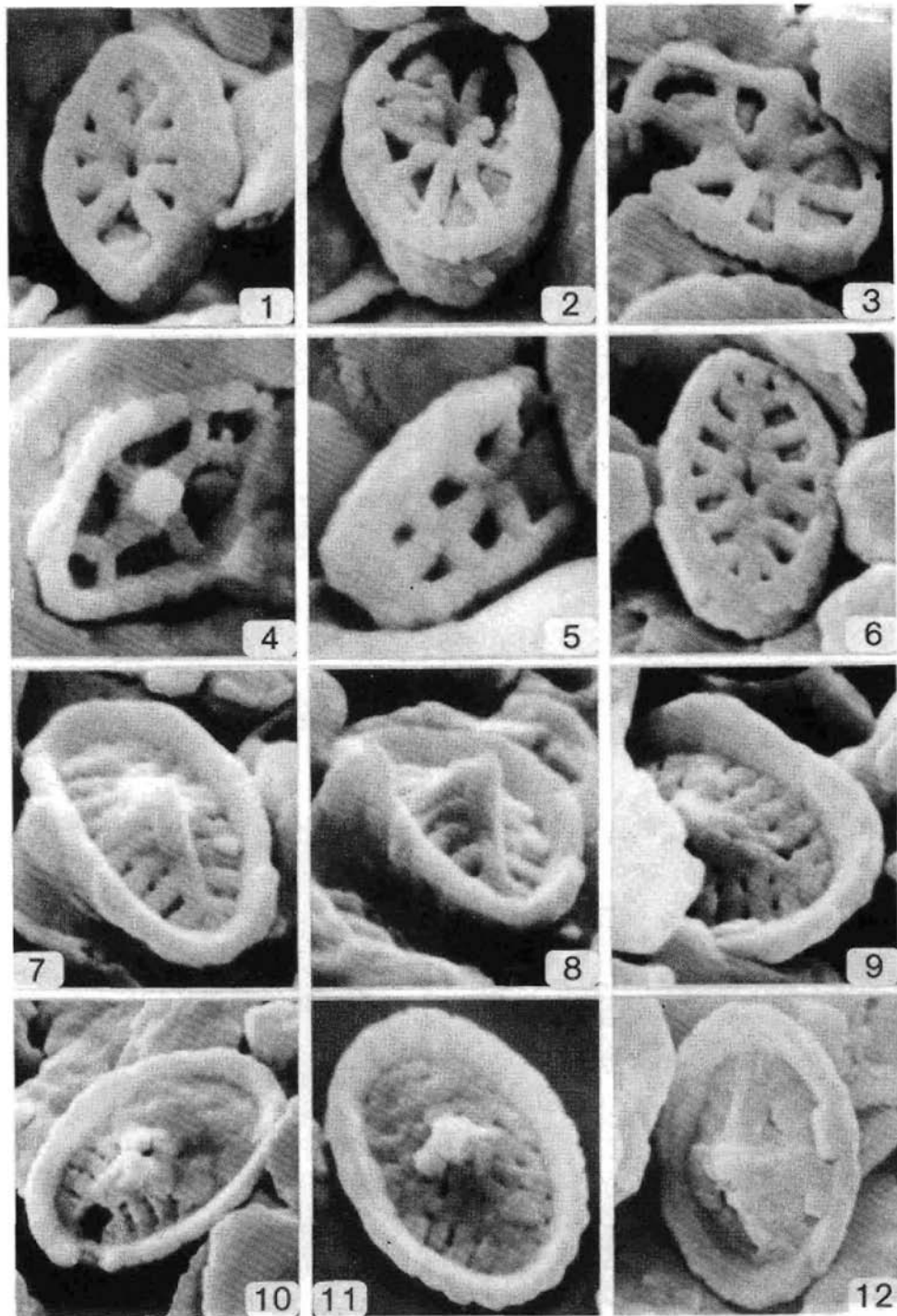
TAFEL 10

- Fig. 1–6 *Stephanolithion bigoti* DEFLANDRE, 1939 S. 276
 1: Schrägansicht der distalen Seite
 Oxford, untere Renggeri-Tone (P 3)
 Rasterelektronenmikrographie Nr. 840/8; 7500x
 2: Distale Seite
 Oxford, obere Renggeri-Tone (P 4)
 Rasterelektronenmikrographie Nr. 839/11; 6000x
 3: Schrägansicht der proximalen Seite
 Oxford, untere Renggeri-Tone (P 3)
 Rasterelektronenmikrographie Nr. 886/3; 6000x
 4: Distale Seite
 Oxford, untere Renggeri-Tone (P 3)
 Rasterelektronenmikrographie Nr. 840/10; 5000x
 5: Proximale Seite
 Oxford, untere Renggeri-Tone (P 3)
 Rasterelektronenmikrographie Nr. 899/1; 6500x
 6: Schrägansicht der distalen Seite
 Oxford, untere Renggeri-Tone (P 3)
 Rasterelektronenmikrographie Nr. 1073/2; 7500x
- Fig. 7–9 *Stephanolithion hexum* ROOD & BARNARD, 1972 S. 277
 7: Proximale Seite
 Callovien, untere Callovien-Tone (P 1)
 Rasterelektronenmikrographie Nr. 913/5; 7000x
 8: Proximale Seite
 Callovien, untere Callovien-Tone (P 1)
 Rasterelektronenmikrographie Nr. 793/10; 8500x
 9: Distale Seite
 Callovien, untere Callovien-Tone (P 1)
 Rasterelektronenmikrographie Nr. 849/3; 8500x
- Fig. 10 *Corollithion scutulatum* (MEDD, 1971) GRÜN & ZWEILI, n. comb. S. 281
 10: Distale Seite
 Oxford, untere Renggeri-Tone (P 3)
 Rasterelektronenmikrographie Nr. 1144/1; 17.500x
- Fig. 11, 12 *Corollithion geometricum* (GÓRKA, 1957) MANIVIT, 1971 S. 279
 11: Proximale Seite
 Oxford, untere Renggeri-Tone (P 3)
 Rasterelektronenmikrographie Nr. 904/1; 14.000x
 12: Proximale Seite
 Oxford, untere Renggeri-Tone (P 3)
 Rasterelektronenmikrographie Nr. 823/3; 15.500x



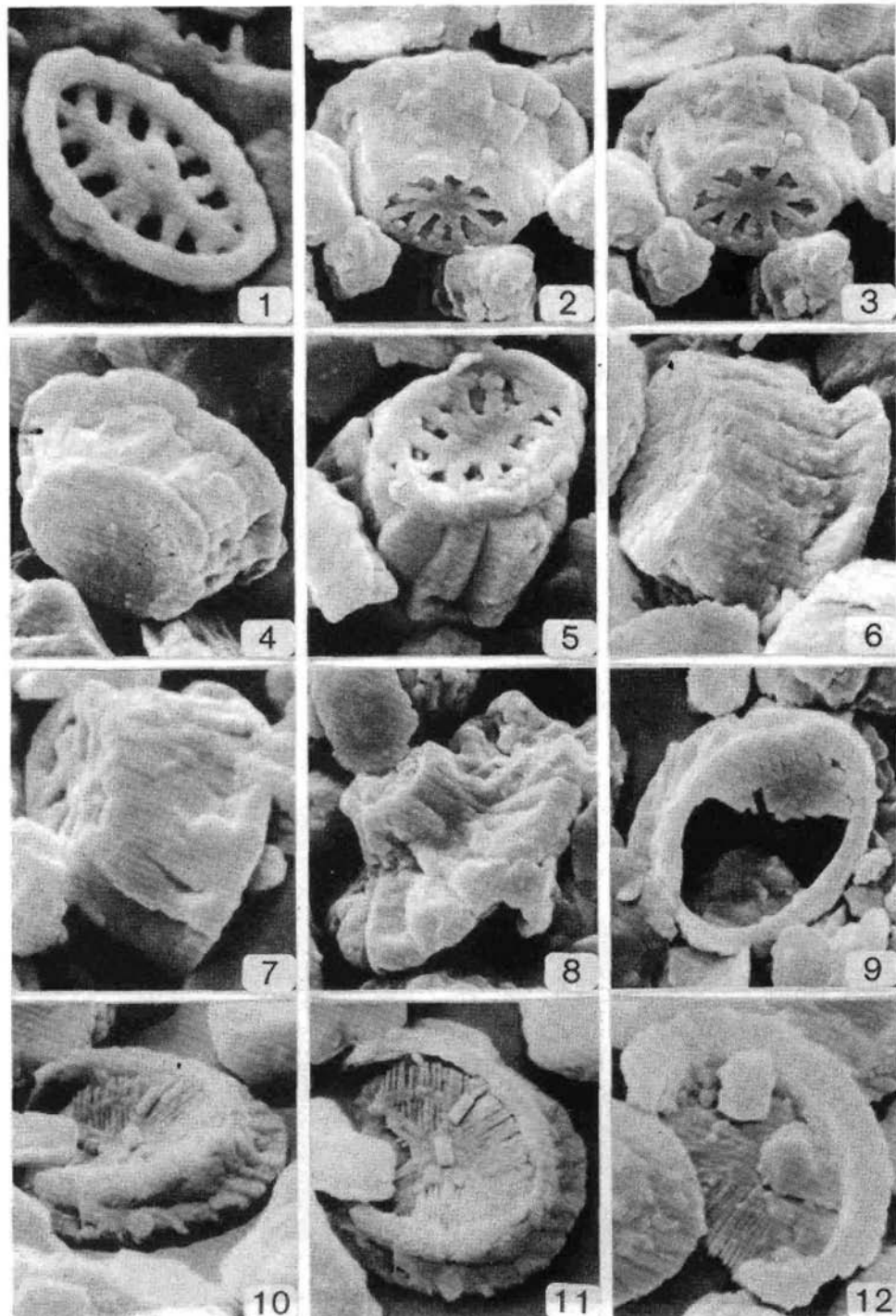
TAFEL 11

- Fig. 1 *Corollithion fragilis* (ROOD & BARNARD, 1972) WIND & WISE, 1976 S. 279
1: Proximale Seite
Oxford, untere Renggeri-Tone (P 3)
Rasterelektronenmikrographie Nr. 898/10; 15.000x
- Fig. 2 *Corollithion radians* (NOËL, 1973) GRÜN & ZWEILI, n. comb. S. 280
2: Proximale Seite
Oxford, untere Renggeri-Tone (P 3)
Rasterelektronenmikrographie Nr. 891/8; 13.000x
- Fig. 3 *Corollithion asymmetricum* (ROOD, HAY & BARNARD, 1971) GRÜN & ZWEILI, n. comb. S. 278
3: Schrägansicht der proximalen Seite
Oxford, untere Renggeri-Tone (P 3)
Rasterelektronenmikrographie Nr. 892/10; 13.000x
- Fig. 4 *Rhombolithion bifurcatum* (NOËL, 1973) GRÜN & ZWEILI, n. comb. S. 282
4: Distale Seite
Oxford, untere Renggeri-Tone (P 3)
Rasterelektronenmikrographie Nr. 889/10; 17.500x
- Fig. 5 *Stradnerlithus pauciramosus* BLACK, 1973 S. 283
5: Proximale Seite
Oxford, untere Renggeri-Tone (P 3)
Rasterelektronenmikrographie Nr. 908/11; 22.000x
- Fig. 6 *Stradnerlithus comptus* BLACK, 1971 S. 283
6: Proximale Seite
Oxford, untere Renggeri-Tone (P 3)
Rasterelektronenmikrographie Nr. 907/8; 14.500x
- Fig. 7-12 *Tburrmannolithion datratum* GRÜN & ZWEILI, n. gen., n. sp. S. 284
7: Schrägansicht der distalen Seite
Oxford, untere Renggeri-Tone (P 3)
Holotypus: Rasterelektronenmikrographie Nr. 909/4; 13.500x
8: Schrägansicht der distalen Seite
Dasselbe Exemplar wie Fig. 7
Holotypus: Rasterelektronenmikrographie Nr. 909/5; 13.500x
9: Distale Seite
Oxford, untere Renggeri-Tone (P 3)
Rasterelektronenmikrographie Nr. 884/11; 13.500x
10: Distale Seite
Oxford, untere Renggeri-Tone (P 3)
Rasterelektronenmikrographie Nr. 892/5; 9500x
11: Distale Seite
Callovien, untere Callovien-Tone (P 1)
Rasterelektronenmikrographie Nr. 916/4; 13.000x
12: Distale Seite
Oxford, untere Renggeri-Tone (P 3)
Rasterelektronenmikrographie Nr. 891/7; 10.500x



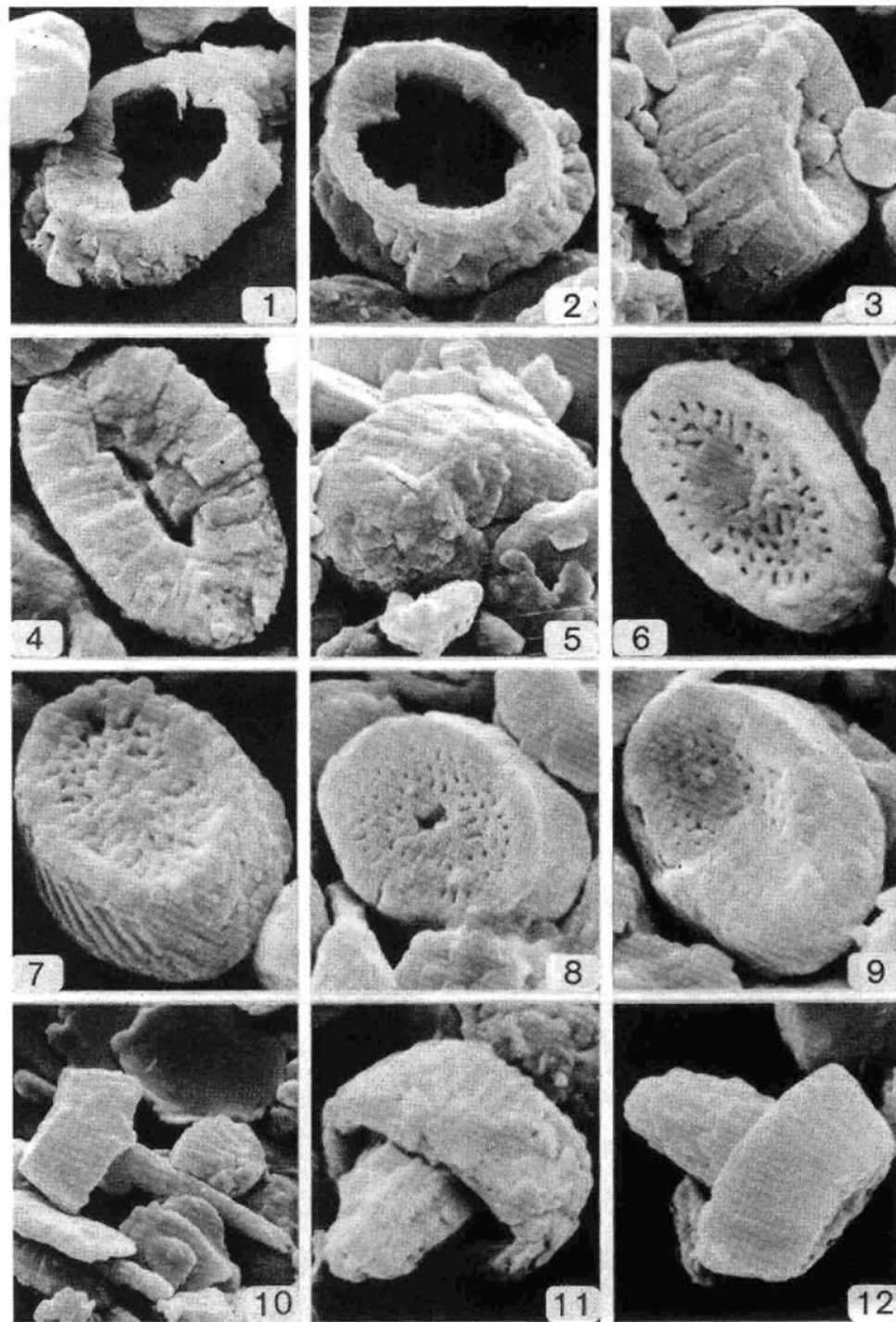
TAFEL 12

- Fig. 1 *Stradnerlitbus comptus* BLACK, 1971 S. 283
1: Distale Seite
Oxford, untere Renggeri-Tone (P 3)
Rasterelektronenmikrographie Nr. 840/12; 14.000x
- Fig. 2-4 *Calculus subcircularis* GRÜN & ZWEILI, n. sp. S. 287
2: Schrägansicht der proximalen Seite
Oxford, untere Renggeri-Tone (P 3)
Holotypus: Rasterlektronenmikrographie Nr. 902/1; 6500x
3: Schrägansicht der proximalen Seite
Dasselbe Exemplar wie Fig. 2
Holotypus: Rasterlektronenmikrographie Nr. 902/2; 6500x
4: Schrägansicht der proximalen Seite
Oxford, obere Renggeri-Tone (P 4)
Rasterlektronenmikrographie Nr. 1245/11; 6000x
- Fig. 5-7 *Calculus elongatus* GRÜN & ZWEILI, n. sp. S. 286
5: Schrägansicht der proximalen Seite
Oxford, untere Renggeri-Tone (P 3)
Holotypus: Rasterlektronenmikrographie Nr. 902/11; 9500x
6: Schrägansicht der proximalen Seite
Oxford, obere Renggeri-Tone (P 4)
Rasterlektronenmikrographie Nr. 1253/4; 8000x
7: Schrägansicht der proximalen Seite
Oxford, untere Renggeri-Tone (P 3)
Rasterlektronenmikrographie Nr. 909/7; 9500x
- Fig. 8 *Calculus?* sp. S. 287
8: Schrägansicht der proximalen Seite
Oxford, untere Renggeri-Tone (P 3)
Rasterlektronenmikrographie Nr. 897/1; 6000x
- Fig. 9-12 *Proculithus expansus* MEDD, 1979 S. 288
9: Proximale Seite
Oxford, untere Renggeri-Tone (P 3)
Rasterlektronenmikrographie Nr. 1144/3; 6000x
10: Schrägansicht der proximalen Seite
Oxford, obere Renggeri-Tone (P 4)
Rasterlektronenmikrographie Nr. 1247/8; 6500x
11: Proximale Seite
Dasselbe Exemplar wie Fig. 10
Rasterlektronenmikrographie Nr. 1247/5; 6500x
12: Schrägansicht der distalen Seite
Oxford, obere Renggeri-Tone (P 4)
Rasterlektronenmikrographie Nr. 1278/10; 7000x



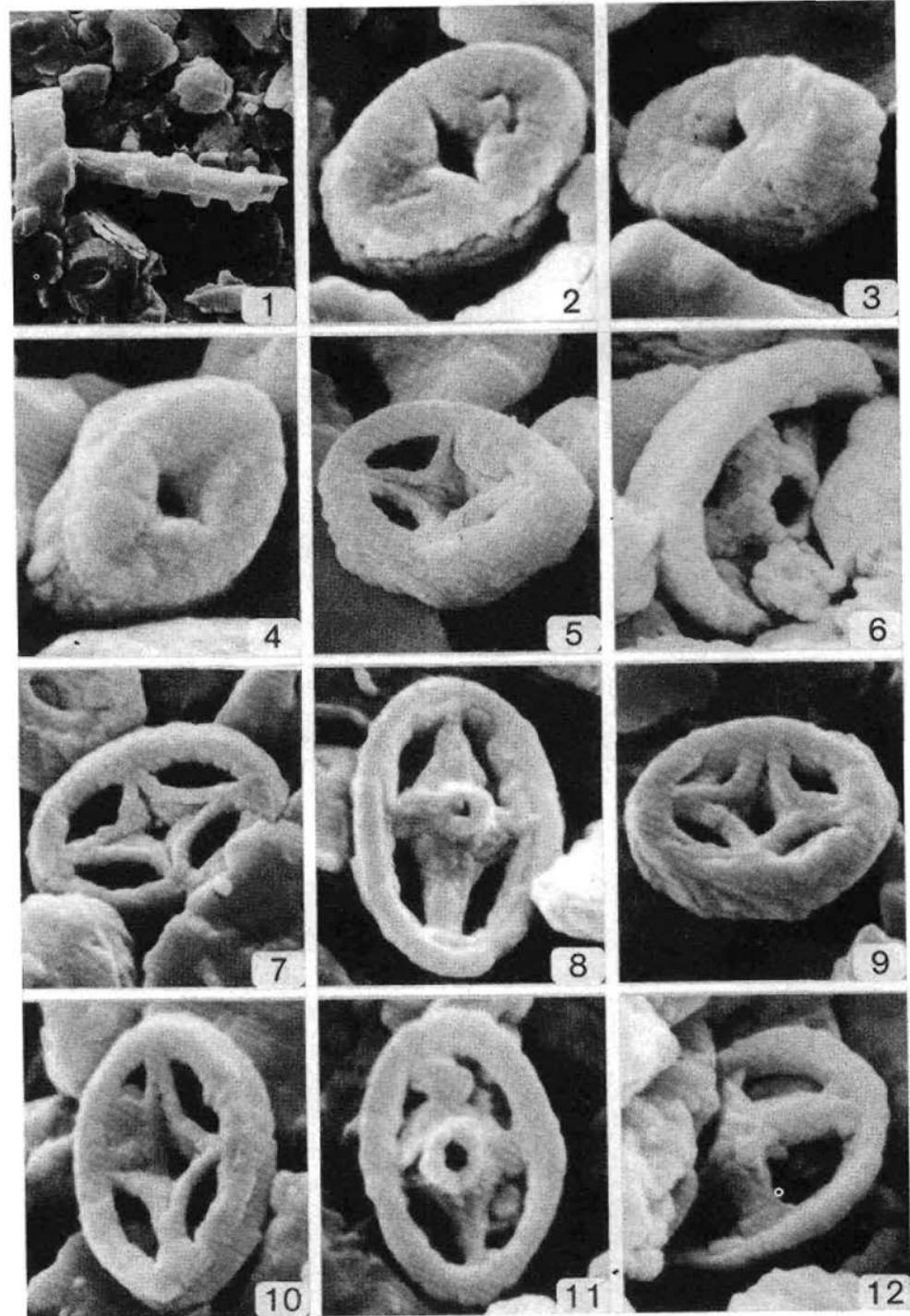
TAFEL 13

- Fig. 1, 2 *Proculithus expansus* MEDD, 1979 S. 288
1: Schrägansicht der proximalen Seite
Oxford, obere Renggeri-Tone (P 4)
Rasterelektronenmikrographie Nr. 1206/9; 5500x
2: Schrägansicht der proximalen Seite
Oxford, obere Renggeri-Tone (P 4)
Rasterelektronenmikrographie Nr. 932/5; 6000x
- Fig. 3–5 *Crepidolithus crassus* (DEFLANDRE, 1955) NOËL, 1965 S. 289
3: Schrägansicht der proximalen Seite
Callovien, untere Callovien-Tone (P 1)
Rasterelektronenmikrographie Nr. 872/2; 6000x
4: Distale Scite
Oxford, obere Renggeri-Tone (P 4)
Rasterelektronenmikrographie Nr. 1187/12; 7500x
5: Schrägansicht der proximalen Seite
Oxford, untere Renggeri-Tone (P 3)
Rasterelektronenmikrographie Nr. 905/12; 5500x
- Fig. 6–9 *Crepidolithus perforatus* (MEDD, 1979) GRÜN & ZWEILI, n. comb. S. 289
6: Proximale Seite
Oxford, obere Renggeri-Tone (P 4)
Rasterelektronenmikrographie Nr. 1188/6; 11.000x
7: Schrägansicht der proximalen Seite
Oxford, obere Renggeri-Tone (P 4)
Rasterelektronenmikrographie Nr. 933/3; 10.000x
8: Proximale Seite
Oxford, untere Renggeri-Tone (P 3)
Rasterelektronenmikrographie Nr. 907/7; 8500x
9: Proximale Seite
Oxford, untere Renggeri-Tone (P 3)
Rasterelektronenmikrographie Nr. 907/2; 9500x
- Fig. 10 *Parababdolithus liasicus* DEFLANDRE, 1952 S. 290
10: Lateralansicht
Oxford, untere Renggeri-Tone (P 3)
Rasterelektronenmikrographie Nr. 899/6; 4000x
- Fig. 11, 12 *Parababdolithus marthae* DEFLANDRE, 1955 S. 290
11: Schrägansicht der distalen Seite
Oxford, obere Renggeri-Tone (P 4)
Rasterelektronenmikrographie Nr. 1246/2; 10.500x
12: Lateralansicht
Oxford, obere Renggeri-Tone (P 4)
Rasterelektronenmikrographie Nr. 1187/8; 6000x



TAFEL 14

- Fig. 1 *Parhabdolithus pseudobelgicus* MEDD, 1979 S. 291
1: Lateralansicht
Oxford, untere Renggeri-Tone (P 3)
Rasterelektronenmikrographie Nr. 978/2; 3500x
- Fig. 2–4 *Parhabdolithus rhombicus* (GRÜN, PRINS & ZWEILI, 1974) GRÜN & ZWEILI, n. comb. S. 291
2: Proximale Seite
Oxford, untere Renggeri-Tone (P 3)
Rasterelektronenmikrographie Nr. 979/2; 17.000x
3: Schrägansicht der proximalen Seite
Oxford, untere Renggeri-Tone (P 3)
Rasterelektronenmikrographie Nr. 991/9; 15.000x
4: Schrägansicht der proximalen Seite
Oxford, untere Renggeri-Tone (P 3)
Rasterelektronenmikrographie Nr. 991/5; 17.000x
- Fig. 5, 6 *Vekshinella magna* (MEDD, 1979) GRÜN & ZWEILI, n. comb. S. 294
5: Schrägansicht der proximalen Seite
Oxford, obere Renggeri-Tone (P 4)
Rasterelektronenmikrographie Nr. 796/12; 6500x
6: Schrägansicht der distalen Seite
Oxford, obere Renggeri-Tone (P 4)
Rasterelektronenmikrographie Nr. 934/8; 9500x
- Fig. 7–11 *Vekshinella quadriarcilla* (NOËL, 1965) ROOD, HAY & BARNARD, 1971 S. 294
7: Proximale Seite
Oxford, untere Renggeri-Tone (P 3)
Rasterelektronenmikrographie Nr. 907/10; 10.000x
8: Distale Seite
Oxford, untere Renggeri-Tone (P 3)
Rasterelektronenmikrographie Nr. 840/7; 13.500x
9: Schrägansicht der proximalen Seite
Oxford, untere Renggeri-Tone (P 3)
Rasterelektronenmikrographie Nr. 902/4; 11.000x
10: Schrägansicht der proximalen Seite
Oxford, untere Renggeri-Tone (P 3)
Rasterelektronenmikrographie Nr. 886/9; 11.000x
11: Distale Seite
Oxford, untere Renggeri-Tone (P 3)
Rasterelektronenmikrographie Nr. 885/10; 13.000x
- Fig. 12 *Vekshinella dibrachiata* GARTNER, 1968 S. 291
12: Distale Seite
Oxford, untere Renggeri-Tone (P 3)
Rasterelektronenmikrographie Nr. 910/2; 12.500x



TAFEL 15

Fig. 1-5 *Vekshinella dibrachiata* GARTNER, 1968 S. 291

1: Proximale Seite

Oxford, untere Renggeri-Tone (P 3)

Rasterelektronenmikrographie Nr. 888/11; 15.000x

2: Proximale Seite

Oxford, untere Renggeri-Tone (P 3)

Rasterelektronenmikrographie Nr. 908/8; 15.500x

3: Schrägansicht der proximalen Seite

Oxford, untere Renggeri-Tone (P 3)

Rasterelektronenmikrographie Nr. 884/12; 13.000x

4: Schrägansicht der proximalen Seite

Oxford, untere Renggeri-Tone (P 3)

Rasterelektronenmikrographie Nr. 787/12; 13.500x

5: Distale Seite

Oxford, untere Renggeri-Tone (P 3)

Rasterelektronenmikrographie Nr. 891/3; 16.000x

Fig. 6-8 *Zeugrhabdotus erectus* (DEFLANDRE, 1955) REINHARDT, 1965 S. 295

6: Schrägansicht der proximalen Seite

Oxford, untere Renggeri-Tone (P 3)

Rasterelektronenmikrographie Nr. 908/6; 10.000x

7: Schrägansicht der proximalen Seite

Callovien, untere Callovien-Tone (P 1)

Rasterelektronenmikrographie Nr. 850/1; 12.500x

8: Schrägansicht der proximalen Seite

Oxford, untere Renggeri-Tone (P 3)

Rasterelektronenmikrographie Nr. 897/2; 11.500x

Fig. 9-12 *Zeugrhabdotus ?fissus* GRÜN & ZWEILL, n. sp. S. 296

9: Proximale Seite

Oxford, untere Renggeri-Tone (P 3)

Holotypus: Rasterelektronenmikrographie Nr. 839/12; 12.500x

10: Proximale Seite

Oxford, untere Renggeri-Tone (P 3)

Rasterelektronenmikrographie Nr. 1288/6; 13.500x

11: Proximale Seite

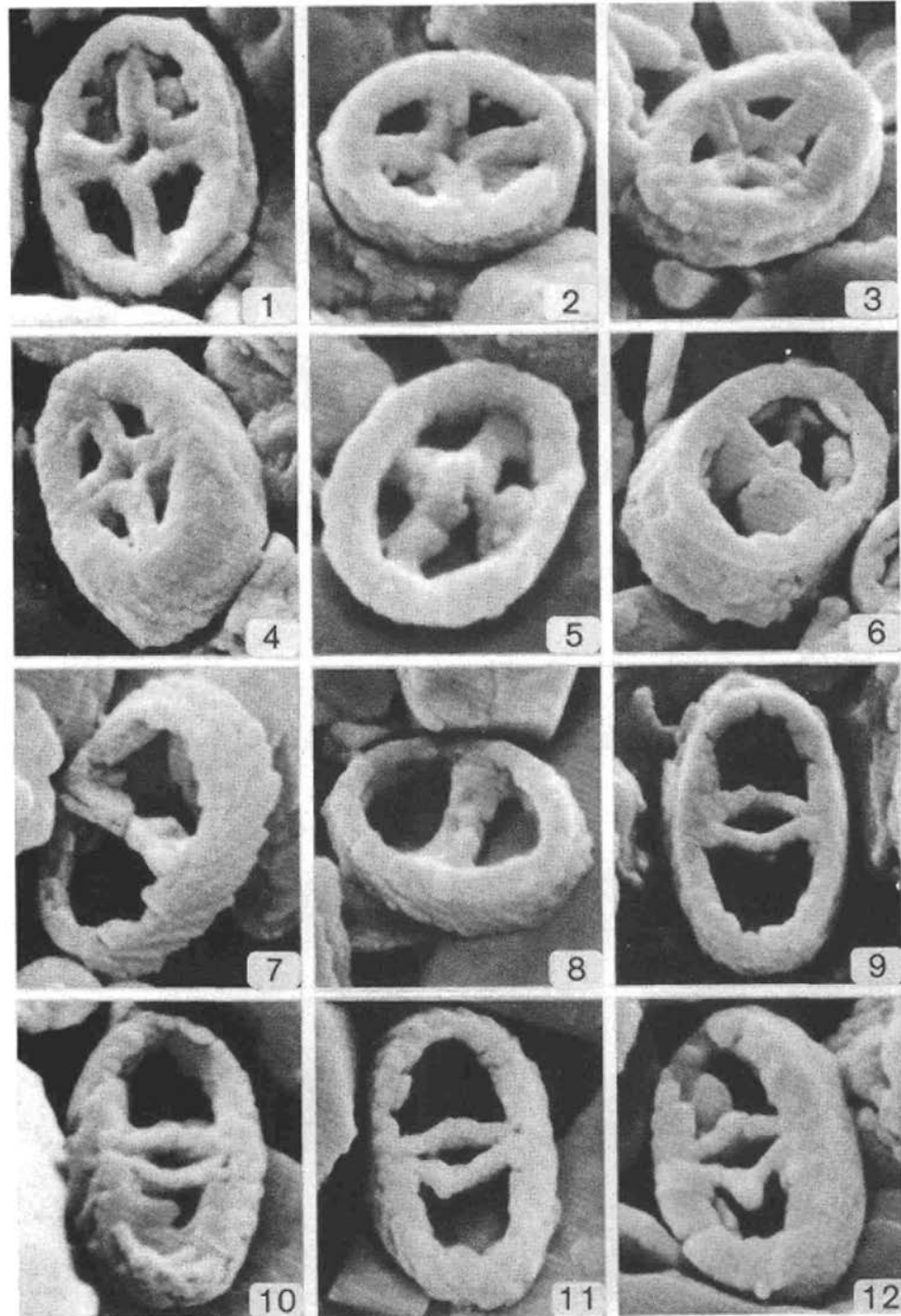
Oxford, obere Renggeri-Tone (P 4)

Rasterelektronenmikrographie Nr. 928/3; 13.000x

12: Schrägansicht der proximalen Seite

Oxford, untere Renggeri-Tone (P 3)

Rasterelektronenmikrographie Nr. 904/10; 15.000x



TAFEL 16

- Fig. 1–3 *Zyglithites choffati* (ROOD, HAY & BARNARD, 1973) GRÜN & ZWEIL, n. comb. S. 297
 1: Distale Seite
 Oxford, untere Renggeri-Tone (P 3)
 Rasterelektronenmikrographie Nr. 908/10; 15.000x
 2: Distale Seite
 Oxford, obere Renggeri-Tone (P 4)
 Rasterelektronenmikrographie Nr. 796/5; 13.500x
 3: Distale Seite
 Oxford, untere Renggeri-Tone (P 3)
 Rasterelektronenmikrographie Nr. 1279/11; 13.500x
- Fig. 4, 5 *Zyglithites cf. ponticulus* (DEFLANDRE, 1955) BLACK, 1975 S. 297
 4: Distale Seite
 Oxford, untere Renggeri-Tone (P 3)
 Rasterelektronenmikrographie Nr. 909/8; 10.000x
 5: Distale Seite
 Oxford, untere Renggeri-Tone (P 3)
 Rasterelektronenmikrographie Nr. 824/9; 12.500x
- Fig. 6–9 *Zyglithites salillum* (NOÜL, 1965) BLACK, 1975 S. 298
 6: Distale Seite
 Oxford, untere Renggeri-Tone (P 3)
 Rasterelektronenmikrographie Nr. 891/4; 8000x
 7: Proximale Seite
 Oxford, obere Renggeri-Tone (P 4)
 Rasterelektronenmikrographie Nr. 796/8; 9000x
 8: Proximale Seite
 Callovien, untere Callovien-Tone (P 1)
 Rasterelektronenmikrographie Nr. 793/5; 9500x
 9: Schrägansicht der distalen Seite
 Oxford, obere Renggeri-Tone (P 4)
 Rasterelektronenmikrographie Nr. 796/7; 8500x
- Fig. 10–12 *Schizosphaerella punctulata* DEFLANDRE & DANGEARD, 1938 S. 298
 10: Lateralansicht einer Kalotte
 Oxford, untere Renggeri-Tone (P 3)
 Rasterelektronenmikrographie Nr. 886/11; 4000x
 11: Schrägansicht einer Kalotte mit ausgeprägtem Flansch
 Oxford, obere Renggeri-Tone (P 4)
 Rasterelektronenmikrographie Nr. 1247/2; 7000x
 12: Schizosphäre mit beiden Kalotten, verdrückt
 Oxford, obere Renggeri-Tone (P 4)
 Rasterelektronenmikrographie Nr. 1187/3; 3500x

